



รายงานการวิจัย

การประยุกต์ใช้ข้อมูลดิบจากการรังวัดด้วยดาวเทียมจีพีเอสแบบจลน์ในทันทีใน
การทำหมุดระดับอ้างอิงทางดิ่ง

Applied Raw data of the Real-Time Kinematic GPS

Techniques for checked Benchmark

นาย ก้องไกล สร้อยชิน

โครงการวิจัยทุนสนับสนุนงานวิจัยของมหาวิทยาลัยเทคโนโลยี

ราชมงคลกรุงเทพ

งบประมาณผลประโยชน์ ปี พ.ศ. 2552

มหาวิทยาลัยเทคโนโลยีราชมงคลกรุงเทพ

กิตติกรรมประกาศ

ได้รับทุนอุดหนุนการวิจัยจากงบประมาณผลประโยชน์มหาวิทยาลัยเทคโนโลยีราชมงคลกรุงเทพ ตามยุทธศาสตร์การวิจัยที่ 3 หัวข้อการสร้างศักยภาพและความสามารถเพื่อการพัฒนาทางวิทยาการและทรัพยากรบุคคล ปีงบประมาณ 2552



Abstract

Applied Raw data of the Real-Time Kinematic GPS Techniques for checked Benchmark

Abstract

The purpose of the research was to determine vertical accuracy of RTK-GPS in comparing with Automatic moving Model surveying procedure. Both methods have been applied at the Rajamangala University of Technology Krungthep (RMUTK).

The aim of this paper was to assess the availability of RTK GPS (Real-Time Kinematic Global Positioning Systems) under some challenging environmental conditions. Testing was performed under two of these conditions, i.e. High trees crowned around football field and GPS Signal affected from this obstruction about 50%. The increase in the number of satellites had many benefits for the integer ambiguity resolution. Influence of crown cover on precision values of RTK Global Positioning Systems is significant contribution to the accuracy of RTK positions and PDOP (Precision Dilution of Position). The results of RTK testing were compared between “Real-time mode” and “Post-processing mode”. Both tests were carried on automatic Moving Model in order to find an alternative quality of vertical control.

The results indicated that RTK GPS must be careful for crown covered land surveying. The results of RTK-GPS system were indicated an accuracy of 0-10 centimeters in the measurement of elevation moving was not accurate because of crown covered land surveying.

บทคัดย่อ

เป้าหมายงานวิจัยนี้ ต้องการที่จะคำนวณหาค่าความถูกต้องทางแนวคิ่งที่ได้จากการรังวัดด้วยดาวเทียมจีพีเอส ด้วยวิธีจลน์ในทันที เปรียบเทียบกับการเคลื่อนตัวขึ้น-ลง ทางแนวคิ่งของแบบจำลองการเคลื่อนตัวทางคิ่งที่ได้ออกแบบ และจัดทำมาเพื่อการนี้โดยเฉพาะ ซึ่งได้ทำการทดสอบเปรียบเทียบวิธีการทดลองที่ออกแบบไว้ที่มหาวิทยาลัยเทคโนโลยีราชมงคลรังสิต

งานวิจัยนี้ตั้งใจที่จะประเมินค่าความถูกต้องที่ mana ได้จากวิธีรังวัดแบบจนน์ในทันที ซึ่งอยู่ภายในได้เงื่อนไข การทดสอบด้านสภาพแวดล้อมในการทำงาน ในการทดสอบได้ทำการทดลองภายในได้ 2 เสื่อ 2 เส้น ต้นไม้สูงที่มีเรือนยอดปักลุม และการบนบังสัญญาณจีพีเอสนៃองจากสิ่งปลูกสร้าง การเพิ่มจำนวนของดาวเทียมในท้องฟ้า ขณะทำการรังวัด ช่วยส่งผลดีต่อการทำางาน จำนวนเลขปริมาณที่เป็นจำนวนเต็ม อิทธิพลการปักลุมเรือนยอดส่างผลต่อวิธีการทำงานของ RTK ระบบการทำางานด้วยวิธี RTK เพราะมีนัยสำคัญต่อการทำางานผิดในตำแหน่งที่ของ RTK และ PDOP และการทดสอบแสดงให้เห็นถึงการเปรียบเทียบกับค่าจริง

ผลลัพธ์ที่เราใช้ในการสรุปผลการทดลองก็คือ ค่าพิกัดแบบทันทีทันใด และค่าพิกัดแบบต้มพัทธ์ในภายหลัง ซึ่งผลลัพธ์ทั้ง 2 นี้ต่างก็ได้มาจากการทำการทดลองบนแบบจำลองการเคลื่อนตัวทางคิ่ง เพื่อนำไปสู่การทำางานขึ้นสู่ปุ่นในการใช้งานสำหรับการทำางานหมุดควบคุมทางคิ่ง

ผลการทดลองบ่งชี้ว่าวิธี RTK นั้นมีข้อพึงระวังในการใช้งานภายใต้อิทธิพลการปักลุมเรือนยอด ของต้นไม้ในสถานะรังวัด โดยผลการทดลองได้แสดงให้เป็นว่าความผิดทางตำแหน่ง จะมีค่าคลาดเคลื่อนอยู่ในช่วง 0 ถึง 10 เมตร สำหรับการวัดการเคลื่อนตัวของแบบจำลองในขณะที่แบบจำลองเคลื่อนตัวในทางคิ่งจริง

สารบัญ

	หน้า
บทคัดย่อภาษาไทย	ก
บทคัดย่อภาษาอังกฤษ	ข
กิตติกรรมประกาศ	ค
สารบัญภาพ	จ - ญ
สารบัญตาราง	ฉ
บทที่ 1 บทนำ (Introduction)	1
ความสำคัญและที่มาของปัจจุหที่ทำการวิจัย	1
วัตถุประสงค์ของโครงการวิจัย	3
ขอบเขตของโครงการวิจัย	3
ประโยชน์ที่คาดว่าจะได้รับ	4
บทที่ 2 การทบทวนวรรณกรรมระบุถึงทฤษฎีและ/หรือแนวทางความคิดที่นำมาใช้ในการวิจัย	5
ทฤษฎี สมมุติฐาน และกรอบแนวความคิดของโครงการวิจัย	5
การทำตำแหน่งแบบสัมพัทธ์ (Relative Positioning or Differential Positioning)	6
การทำงานรังวัดด้วยเครื่องรับแบบรังวัดด้วยวิธีการวัดเพลิงคืนส่ง	7
การรังวัดแบบจรน์ในทันทีทันใด (Real Time Kinematic Survey)	9
หลักการทำคำค้นจากงานรังวัดด้วยดาวเทียม จีพีเอส	11
การทบทวนวรรณกรรม(Reviewed Literature)/สารสนเทศ(Information)ที่เกี่ยวข้อง	13
แนวคิดและสมมติฐานให้ในการวิจัย	17
บทที่ 3 วิธีดำเนินการวิจัย	21
เครื่องมือที่ใช้ในงานวิจัย	21
เครื่องรับสัญญาณดาวเทียมจีพีเอส	21
โปรแกรมประมวลผลข้อมูลดาวเทียม GPS และปรับแก้โครงข่าย TOPCON TOOL version 7.5 พร้อมมีกุญแจสำหรับปลดล็อก Hard Lock	23
แบบจำลองเพื่อทดสอบค่าต่างระดับทางด้าน	26
แนวทางการทดสอบ ความสามารถของวิธี RTK เพื่อประยุกต์ใช้ในการทำหมุดระดับอ้างอิง	27

สารบัญ (ต่อ)

หน้า

บทที่ 3 วิธีดำเนินการวิจัย (ต่อ)

การทดสอบความสามารถของวิธี RTK ในการตรวจจับค่าต่างทางด้านจากแบบจำลองเมื่อหมุดอยู่ในบริเวณที่มีเรือนยอดไม้ปักคลุม	28
การทดสอบความสามารถของ วิธี RTK ในการตรวจจับค่าต่างทางด้านจากแบบจำลองเมื่อหมุดอยู่ในบริเวณที่เปิดโล่ง เหมาะสมกับการรับสัญญาณ	30
การทดสอบความสามารถของวิธี RTK ในกรณีที่ความสูงเปลี่ยนแปลงแบบชั้บพลัน	32
บทที่ 4 ผลการทดลอง	35
จากการทดสอบเบื้องต้น	35
กรณีที่มีอิทธิพลปักคลุมเรือนยอด ของตำแหน่งที่ตั้งหมุดรับสัญญาณ	41
กรณีที่ไม่มีอิทธิพลปักคลุมเรือนยอด	65
การทดสอบในกรณี ที่มีการบดบังสัญญาณดาวเทียมเนื่องจากสิ่งปลูกสร้าง	77
บทที่ 5 สรุปผล การวิจัย และข้อเสนอแนะ	84
สรุปการทดลองในงานวิจัย	85
การทดสอบเบื้องต้น	85
การทดลองกรณีมีอิทธิพลปักคลุมเรือนยอด ของตำแหน่งที่ตั้งหมุดรับสัญญาณ	85
กรณีที่ไม่มีอิทธิพลปักคลุมเรือนยอดของตำแหน่งหมุดที่ตั้งรับสัญญาณ	86
การทดสอบในกรณี ที่แบบจำลองเกิดการเคลื่อนตัวลับพลัน และมีการบดบังสัญญาณดาวเทียมเนื่องจากสิ่งปลูกสร้าง	87
ปัญหาและข้อเสนอแนะ	87
บรรณานุกรม	
ภาคผนวก ก	
ภาคผนวก ข	

สารบัญรูปภาพ

หน้า

รูปที่ 2.1	การหาตำแหน่งแบบสัมพัทธ์ (Relative positioning)	6
รูปที่ 2.2	การรังวัดความเที่ยมด้วยวิธีรังวัดเพสของคลื่นส่ง	8
รูปที่ 2.3	การทำงานรังวัดความเที่ยมจีพีเอสแบบจลน์ในทันที	10
รูปที่ 2.4	ค่าความสูงจากงานรังวัดความเที่ยมจีพีเอส	12
รูปที่ 2.5	เทคนิครังวัดด้วยทางดาวเที่ยม GPS แบบจลน์ในทันที	13
รูปที่ 2.6	การทดสอบความสามารถของ RTK ในการทำแผนที่ภูมิประเทศ	14
รูปที่ 2.7	การประยุกต์หาค่าระดับเหนือระดับน้ำทะเลplain กลางของสถานีวัดน้ำที่ในบริเวณอ่าวไทย ด้วยวิธีรังวัดแบบสถิต(Static Surveying) ของ เคลินชันน์และคณะ (2547)	15
รูปที่ 2.8	ก้องไกล และเคลินชันน์ (2549) ได้ทำการทดสอบ วิธีการรังวัดความเที่ยม GPS ในลักษณะจลน์แบบทันทีทันใด (RTK) และ ในลักษณะจลน์ แบบข้อนกลับแบบทันทีทันใด (Inversed RTK)ในการตรวจจับการเคลื่อนตัวทางดึงของสะพานพระราม 8	16
รูปที่ 2.9	ก้องไกล และเคลินชันน์ (2549) ได้ทำการทดสอบ วิธีการรังวัดความเที่ยม GPS ในลักษณะจลน์แบบทันทีทันใด (RTK) และ ในลักษณะจลน์ แบบข้อนกลับแบบทันทีทันใด (Inversed RTK) การทำงานรังวัดความเที่ยมจีพีเอสแบบจลน์ ในทันที	18
รูปที่ 2.10	ทำการทดสอบ วิธีการรังวัดความเที่ยม GPS ในลักษณะจลน์แบบทันทีทันใด ใน การทดสอบเบื้องต้นที่หมุด BM_SV03	20
รูปที่ 3.1	เครื่องรับสัญญาณดาวเที่ยมจีพีเอส ยี่ห้อ Topcon รุ่น Hyper Ga พร้อมด้วย เครื่องบันทึกสมุดสนับสนุนอิเลคทรอนิกส์ (Field controller) ยี่ห้อ Topcon รุ่น FC-200 สำหรับงาน RTK การทำงานรังวัดความเที่ยมจีพีเอสแบบจลน์ในทันที	21

สารบัญรูปภาพ (ต่อ)

หน้า

รูปที่ 3.2	ตัวอย่างข้อมูลดิบที่ได้จากการรังวัดในสนามจาก RTK มี 2 รูปแบบที่เครื่องรับบันทึกไว้ในรูปของ *.csv และในรูปของ *.tsj การทำงานรังวัดควรเทียบกับไฟล์อีสแบบจรน์ในทันที	23
รูปที่ 3.3	การใช้งานประมวลผลแบบสัมพัทธ์ ในภายหลังมีข้อจำกัด ต้องไม่เกิน 5 หมุด	24
รูปที่ 3.4	โปรแกรมประมวลผลข้อมูลดาวเทียม GPS และปรับแก้โครงข่าย TOPCON TOOL version 7.5 พร้อมมีกุญแจสำหรับปลดล็อก Hard Lock สำหรับงานประมวลผลแบบสัมพัทธ์ในภายหลัง	25
รูปที่ 3.5	แบบจำลองเพื่อทดสอบค่าต่างระดับทางดิจิตอลที่เปลี่ยนแปลง	26
รูปที่ 3.6	การทำงานรังวัดด้วย RTK ที่ตำแหน่งหมุดระดับที่กระจายบริเวณรอบสนามฟุตบอล	27
รูปที่ 3.7	การทำงานรังวัดด้วย RTK ที่ตำแหน่งหมุดระดับที่กระจายบริเวณรอบสนามฟุตบอลในการทดสอบที่ 2	29
รูปที่ 3.8	แสดงภาพแวดล้อมบริเวณหมุดทดสอบ KSO1 (a), KSO2 (b), KSO3 (c), KSO4 (d)	30
รูปที่ 3.9	การทำงานรังวัดด้วย RTK ที่ตำแหน่งหมุดระดับ BM _SV03 ในการทดสอบที่ 3 กรณีที่ 1	31
รูปที่ 3.10	การทำงานรังวัดด้วย RTK ที่ตำแหน่งหมุดระดับ BM _SV03 ในการทดสอบที่ 3 กรณีที่ 2	32
รูปที่ 3.11	การทำงานรังวัดด้วย RTK ที่ตำแหน่งหมุดระดับ BM _SV01 ในการทดสอบที่ 4	33
รูปที่ 3.12	การวางแผนทำงานรังวัดด้วย RTK ที่ตำแหน่งหมุดระดับ BM _SV01 ในการทดสอบที่ 4	34

สารบัญรูปภาพ (ต่อ)

หน้า

รูปที่ 4.1(ก)	การทดสอบเมื่อแบบจำลองอยู่นิ่งกับที่และเคลื่อนตัว ขึ้น-ลง ทางดิ่ง 0.075 เมตร และสำหรับภาพ (ข) การทดสอบเมื่อแบบจำลองอยู่นิ่งกับที่และเคลื่อนตัว ขึ้น-ลง ทางดิ่ง 0.185 เมตร	36
รูปที่ 4.2(ก)	กราฟแสดงค่าความสูงจากการทดสอบเมื่อแบบจำลองอยู่นิ่งกับที่และเคลื่อนตัว ขึ้น-ลง ทางดิ่ง 0.075 และ 0.185 เมตร ในการทดสอบเบื้องต้น (ข) ค่าความสูงครั้งที่ 2 ของการทดลองที่ 1	36
รูปที่ 4.3	แสดงว่าค่าความสูงที่ตรวจจับได้จากการทดสอบเบื้องต้น	37
รูปที่ 4.4	แสดงค่าการเคลื่อนตัวทางดิ่งที่ตรวจจับได้ด้วยวิธี RTK ในขณะที่แบบจำลองอยู่นิ่งกับที่และเคลื่อนตัว ขึ้น-ลง ทางดิ่งสูง 0.075 เมตรและ 0.185 ใน การทดสอบเบื้องต้นข้อมูลแบบ Real-time (เส้นสีน้ำเงิน) และข้อมูลแบบ post-processing ในการทดลองเบื้องต้น	39
รูปที่ 4.5	แสดงช่วงค่าพิสัยของค่าความสูงที่ตรวจจับในขณะเคลื่อนที่ทางดิ่งสูง 0.075 เมตร และ 0.185 เมตร ตามลำดับคำอธิบายการประมาณผลข้อมูลของแผนภาพ	40
รูปที่ 4.6	ภาพถ่ายบริเวณสถานีจราจรทั้ง 4 หมุดในการทดลองที่ 4.2	42
รูปที่ 4.7	การประมาณผลแบบสามพันธ์ด้วยซอฟแวร์ Topcon tool v.4.5	43
รูปที่ 4.8	แสดงค่าการเคลื่อนตัวของหมุด KS_01 ที่มีค่าทางสถิติที่ดีที่สุด (ก) และแย่ที่สุด (ข) ใน 3 วัน ของหมุด KS_01 ข้อมูล Real-time ในการทดลองที่ 2 เมื่อแบบจำลองอยู่นิ่งกับที่ และมีการเคลื่อนที่ ขึ้น - ลง ทางดิ่ง 0.075 เมตร	48
รูปที่ 4.9	แสดงค่าการเคลื่อนตัวของหมุด KS_01 ที่มีค่าทางสถิติที่ดีที่สุด (ก) และแย่ที่สุด (ข) ใน 3 วัน ของหมุด KS_01 ข้อมูลแบบ post-processing ในการทดลองที่ 2 เมื่อแบบจำลองอยู่นิ่งกับที่ และมีการเคลื่อนที่ ขึ้น-ลงทางดิ่ง 0.075 เมตร	49

สารบัญรูปภาพ (ต่อ)

หน้า

สารบัญรูปภาพ (ต่อ)

หน้า

สารบัญรูปภาพ (ต่อ)

หน้า

- | | | |
|-------------|--|----|
| รูปที่ 4.24 | ตึกสำนักงานอธิการบดี และตึก 36 อาคารเรียนปริญญาตรี ซึ่งเป็นอาคารที่มีความสูง 3 ชั้น และ 6 ชั้น ตามลำดับอาจทำให้เกิดการบดบังสัญญาณวิทยุจากสถานีฐานที่จะส่งมายังสถานีจร ของ BMSV 03 ทำให้ การส่งข้อมูลเกิดการล่าช้าส่งผลต่อการคำนวณตำแหน่งที่จุดสถานีจรเอง | 66 |
| รูปที่ 4.25 | การทดลองที่ 2 ในกรณี ตำแหน่งหมุดที่สถานีจร ของ BMSV 03 ไม่มีอิทธิพลการปักคุณเรื่องยอดรูปด้านซ้าย ก) เมื่อสถานีฐานคือ BLD14/1 และ ข) เมื่อสถานีฐานคือ หมุด BLD 35 | 67 |
| รูปที่ 4.26 | กราฟแสดงความสูงที่ตรวจจับได้ จาก RTK ที่มีค่าทางสถิติที่ดีที่สุด (ก) และแย่ที่สุด (ข) ใน 3 วันของการทดลองที่ 3 ของหมุด BMSV 03 ที่ความสูง 0.075 เมตร ข้อมูลแบบ Real – Time เมื่อสถานีฐานคือหมุด BLD 14/1 | 69 |
| รูปที่ 4.27 | กราฟแสดงความสูงที่ตรวจจับได้ จาก RTK ที่มีค่าทางสถิติที่ดีที่สุด (ก) และแย่ที่สุด (ข) ใน 3 วันของการทดลองที่ 3 ของหมุด BMSV 03 ที่ความสูง 0.075 เมตร ข้อมูลแบบ post processing เมื่อสถานีฐานคือหมุด BLD 14/1 | 70 |
| รูปที่ 4.28 | กราฟแสดงความสูงที่ตรวจจับได้ จาก RTK ที่มีค่าทางสถิติที่ดีที่สุด (ก) และแย่ที่สุด (ข) ใน 3 วันของการทดลองที่ 3 ของหมุด BMSV 03 ที่ความสูง 0.185 เมตร ข้อมูลแบบ Real – Time เมื่อสถานีฐานคือหมุด BLD 14/1 | 71 |
| รูปที่ 4.29 | กราฟแสดงความสูงที่ตรวจจับได้ จาก RTK ที่มีค่าทางสถิติที่ดีที่สุด (ก) และแย่ที่สุด (ข) ใน 3 วันของการทดลองที่ 3 ของหมุด BMSV 03 ที่ความสูง 0.185 เมตร ข้อมูลแบบ post processing เมื่อสถานีฐานคือหมุด BLD 14/1 | 72 |
| รูปที่ 4.30 | แสดงค่าการเคลื่อนตัวทางดึงที่ตรวจจับได้ด้วยวิธี RTK ในขณะที่แบบจำลองอยู่ในกับที่และเคลื่อนที่ตัว ขึ้น-ลง ทางดึงสูง 0.075 เมตรและ 0.185 ข้อมูลแบบ Real-time (เส้นสีน้ำเงิน) และข้อมูลแบบ post-processing ในการทดลองที่ 3 กรณีที่ 2 ชุดข้อมูลที่ 1. | 74 |

สารบัญรูปภาพ (ต่อ)

หน้า

รูปที่ 4.31	แสดงค่าการเคลื่อนตัวทางดิ่งที่ตรวจจับได้ด้วยวิธี RTK ในขณะที่แบบจำลองอยู่นิ่งกับที่เดลคลื่อนที่ตัว ขึ้น-ลง ทางดิ่งสูง 0.075 เมตรและ 0.185 ข้อมูลแบบ Real-time (เด็นสีน้ำเงิน) และข้อมูลแบบ post-processing ในการทดลองที่ 3 กรณีที่ 2 ชุดข้อมูลที่ 2	76
รูปที่ 4.32	การทดสอบในกรณีที่ มีการบดบังสัญญาณดาวเทียมเนื่องจากสิ่งปลูกสร้าง	78
รูปที่ 4.33	แสดงค่าการเคลื่อนตัวทางดิ่งที่ตรวจจับได้ด้วยวิธี RTK และค่าทาง สถิติ ของ การทดลองที่ 4 ในกรณี มี Obstruction บริเวณตำแหน่งหมุดที่รับสัญญาณ ข้อมูลแบบ Real-time ในการทดลองวันแรก และวันที่สอง	80
รูปที่ 4.34	แสดงค่าการเคลื่อนตัวทางดิ่งที่ตรวจจับได้ด้วยวิธี RTK ของการทดลองที่ 4 ใน กรณี มี Obstruction บริเวณตำแหน่งหมุดที่รับสัญญาณ ข้อมูลแบบ Real-time ในการทดลองวันแรก	81
รูปที่ 4.35	แสดงค่าการเคลื่อนตัวทางดิ่งที่ตรวจจับได้ด้วยวิธี RTK ของการทดลองที่ 4 ใน กรณี มี Obstruction บริเวณตำแหน่งหมุดที่รับสัญญาณ ข้อมูลแบบ Real-time ในการทดลองวันที่สอง	82

สารบัญตาราง

หน้า

ตารางที่ 2.1	แสดงค่าเบี่ยงเบนมาตรฐานที่ใช้ทดสอบสมมุติฐานเบื้องต้น 30	19
ตารางที่ 4.1	แสดงค่าทางสถิติของการทดสอบเบื้องต้นในการตรวจจับค่าต่างทางดึงด้วยวิธี RTK ของหมุดสถานีจร ในการทดสอบเบื้องต้น	38
ตารางที่ 4.2(ก)	แสดงค่าทางสถิติของความสูงที่เครื่องรับที่หมุด KS_01 ตรวจจับได้ใน 3 วัน จากข้อมูล Real-time และ Post processing ของการทดสอบที่ 2	44
ตารางที่ 4.2(ข)	แสดงค่าทางสถิติของความสูงที่เครื่องรับที่หมุด KS_02 ตรวจจับได้ใน 3 วัน จากข้อมูล Real-time และ Post processing ของการทดสอบที่ 2	45
ตารางที่ 4.2(ค)	แสดงค่าทางสถิติของความสูงที่เครื่องรับที่หมุด KS_03 ตรวจจับได้ใน 3 วัน จากข้อมูล Real-time และ Post processing ของการทดสอบที่ 2	46
ตารางที่ 4.2(ง)	แสดงค่าทางสถิติของความสูงที่เครื่องรับที่หมุด KS_04 ตรวจจับได้ใน 3 วัน จากข้อมูล Real-time และ Post processing ของการทดสอบที่ 2	47
ตารางที่ 4.3	ค่าทางสถิติของการทดสอบที่ 3 ในกรณีที่ 1 หมุด สถานีจร BMSV 03 อยู่ในตำแหน่งที่เหมาะสมในการรับสัญญาณ ดาวเทียม แต่มีอาการขาดให้บังแนวส่งสัญญาณจากสถานีฐาน BLD14/1 ไปยังสถานีจร	68
ตารางที่ 4.4	แสดงค่าทางสถิติของการทดสอบที่ 3 ในกรณี BMSV 03 เป็นหมุด สถานีจร ซึ่งอยู่ในบริเวณท้องฟ้าเปิด เหมาะแก่การรับสัญญาณ และไม่มีการบังสัญญาณวิทยุที่ส่งข้อมูลรังวัดจากสถานีฐานหมุด BLD 35 ให้สถานีจร	73
ตารางที่ 4.5	แสดงค่าทาง สถิติ ของการทดสอบที่ 4 ในกรณี มี Obstruction บริเวณ ตำแหน่งหมุดที่รับสัญญาณด้วยวิธี RTK	79

บทที่ 1

บทนำ (Introduction)

1.1 ความสำคัญ และที่มาของปัญหาที่ทำการวิจัย

ในช่วงระยะเวลา 20-30 ปีที่ผ่านมา เทคโนโลยีทางด้านการสำรวจทำแผนที่ได้พัฒนาไป遥れื่องมาก ทำให้การหาตำแหน่งที่เราต้องการ ทำได้รวดเร็วและง่ายขึ้น ซึ่งวิธีการรังวัดแบบหนึ่งที่ได้ถูกพัฒนาอย่างต่อเนื่อง เพื่อใช้ในการออกพิกัดของจุดตำแหน่งในทาง 3 มิติ ที่ได้รับความนิยมเป็นอย่างมากในปัจจุบันก็คือ วิธีการรังวัดด้วยดาวเทียมจีพีเอส วิธีการรังวัดด้วยดาวเทียม จีพีเอส นี้สามารถให้ความถูกต้องทางตำแหน่งอยู่ในระดับ มิลลิเมตรถึงระดับเมตร ซึ่งความถูกต้อง ที่ได้นี้ ซึ่งความถูกต้องที่ได้นี้จะขึ้นอยู่กับชนิดของเครื่องรับสัญญาณที่ใช้ และวิธีการที่ใช้ในการรังวัด ดังนี้ในงานวิจัยนี้ ต้องการที่จะพิจารณาค่าระดับของหมุดควบคุมทางดึง ซึ่งต้องมีค่าความถูกต้องสูง ดังนั้นประเภทของเครื่องรับสัญญาณ จีพีเอส จะเป็นเครื่องรับแบบรังวัด ชนิด 2 ความถี่

การรังวัดด้วยระบบดาวเทียมจีพีเอส เป็นเทคโนโลยีหนึ่งที่ให้ผลลัพธ์ทางตำแหน่งเป็นค่าพิกัดใน 3 มิติ ปัจจุบันการรังวัดด้วยระบบดาวเทียมจีพีเอส สามารถแสดงผลของข้อมูลในระดับความถี่ 5 Hz หรือสูงกว่า ซึ่งมีความเป็นไปได้ที่จะนำมาตรวจวัดการเคลื่อนตัวทางดึงของตำแหน่งที่สนใจ วิธีการรังวัดด้วยระบบดาวเทียม จีพีเอส แบบจนน์ในทันที (Real-Time Kinematic) ซึ่งในที่นี้ขอเรียกว่าวิธี RTK เป็นวิธีทำงานรังวัดดาวเทียม ซึ่งให้ตำแหน่งแบบสัมพัทธ์ (Relative Positioning) โดยต้องใช้เครื่องรับแบบรังวัดชนิดสองความถี่ตั้งแต่ 2 เครื่องขึ้นไปโดยเครื่องรับเครื่องหนึ่งจะถูกวางแผนรับสัญญาณที่สถานีฐาน (Base Station) จุดนี้จะไม่มีการเคลื่อนที่ และเป็นจุดที่ทราบค่าพิกัดตั้งต้น ส่วนเครื่องรับที่เหลือจะสามารถเคลื่อนที่ได้ในขณะเก็บข้อมูล ตามตำแหน่งต่าง ๆ ที่ต้องการทราบค่าพิกัดจุดเหล่านี้เรียกว่าสถานีจร (Roving Station) การหาตำแหน่งสามารถทำได้ทันทีในสนาม โดยอาศัยการส่งข้อมูลผ่านวิทยุ หรืออุปกรณ์สื่อสารอื่น ๆ แล้วทำการประมวลผลภายในเครื่องรับสัญญาณโดยผลลัพธ์ที่ได้จะเป็นค่าพิกัดแบบสัมพัทธ์เทียบกับตำแหน่งสถานีฐาน โดยที่วิธี RTK นี้ สามารถให้ค่าความถูกต้องทางตำแหน่งในระดับเซนติเมตร (Rizos, 1997)

นักวิจัยและวิศวกรมาmany ได้นำเทคโนโลยีการรังวัด ด้วยดาวเทียมจีพีเอสแบบ RTK ไปใช้ร่วมกับเครื่องมือต่างๆ เช่น เครื่องวัดความเร่ง (Accelerometers) เครื่องวัดความเร่งแบบ 3 แกน (Triaxial Accelerometers) เครื่องวัดระยะอิเลคทรอนิกส์ กล้องประมวลผลรวม เป็นต้น เพื่อนำไปประยุกต์ใช้ในการเฝ้าระวัง และตรวจสอบการเคลื่อนตัว ในทางราบ และทางดิ่งของโครงสร้างขนาดใหญ่ เช่น อาคารสูง และ สะพานชั่ว tym

ตามหลักการของการรังวัดด้วยดาวเทียมจีพีเอสจะนี่ในทันที (RTK) ก็อ ให้ดำเนินการ ของสถานีจร สามารถเคลื่อนที่ได้ไป ตามตำแหน่งที่เราต้องการทราบค่าพิกัด ส่วนสถานีฐานจะไม่มี การเคลื่อนที่โดยเป็นจุดที่ทราบค่าพิกัด ในการรังวัดเพื่อทำการสำรวจหมุดควบคุมทางดิ่งนี้ วิธีการที่ใช้ในการสำรวจแต่ดิ่งเดินกีดีของการสำรวจด้วยกล้องระดับ ซึ่งจุดประสงค์ของการทำระดับ ก็คือ เพื่อต้องการทราบค่าความต่างระดับ ของจุดสองจุดในภูมิประเทศ และความละเอียดของการ ถ่ายระดับ เพื่อตรวจสอบงานที่ได้กับค่าความผิดที่ยอมให้สำหรับแต่ละช่วงด้วยวิธีการต่างๆ ก็อยู่ใน ระดับมิลลิเมตร ถึงเซนติเมตร ซึ่งด้วยข้อจำกัดทางด้านความถูกต้องที่ต้องการของการสำรวจหมุด ควบคุมทางดิ่งด้วยกล้องระดับนี้ ก็มีความสอดคล้องกับความถูกต้องที่ได้จากเครื่องรับสัญญาณ จีพีเอส แบบรังวัดชนิดสองความถี่ ซึ่งในปัจจุบันสามารถให้ความถูกต้องทางตำแหน่งได้ในระดับ เซนติเมตร หรือดีกว่านั้น

ดังนั้นผู้วิจัยจึงมีความสนใจที่จะใช้วิธีรังวัดด้วยดาวเทียม จีพีเอส ด้วยวิธี RTK ในการหาค่า ระดับของหมุดควบคุมทางดิ่ง แทนกล้องระดับ เพื่อความสะดวกรวดเร็วและต้องการให้ครอบคลุม พื้นที่เป็นบริเวณกว้าง โดยที่การได้มานของค่าระดับของหมุดควบคุมทางดิ่ง นอกจากจะพิจารณา ข้อมูลแบบทันทีทันใดที่เครื่องรับแสดงผลแล้ว ผู้วิจัยจะใช้เทคนิคในการประมวลผลข้อมูลดิบ ภายหลังเพื่อกรองค่าคลาดเคลื่อนของสัญญาณข้อมูลรังวัดที่รับได้ จากเครื่องรับสัญญาณ จีพีเอส ด้วยวิธี RTK เพื่อให้ได้มาซึ่งค่าความสูงทางดิ่ง ซึ่งมีความรวดเร็วและถูกต้องมากสุด

1.2 วัตถุประสงค์ของโครงการวิจัย

2.1 เพื่อศึกษาความสามารถของวิธีการรังวัดดาวเทียมจีพีเอส ด้วยวิธีแบบจลน์ในทันที (RTK) ในลักษณะจลน์ทันทีทันใจ (RTK) ในการตรวจสอบหาความต่างของค่าระดับหมุดอ้างอิงที่ต้องการในภูมิประเทศ

2.2 เพื่อศึกษาวิธีการที่เหมาะสมในการประมาณข้อมูลดินที่ได้จากการรับสัญญาณจีพีเอส ในลักษณะทันทีทันใจ (RTK)

2.2.1 เพื่อศึกษาผลลัพธ์ของค่าระดับที่ได้จากการประมาณข้อมูลดินที่ได้จากการส่งสัญญาณจีพีเอส ในลักษณะทันทีทันใจ (RTK)

1.3 ขอบเขตของโครงการวิจัย

3.1 ศึกษาในการหาค่าระดับของหมุดควบคุมทางดิ่ง ที่ตรวจจับได้ด้วยเครื่องรับสัญญาณจีพีเอสแบบรังวัดชนิด 2 ความถี่ ที่ใช้วิธีการรังวัดดาวเทียม จีพีเอส ด้วยวิธีจลน์ในลักษณะทันทีทันใจ (RTK)

3.2 ศึกษาและวิเคราะห์ผลจากการทดลองที่ออกแบบไว้ โดยใช้วิธีการรังวัดดาวเทียมจีพีเอส ด้วยวิธีจลน์ในลักษณะทันทีทันใจ (RTK) เป็นวิธีการพื้นฐานในการทำงานเพื่อเก็บข้อมูล

3.3 ข้อมูลที่ใช้ในการวิจัย

3.3.1 ชุดข้อมูลค่าพิกัด ซึ่งเป็นข้อมูลดิน และค่าพิกัดที่ได้จากการรังวัดดาวเทียมจีพีเอสด้วยวิธีจลน์ในลักษณะทันทีทันใจ (RTK) ดังการทดลองที่ออกแบบไว้

3.3.2 เปลี่ยนค่าความสูงเหนือทรงรี เป็นความสูงยีอยย โดยการใช้แบบจำลองยีอยสาгал EGM96 สำหรับค่าระดับของหมุดควบคุมทางดิ่ง ที่ตรวจจับได้ ด้วยเครื่องรับสัญญาณจีพีเอส

1.4 ประโยชน์ที่คาดว่าจะได้รับ

1.4.1 ทำให้ผู้ใช้ วิธีการรังวัดดาวเทียมจีพีเอสด้วยวิธีจลน์ในลักษณะทันทีทันใด(RTK) ทราบถึงค่าความถูกต้องทางดิ่งที่ได้จาก วิธีการรังวัดดาวเทียมจีพีเอสด้วยวิธีจลน์ในลักษณะทันทีทันใด(RTK)

1.4.2 ทำให้ผู้ใช้วิธีการรังวัดดาวเทียมจีพีเอสด้วยวิธีจลน์ในลักษณะทันทีทันใด(RTK) ทราบถึงค่าความถูกต้องทางดิ่งที่ได้จาก วิธีการรังวัดดาวเทียมจีพีเอสด้วยวิธีจลน์ในลักษณะทันทีทันใด(RTK)

1.4.3 เป็นองค์ความรู้ในการวิจัยข้อมูลดิบที่ได้จาก วิธีการรังวัดดาวเทียม จีพีเอส ด้วยวิธีจลน์ในลักษณะทันทีทันใด (RTK)

1.4.4 วิธีการรังวัดดาวเทียมจีพีเอสด้วยวิธีจลน์ในลักษณะทันทีทันใด (RTK) นี้มีความสะดวก และใช้เวลาในการทำงานน้อย ซึ่งภายหลังจากการนำข้อมูลดิบมาคำนวณหาค่าความสูงของ หมุดควบคุมทางดิ่งนั้นๆ ซึ่งผลลัพธ์ที่ได้คือความสูงที่รังวัดได้ เราสามารถนำมาประยุกต์ใช้ในการ ทำหมุดควบคุมทางดิ่งในสนามเพาะจะทำให้ประหยัดเวลา และค่าใช้จ่าย ในงานสนาม ที่ดีกว่าการ ทำระดับด้วยกล้องระดับธรรมชาติทั่วไป และยังสามารถให้ค่าพิกัดทางราบ ที่มีความถูกต้อง อีกด้วย

1.4.5 ข้อพึงระวังในการเลือกตำแหน่งจุดสถานีจราในสนามมีผลต่อความสามารถในการ คำนวณตำแหน่งของเครื่องรับสัญญาณแบบทันทีทันใดจาก วิธีการรังวัดดาวเทียม จีพีเอส ด้วย วิธีจลน์ในลักษณะทันทีทันใด (RTK)

บทที่ 2

การทบทวนวรรณกรรม

เนื้อหาในบทนี้จะเริ่มจากการอธิบายหลักการหาค่าระดับ จากรงานรังวัดดาวเทียม จีพีเอส จากนั้นจะอธิบายถึงวิธีการหาค่าต่างระห่วง พื้นผิวทรงรีและพื้นผิวยីอย (Geoid-ellipsoid separation) และในส่วนสุดท้ายจะเป็นแนวความคิดที่ใช้เป็นกรณีศึกษาการหาค่าระดับจากรงานรังวัดดาวเทียมจีพีเอส

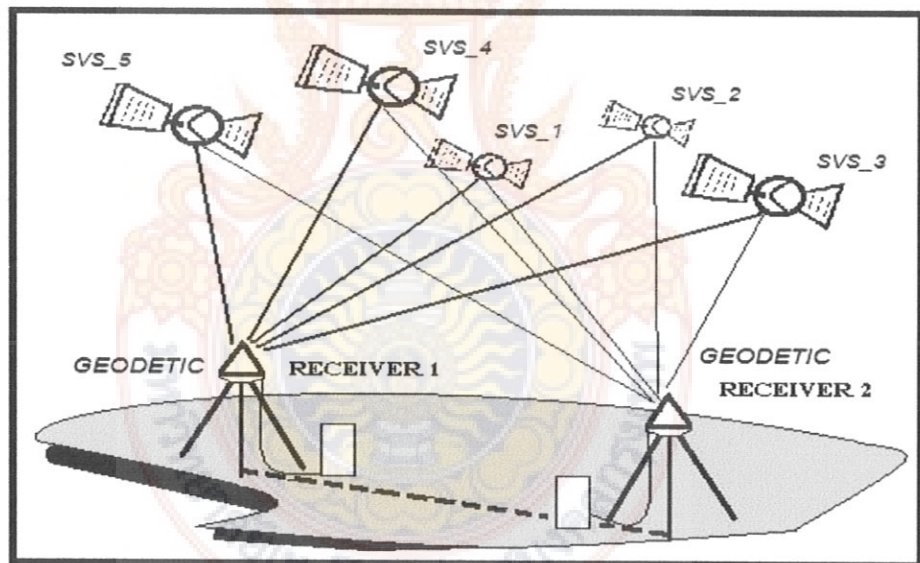
2.1 ทฤษฎี สมมุติฐาน และกรอบแนวความคิดของโครงการวิจัย

การสำรวจรังวัดด้วยดาวเทียมจีพีเอส ถูกพัฒนาขึ้น โดยกระทรวงกลาโหมของประเทศไทย สร้างโดยสถาบันวิทยาศาสตร์และเทคโนโลยีแห่งชาติ สำหรับประเทศไทย โดยในช่วงเริ่มระบบเมื่อปี ที่ผ่านมาจนถึงปัจจุบันงานสำรวจรังวัดด้วยดาวเทียมจีพีเอส เป็นที่รู้จัก และมีการนำไปใช้งานอย่างแพร่หลายเนื่องจากมีข้อ ได้เปรียบวิธีการสำรวจรังวัดแบบเดิม นั่นคือสามารถแสดงผลลัพธ์ทางตำแหน่งในสามมิติ ซึ่งผู้ใช้สามารถเลือกใช้งานได้ไม่จำกัดช่วงเวลาทั้งกลางวัน และกลางคืนตลอด 24 ชั่วโมง โดยไม่ต้องคำนึงถึงสถานที่และสภาพอากาศ ขอเพียงเป็นบริเวณที่โล่งท้องฟ้าเปิดและ มีความสะอาดในการกำหนดตำแหน่งที่ตั้งหมุดมาก เนื่องจากไม่จำเป็นต้องเลือกตำแหน่งหมุดให้มองเห็นกัน อีกทั้งไม่เสียค่าใช้จ่ายในการรับสัญญาณดาวเทียม มีแต่เพียงค่าใช้จ่ายในส่วนของอุปกรณ์รับสัญญาณ จากการเทียบและซอฟต์แวร์ที่ใช้ในการประมวลผล ข้อจำกัดของการรับสัญญาณดาวเทียม มีแต่เพียงว่าท้องฟ้ารอบบริเวณที่ตั้งเครื่องรับสัญญาณดาวเทียมต้องเปิด โล่ง เพื่อให้เครื่องรับสามารถรับสัญญาณจากดาวเทียมที่อยู่เหนือนอกฟ้าในขณะนั้น ให้ได้อย่างน้อยสี่ดวงและมีค่าการวางตัวทางเดินทางคงที่ของดาวเทียมที่ดีที่สุด ในขณะช่วงเวลาเดียวกัน นอกจากนั้นราคากลางของเครื่องรับสัญญาณในอนาคตยังมีแนวโน้มลดลงในขณะที่ประสิทธิภาพและความสามารถของเครื่องรับสัญญาณสูงขึ้น

เนื่องจากงานสำรวจรังวัดด้วยดาวเทียมจีพีเอส เป็นที่ยอมรับในงานวิศวกรรมสำรวจ และเป็นที่รู้จักสำหรับคนหลากหลายอาชีพจนมีการนำไปใช้งานอย่างแพร่หลาย ทำให้ในปัจจุบัน ได้มีเอกสาร และหนังสือเกี่ยวกับระบบดาวเทียมจีพีเอส ทั้งทางทฤษฎี และปฏิบัติออกเผยแพร่ให้ผู้ที่สนใจได้ศึกษาหาความรู้ทั้งภาคภาษาไทย และภาษาอังกฤษ โดยผู้ที่ต้องการศึกษารายละเอียดเกี่ยวกับงานสำรวจรังวัดด้วยดาวเทียม จีพีเอส สามารถศึกษาเพิ่มเติมได้จากชุดเกียรติ วิเชียรติเจริญ (2538), เฉลิมชนน์ สติรพาน (2546), Rizos (1997) โดยในหัวข้อนี้จะอธิบายเพียงเนื้อหาและทฤษฎีที่เกี่ยวข้องกับงานวิจัยเท่านั้น

2.1.1 การหาตำแหน่งแบบสัมพัทธ์ (Relative Positioning or Differential Positioning)

เป็นวิธีการหาตำแหน่งเปรียบเทียบกันระหว่างจุดสองจุด วัดถูประஸงค์ของการหาตำแหน่งแบบสัมพัทธ์ ก็คือต้องการให้ความถูกต้องของตำแหน่งเครื่องรับดีขึ้นกว่าการหาตำแหน่งของจุดเดียว การทำงานโดยใช้วิธีการหาตำแหน่งแบบสัมพัทธ์นี้ เริ่มต้นจากหมุดหลักฐานที่มีค่าพิกัดตำแหน่งสัมบูรณ์อยู่ จุดอื่นๆ ที่สร้างขึ้นมาใหม่ โดยวิธีทำงานแบบสัมพัทธ์จะมีค่าพิกัดตำแหน่งสัมบูรณ์เช่นกัน การหาตำแหน่งแบบสัมพัทธ์ต้องใช้เครื่องรับแบบรังวัดตั้งแต่สองเครื่องขึ้นไป เครื่องรับอันแรกจะวางรับสัญญาณอยู่กับที่บนหมุดหลักฐานซึ่งทราบค่าหรือถือว่ารู้ตำแหน่งอยู่แล้ว หมุดหลักฐานนี้เรียกว่าสถานีฐาน (Base Station) ส่วนเครื่องรับอื่นที่เหลือ เพียงนำไปวางตามจุดที่ต้องการหาตำแหน่งเปรียบเทียบกับสถานีฐานจุดเหล่านี้เรียกว่าจุดรับ (Receiver) หลักการทำงานของการหาตำแหน่งแบบสัมพัทธ์คือเครื่องรับที่สถานีฐานและเครื่องรับที่จุดรับจะต้องรังวัดไปยังดาวเทียมกลุ่มเดียวกันในขณะเวลาเดียวกันอย่างน้อย 4 ดาว หรือมากกว่านั้น (ดูรูปที่ 2.1)



รูปที่ 2.1 การหาตำแหน่งแบบสัมพัทธ์ (Relative positioning)

2.1.1.1 การทำงานรังวัดด้วยเครื่องรับแบบรังวัดด้วยวิธีการวัดเฟสของคลื่นส่ง

หลังจากเปิดเครื่องรับสัญญาณ เครื่องรับจะเริ่มทำการวัดเฟสของคลื่นส่ง โดยจะทำการเปรียบเทียบเฟสของคลื่นส่งที่ส่งมาจากดาวเทียม กับเฟสของคลื่นที่เครื่องรับสร้างขึ้นมาเอง โดยที่เราจะทราบเพียงส่วนของคลื่นที่ไม่เต็มลูก หรือเรียกว่า “เฟส” ในส่วนของจำนวน ลูกคลื่นเต็ม ลูก หรือที่เรียกว่า เลขปริศนา (Ambiguity) สามารถหาค่าได้จากการคำนวณในภายหลัง โดยมีสมการค่าสังเกตของการวัดเฟสของคลื่นส่ง (GPS Observation Equation) ดังนี้

$$\Phi_i^j(t) = \frac{1}{\lambda} \rho_i^j(t) + N_i^j + f^j \Delta \delta_i^j(t) + \Delta r^j - d_{ion} + d_{trop} \quad1$$

โดยที่

Φ_i^j คือ ค่า Carrier phase ที่วัดได้ในหน่วยของลูกคลื่นจากดาวเทียม j

λ คือ ความยาวคลื่น

ρ_i^j คือ ระยะทางระหว่างดาวเทียม j กับเครื่องรับสัญญาณ I (เมตร)

N_i^j คือ ค่า Ambiguity ระหว่างดาวเทียม j กับเครื่องรับสัญญาณ i

f คือ ความถี่ของสัญญาณจากดาวเทียม

Δr^j คือ ความคลาดเคลื่อนที่เกิดจากวงโคจรของดาวเทียม j

d_{ion} คือ ความคลาดเคลื่อนที่เกิดจากชั้นบรรยากาศไอโอดีฟีเยอร์ (เมตร)

d_{trop} คือ ความคลาดเคลื่อนที่เกิดจากชั้นบรรยากาศไทรโพรโพสฟีเยอร์ (เมตร)

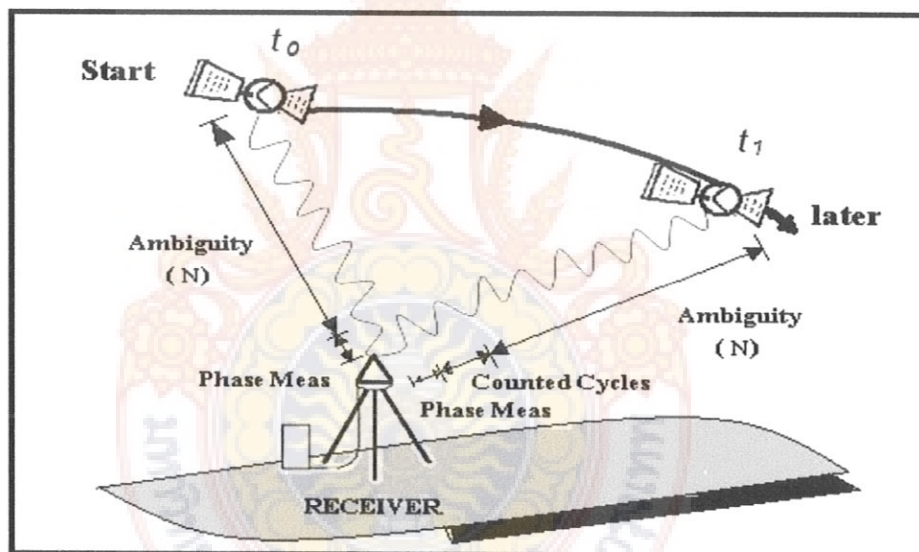
$\Delta \delta_i^j(t)$ คือ ความคลาดเคลื่อนที่เกิดจากนาฬิกาดาวเทียม j และนาฬิกา

เครื่องรับสัญญาณ I

โดยที่ $\Delta \delta_i^j(t) = \delta_i(t) - \delta^j(t) \quad2$

จากสมการที่ 1 จะเห็นได้ว่าข้อมูลที่รับได้จากดาวเทียมจีพีเอส มีค่าความคลาดเคลื่อน แฟงอยู่หลายชนิด เครื่องรับแบบรังวัดจะใช้วิธีการวัดเฟสของคลื่นส่งเพื่อให้ได้ตำแหน่งสัมบูรณ์ (ดังรูปที่ 2.2) ความถูกต้องระดับเซนติเมตรหรือดีกว่านั้น เครื่องรับแบบรังวัดประเภทนี้จะสร้างรหัส C/A ขึ้นมาเปรียบเทียบกับสัญญาณดาวเทียมที่รับได้ เมื่อสามารถอ่านรหัสจากสัญญาณได้ก็จะรู้ข้อมูลดาวเทียมซึ่งจำเป็นต่อการคำนวณตำแหน่ง ดังนั้นผลพลอยได้ในการอ่านรหัสนี้คือ ชุดโคนันจ์ จากรหัส C/A ซึ่งนำมาคำนวณตำแหน่งสัมบูรณ์ของเครื่องรับได้ เช่นเดียวกับเครื่องรับแบบกำหนดในการวัดเฟสของคลื่นส่งนี้ เครื่องรับแบบรังวัดจะสร้างคลื่นที่มีความถี่เท่ากับคลื่นที่

สร้างขึ้นมาเปรียบเทียบ ปริมาณที่วัด ได้จึงเป็นค่าต่างเฟสระหว่างคลื่นส่งที่รับ ได้กับคลื่นที่สร้างโดย เครื่องรับ ปัญหาของการวัดเฟสแบบนี้ คือจำนวนลูกคลื่นเต็มลูกที่ใช้ในการคำนวณระยะทาง ระหว่างดาวเทียมกับเครื่องรับ เนื่องจากไม่สามารถที่จะวัดจำนวนลูกคลื่นเต็มลูกได้โดยตรง ในเครื่องรับ จำนวนลูกคลื่นนี้เป็นเลขจำนวนเต็มที่ต้องใช้วิธีการประมาณผลเพื่อคำนวณว่ามีค่าเป็น เท่าไรเลขจำนวนนี้เรา เรียกว่า เลขปริศนา ภาษาอังกฤษมักใช้คำว่า Ambiguity หรือ Integer ใช้สัญลักษณ์เป็น N ข้อสังเกตก็คือถ้าช่องรับสัญญาณของเครื่องรับสามารถติดตามดาวเทียม ได้ตลอดเวลา ค่า N จากเครื่องรับไปยังดาวเทียมแต่ละดวงจะมีค่าไม่เปลี่ยนแปลง ในขณะเดียวกัน ค่าต่างเฟสที่เริ่มน้ำด้วยก่อให้คลื่นหนึ่งลูกจะสามารถตรวจพบได้โดยเครื่องรับ ดังนั้นถ้าสามารถ คำนวณหาค่า N เมื่อตอนเริ่มรับสัญญาณได้ ก็จะรู้ค่าจำนวนลูกคลื่นเต็มลูกที่เปลี่ยนแปลงไปอยู่ ตลอดเวลา สามารถศึกษาเพิ่มเติมได้จาก เคลินชนน์ สติระพน์ (2546)



รูปที่ 2.2 การรังวัดดาวเทียมด้วยวิธีวัดเฟสของคลื่นส่ง

ata เหตุที่ทำให้เครื่องรับแบบรังวัดมีสมรรถนะที่ให้ความถูกต้อง ทางตำแหน่งในระดับ เซนติเมตร คือ ประการแรก 1st ความยาวคลื่นของส่ง L₁ เพียง 19 เซนติเมตร เมื่อเทียบกับความยาว คลื่นของรหัส C/A ซึ่งยาวเท่ากับ 300 เมตร นั่นเครื่องรับแบบรังวัดนี้จะวัดเฟสของคลื่นส่งซึ่งเป็น ตัวนอย่างของลูกคลื่นหนึ่งลูก จึงเปรียบเทียบได้เหมือนกับการนำเอาไม้บรรทัดที่มีการแบ่งช่องสเกล ที่ถูกต้องกันมากมาวัดระยะทางอันเดียวกัน ย่อมทำให้ความถูกต้องของระยะทางที่วัดได้มีความ ละเอียดที่แตกต่างกันมากนั้นเอง ระยะทางที่ได้จากการวัดเฟสนี้จะมีความถูกต้องในระดับมิลลิเมตร เลยทีเดียว (ชูเกียรติ, 2008) ประการที่สอง 2nd การหาตำแหน่งแบบสัมพัทธ์ช่วยกำจัดความ

คลาดเคลื่อนมีระบบให้หักล้างกันหมุนนั้น เช่น ความคลาดเคลื่อนเนื่องจากนาฬิกาบนดาวเทียม ความคลาดเคลื่อนเนื่องจากนาฬิกาเครื่องรับ และในขั้นตอนการประมวลผลข้อมูลในซอฟต์แวร์ที่ใช้ในการประมวลผลเส้นฐานจีพีเอส โดยทั่วไปจะใช้เทคนิคการหาค่าต่างครั้งที่สองในการจัดค่าความคลาดเคลื่อนต่าง ๆ ที่กล่าวมาแล้วข้างต้น และหลังจากที่ได้ใช้เทคนิคการหาค่าต่างครั้งที่สองแล้วยังสามารถลดค่าความคลาดเคลื่อนที่เกิดจากชั้นบรรยากาศไอโอดีฟีเบอร์ และไทรโลสฟีเบอร์ที่หลงเหลือจากการใช้เทคนิคการหาค่าต่างครั้งที่สอง ได้โดยใช้แบบจำลองความคลาดเคลื่อนมาตรฐานที่มีอยู่ เช่น แบบจำลอง Klobuchar สำหรับลดค่าความคลาดเคลื่อนที่เกิดจากชั้นบรรยากาศไอโอดีฟีเบอร์และแบบจำลอง Hopfield หรือ Saastamoinen สำหรับลดค่าความคลาดเคลื่อนที่เกิดจากชั้นบรรยากาศไทรโลสฟีเบอร์

สำหรับการคำนวณตำแหน่งสัมพัทธ์จากข้อมูลการวัดเฟสของคลื่นส่ง โดยปกติจะเป็นการประมวลผลภายหลังการทำงานสนาน เพราะจะต้องนำข้อมูลจำนวนมากที่ได้จากการรับสัญญาณจากทั้งสองจุดมาประมวลผลร่วมกัน แต่ในปัจจุบันได้มีการพัฒนาซอฟต์แวร์ให้ทำการแสดงตำแหน่งในทันทีในขณะที่กำลังรับสัญญาณ ซึ่งเป็นวิธีการที่ใช้ในวิธีการรังวัดแบบจริงในทันที (Real Time Kinematic Survey) นั้นเอง

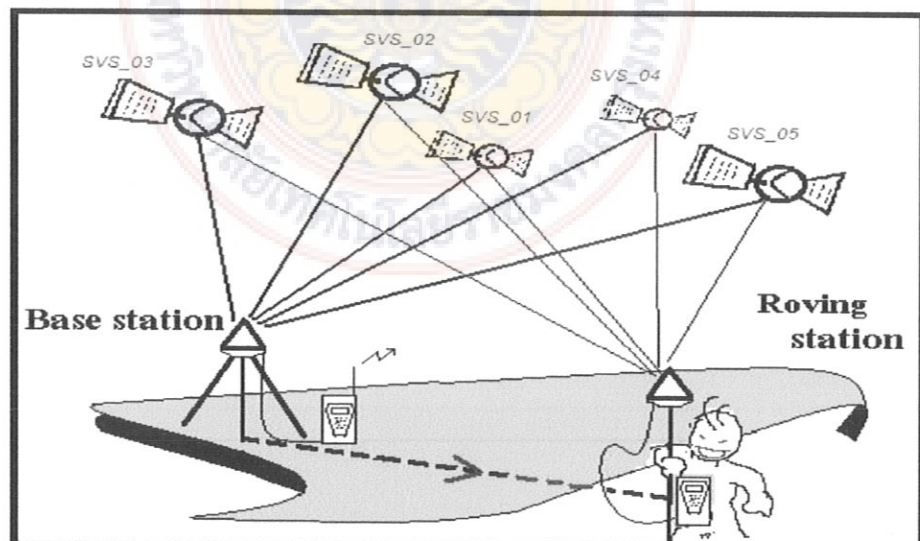
2.1.2 การรังวัดแบบจริงในทันที (Real Time Kinematic Survey)

ด้วยความสามารถของเครื่องรับสัญญาณจีพีเอสแบบสองความถี่ในปัจจุบัน ที่สามารถแสดงค่าพิกัดทางตำแหน่ง แบบ 3 มิติ ให้มีความถูกต้องในระดับเซนติเมตรหรือดีกว่า และยังสามารถบันทึกค่าพิกัดที่มีความถี่ของข้อมูลได้ทุกๆ 0.2 วินาที (5Hz) หรือถี่กว่านั้น แล้วแต่รุ่นของเครื่องรับนั้น ๆ ทำให้มีการนำเอาเครื่องรับสัญญาณจีพีเอส ไปประยุกต์ใช้ในการเฝ้าระวังและตรวจสอบการเปลี่ยนแปลง การเคลื่อนที่ของโครงสร้างทางวิศวกรรม ไม่ว่าจะเป็นสะพาน เขื่อน อาคารสูง หรือ สิ่งก่อสร้างขนาดใหญ่ การประยุกต์ใช้งานเครื่องรับสัญญาณจีพีเอส ที่นิยมกันมาก คือ การนำเอาเครื่องรับสัญญาณจีพีเอส ไปใช้วัดการเคลื่อนตัวของสะพาน ซึ่งผลการศึกษาที่ผ่านมา ได้แสดงถึงความเป็นไปได้ในการใช้เครื่องรับสัญญาณจีพีเอส ที่ผ่านมา (Robert et al., 2004) เพื่อการตรวจสอบการเคลื่อนตัวของโครงสร้างสะพานแบบ 3 มิติ โดยที่สะพานเหล่านี้จะถูกอยู่ภัยได้เงื่อนไขของแรงต่างๆ ที่มากระทำต่อตัวของสะพาน ไม่ว่าจะเป็นน้ำหนักของตัวสะพานเอง น้ำหนักของยานพาหนะ หรือแรงลม ที่กระทำทางด้านข้างของตัวสะพาน แรงต่างๆเหล่านี้มีผลต่อการเคลื่อนตัวของสะพาน ได้ในทั้ง แกนราบ และแกนดิ่ง ถ้าค่าการเคลื่อนตัวของสะพานที่เกิดขึ้นนี้สามารถถูกตรวจสอบได้โดยทันทีทันใด หรือถูกวัดค่าได้จะทำให้เกิดประโยชน์

มากมายทั้งคู่ทีมงานวิศวกรผู้ออกแบบและทีมงานที่ทำหน้าดูแลบำรุงรักษาสะพาน วิธีการรังวัดด้วยดาวเทียมจีพีเอส วิธีหนึ่ง ที่เราจะนำมาประยุกต์ใช้ในการหาค่าระดับของหมุดควบคุมทางดึง (ก้องไกล และเคลินชนน์, 2005) ซึ่งสามารถให้ค่าพิกัดได้ทันทีทันใด ก็คือวิธีการรังวัดด้วยดาวเทียมจีพีเอส แบบจรน์ในทันที (Real-Time Kinematic, RTK)

ชูเกียรติ วิเชียรเจริญ (2538) ให้คำอธิบายเกี่ยวกับวิธีการรังวัดแบบจรน์ในทันทีดังนี้

“การรังวัดแบบจรน์ในทันที บางครั้งเรียกว่า RTK เป็นวิธีการทำงานรังวัด ดาวเทียมที่ให้ค่าตำแหน่งสัมพัทธ์ได้ในขณะที่กำลังทำงานรังวัดอยู่ ตำแหน่งที่คำนวณได้นี้มีความถูกต้องถึงเซนติเมตร สำหรับการรังวัดแบบจรน์ในทันที (RTK) แม้ว่าจะสามารถให้ค่าตำแหน่งสัมพัทธ์ได้ในขณะที่กำลังทำงานรังวัดอยู่ในสถานที่แต่การคำนวณยังคงยึดหลักการพื้นฐานที่เหมือนกับการรังวัดแบบอื่นๆ อยู่นั่นคือ ประการที่หนึ่ง ต้องอาศัยข้อมูลการรังวัดจากทั้งสองจุด มาประมาณผลร่วมกันเพราเป็นหาตำแหน่งสัมพัทธ์ และประการที่สอง คำนวณค่าเลขบริศนาที่ถูกต้องให้ได้ด้วยเงื่อนไขที่ต้องการอันแรก ทำให้มีความจำเป็นที่จะต้องมีคลื่นวิทยุที่จะใช้ในการส่งข้อมูลการวัดเฟสจากเครื่องรับที่สถานีฐานไปยังเครื่องรับที่จุดรีโมท สำหรับเครื่องรับที่จุดรีโมทจะต้องมีหน่วยประมวลผล และมีซอฟต์แวร์สำหรับการประมวลผลเส้นฐานอยู่ด้วย (ดังรูปที่ 3) สำหรับเงื่อนไขที่สองการคำนวณค่าเลขบริศนาจะต้องเลือกใช้วิธีการวัดและขั้นตอนวิธีประมวลผลที่ให้คำตอบเร็วที่สุด ในปัจจุบันวิธีการที่ใช้คือ ค่าพสมของรหัส และคลื่นส่งในเครื่องรับแบบ 2 ความถี่ ที่มีรหัส P ซึ่งเป็นวิธีการเดียวกับที่การรังวัดสถิตอย่างเร็วใช้อยู่”

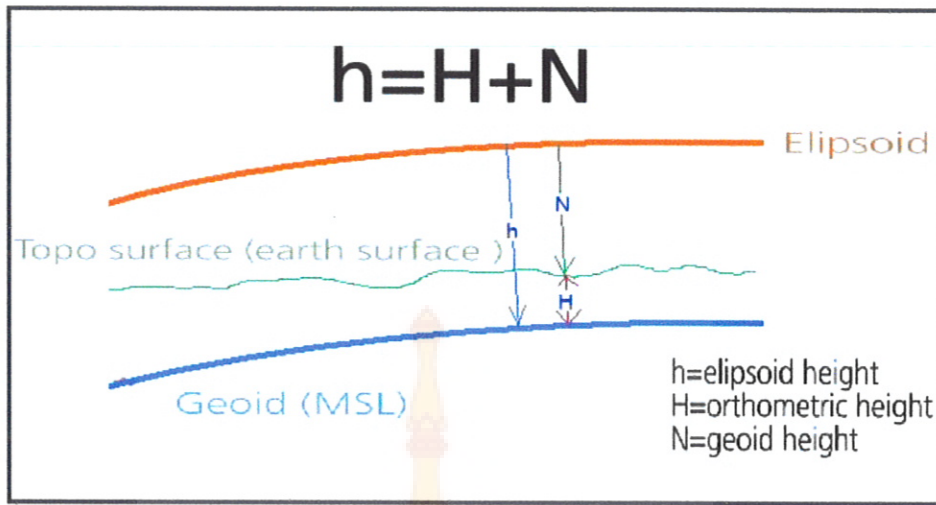


รูปที่ 2.3 การทำงานรังวัดดาวเทียมจีพีเอสแบบจรน์ในทันที

จุดสถานีฐานจะส่งข้อมูลต่างๆ ที่จำเป็นที่จะต้องใช้ในการประมวลผล เพื่อใช้ในการคำนวณหาเลขปริศนาให้ได้เร็ว และมีความถูกต้องมากที่สุด สำหรับข้อมูลที่สถานีฐานส่งมา ได้แก่ ข้อมูล L1, L2, P₁, P₂ ของดาวเทียมแต่ละดวงที่รับได้รวมทั้งค่าพิกัดตั้งต้นของตัวสถานีฐาน โดยจะถูกจัดส่งมาในรูปแบบข้อมูลมาตรฐาน ของเครื่องรับยี่ห้อนินจา หรือรูปแบบมาตรฐาน RTCM (The Radio Technical Commission for Maritime Service) ให้กับเครื่องรับที่จุดสถานีจรด้วยคลื่นวิทยุ ซึ่งการรังวัดดาวเทียมจีพีเอสแบบชลน์ในทันทีนี้ ตำแหน่งที่จุดแรกจะต้องรอให้มีข้อมูลเพียงพอสำหรับการคำนวณเลขปริศนา ในกรณีที่รับสัญญาณได้ไม่ต่อเนื่อง ไม่จำเป็นต้องเดินทางขึ้นกลับไปยังจุดที่ผ่านมาแล้ว เพียงแต่หยุดรอสักครู่เพื่อให้มีข้อมูลพอที่จะคำนวณเลขปริศนาได้ใหม่ เช่นเดียวกับเมื่อเริ่มงานที่จุดแรก จากนั้นก็เดินทางต่อไปได้ตามปกติ

2.1.3 หลักการหาค่าระดับจากงานรังวัดด้วยดาวเทียม จีพีเอส

ระบบค่าพิกัดที่ได้จากการรังวัดด้วยดาวเทียม GPS นี้ เป็นผลลัพธ์ ของค่าพิกัดทางตำแหน่งใน 3 มิตินี้คือ แกนระบุ 2 ค่าและแกนดิ่ง 1 ค่า โดยจะอ้างอิงถึงรูปร่างของทรงรี (Ellipsoid) ที่มีชื่อว่า WGS 84 ซึ่งจากหลักการทำงานรังวัดด้วยดาวเทียมจีพีเอส พบว่า โดยทั่วไปแล้ว ค่าความถูกต้อง ของตำแหน่งทางระบุที่ได้จาก GPS จะดีกว่าทางดิ่ง ประมาณ 2-3 เท่า (Rizos, 2007) ระบบพิกัดแบบนี้จะเรียกว่าระบบพิกัดภูมิศาสตร์ (Geodetic Coordinate system) ซึ่งประกอบไปด้วย (Φ, Λ และ h) ค่าพิกัดในแนวดิ่งหรือค่าความสูงนี้ เป็นค่าความสูงเหนือทรงรี (h) ที่อ้างอิงมาจาก ทรงรีที่มีชื่อว่า WGS 84 แต่ในขณะเดียวกัน ความสูงที่นำมาใช้ในงานวิศวกรรม จะอ้างอิงมาจากระดับน้ำทะเลเป็นกลาง Mean Sea Level (MSL) หรือพื้นผิวยื่นออก ซึ่งเรียกโดยย่อว่า ความสูงเหนือระดับน้ำทะเลเป็นกลาง (Height above mean sea level) เพื่อความสูงอธิบายเชิงตรិก (Orthometric height) ค่าความสูงอธิบายเชิงตรិก (H) นี้จะอ้างอิงกับค่าระดับจาก MSL เนื่องจากผิวระดับน้ำทะเลเป็นกลางเป็นตัวแทนที่ดีที่สุดของยื่อย่อนแวดี หรือแนวความสูงอธิบายเชิงตรិก (H) จะตั้งจากกับผิวยื่นอยู่ ส่วนความสูงเหนือทรงรี (h) จะตั้งจากกับผิวทรงรี WGS 84 ซึ่งความสัมพันธ์ของค่าความสูงทั้ง 2 แบบแสดงได้ดังรูปที่ 2.4



รูปที่ 2.4 ค่าความสูงจากงานรังวัดความเที่ยมจีพีเอส

จากรูปที่ 2.4 จะเห็นได้ว่า การจะแปลงความสูงเหนือทรงรี (h) ที่ได้จากเครื่องรับสัญญาณ GPS มาเป็นความสูงเหนือระดับน้ำทะเลเป็นกลาง คือ ความสูงออร์โธเมตริก (H) จะนั่น เมื่อต้องการทราบความสูงออร์โธเมตริก ต้องการรวมค่าต่าง ระหว่างพื้นผิว ทรงรี และพื้นผิวยីอย (Geoids-Ellipsoid separator) ซึ่งในงานวิจัยนี้จะเรียกโดยย่อว่า เชิงความสัมพันธ์ระหว่าง ค่า N กับ ความสูงออร์โธเมตริก (H) และความสูง เหนือทรงรี (h) สามารถแสดงได้ดังสมการที่ว่า

$$h = H + N \dots$$

โดยที่ h คือ ความสูงเหนือทรงรี

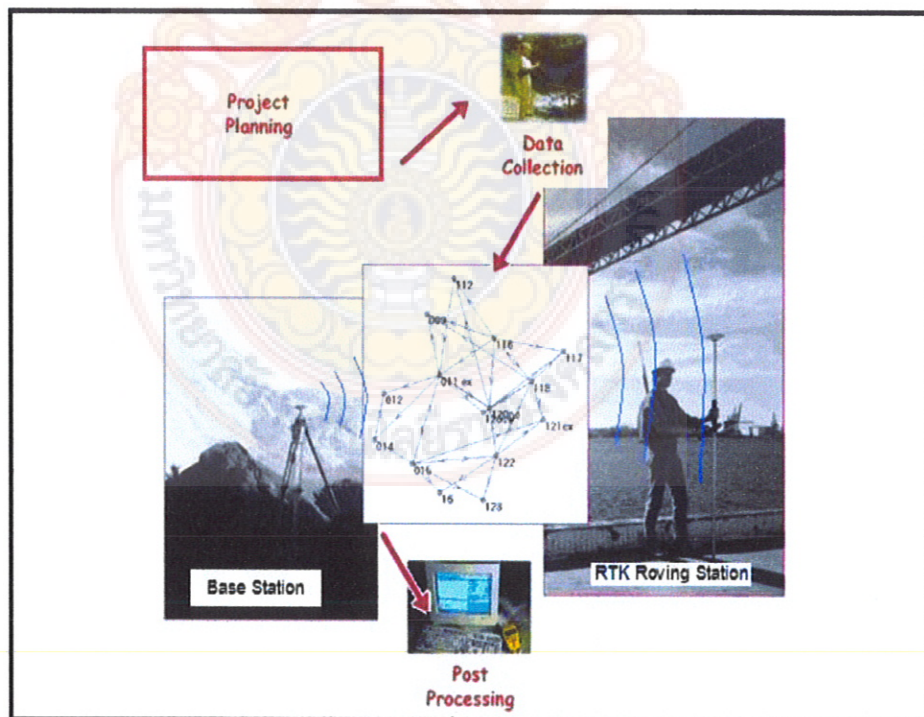
H คือ ความสูงออร์โธเมตริก หรือ ความสูงเหนือระดับน้ำทะเลเป็นกลาง

N คือ ค่าต่างระหว่าง พื้นผิวทรงรี กับ พื้นผิวยីอย

จากสมการข้างต้น พบว่า ความถูกต้องของ ค่าความสูง ออร์โธเมตริก (H) นั้น จะขึ้นอยู่กับค่าความถูกต้องของความสูงเหนือทรงรี (h) ที่ได้จากการรังวัดด้วยความเที่ยมจีพีเอส และค่าความถูกต้องของ ค่า N จะนั่น ความถูกต้องของค่า N นี้จึงเป็นปัจจัยที่มีผลต่อการคำนวณค่าระดับความสูง จากงานรังวัดด้วยความเที่ยมจีพีเอส ที่ผ่านมา ธนช(2547) ได้ทำการศึกษาเบริญเทียน แบบจำลอง ของ สถานะความต่างภูพ (Perth's gravity field) ที่มีดีกรีถึง 360 ระหว่าง OSU91A และ EGM96 โดย จากการศึกษาผลลัพธ์ที่ $h = H + N$ ที่อะโนมลี แรงถ่วงเฉลี่ยที่ 30 ลิปดา พบร้าแบบจำลองที่ให้ค่าความถูกต้องสูงที่สุดคือ EGM 96 ซึ่งแบบจำลองดังกล่าวให้ค่าความถูกต้องแบบสัมบูรณ์ (Absolute accuracy) อยู่ที่ประมาณ 1 เมตร (NASA, 2005) และค่าความถูกต้องของค่า N เชิงสัมพัทธ์โดยรวมที่ได้จากวิธีนี้จะอยู่ในระดับ 5 ppm หรือคิดว่า นั่น

2.2 การทบทวนวรรณกรรม (Reviewed Literature) / สารสนเทศ (Information) ที่เกี่ยวข้อง

งานรังวัดดาวเทียมจีพีเอสได้ถูกนำมาใช้กันอย่างกว้างขวางในปัจจุบัน โดยเฉพาะงานที่ต้องการค่าความถูกต้องทางตำแหน่งที่สูงหรืองานที่ต้องการค่าพิกัดในขณะนั้นทันทีทันใดเนื่องจากงานรังวัดด้วยดาวเทียมจีพีเอสมีข้อได้เปรียบงานรังวัดภาคพื้นดินด้วยกล้องวัดมุมอยู่หลายประการ เช่น สามารถทำงานได้ในทุกสภาพภูมิอากาศและตลอด 24 ชั่วโมง สะดวกสบาย อีกทั้งข้อจำกัดในเรื่องของการมองเห็นกันของแต่ละสถานี ก็ไม่มีนอกจากนี้ผลลัพธ์ที่ได้ก็ยังเป็นค่าพิกัดในสามมิติซึ่งนั้นก็รวม ค่าพิกัดทางดิ่งที่ได้จากการรังวัดดาวเทียมจีพีเอส ในช่วงไม่กี่ปีที่ผ่านมาได้มีผลงานวิจัยหลายเรื่องที่ประยุกต์ใช้จีพีเอสในการหาค่าระดับ (เช่น Fotopoulos et al. (2003); Martensson (2002); และ Wichiencharoen (1998) ธนัช และเฉลิมชนน์, (2548) โดยการนำข้อมูลการรับสัญญาณจีพีเอส ของเครื่องรับมาประมวลผลเส้นฐานแบบสัมพัทธ์ในภายหลัง โดยซอฟแวร์ เชิงพาณิชย์ เป็นต้น ซึ่งผลที่ได้จากการวิจัยเหล่านี้ได้ชี้ให้เห็นถึงความเป็นไปได้ที่จะนำเอาระบบจีพีเอสมาใช้ในการหาค่าระดับเหนือระดับน้ำทะเลเป็นกลาง ที่มีความถูกต้องในระดับเซนติเมตร หรือ เดซิเมตร



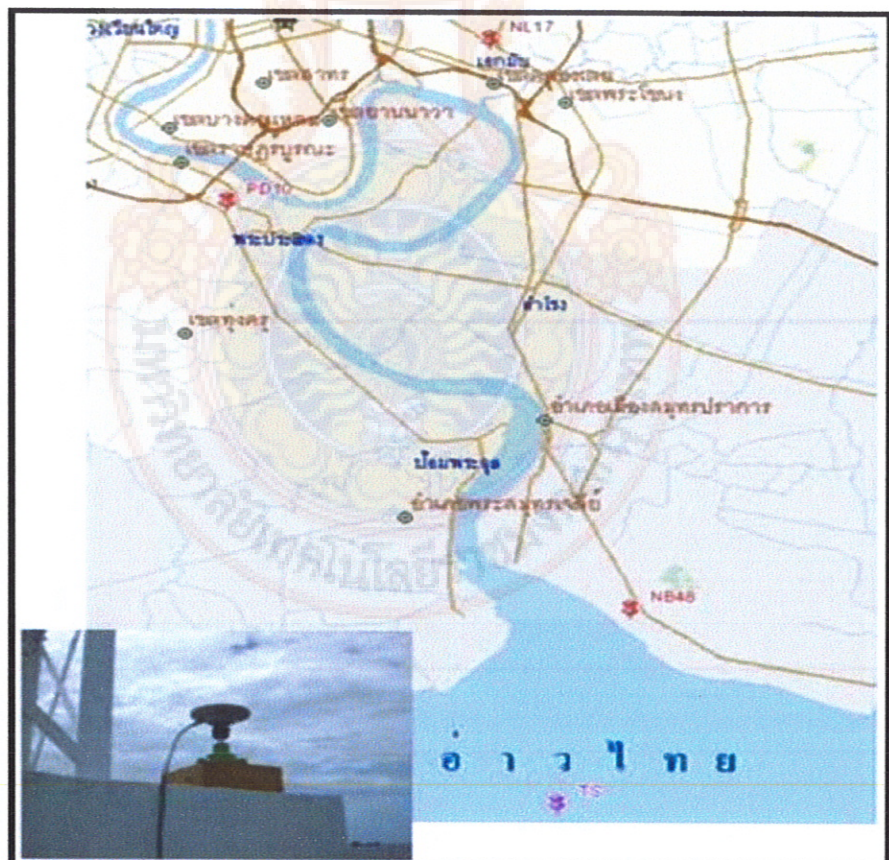
รูปที่ 2.5 เทคนิคการรังวัดด้วยทางดาวเทียม GPS แบบจลน์ในทันที

และวิธีการรังวัดด้วยดาวเทียม GPS ที่นิยมทำกันในปัจจุบัน เพราะสามารถให้ค่าพิกัดได้ทันทีทันใด นั้นก็คือวิธี Real Time Kinematic ดังรูปที่ 2.5 เพราะสามารถให้ค่าพิกัดตำแหน่งสัมพัทธ์แบบทันทีทันใดในสถานที่ ที่ผ่านมาก็มีนักวิจัยหลายท่านที่ได้ใช้เทคนิคการรังวัดด้วยทางดาวเทียม GPS แบบจนนี้ในทันที (RTK-GPS) ในการประยุกต์ใช้ค่าพิกัด ทางราบที่ตรวจขึ้นได้ร่วมกับเครื่องมือวัดต่อ กันความเร่งซึ่งผลจากการตรวจสอบพบว่า ค่าวิธีการ RTK สามารถที่จะตรวจขึ้นการเคลื่อนตัวของอาคารสูงร่วมกับเครื่องมือวัดความเร่ง (Accelerometer) ได้แต่ผลลัพธ์ที่ได้จาก RTK ก็มียังค่าคลาดเคลื่อนทางตำแหน่งแห่งอยู่จาก(Brown john J.M.W et al (2006)) อีกทั้ง Lee.S.I and Ge.L.L (2006) ก็ได้ทำการทดสอบความสามารถของ RTK ในการทำแผนที่ภูมิประเทศดังรูปที่ 2.6 เปรียบเทียบความสามารถในการช่วงๆ ในไม้ผลกับช่วงๆ ในไม้ร่อง โดยจะถือว่า ค่าตำแหน่งของค่าพิกัดทางราบที่ได้จากกล้องประมวลผลรวม (Total station) เป็นตัวที่ถูกต้อง ซึ่งจากการงานวิจัยพบว่า จะ ถูกต้อง ให้กับความสามารถของ RTK โดยสามารถตรวจสอบความถูกต้องได้ด้วยค่า Root Mean Square (RMS) ที่ได้จากการประมวลผลข้อมูล สถานที่ในภายนอกที่ได้จากวิธี RTK ของจุดนั้น ๆ



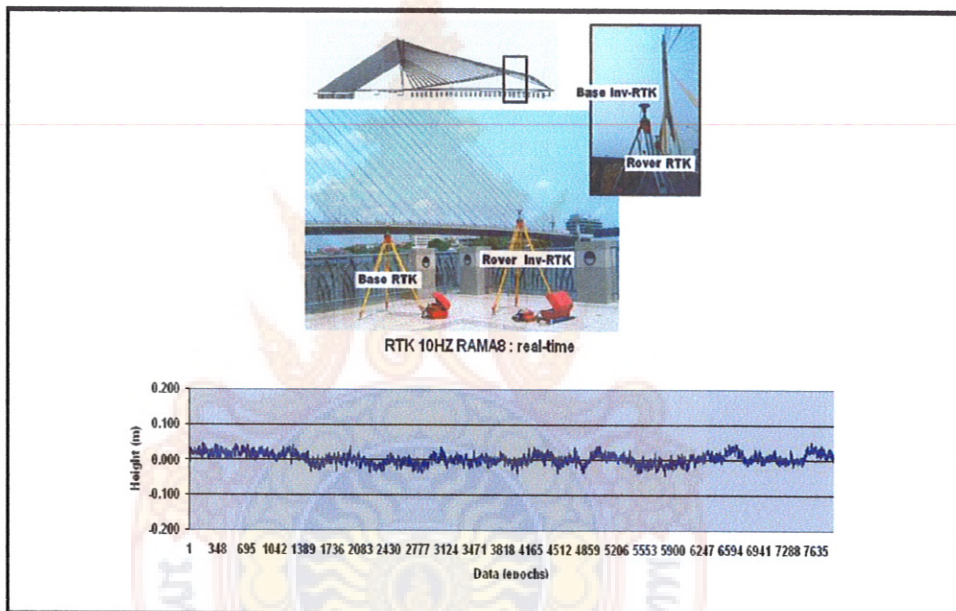
รูปที่ 2.6 การทดสอบความสามารถของ RTK ในการทำแผนที่ภูมิประเทศ ในถูกต้องที่แตกต่างกัน ของLee.S.I and Ge.L.L (2006)

สำหรับในประเทศไทย ก็ได้มีการประเมิน ความถูกต้องของค่าความสูงออร์โトイเมตริกจาก การรังวัดดาวเทียมระบบ GPS หรือค่าระดับเหนือน้ำทะเลplainกลาง โดย ชนชและเฉลิมชนาท, (2548) ได้ทำการประยุกต์ใช้แบบจำลองความสูงเยื่อย EGM 96 ในการทำท่าค่าระดับเหนือ ระดับน้ำทะเลplainกลางซึ่งจากการศึกษาพบว่าการทำระดับด้วย GPS นี้ จะให้ค่าความถูกต้องของ ค่าความสูงออร์โトイเมตริกในระดับ เดซิเมตรซึ่งก่อนหน้านี้นี้ เฉลิมชนาทและคณะ (2547) ก็ได้ ประยุกต์หาค่าระดับเหนือระดับน้ำทะเลplainกลางของสถานีวัดน้ำที่ตั้งอยู่กลางทะเลใน บริเวณอ่าว ไทยดังรูปที่ 2.7 ด้วยวิธีรังวัดแบบสถิต(Static Surveying) พร้อมทั้งได้แนะนำวิธีในการแปลงค่า ความสูงเหนือทรงรีของ GPS โดยการใช้ค่าต่างระหว่างพื้นผิวทรงรี และพื้นผิวยื่อย (Geoids - ellipsoid separation) ซึ่งต่อไปบทความนี้จะเรียกว่า ค่า “N” จากแบบจำลอง EGM 96 (Earth Gravitation Model 1996) มาประยุกต์ใช้ในการทำท่าค่าระดับเหนือระดับน้ำทะเลplainกลาง โดยใช้การป้อนค่าพิกัดทางราบของหมุดสถานี ฐานแล้วใช้ซอฟแวร์ SKI-Pro ในการประมวลผลค่า พิกัดจุดที่ต้องการทราบจากความสูงเหนือผิวทรงรี เป็นความสูงเหนือระดับน้ำทะเลplainกลาง



รูปที่ 2.7 การประยุกต์หาค่าระดับเหนือระดับน้ำทะเลplainกลางของสถานีวัดน้ำที่ใน บริเวณอ่าวไทย ด้วยวิธีรังวัดแบบสถิต(Static Surveying) ของ เฉลิมชนาทและคณะ (2547)

ต่อมา กองโภค และเอนิเมชันน์ (2549) ได้ทำการทดสอบ วิธีการรังวัดดาวเทียม GPS ในลักษณะจนน์แบบทันทีทันใด (RTK) และวิธีการรังวัดดาวเทียม GPS ในลักษณะจนน์แบบย้อนกลับ แบบทันทีทันใด (Inversed RTK) ดังรูปที่ 2.8 พบว่า วิธีการรังวัดดาวเทียม GPS ด้วยวิธีจนน์ในลักษณะทันทีทันใด (RTK) สามารถตรวจจับการเคลื่อนตัวทางดิ่ง ของแบบจำลองได้ แต่ผลลัพธ์ที่ได้นั้น ยังมีความผิดแฝงอยู่ ซึ่งสาเหตุน่าจะมาจากลิ้นสะท้อนลายวิถี เพราะการทำงานของวิธีการรังวัดด้วยดาวเทียม GPS ในวิธีจนน์ ในลักษณะทันทีทันใด (RTK) มีหลักการประเมินผลค่าพิกัดแบบสัมพัทธ์หากสัญญาณดาวเทียมที่เครื่องรับที่สถานีจรับได้มีค่าคลาดเคลื่อนจากคลิ้นสะท้อนลายวิถี แฝงอยู่ก็จะทำให้ผลลัพธ์ที่ได้นั้นเกิดความผิดขึ้น



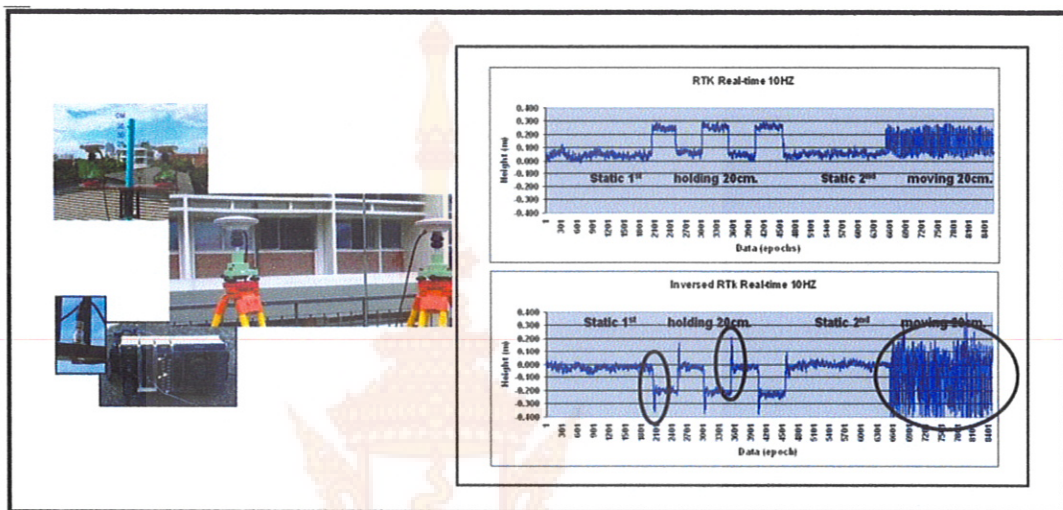
รูปที่ 2.8 กองโภค และเอนิเมชันน์ (2549) ได้ทำการทดสอบ วิธีการรังวัดดาวเทียม GPS ในลักษณะจนน์แบบทันทีทันใด (RTK) และ ในลักษณะจนน์ แบบย้อนกลับแบบทันทีทันใด (Inversed RTK) ในการตรวจจับการเคลื่อนตัวทางดิ่งของสะพานพระราม 8

ซึ่งจากการวิจัยที่ผ่านมาพบว่า ค่าคลาดเคลื่อนที่ແengอยู่ในค่าระดับทางดึงและค่าระดับทางดึงนั้นมีค่าพิสัยที่ค่อนข้างคงที่ ในขณะที่เครื่องรับอยู่กับที่ซึ่งในที่นี้ขอเรียกว่า noise (ซึ่งในทางทฤษฎีมีค่าประมาณ 0.002 เมตร) แต่ที่พบจริงจากการใช้งานมีขนาดใหญ่กว่าที่นั้นมาก เพราะจะนั้นถ้าหากต้องการทราบค่าต่างของหมุนระดับในทางดึงจากการรังวัดด้วยดาวเทียม GPS แบบจลน์ในทันที (RTK) ค่า noise ที่ແengอยู่นี้จึงถือว่าเป็นปัญหาอันดับแรกที่เราต้องหาทางกำจัด หรือทำให้น้อยลง โดยงานวิจัยนี้ ผู้วิจัยได้ทำการสร้างแบบจำลอง เพื่อใช้ทดสอบการเคลื่อนตัวในทางดึงที่เครื่องรับที่สถานีตรวจจับได้ในสนาม และได้ออกแบบการทดลองพร้อมทั้งทำการบันทึกเก็บข้อมูลเพื่อนำมาประมวลผลแบบสัมพัทธ์ ในภายหลังอีกที หนึ่งหลักการก็คือใช้ตำแหน่งของตัวสถานีฐานเทียบกับตำแหน่งสถานีจรา โดยผลลัพธ์จากการคำนวณที่ได้คือเวลาเตอร์ค่าต่างเทียบกันของตัวสถานีฐานเทียบกับตำแหน่งสถานีจราซึ่ง ในงานวิจัยนี้ เราจะพิจารณาเพียง ค่าต่างทางดึงเท่านั้น

2.3. แนวคิดและสมมติฐานในการวิจัย

การรังวัดด้วยดาวเทียม จีพีเอส สำหรับงานด้านวิศวกรรม ที่ให้ความละเอียดถูกต้องในระดับเซนติเมตร หรือ มิลลิเมตร ก็คือ วิธีการรังวัดแบบสถิตย์ (static survey) ซึ่ง วิธีการรังวัดแบบสถิตย์นี้จะใช้หลักการ ของการหาตำแหน่ง แบบสัมพัทธ์ (Relative positioning) และใช้เครื่องรับสัญญาณ จีพีเอสแบบรังวัด ชนิด 2 ความถี่ตั้งแต่ 2 เครื่อง ขึ้นไปมาทำการตั้งรับสัญญาณจีพีเอส บนหมุนเหล็กฐาน ที่ต้องการทราบ แต่วิธีการรังวัดด้วยวิธีแบบสถิตย์นี้ก็มีข้อด้อยอยู่ตรงที่ผู้ใช้ต้องเสียเวลาในการตั้งเครื่องรับสัญญาณเป็นกลางนาน แต่มีวิธีการรังวัดด้วยดาวเทียม จีพีเอสอยู่วิธีหนึ่งที่ใช้หลักการประมวลผลแบบสัมพัทธ์ และสามารถให้ค่าพิกัดทันทีทันใด ขณะทำการรังวัดอยู่ในสนาม นั้นคือวิธีรังวัดด้วยดาวเทียม GPS แบบจลน์ ในทันทีซึ่งในที่นี้จะเรียกว่า “RTK”

ที่ผ่านมา (ก้องไกด และเฉลิมชันน์, 2550) ได้ทำการทดสอบความสามารถและประยุกต์ใช้ วิธีการ RTK ใน การตรวจจับการเคลื่อนตัวทางดิ่ง และพบว่าค่าคลาดเคลื่อนที่แฟรงอยู่ในสัญญาณ ขณะที่แบบจำลองอยู่กับที่ นั้นเกิดจากคลื่นหลายวิธี (Multipath) ซึ่งสาเหตุหนึ่งคงจะเกิดจาก ตำแหน่งของจานรับสัญญาณ และเสาค้ำยันแบบจำลองตั้งอยู่ใกล้ ๆ กันมากไป (กรูปที่ 2.9)



รูปที่ 2.9 ก้องไกด และเฉลิมชันน์ (2549) ได้ทำการทดสอบ วิธีการรังวัดดาวเทียม GPS ในลักษณะจนน์แบบทันทีทันใด (RTK) และ ในลักษณะจนน์ แบบย้อนกลับแบบทันทีทันใด (Inversed RTK)

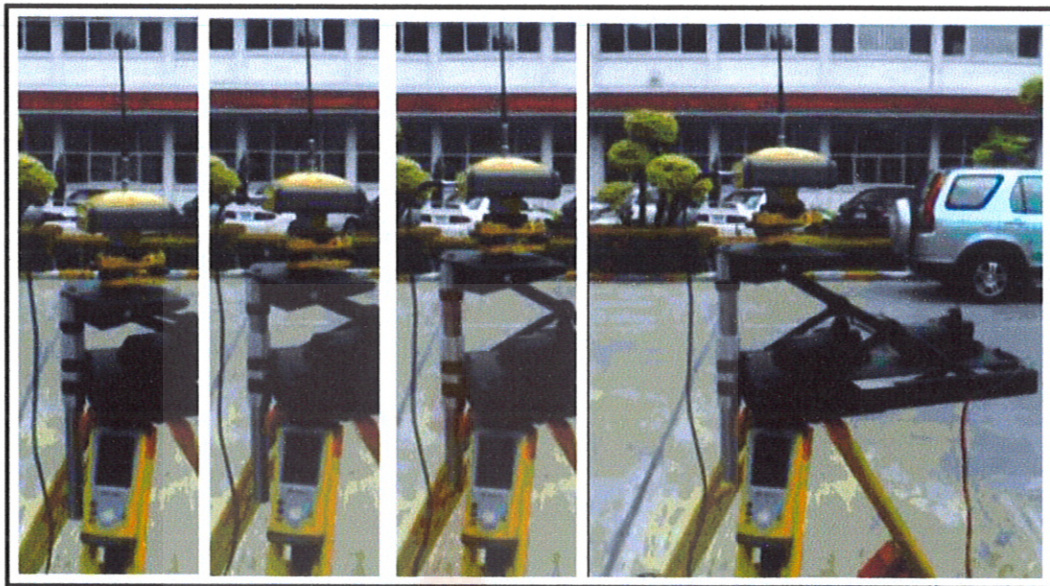
ดังนั้นในงานวิจัยครั้งนี้ จะทำการออกแบบ แบบจำลองที่สามารถ ควบคุมเรื่องการเคลื่อน ตัวในแนวเดียว ให้มีความสูงตามที่ผู้ทดสอบต้องการ ให้เกิดขึ้น ได้พร้อมกันนี้ ได้ทำการออกแบบให้ แบบจำลองนี้ไม่มีเสาค้ำยันตรงกลางเพื่อป้องกันการเกิดคลื่นหลายวิธี ซึ่งจากการทดสอบเบื้องต้น เมื่อวันที่ 24 กรกฎาคม 2552 บริเวณหน้าตึกอธิการบดี มหาวิทยาลัยเทคโนโลยีราชมงคล กรุงเทพ จำนวน 800 จุดด้วยเครื่องรับสัญญาณ จีพีเอส แบบรังวัด ชนิด 2 ความถี่รุ่น Hyper Ga ยี่ห้อ Topcon พบร่วมกับ การทดสอบเราแบ่ง ออกเป็น 2 ช่วงนั้นคือ ทำการรังวัดด้วยวิธี RTK ในขณะที่ แบบจำลองอยู่กับที่ และในขณะที่ แบบจำลอง กำลังเคลื่อนที่ขึ้นลง บันทึกข้อมูล ทุก ๆ 0.2 วินาที ผลการทดลองในการตรวจจับค่าการเคลื่อนตัวแนวเดียว ดังตารางที่ 2.1

ข้อมูล	ค่าเบี่ยงเบนมาตรฐาน (meters)	
	แบบจำลองเมื่อยื่นกับที่ 800 จุด	แบบจำลองเคลื่อนที่ทางดิ่ง 800 จุด
รังวัดจาก RTK ในสนาม	0.0607	0.0876
ประมาณผลในภายหลัง	0.0609	0.0896

ตารางที่ 2.1 แสดงค่าเบี่ยงเบนมาตรฐานที่ใช้ทดสอบสมมุติฐานเบื้องต้น

จากตารางทดสอบเบื้องต้นด้วยวิธี RTK ในการตรวจสอบค่าการเคลื่อนตัวทางดิ่งของแบบจำลองในขณะที่อยู่นิ่ง และในขณะเคลื่อนที่พบว่า เมื่อแบบจำลองอยู่นิ่งกับที่ยังไม่ทำการสั่นค่าต่างของความสูง (Δh) ที่เปลี่ยนแปลงของแบบจำลอง มีค่าเบี่ยงเบนมาตรฐานคือ 0.0607 เมตร ซึ่งแสดงให้เห็นว่า ความสูงที่ตรวจจับได้ แม่ข่ายจะยื่นกับที่นี้มีการเกาะกลุ่มกันของข้อมูล อยู่ในระดับ เดซิเมตร และเมื่อแบบจำลองมีการเคลื่อนตัวทางดิ่ง เกิดขึ้น ผลลัพธ์ของค่าพิกัดทางดิ่ง ของค่างต่างความสูง (Δh) ที่เปลี่ยนแปลงของแบบจำลองมีค่าเบี่ยงเบนมาตรฐานคือ 0.0876 เมตรแสดงให้เห็นว่าความสูงที่เปลี่ยนแปลงไปของแบบจำลองที่ตรวจจับได้แบบทันทีทันใดในสนามมีค่าการกระจายตัวของข้อมูลใกล้เคียงกันกับในขณะที่แบบจำลองอยู่นิ่งกับที่ดังนั้นจากตารางที่ 2.1 แสดงให้เห็นว่าความสามารถในการตรวจจับการเคลื่อนตัวแนวดิ่ง แม้ในขณะที่อยู่นิ่งกับที่ หรือแบบจำลองเคลื่อนตัวทางดิ่ง ของวิธี RTK นี้ สามารถให้ค่าส่วนเบี่ยงเบนมาตรฐานที่ใกล้เคียงกัน แสดงว่า วิธี RTK สามารถนำมาระบุคต์ใช้ในการตรวจจับการเคลื่อนตัวทางแนวดิ่งได้

ผู้วิจัยได้ทำการติดตั้ง เครื่องรับสัญญาณ GPS เพื่อทดสอบตามสมมุติฐานที่ตั้งไว้โดยแบ่ง การทดสอบออกเป็น 2 ช่วง คือ ในขณะที่แบบจำลองนั้นอยู่นิ่งกับที่ และในขณะที่แบบจำลองมี การเคลื่อนที่ ขึ้น – ลง โดยทำการเก็บตัวอย่างบน แบบทดสอบการเคลื่อนที่ทางแนวดิ่งที่ได้สร้างขึ้นโดยเฉพาะ เพื่อทดสอบปัญหาที่จะเกิดจากคลื่นสะท้อนหลายวิถี (Multipath) และสามารถควบคุม การขึ้น ลง โดยการกดปุ่มจากนั้นก็จะทำการรับสัญญาณในขณะที่เครื่องรับอยู่นิ่งกับที่ จำนวนรอบๆ 400 จุด รวม 800 จุด เช่นเดียวกันกับในขณะอยู่นิ่งกับที่ เฉยๆ ดังรูปที่ 2.10



รูปที่ 2.10 ทำการทดสอบ วิธีการรังวัดดาวเทียม GPS ในลักษณะจลน์แบบทันทีทันใด ใน การทดสอบเบื้องต้นที่หมุด BM_SV03

เป็นอย่างที่ทราบกันว่า ข้อดีของการใช้เครื่องรับสัญญาณด้วย GPS แบบรังวัด ชนิด 2 ความถี่ คือผลลัพท์ ของค่าพิกัดในทาง 3 มิติ ที่มีความถูกต้องในระดับ เซนติเมตร หรือดีกว่า ซึ่งในการวิจัยนี้จะใช้วิธีการรังวัดแบบ สติชิย์ ในทันที (RTK) โดยจะประยุกต์ใช้ข้อมูลดิบจากการรับสัญญาณดาวเทียม จีพีเอสมาทำการประมวลผลแบบสัมพัทธ์ ในภายหลังอีกทีหนึ่ง

บทที่ 3

วิธีดำเนินการวิจัย

ในบทนี้เป็นการกล่าวถึงวิธีการทดสอบประสิทธิภาพของวิธีการวัดด้วยดาวเทียม จีพีเอสแบบจรน์ในทันที (Real-time Kinematic, RTK) โดยใช้แบบจำลองที่ออกแบบมาเพื่อทดสอบค่าต่างระดับทางด้านพร้อมทั้งติดตั้งกับเสาอากาศของเครื่องรับสัญญาณ จีพีเอส แล้วทำการทดสอบตามที่ได้ออกแบบไว้ เพื่อนำไปสู่ข้อสรุปของการใช้งาน RTK ในเรื่องของงานระดับ (Leveling) ในทางวิศวกรรม

3.1 เครื่องมือที่ใช้ในงานวิจัย

3.1.1 เครื่องรับสัญญาณดาวเทียม จีพีเอส ยี่ห้อ Topcon รุ่น Hyper Ga จำนวน 2 เครื่อง แบ่งเป็นเครื่องรับที่สถานีฐาน (Base station) และสถานีเดิน (Roving station) พร้อมด้วย เครื่องบันทึกสมุดสนามอิเล็กทรอนิกส์ (Field controller) ยี่ห้อ Topcon รุ่น FC-200 จำนวน 1 เครื่อง



รูปที่ 3.1 เครื่องรับสัญญาณดาวเทียมจีพีเอส ยี่ห้อ Topcon รุ่น Hyper Ga พร้อมด้วย เครื่องบันทึกสมุดสนามอิเล็กทรอนิกส์ (Field controller) ยี่ห้อ Topcon รุ่น FC-200 สำหรับ งาน RTK

1) คุณลักษณะเฉพาะเครื่องหาค่าพิกัดด้วยสัญญาณดาวเทียม GPS รุ่น HiPer GA ยี่ห้อ TOPCON

- 1) รับสัญญาณความถี่ L1 และ L2 แยกกัน โดยมีช่องสัญญาณความถี่ L1 และ L2 ไม่น้อยกว่าความถี่ละ 20 ช่องสัญญาณ
- 2) ในการทำงานสำรวจหาค่าพิกัดของจุดต่างๆ เครื่องสามารถปรับเปลี่ยน เป็นเครื่องที่สถานีอ้างอิงและเครื่องเคลื่อนที่ได้ โดยไม่ต้องมีการตัดแปลงหรือจัดหาสิ่งใดเพิ่มเติม
- 3) สามารถทำงานสำรวจได้ทั้งแบบ Post processing และแบบ Real Time
- 4) ในการทำงานสำรวจหาค่าพิกัดจุดต่างๆ แบบ Post processing สามารถทำการ รังวัดได้ทั้งแบบ Static, Fast/Rapid static, และ Kinematic
- 5) สามารถรับสัญญาณปรับแก้ SBAS แบบ WAAS และ EGNOS ได้ และ สามารถเพิ่มความสามารถในการรับสัญญาณดาวเทียม GLONASS ได้ในภายหลัง โดยไม่ต้องมีการ ตัดแปลงตัวเครื่อง
- 6) เครื่องส่งวิทยุ ติดตั้งภายในสามารถส่งได้ไกลไม่น้อยกว่า 5 กิโลเมตร สำหรับงานสำรวจหาค่าพิกัดของจุดต่างๆ แบบ Real time
- 7) เครื่องสถานีอ้างอิงต้องสามารถส่งค่าปรับแก้ผ่านทางเครื่องวิทยุได้
- 8) มีแบตเตอรี่ภายในแบบ Li-Ion สำหรับใช้งานกับเครื่องสัญญาณได้นาน ต่อเนื่องไม่น้อยกว่า 10 ชั่วโมง พร้อมทั้งอุปกรณ์สำหรับชาร์ตไฟ 1 ชุด
- 9) เสาอากาศมี ground plane ป้องกันคลื่นสะท้อน
- 10) มีหน้าจอ (Display) แบบ Graphic ที่สามารถแสดงข้อมูลตัวเลขและ ตัวหนังสือ
- 11) 在การทำงานแบบ Real Time Kinematic เครื่องหาพิกัดด้วยดาวเทียม GPS ที่เป็นเครื่องที่สถานีอ้างอิง ต้องสามารถคำนวนหาค่าปรับแก้ และต้องสามารถคำนวนหาค่าแก้ไขได้ทุก 1 วินาที หรือเร็วกว่า โดยสร้างข้อมูล RTCM สำหรับการรังวัดแบบ Real time differential GPS ได้
- 12) 在การทำงานแบบ Real time DGPS เครื่องหาค่าพิกัดด้วยดาวเทียม GPS ที่เป็นเครื่องเคลื่อนที่ ต้องมีเครื่องรับค่าแก้ระยะด้วยสัญญาณวิทยุและต้องสามารถรับค่าในรูปแบบ RTCM จากสถานีอ้างอิง ได้ นอกจากนั้นต้องส่งออก (Output) ค่าพิกัด ในรูปแบบ (Format) NMEA ได้ทุก 1 วินาที หรือเร็วกว่า
- 13) 在การทำงานแบบ Real time อัตราเร็วในการแสดงค่าพิกัด (Update rate) ต้องไม่ช้ากว่า 1 วินาที หรือเร็วกว่า

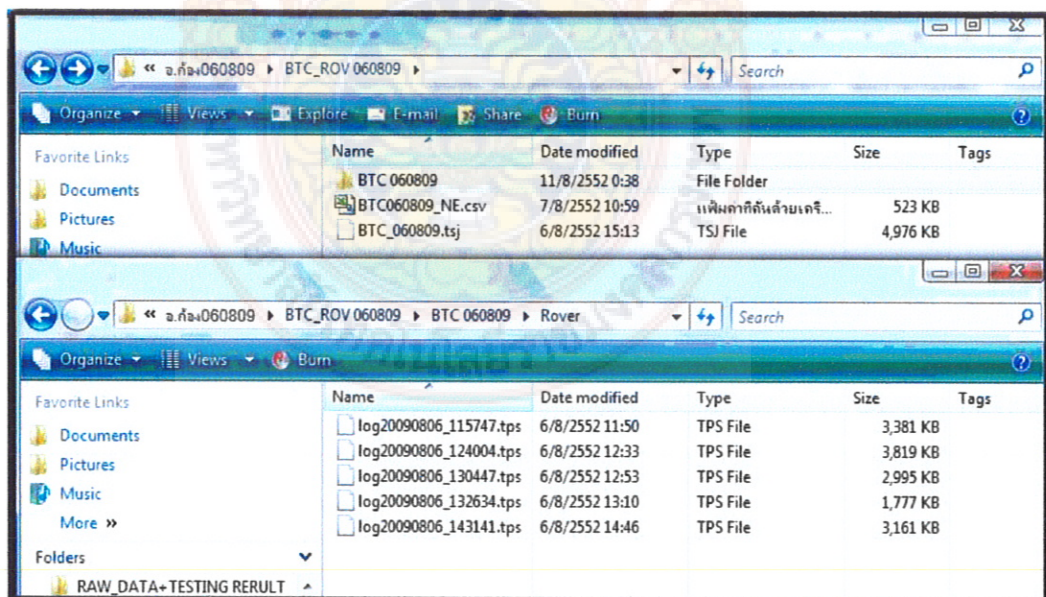
14) ความถูกต้องของค่าพิกัดที่ได้จากการรังวัดแบบ Real time kinematic อยู่ในระดับ 10 ม.m. +1 PPM หรือดีกว่า

15) ความถูกต้องของค่าพิกัดที่ได้จากการรังวัดแบบ Static/Rapid static Post processing อยู่ในระดับ 3 ม.m. +0.5 PPM หรือดีกว่า

16) สามารถบันทึกข้อมูลภายในตัวเครื่องรับสัญญาณขนาดความจุไม่น้อยกว่า 32 MB และสามารถเพิ่มเติมได้ภายหลังได้ถึง 128 MB

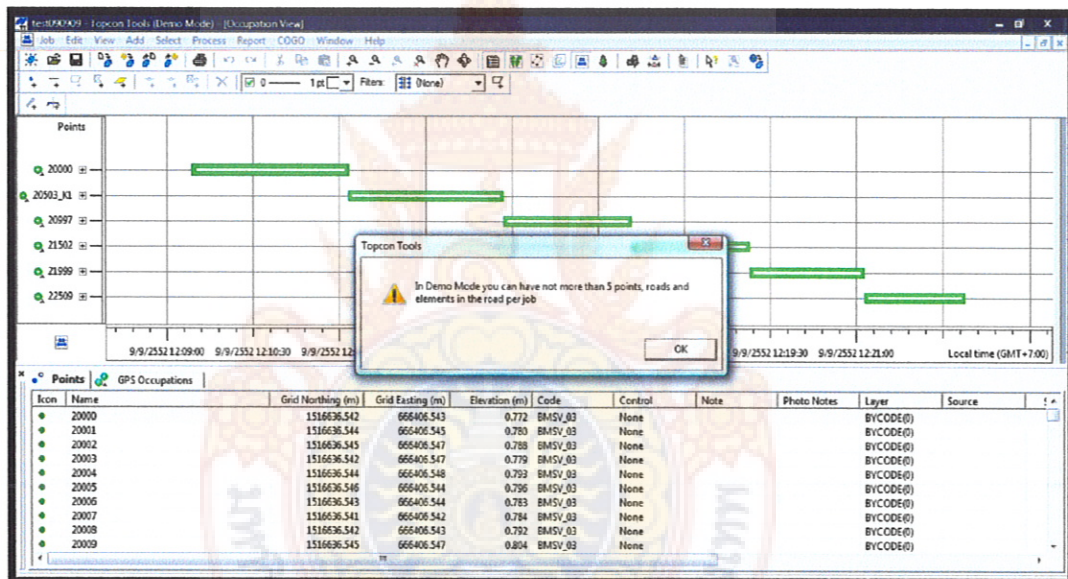
3.1.2 โปรแกรมประมวลผลข้อมูลดาวเทียม GPS และปรับแก้โครงข่าย TOPCON TOOL version 7.5 พร้อมมีกุญแจสำหรับปลดล็อก Hard Lock

โดยปกติแล้ว ค่ารังวัดที่ได้จากการรังวัดด้วยดาวเทียม จีพีเอส แบบ詹น์ ในทันที หรือเรียกวันนี้ ๆ ว่า GPS-RTK นี้ จะให้ผลลัพธ์ในสถานที่ และผู้ใช้ก็จะทำการเลือกบันทึกค่า หรือบันทึก CODE สำหรับจุดนี้ ๆ ในสถานที่ไปในสมุดสถานที่เดินทาง (Field Controller) ซึ่งผลลัพธ์สามารถแสดงได้ 2 ส่วนคือส่วนแรก ข้อมูลค่าพิกัด นามสกุล *.csv หรือ ข้อมูลค่าพิกัด นามสกุล *.tsj ดังรูปที่ 3.2 สำหรับให้ผู้ใช้เลือกพิจารณาข้อมูลรังวัดในสถานที่จะตัดทิ้ง เรียงลำดับใหม่ตามที่ผู้ใช้ต้องการ



รูปที่ 3.2 ตัวอย่างข้อมูลดิบที่ได้จากการรังวัดในสถานที่ RTK มี 2 รูปแบบที่เครื่องรับบันทึกไว้ในรูปของ *.csv และในรูปของ *.tsj

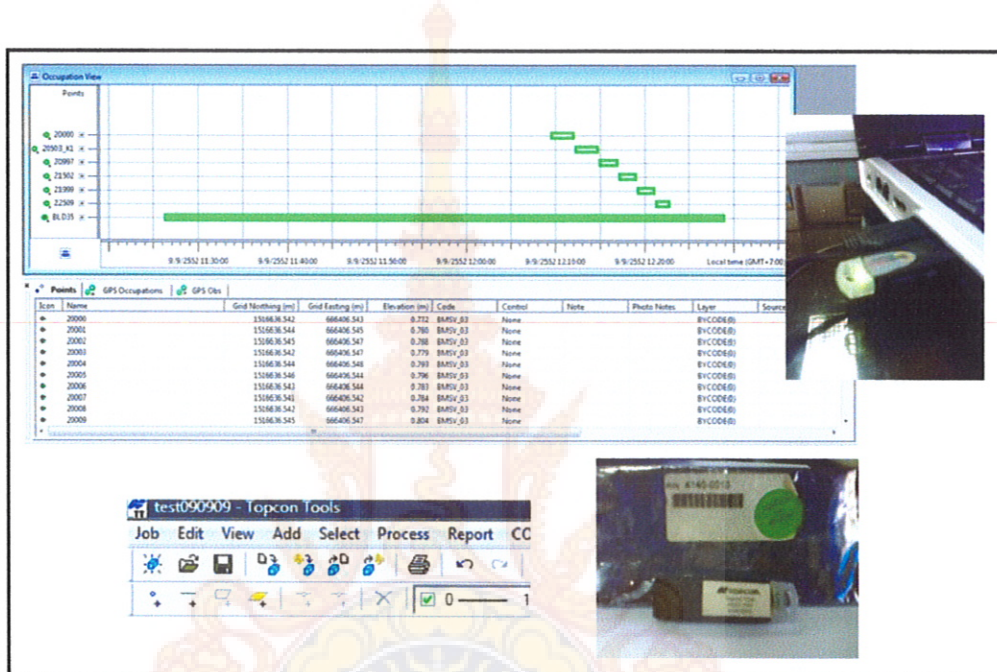
งานวิจัยนี้ต้องการที่จะประยุกต์ใช้งาน GPS-RTK ในการทำหมุดระดับอ้างอิงทางดึง โดยมีแนวความคิดที่ว่า วิธีการประมวลผลแบบสัมพัทธ์ในภายหลัง โดยเครื่องรับแบบรังวัด ชนิด 2 ความถี่ จำนวนตั้งแต่ 2 เครื่อง ขึ้นไปตำแหน่งที่ได้จะเป็นตำแหน่งแบบสัมพัทธ์ ซึ่งเทียบค่าต่างทางแกนราวนและแกนดึงออกจากหมุดที่เป็นจุดสถานีฐาน (Base station) และมีความถูกต้องทางตำแหน่งอยู่ในระดับเซนติเมตร หรือ เดซิเมตร แต่ติดข้อจำกัดด้านของการใช้งานโปรแกรม Topcon tool V.75 เพื่อการประมวลผลอยู่ว่า หากผู้ใช้เครื่องมือต้องการประมวลผล เส้นฐานเกิน 5 จุด ดังรูปที่ 3.4 ต้องใช้กุญแจคลายโปรแกรม (Key Lock) ของ Topcon Tools Ponst Pro ดังรูปที่ 3.5 ซึ่งผู้วิจัยจะต้องขอความอนุเคราะห์ยืมจากบริษัท ท่อปคอน อินสทรูเม้นท์ (ไทยแลนด์) จำกัด เพื่อนำมาใช้ในการประมวลผลแบบสัมพัทธ์ในภายหลัง โดยไม่มีค่าใช้จ่ายใด ๆ



รูปที่ 3.3 การใช้งานประมวลผลแบบสัมพัทธ์ ในภายหลังมีข้อจำกัด ต้องไม่เกิน 5 หมุด

- โปรแกรมประมวลผลข้อมูลดาวเทียม GPS และปรับแก้โครงข่าย TOPCON TOOL version 7.5 พร้อมมีกุญแจสำหรับปลดล็อก Hard Lock TOPCON TOOL P/N 29-034014-06 POSTPRO + USB มีคุณลักษณะเฉพาะดังนี้
- 1) ทำงานได้บนระบบปฏิบัติการ 32 bit Windows NT, 2000, XP หรือใหม่กว่า
 - 2) ประมวลผลข้อมูลจากดาวเทียน GPS ได้ทั้งแบบรหัสและเฟสประมวลผลข้อมูลจากดาวเทียน GPS ที่ได้จากการรังวัดแบบkinematic

- 3) แสดงผลและแสดงค่าพิกัดอ้างอิงกับเกณฑ์ท่างราบ (Geodetic datum) WGS84 และพื้นเกณฑ์ท่างราบท้องถิ่น (Local Geodetic Datum) ต่างๆ เช่น อินเดียน 2518 ได้ทั้งรูปของ ละติจูด - ลองติจูด-ความสูง , ค่าพิกัดจาก (X,Y,Z) และค่าพิกัดยูทีเอ็มกริด (N,E)
- 4) ผู้ใช้สามารถกำหนดพื้นเกณฑ์ท่างราบ (User defined datum) ได้
- 5) มี Geoid Model สำหรับใช้คำนวณหาค่า Orthometric Height ได้



รูปที่ 3.4 โปรแกรมประมวลผลข้อมูลดาวเทียม GPS และปรับแก้โครงข่าย TOPCON TOOL version 7.5 พrogram ที่มีคุณสมบัติสำหรับปลดล็อก Hard Lock สำหรับงาน ประมวลผลแบบ สัมพัทธ์ในภายหลัง

- 6) มีสูตรสำหรับแปลงพื้นหลักฐาน (Datum Transformation) ที่ผู้ใช้สามารถกำหนด พารามิเตอร์ที่จะใช้ได้ทั้งแบบ 3 พารามิเตอร์ และ 7 พารามิเตอร์
- 7) สามารถคำนวณหาพารามิเตอร์สำหรับการแปลงพื้นหลักฐานได้
- 8) สามารถคำนวณและปรับแก้โครงข่าย (Network adjustment) ด้วยวิธีการของ Least square ได้
- 9) สามารถรับข้อมูลในรูปแบบ (Format) ของ RINEX ได้ และสามารถส่งออกข้อมูล ในรูปแบบ RINEX ได้
- 10) โปรแกรมแบบ มีคุณสมบัติสำหรับปลดล็อก Hard Lock

3.1.3 แบบจำลองเพื่อทดสอบค่าต่างระดับทางดิ่ง

ในการประยุกต์ใช้งานสำหรับงานหมุดควบคุมทางดิ่ง ดังรูปที่ 3.5 ผู้วิจัยจึงได้ทำการออกแบบ และผู้จัดจ้างให้ผู้รับจ้างขัดทำขึ้นตามแบบรูปรายการ แบบจำลองนี้สามารถทำการเคลื่อนที่ขึ้น – ลง ทางดิ่งได้ 2 ระดับ กีอ 0 ถึง 0.075 เมตร และ 0 ถึง 0.185 เมตร โดยมีอัตราการยกตัวคือ 40 ครั้ง และ 32 ครั้ง ต่อนาทีตามลำดับ นอกจากนั้น แบบจำลองเพื่อทดสอบค่าต่างระดับทางดิ่ง นี้ยังสามารถควบคุมให้แบบจำลอง สามารถยกตัวค้างไว้ เนยๆ ที่ระดับต่าง ๆ ตั้งแต่ 0 ถึง 0.185 เมตร ได้ดังที่ผู้ทดสอบต้องการ โดยการกดสั่งการผ่านสวิตซ์ ควบคุมด้านหลัง



รูปที่ 3.5 แบบจำลองเพื่อทดสอบค่าต่างระดับทางดิ่งที่เปลี่ยนแปลง

3.1.3.1 คุณสมบัติของแบบจำลอง ที่ใช้ทดสอบค่าต่างระดับทางดิ่ง มีดังนี้

- ก) สามารถขึ้นลงทางดิ่งได้ถึง 2 ระดับ กีอ 0.075 เมตร และ 0.185 เมตร
- ข) สามารถหยุดนิ่งกับที่ ได้ตามผู้ทดสอบต้องการ ที่ความสูงไม่เกิน 0.185 เมตร
- ค) ไม่มีเสาหรือส่วนหนึ่งส่วนใดของแบบจำลองที่จะมาบดบังการรับสัญญาณของดาวเทียมที่ส่งมาบ่งชานดาวเทียมในขณะทดสอบ
- ง) สามารถบ่งชี้ค่าความสูงต่างทางดิ่ง ที่ตรวจจับได้จากวิธีการ RTK ได้ในช่วงที่ความสูงแตกต่างกันไป

ก) ใช้หลักการทำงานของมอเตอร์ และเพลาข้อเหวี่ยง ในการเคลื่อนที่ ขึ้น – ลง ทางแนวตั้ง

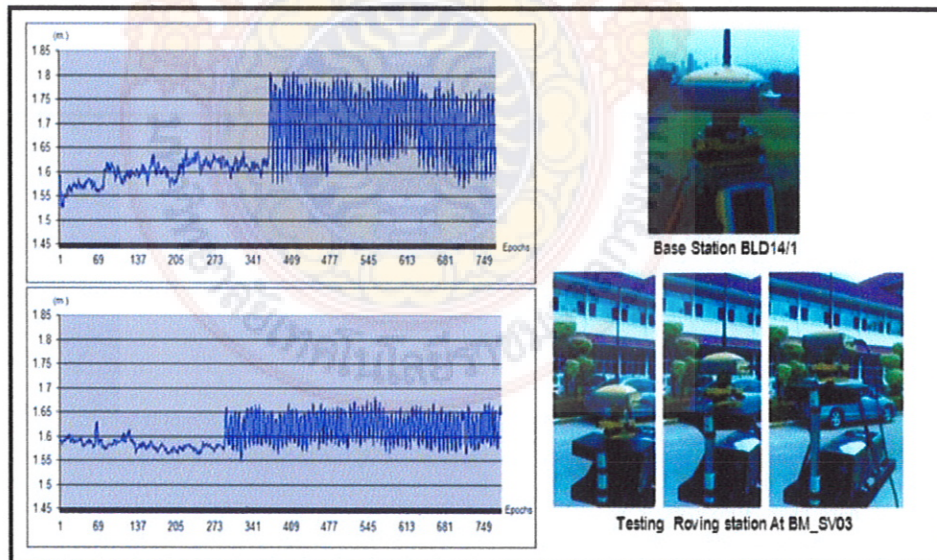
ข) ใช้หลักการทำงานของมอเตอร์ และเพื่องบน เพื่อยกหรือลดระดับในการเคลื่อนที่ ขึ้น – ลง ทางแนวตั้งได้

ช) ใช้กำลังจากแบตเตอรี่ เพื่อความสะดวกเวลาใช้งานในสนาม

ฉ) อุปกรณ์และแพงค์ความคุณสามารถหาซื้อ และซ่อมเปลี่ยนได้่ายมีขายทั่วไป

3.2 แนวทางการทดสอบ ความสามารถของวิธี RTK เพื่อประยุกต์ใช้ในการทำหมุดระดับ อ้างอิง

ที่ผ่านมา Lee.S.I and Ge.L.L (2006) ได้ทำการทดสอบ RTK ในการทำแผนที่ใน ดุกกาลที่แตกต่างกันพบว่า เมนจะเป็นดูในไม้มิด หรือ ดูในไมร์ว ผลลัพธ์จากค่าพิกัดทางระบบ ต่างก็มีหักค่าที่ใกล้เคียงหรือค่าที่แตกต่างกันมาก กับรูปแบบที่ ที่ได้จากการทดสอบ Total Station และคง ว่าการที่เครื่องรับที่สถานีจร สามารถรับสัญญาณจากกลุ่มดาวเทียม GPS ที่มีเรขาคณิตดาวเทียม เปลี่ยนแปลงไปตามช่วงเวลาแตกต่าง ๆ กัน ได้อย่างน้อย 5 ดวง แม้จะมีการบดบังสัญญาณจาก เรือนยอดไม้ แต่ซอฟแวร์ในตัวเครื่องรับเองก็ยังสามารถคำนวณ ตำแหน่งของเครื่องรับเองได้

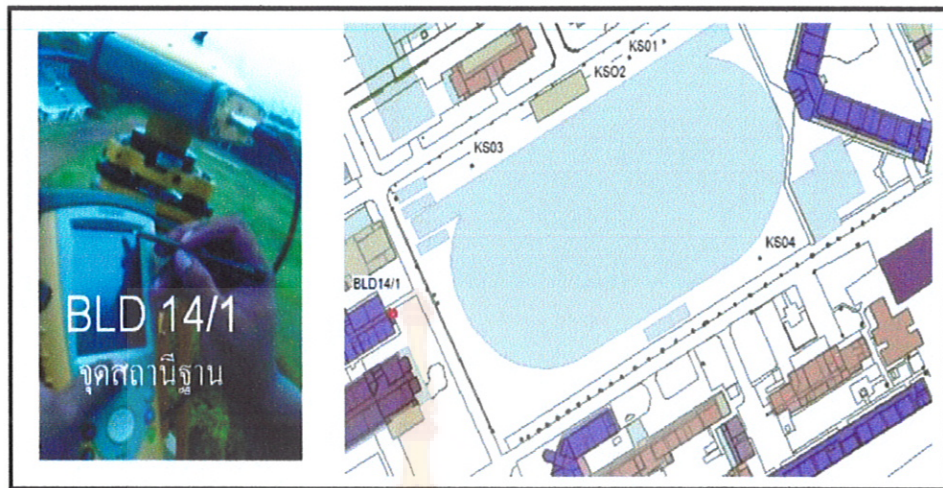


รูปที่ 3.6 การทำงานรังวัดด้วย RTK ที่ตำแหน่งหมุดระดับที่กระจายบริเวณรอบสนาม พุตบลอต

ดังนั้นถ้าเราทำการรับสัญญาณดาวเทียมให้นานขึ้นและมีจำนวนความถี่ในการบันทึกข้อมูลรังวัด ไปยังดาวเทียม จีพีเอส ที่ถี่ยิ่งขึ้น เมื่อเรานำข้อมูลมาประมวลผลแบบสัมพัทธ์ ในภายหลังผลลัพธ์ของค่าพิกัดในทาง 3 มิติ น่าจะมีค่าที่ดีขึ้น เพราะค่าคลาดเคลื่อนอย่างมีระบบจะได้หักล้างกันหมดไป (Rizos, 1997) เพื่อเราจะได้ตรวจสอบผลลัพธ์ ค่าพิกัดจาก RTK ในจำนวนที่มากพอสมควร และทำการหาตัวแทนของค่าพิกัดทางดึงที่น่าเชื่อถือมากที่สุด โดยใช้ค่าทางสถิติมาช่วยแก้ปัญหาดังนี้ผู้วิจัยจึงได้เริ่มลงมือออกแบบการทดลองพร้อมทั้งทำการทดสอบ ดังรูปที่ 3.6 บนแบบจำลองในสถานะจริง จากนั้นจึงนำค่าเคลื่อนตัวทางดึงมาทดสอบเปรียบกับความสูงที่เปลี่ยนไปจริงของแบบจำลอง

3.2.1 การทดสอบความสามารถของวิธี RTK ในการตรวจจับค่าต่างทางดึงจากแบบจำลองเมื่อหมุนอยู่ในบริเวณ ที่มีเรือนยอดไม้ปกคลุม

เพื่อเป็นการยืนยันความสามารถของวิธี RTK ในการประยุกต์ใช้งาน สำหรับงานหมุนเวียนทางดึง ทางผู้วิจัยจึงได้ทำการออกแบบและทำการว่าจ้างให้ผู้รับจ้างทำการสร้างเครื่องมือทดสอบการเคลื่อนตัวทางดึงของแบบจำลองขึ้นจากภาพประกอบที่ 3.7 แบบจำลองนี้สามารถทำการขึ้น – ลงทางดึงที่ความสูงต่างกันคือ 0.075 และ 0.185 เมตร โดยมีอัตราการยกตัวคือ 40 ครั้งต่อนาที สำหรับความสูงต่าง 0.075 เมตร และ 32 ครั้ง ต่อนาทีสำหรับความสูงต่าง 0.185 เมตร ตามลำดับ ดังนั้นในการทดลองนี้ ค่าความสูงที่ตรวจจับได้จากเครื่องรับ จีพีเอส ค่านี้วิธี RTK จะยืนยันความถูกต้องและน่าเชื่อถือของวิธีการ RTK ได้จากการพิจารณาร่วมกับค่าความสูงที่เปลี่ยนไปจริงของแบบจำลองในทางดึงนั้นเอง



รูปที่ 3.7 การทำงานรังวัดด้วยRTKที่ตำแหน่งหมุดระดับที่กระจายบริเวณรอบสนามฟุตบอลใน การทดลองที่2

โดยในการทดลองนี้ผู้วิจัยได้กำหนดให้หมุด BLD_14/1 เป็นหมุด Base Station และทำการ ตั้งเครื่องรับบนหมุดระดับที่อยู่บริเวณสนามฟุตบอล จำนวน 4 หมุด โดยที่หมุดเหล่านี้อยู่ภายใต้ เส้นทางที่มีเรือนยอดไม้ปกคลุม ดังรูป ประกอบที่ 3.8 ซึ่งในเบื้องต้นผู้วิจัยได้ลองตั้งเครื่องรับเพื่อ รับสัญญาณที่หมุดระดับบริเวณรอบสนามฟุตบอลจำนวน 10 หมุด ก่อนหน้าแล้วปรากฏว่าถึง ตำแหน่งของจุดจะอยู่ใต้ร่มเงาไม่แท้มีเครื่องรับที่หมุดระดับ 4 หมุดสามารถทำการรังวัดด้วยวิธี RTK ดังนั้นจึงเลือกพิจารณาเฉพาะหมุดทั้ง 4 นี้ อันได้แก่หมุด KS01, KS02, KS03 และ KS04 เพื่อ ใช้เป็นจุดสถานีจร พร้อมทั้งทำการรับสัญญาณและบันทึกค่าลงในสมุดสนามอิเลคทรอนิกส์ (Field Controller) ต่อไป

ผู้วิจัยได้ทำการทดสอบความสามารถในการตรวจจับค่าต่างระดับทางด้านด้วยวิธี RTK โดย กำหนดจุด BLD 14/1 เป็นจุดสถานีฐานและทำการทยอยตั้งเครื่องรับบนหมุดทั้ง 4 นี้ที่มหาวิทยาลัย ราชมงคลกรุงเทพ เมื่อวันที่ 24 กค.52 โดยกำหนดให้จุดสถานีฐานคือหมุด BLD14/1 และ ใช้ KS01, KS02, KS03 และ KS04 เป็นจุดสถานีจร โดยทำการติดตั้งเครื่องรับรับสัญญาณ จีพีเอสแบบ รังวัดด้วยห้อ Topcon รุ่น Hyper Ga แบบ Dual Frequency บนแบบจำลองที่ได้ออกแบบมาดังรูป ประกอบที่ 3.6 จากนั้นก็ทำการรับสัญญาณดาวเทียม จีพีเอส โดยใช้วิธีการรังวัดแบบจนน์ ในทันที ซึ่งจะทำการบันทึกสัญญาณ 4 ช่วง กีกีอ ในขณะที่แบบจำลองอยู่นั่งกับที่ครึ้งที่หนึ่ง จากนั้นผู้วิจัยจะทำการเปิดเครื่องทดสอบ เพื่อให้แบบจำลองมีการเคลื่อนที่ ขึ้น - ลง ทางด้านในช่วง พิสัย 0.075 เมตร และแบบจำลองอยู่นั่งครึ้งที่สอง จากนั้นแบบจำลองมีการ เคลื่อนที่ ขึ้น - ลงทาง

ดึงในช่วงพิสัย 0.185 เมตร โดยในการทดสอบในครั้งนี้จะทำการบันทึกทั้งข้อมูลแบบทันทีทันใดที่ได้จากในสถานะของเครื่องรับที่จุดสถานีจรทั้ง 4 จุด จุดละ 1,950 ค่ารังวัด (Epochs) โดยจะทำการทดสอบและเปรียบเทียบค่าทั้ง สิ้น 3 วัน รวมทั้งสิ้นค่ารังวัดกว่า 22,800 Epochs โดยที่ความถี่ในการบันทึกข้อมูลรังวัดของเครื่องรับที่สถานีจร คือ 5 เฮิร์ต (Hertz) และทำการบันทึกไว้ใน Field Controller ยี่ห้อ Topcon รุ่น FC-200



รูปที่ 3.8 แสดงภาพแวดล้อมบริเวณหมุดทดสอบ KSO (a), KSO2 (b), KSO3(c), KSO4(d)

3.2.2 การทดสอบความสามารถของ วิธี RTK ในการตรวจจับค่าต่างทางดึงจากแบบจำลองเมื่อหมุดอยู่ในบริเวณที่ปิดโลง เน茫กับการรับสัญญาณ

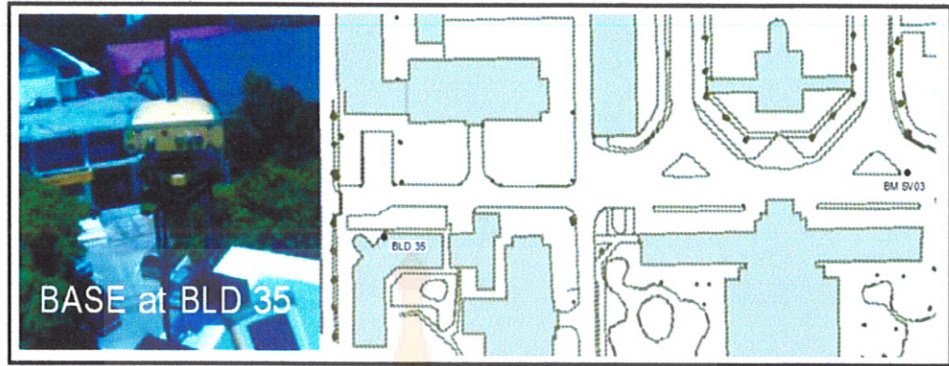
เพื่อสรุปปัญหาสำหรับข้อจำกัดของการรับสัญญาณดาวเทียมของเครื่องรับในกรณีที่หมุดอยู่ร่อง ๆ สถานะฟุตบอลซึ่งมีการปักกลุ่มเรือนยอดไม้เหนือบริเวณหมุดที่ทำการรับสัญญาณอยู่ทางผู้วิจัยจึงได้ทำการทดสอบที่นิภาวิทยาลัยราชมงคลกรุงเทพ เมื่อวันที่ 6, 7, 14 สค. 52 โดยกำหนดให้จุดสถานีฐานคือหมุด BLD14/1 และใช้ BM_SV 03 เป็นจุดสถานีจร เพราบริเวณหมุด BM SV 03 นี้อยู่ในบริเวณที่ค่อนข้างโล่งเน茫มากแก่การรับสัญญาณดูภาพประกอบที่ 3.9 จากนั้นผู้วิจัยได้ทำการทดสอบความสามารถในการตรวจจับค่าต่างระดับด้วยวิธี RTK บนหมุด BM_SV 03 ต่อไป



รูปที่ 3.9 การทำงานรังวัดด้วยRTKที่ตำแหน่งหมุดระดับBM _SV03 ในการทดสอบที่วารณีที่ 1

ผู้วิจัยได้ทำการทดสอบความสามารถในการตรวจจับค่าต่างระดับทางดึงด้วยวิธี RTK บนหมุด BMSV 03 นี้ โดยจะทำการติดตั้งเครื่องรับสัญญาณ จีพีเอสแบบรังวัดยี่ห้อ Topcon รุ่น Hyper Ga แบบ Dual Frequency บนแบบจำลองที่ได้ออกแบบมา คุณภาพประกอบที่ 3.8 จากนั้นก็ จะทำการรับสัญญาณดาวเทียม จีพีเอส โดยใช้วิธีการรังวัดแบบจน์ ในทันที ซึ่งจะทำการบันทึก สัญญาณ 4 ช่วง ก cioè ในขณะที่แบบจำลองอยู่นั่งกับที่ครั้งที่หนึ่ง จากนั้นผู้วิจัยจะทำการเปิดเครื่อง ทดสอบ เพื่อให้แบบจำลองมีการเคลื่อนที่ ขึ้น – ลง ทางดึงในช่วงพิสัย 0.075 เมตร และแบบจำลอง อยู่นั่งครั้งที่สอง จากนั้นแบบจำลองมีการ เคลื่อนที่ ขึ้น – ลงทางดึงในช่วงพิสัย 0.185 เมตร โดยใน การทดสอบในครั้งนี้จะทำการบันทึกทั้งข้อมูลแบบทันทีทันใดที่ได้จากในสถานะของเครื่องรับที่จุด สถานีจรทั้ง 4 จุด จุดละ 1,950 ค่ารังวัด (Epochs) โดยจะทำการทดสอบและเปรียบเทียบค่าทั้ง สิ้น 3 วัน รวมทั้งสิ้นค่ารังวัดกว่า 22,800 Epochs โดยที่ความถี่ในการบันทึกข้อมูลรังวัดของเครื่องรับที่ สถานีจร ก cioè 5 เฮิร์ต (Hertz) และทำการบันทึกไว้ใน Field Controller ยี่ห้อ Topcon รุ่น FC-200

พร้อมกันนี้ผู้วิจัยได้ทำการวางแผนรังวัดเพื่อยืนยันความสามารถในการรับสัญญาณใน กรณีเรื่องของเดาคณิตของกลุ่มดาวเทียมเหนือศีริยะ ในขณะรังวัดซึ่ง เราทำการทดสอบในวันที่ 21 สิงหาคม 2553 และเพื่อตัดปัญหาการบันทึกสัญญาณของ อาคารคอนกรีตขนาดความสูง 3 ชั้น ความยาวประมาณ 60 เมตร ที่อาจจะส่งผลต่อความสามารถในการส่งผ่านค่าแก้ (ตึกสำนักงาน อธิการบดี) ให้แก่กันและกันแม่ซึ่งก cioè สถานีฐาน ที่จุด BLD14/1 และ จุดสถานีจรก cioè หมุด BMSV 03 โดยวันนี้ 21 สิงหาคม 2553 ช่วงที่รังวัดมีค่า GDDP เท่ากับ 2 และมีจำนวนดาวเทียม บนท้องฟ้า ขณะรังวัดทั้งสิ้น 8 ดวง

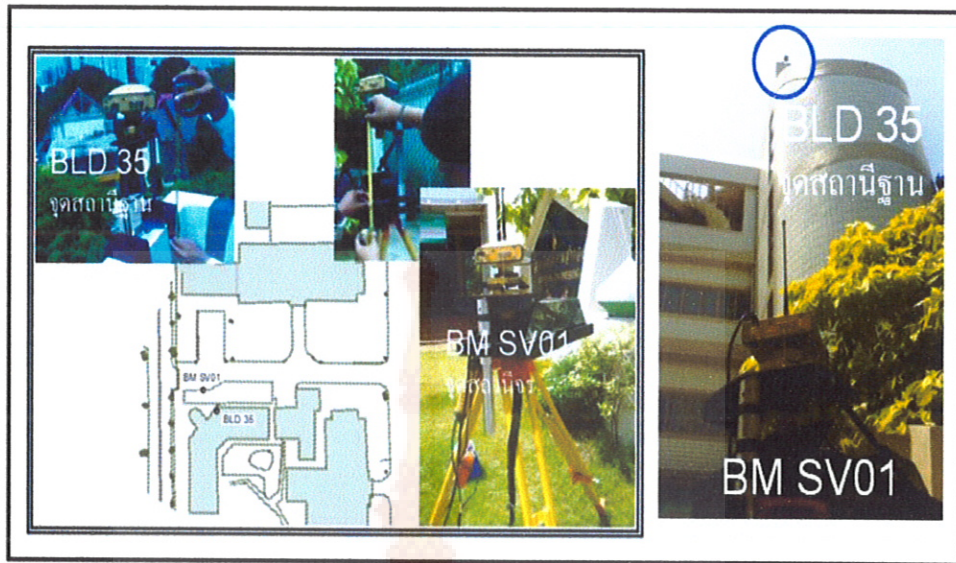


รูปที่ 3.10 การทำงานรังวัดด้วย RTK ที่ตำแหน่งหมุดระดับ BM_SV03 ในการทดลองที่ 3 กรณีที่ 2

จากนั้นผู้วิจัยได้ทำการทดสอบความสามารถในการตรวจจับค่าต่างระดับทางดึงด้วยวิธี RTK บนหมุด BMSV 03 นี้ โดยจะทำการกำหนดจุด BLD 35 เปิดจุดสถานีฐานและทำการตั้งเครื่องรับอีกเครื่องบนหมุด BM_SV 03 กำหนดให้เป็นจุดสถานีจริง โดยจะทำการติดตั้งเครื่องรับจีพีเอสแบบรังวัดยี่ห้อ Topcon รุ่น Hyper Ga แบบ Dual Frequency บนแบบจำลองที่ได้ออกแบบมาดังภาพที่ 3.10 นอกจากนี้ทำการรับสัญญาณดาวเทียมจีพีเอสโดยใช้วิธีการรังวัดแบบจลน์ในทันทีซึ่งจะทำการบันทึกสัญญาณ 4 ช่วง กีวี ในขณะที่แบบจำลองอยู่น่ำกับที่ครั้งที่ 1 จากนั้นผู้วิจัยจะทำการทดสอบเพื่อให้แบบจำลองมีการเคลื่อนที่ขึ้ลงทางดึง ช่วงพิสัย 0.075 เมตร และแบบจำลองอยู่น่ำกับที่ครั้งที่ 2 จากนั้นแบบจำลองจะมีการเคลื่อนที่ขึ้ลงทางดึง ในช่วงพิสัย 0.185 เมตร โดยในการทดลองนี้จะทำการบันทึกข้อมูลแบบทันทีทันใจในสถานะของเครื่องรับที่จุดสถานีจริงที่หมุด BMSV 03 จำนวน 1,900 ค่ารังวัด (Epochs) ทั้งสิ้น 3 วัน รวมทั้งสิ้นกว่า 5,700 Epochs

3.2.3 การทดสอบความสามารถของวิธี RTK ในกรณีที่ความสูงเปลี่ยนแปลงแบบฉับพลัน

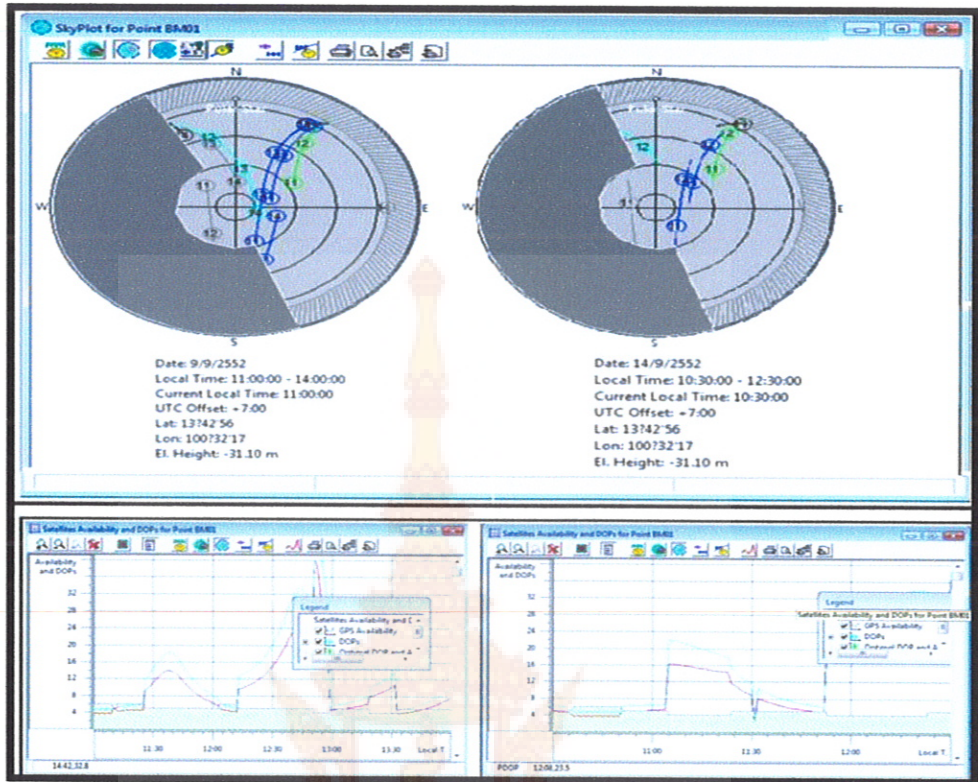
ในสอง การทดลองที่ผ่านมาผู้วิจัยได้ทำการทดสอบความสามารถในการตรวจจับการเคลื่อนตัวทางดึงของแบบจำลอง ซึ่งจากการพิจารณาเปรียบเทียบผลลัพธ์ทางตำแหน่งแบบทันทีทันใจที่เครื่องรับที่จุดสถานีจริง พบร่วมกับวิธีการ RTK สามารถตรวจจับการเคลื่อนตัวของแบบจำลองในทางดึงได้ถ้าแม้นว่าบริเวณตำแหน่ง ที่เราทำการตั้งเครื่องรับสัญญาณ (Roving Stator) จะมีอิทธิพลการปักกุณจากเรือนยอดไม้ ออย แต่เครื่องรับก็ยังสามารถทำการรังวัดและแสดงค่าพิกัดทางตำแหน่งออกมากได้



รูปที่ 3.11 การทำงานรังวัดด้วย RTK ที่ตำแหน่งหมุดระดับ BM _SV01 ในการทดลองที่ 4

ดังนั้นในการทดลองนี้ต้องการที่จะหาข้อสรุปที่ยกกับความสามารถในการตรวจจับการค่าเคลื่อนตัวทางดิจิตอลวิธี RTK จึงได้ออกแบบการทดลองแบ่งออกเป็น 3 ช่วงคือช่วงแรกแบบจำลองอยู่ในกับที่ และทำการรับสัญญาณไป จากนั้น กดปุ่มควบคุม การเคลื่อนตัวทางดิจิตอลของแบบจำลองให้ยกตัวขึ้นสูง 0.075 เมตรยกค้างไว้ และทำการรับสัญญาณไปสุดท้ายผู้วิจัยกดปุ่มควบคุมการเคลื่อนตัวทางดิจิตอลของแบบจำลองให้ยกตัวสูงขึ้นอีก 0.110 เมตรและทำการบันทึกค่ารังวัดดาวเทียม จีพีเอสไว้ โดยในการทดลองนี้ ผลกระทบจากเครื่องรับสัญญาณ จีพีเอส ตั้งที่ หมุด BMSV01 กำหนดให้เห็นจากสถานีจริง ที่เราจะทำการทดสอบโดยกำหนดให้หมุด BLD 35 ซึ่งเป็นหมุดควบคุมที่อยู่บนอาคารศึกษา 35 เป็นหมุดสถานีฐาน โดยในการทดสอบผู้วิจัยได้ทำการทดสอบเมื่อวันที่ 9 กันยายน 2552 และ 14 กันยายน 2552 โดยมีจำนวนข้อมูลทั้งสิ้นกว่า 8000 จุด

สำหรับเหตุผลที่เลือกตำแหน่งหมุด BMSV01 เป็นจุดสถานีจริงเพื่อทดสอบความสามารถในการตรวจจับค่าการเคลื่อนตัวที่เกิดขึ้นอย่างชั้บพลัน ดังวิธีการทดสอบที่ได้กล่าวถึงในขั้นตอนกี เพราะว่า ตำแหน่งหมุด BMSV 01 มีการบดบังสัญญาณเนื่องจากสิ่งก่อสร้างในภูมิประเทศ (Obstruction) จากศึกษา 35 ทางด้านซ้าย มีความสูงเชิงมุมจากระนาบสายตา ถึง 80 องศา โดยประมาณ ส่วนทางด้านข้างเป็นบริเวณโล่งเปิดกว้างเหมาะสมแก่การรับสัญญาณ และเพื่อเป็นการรักษาเรขาคณิตของกลุ่มดาวเทียมที่เราใช้ให้เหมือนกันดังนั้นในการทดสอบในวันที่สองซึ่งเป็นวันที่ 14 กันยายน 2552 (ดูภาพที่ 3.10 ประกอบ)



รูปที่ 3.12 การวางแผนทำงานรังวัดด้วยRTKที่ตำแหน่งหมุดระดับBM _SV01 ในการทดลองที่4

ผู้วิจัยจึงได้ทำการรังวัดเริ่มขึ้นอีก 20 เพาะะการทดลอง 2 วันนี้เราเว้นช่วงเวลาห่างกัน 5 วัน ดาวเทียมจะโครงการช้า ตำแหน่งเดินเริ่มเริ่มขึ้น 4 นาที ในแต่ละวัน ดังนั้นในวันที่ 14 กันยายน 2552 ห่างกัน ในวันที่ 9 กันยายนเป็นเวลา 5 วัน เราต้องทำการรังวัดเริ่มขึ้น 20 นาที เพื่อเป็นการคงสภาพ เรขาคณิต ทางตำแหน่งของกลุ่มดาวเทียม ไว้ให้เหมือนกันมากที่สุด (คุณภาพประกอบที่ 3.11) จากนั้นจึงทำการทดลองตามการทดสอบที่ได้ออกแบบไว้ และจึงค่อยนำค่าผลลัพธ์ และข้อมูล ดังกล่าวมาทำการประมวลผลและวิเคราะห์ค่าทางสถิติ เพื่อหาข้อสรุปต่อไป

บทที่ 4

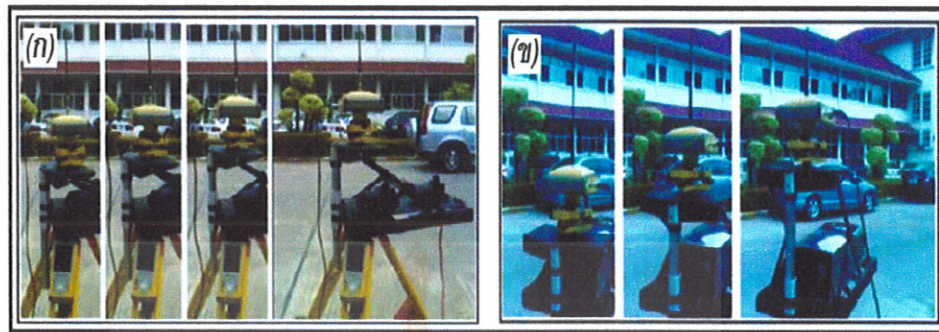
ผลการทดสอบ

จากการทดสอบตามสมมติฐานกับการจำลองที่ได้ทำการออกแบบการทดสอบไว้ดังในบทที่ 3 เพื่อทดสอบความสามารถในการตรวจจับค่าการเคลื่อนตัวทางดิ่ง ของระบบจำลองไว้.....กรณี คือ

1. การทดสอบเบื้องต้นในการตรวจจับค่าการเคลื่อนตัวทางดิ่ง
2. การทดสอบในกรณีที่จุดสถานีจร มีการบดบังสัญญาณ เนื่องจากอิทธิพลการปักคลุมเรือนยอด
3. การทดสอบในกรณีที่จุดสถานีจร ไม่มีการบดบังสัญญาณ เนื่องจากอิทธิพลการปักคลุมเรือนยอด
4. การทดสอบในกรณีที่แบบจำลองเกิดการเลื่อนตัวฉบับพลันมีการบดบังสัญญาณ เนื่องจากสีงปลูกสร้าง

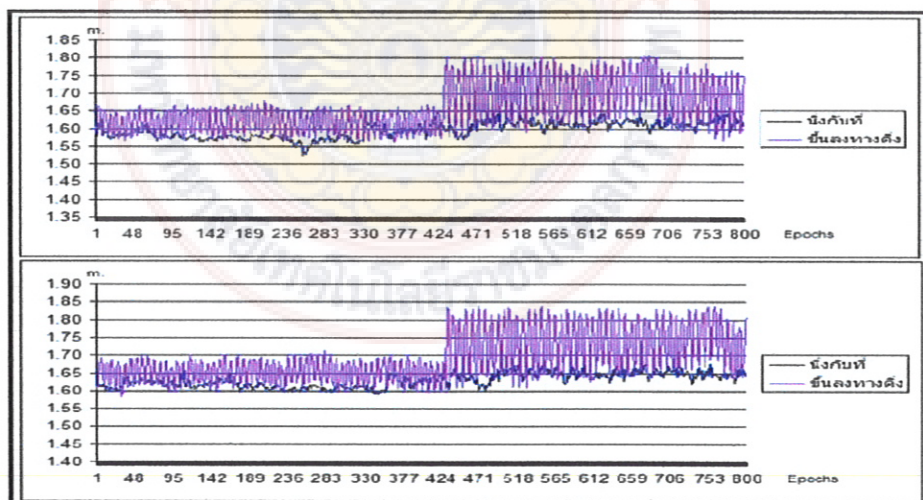
4.1 จากการทดสอบเบื้องต้น

จากการทดสอบเบื้องต้น 24 กรกฎาคม 2552 พบร่วมกับในขณะที่แบบจำลองอยู่ นิ่งกับที่เราสามารถตรวจจับค่าคลาดเคลื่อนขนาดเล็กซึ่งแฟรงอยู่ในผลลัพธ์ภายนอกจากที่ซอฟแวร์ จากเครื่องรับในที่นี่ เครื่อง FC-200 (Field Controller) ได้ทำการประมวลผล ตามค่าความคุณงานรังวัดในสถานะ (Configured) ตามที่เราตั้งค่าไว้ ด้วยวิธีการรังวัดแบบสัมพัทธ์ซึ่งเป็นหลักการของการได้มานะชี้ ผลลัพธ์ทางตำแหน่งของวิธี RTK โดยอาศัยข้อมูลรังวัดไปยังกลุ่มดาวเทียมชุดเดียวกันของเครื่องรับที่สถานีฐาน และเครื่องรับที่สถานีจรต่าง ๆ ที่จำเป็นสำหรับซอฟแวร์ที่สถานีจรจะใช้ในการประมวลผลตำแหน่งต่อไป โดยในขณะทดสอบผู้วิจัยทำการได้ทำการควบคุมให้แบบจำลองสามารถขึ้ลงทางดิ่งได้ 2 ระดับคือ 0.075 และ 0.185 เมตร



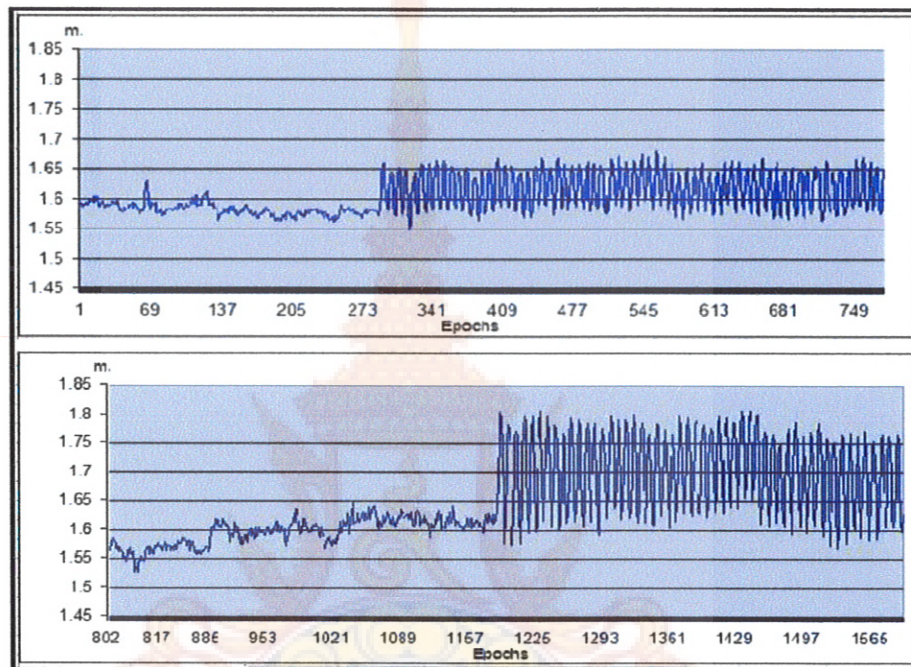
รูปที่ 4.1 (ก) การทดสอบเมื่อแบบจำลองอยู่นิ่งกับที่และเคลื่อนตัว ชั้น-ลง ทางดึง 0.075 เมตร และสำหรับภาพ (ข) การทดสอบเมื่อแบบจำลองอยู่นิ่งกับที่และเคลื่อนตัว ชั้น-ลง ทางดึง 0.185 เมตร

ในการทดลองเบื้องต้นค่าพิกัดแบบทันทีทันใดในสถานะขณะที่ผู้วิจัยทำการเปิดรับสัญญาณที่เครื่องรับจุดสถานีจร (Roving station) ไปเรื่อยๆ ในขณะที่แบบจำลองเพื่อ ทดสอบการเคลื่อนตัวทางดึงของเรานั้นอยู่นิ่งกับที่ ภายหลังจากที่เครื่องรับที่สถานีจรทำการ fixed AR (Ambuliquity resolution) ที่จะทำการบันทึกค่าพิกัดของเครื่องรับในขณะที่อยู่นิ่ง ๆ กับที่ด้วยอัตราความถี่ในการบันทึกข้อมูลรังวัดคือ 5 Hz หรือ 1 วินาทีจะมี 5 ค่าตำแหน่งรังวัด (Epochs) จึงทำการรับสัญญาณเบื้องต้นแล้วเก็บบันทึกค่าข้อมูลผลลัพธ์ทางตำแหน่งที่ได้จากวิธี RTK ในสถานะบันทึกลงในเครื่อง FC-200 (Field Controller) ซึ่งจากการพิจารณาจากกราฟด้านล่าง



รูปที่ 4.2 (ก) กราฟแสดงค่าความสูงจากการทดสอบเมื่อแบบจำลองอยู่นิ่งกับที่และเคลื่อนตัว ชั้น-ลง ทางดึง 0.075 และ 0.185 เมตร ในการทดสอบเบื้องต้น (ข) ค่าความสูงครั้งที่ 2 ของการทดลองที่ 1

พร้อมกันนี้ผู้วิจัยได้นำข้อมูลดังที่ได้จากการบันทึกสัญญาณที่รังวัดไปยังกลุ่มดาวเทียม GPS ทั้งจากสถานีฐาน BLD_14/1 และสถานีจร BMSPV03 มาทำการประมวลในภายหลัง (post processing) แบบสัมพัทธ์ (Relative Positioning) โดยใช้โปรแกรม Topcon tools และกุญแจคลายล็อกโปรแกรม เพื่อคำนวนหาค่าพิกัดในทาง 3 มิติที่ดีที่สุดของตำแหน่งจุดสถานีจร ต่อไป



รูปที่ 4.3 แสดงว่าค่าความสูงที่ตรวจจับได้จากการทดสอบเบื้องต้น

ในงานวิจัยนี้จะพิจารณาในเรื่องค่าระดับซึ่งจากการทดสอบเบื้องต้นพบว่าผลลัพธ์ของค่าพิกัดจากรีวี RTK ดังในรูปที่ 4.3 แสดงผลลัพธ์ค่าพิกัดทางด้านที่เครื่องรับสามารถตรวจจับได้จากวิธีการ RTK ทั้งในขณะที่แบบจำลองอยู่นิ่งกับที่และมีการเคลื่อนที่ขึ้น-ลง สูง 0.075 เมตรด้วยอัตราความถี่ 40 ครั้งต่อนาที มีค่าพิสัยเท่ากับ 0.132 เมตร และมีค่าส่วนเบี่ยงเบนมาตรฐานจากช่วงจำนวนข้อมูล 800 ค่ารังวัด (Epochs) เท่ากับ 0.030 เมตร

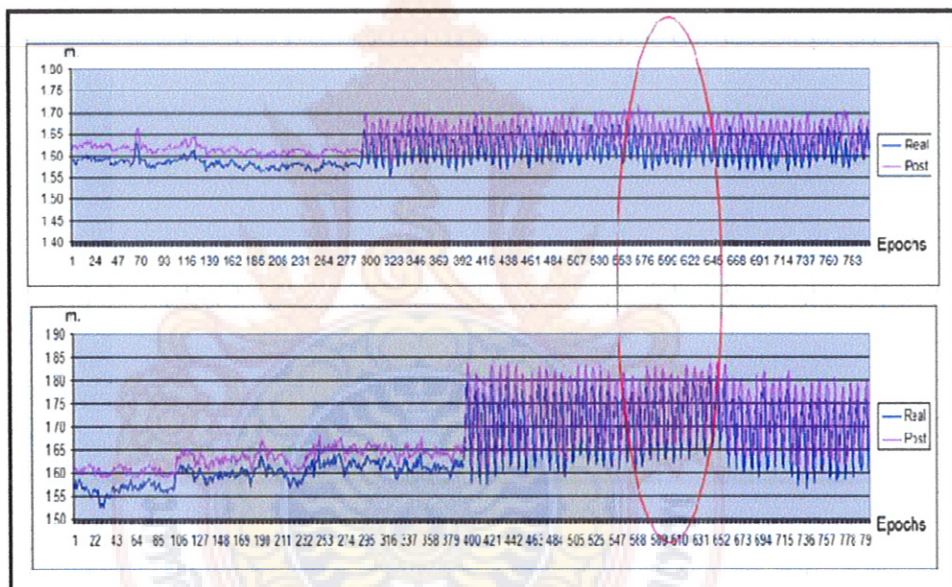
และการพิจารณาในขณะที่แบบจำลองอยู่นั่งกับที่แล้วมีการเคลื่อนที่ขึ้น-ลง ถูง 0.185 เมตรด้วยอัตราความถี่ 32 ครั้ง ต่อนาที มีค่าความพิสัยเท่ากับ 0.240 เมตร และมีค่าส่วนเบี่ยงเบนมาตรฐานจากจำนวนข้อมูล 800 ครั้งวัด (Epochs) เท่ากับ 0.064 เมตรพร้อมกันนี้เพื่อเป็นการตรวจสอบค่าความสูงต่างทางดึงที่วัดได้จาก RTK ผู้วัดจึงนำข้อมูลดิน มาทำการประมวลผลในภายหลังก่อนที่จะใช้ในการสรุปผลการทดสอบในหัวข้อดังไป ดังนั้นจึงได้นำข้อมูลรังวัดจากในสถานีของหน่วยสถานีจริง และสถานีฐานที่ทำการรับสัญญาณดาวเทียมในช่วงเวลาเดียวกันมาทำการประมวลผลแบบสามพาร์ทโดยใช้โปรแกรม Topcon Tool v.7.5

การใช้โปรแกรม Topcon Tool v.7.5 เพื่อคำนวณผลลัพธ์ทางตำแหน่งในภายหลังสำหรับผลลัพธ์ของความสูงทางดึงที่ได้จากการรังวัดในสถานีพบว่าสามารถจัดค่าโดยที่ແงงอยู่ในผลลัพธ์ได้บางส่วน แต่ก็ยังไม่สามารถจัดออกไปได้หมด ยกตัวอย่างเช่น ในขณะที่แบบจำลองอยู่นั่ง กับที่ค่าต่างระดับทางดึง ควรจะมีค่าเท่ากับ ศูนย์ หรือใกล้เคียงในระดับ เซนติเมตร หรือดีกว่านั้น

ตารางที่ 4.1 แสดงค่าทางสถิติของการทดสอบเบื้องต้นในการตรวจจับค่าต่างทางดึงด้วยวิธี RTK ของหน่วยสถานีจริง ในการทดสอบเบื้องต้น

วิธีการ	ข้อมูล	เมื่อ แบบจำลอง	ค่าทางสถิติ (เมตร)			
			ค่าสูงสุด	ค่าต่ำสุด	ค่าพิสัย	ส่วนเบี่ยงเบน มาตรฐาน
RTK (Real-time Kenevnatie)	Real-time จากในสถานี ของสถานีจริง	อยู่นั่งกับที่ครั้ง ที่ 1 เคลื่อนที่ 0.075 เมตร	1.631	1.562	0.069	0.010
			1.681	1.549	0.132	0.030
		อยู่นั่งกับที่ครั้ง ที่ 1 เคลื่อนที่ 0.185 เมตร	1.649	1.526	0.123	0.024
			1.807	1.567	0.240	0.064
	Post-processing จากข้อมูลรังวัด ของสถานีฐาน และสถานีจริง	อยู่นั่งกับที่ครั้ง ที่ 1 เคลื่อนที่ 0.075 เมตร	1.664	1.595	0.069	0.011
			1.714	1.582	0.132	0.031
		อยู่นั่งกับที่ครั้ง ที่ 1 เคลื่อนที่ 0.185 เมตร	1.682	1.590	0.092	0.019
			1.839	1.590	0.249	0.064

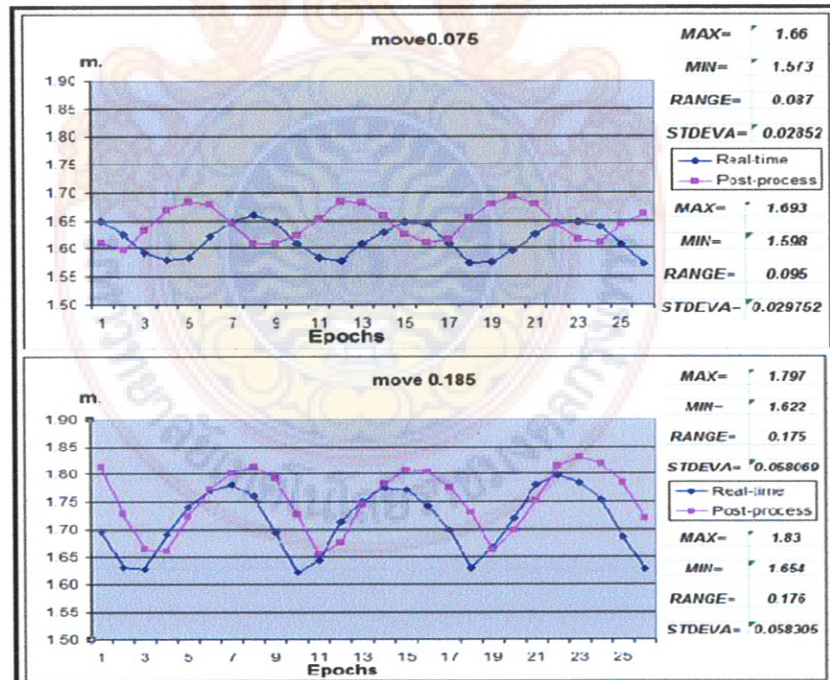
จะนั้นวิธีการที่ดีที่สุดสำหรับการให้ได้มาซึ่งความถูกต้องของค่าพิกัดทางดึงในระดับเดซิเมตรหรือดีกว่านั้น ในระดับ เชนติเมตร ด้วยข้อมูลรังวัดดาวเทียม จีพีเอส ด้วยวิธี RTK ผู้จัดจะใช้วิธีประมาณผลแบบสัมพัทธ์ในการคำนวณค่าพิกัดเพื่อพิจารณาเปรียบเทียบแบบค่าความสูงต่างที่เปลี่ยนแปลงไปเรื่อยๆ ในขณะทำการรับสัญญาณ โดยในงานวิจัยนี้จะใช้แบบจำลอง อิอยสากล ที่มีชื่อว่า EGM96 ในการแปลงค่าความสูงเหนือระดับทรงรี ให้เป็นความสูงเหนือยอดดิน ซึ่งการนำ EGM 96 มาใช้ในการหาค่าความสูง ออร์โทเมติก หรือความสูงเหนือระดับน้ำทะเลปานกลาง ชนชั้นและเคลื่อนชันน์ (2548) ได้แสดงให้เห็นจากผลการศึกษาพบว่า การทำระดับด้วย จีพีเอส นั้น จะให้ค่าความถูกต้องของค่าความสูงอุ่นเมติก ในระดับเดซิเมตรหากใช้วิธีรังวัดแบบสถิติย์ในการทำงาน ตามและประมาณผลเด่นฐานแบบสัมพัทธ์ที่ละเอียดในภายหลัง



รูปที่ 4.4 แสดงค่าการเคลื่อนตัวทางดึงที่ตรวจจับได้ด้วยวิธี RTK ในขณะที่แบบที่แบบจำลองอยู่นั่งกับที่และเคลื่อนที่ตัว ขึ้น-ลง ทางดึงสูง 0.075 เมตรและ 0.185 ในกราฟตอนเบื้องต้นข้อมูลแบบ Real-time และข้อมูลแบบ post-processing ในการทดลองเบื้องต้น

จากรูปที่ 4.4 เมื่อพิจารณาค่าทางสถิติคงต่างที่ 4.1 พบว่า ในขณะที่แบบจำลองเคลื่อนตัวทางดิ่ง 0.075 เมตร และ 0.185 สำหรับค่าการเคลื่อนตัวทางดิ่งที่ตรวจจับได้ของวิธี RTK เมื่อนำข้อมูลดิบมาประมวลแบบสัมพัทธ์ในภายหลัง Post processing ค่าพิสัยขนาด 0.132 เมตร และ 0.249 มีส่วนเบี่ยงเบนมาตรฐานเท่ากับ 0.031 เมตร และ 0.064 เมตร ตามลำดับ ซึ่งแสดงให้เห็นในการรับสัญญาณด้วยวิธี RTK นั้นจะมีค่าคาดเคลื่อนที่มีพิสัยขนาด 0.069 ถึง 0.123 เมตร แฟรงตัวอยู่ด้วยจนคุณดักษณะเหมือนเป็นค่าคงที่คลาดเคลื่อน แต่ด้วยการประมวลผลแบบสัมพัทธ์ ในภายหลัง Post processing ค่าพิสัยดังกล่าวมีขนาดคล่องเล็กน้อยคือ มีพิสัยขนาด 0.069 ถึง 0.092 เมื่อพิจารณาในขณะแบบจำลองอยู่นั่นกับที่

พร้อมกันนี้ผู้วิจัยได้ทำการสุ่มเลือกข้อมูลความสูงที่ตรวจจับได้จากเครื่องรับทั้งแบบ Real-time และแบบ Post processing มา 2 ช่วง โดยจากรูปที่ 4.5 แสดงค่าความสูงที่ตรวจจับได้ในขณะที่แบบจำลองเคลื่อนตัวทางดิ่งจริง 0.075 และ 0.185 เมตร สำหรับค่าพิสัยที่ในช่วงขณะเคลื่อนที่มีขนาดเท่ากับ 0.087 เมตร และ 0.175 เมตร ตามลำดับ แสดงให้เห็นว่าวิธี RTK สามารถที่จะใช้ตรวจสอบค่าการเคลื่อนตัวทางดิ่งได้

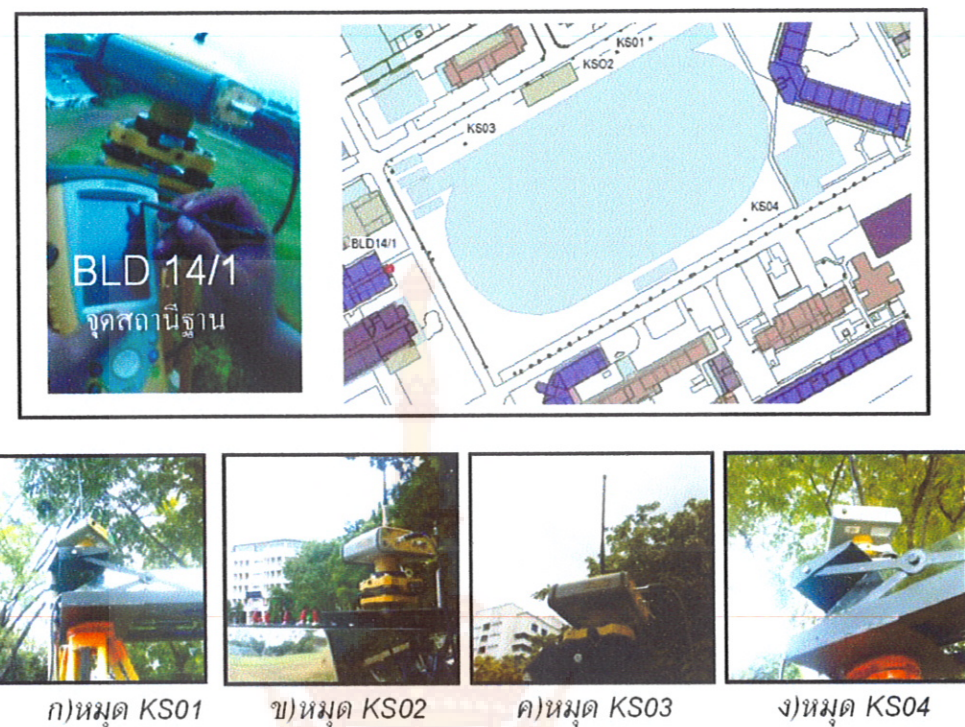


จากรูปที่ 4.5 แสดงช่วงค่าพิสัยของค่าความสูงที่ตรวจจับในขณะเคลื่อนที่ทางดิ่งสูง 0.075 เมตร และ 0.185 เมตร ตามลำดับ

4.2 กรณีที่มืออิทธิพลปักคุณเรือนยอด ของตำแหน่งที่ตั้งหมุดรับสัญญาณ

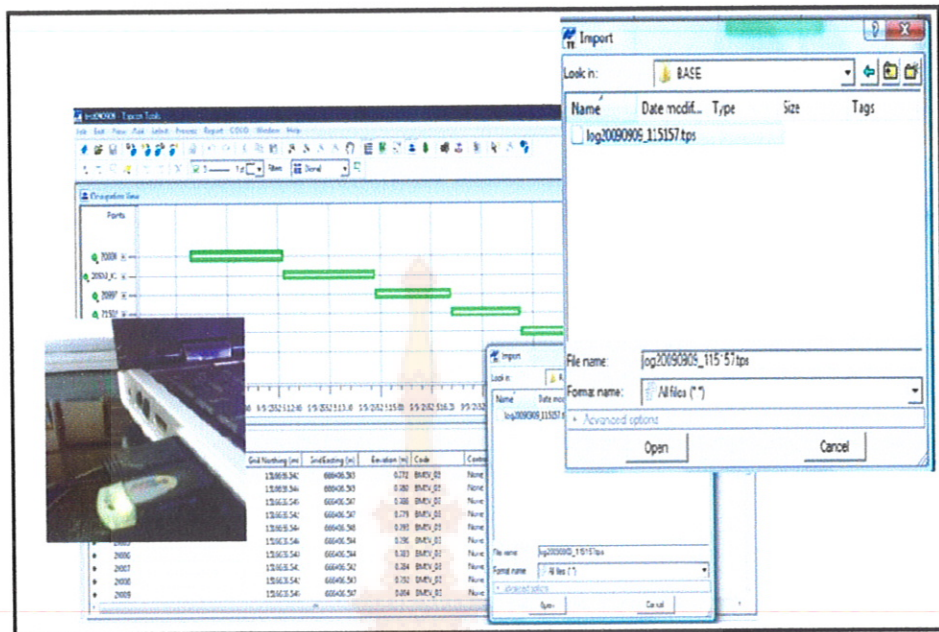
การทดลองที่ 2 นี้ผู้วิจัยได้ทำการทดลองที่ มหาวิทยาลัยเทคโนโลยีราชมงคลกรุงเทพเป็นเวลา 3 วัน เมื่อวันที่ 6, 7 และ 14 สิงหาคม 2552 ณ บริเวณพื้นที่สนามฟุตบอล โดยใช้เครื่องรับสัญญาณ จีพีเอส แบบ 2 ความถี่ ยี่ห้อ Topcon รุ่น Hyper Ga จำนวน 2 เครื่องเครื่องหนึ่งกำหนดให้เป็นจุดสถานีฐาน (Base station) ที่หมุด BLD 14/1 และอีกเครื่องหนึ่งกำหนดให้เป็นจุดสถานีสำรวจ (Rover station) ที่หมุด KS_01, KS_02, KS_03 และ KS_04 ตามลำดับ โดยทำการทดสอบออกแบบเป็น 2 ชุดข้อมูล คือ ชุดแรก เมื่อแบบจำลองอยู่นิ่งกับที่ และมีการเคลื่อนที่ ขึ้น - ลง ทางดิ่ง 0.075 เมตร และชุดที่สองเมื่อแบบจำลองอยู่นิ่งกับที่ และมีการเคลื่อนที่ ขึ้น- ลง ทางดิ่ง 0.185 เมตร และใช้ความถี่ในการบันทึกข้อมูล 5 Hz

โดยในการทดลองผู้วิจัยต้องการแสดงให้เห็นว่า ในการใช้งานวิธีการ RTK เพื่อรังวัดจุดตำแหน่งในภูมิประเทศนั้นมีข้อพึงระวังในการรับสัญญาณในกรณีที่จุดตั้ง เครื่องรับนั้นอยู่ภายใต้ร่มไม้ใหญ่ หรือจะเรียกว่า มีการบังบังสัญญาณ เนื่องจากอิทธิพลการปักคุณเรือนยอดของต้นไม้ใหญ่ในภูมิประเทศ เพราะในการเก็บข้อมูลในสนามผู้ใช้งานจะทราบเพียงแต่ว่าถ้าหากเครื่องรับที่สถานีจรนั้นพร้อมที่จะบันทึกค่าสมุดสนามอิเลคทรอนิกส์ จะแสดงค่าว่า Fixed แต่ถ้ายังไม่พร้อมจะแสดงค่าว่า Floated ซึ่งการที่เครื่องรับแสดงสถานะ Floated จะแสดงว่า เครื่องรับกำลังเริ่มต้นทำการหาค่าตัวเลขปริศนาที่เป็นจำนวนเต็มอยู่ หรือ สถานะค่า DOPS ของดาวเทียมยังอยู่ในเกณฑ์ที่ใช้ไม่ได้ตามข้อกำหนดที่ผู้ใช้ตั้งค่าไว้ใน Configure จะนี้ในการทดลองต่อไปนี้ ค่าความสูงที่ แสดงให้กูเป็นค่าความสูงที่เครื่องรับตรวจจับได้ และผ่านเกณฑ์ความถูกต้องที่ตั้งไว้ตามมาตรฐานในเครื่องรับ และเป็นค่าที่เครื่องรับทำการเก็บบันทึกลงในสมุดสนามอิเลคทรอนิกส์ (Field controller) โดยตำแหน่งที่หมุดสถานีจรทั้ง 4 หมุดนี้ อยู่ภายใต้เงื่อนไขคือ เป็นหมุดที่อยู่ภายใต้อิทธิพลการปักคุณเรือนยอด คุณภาพประกอบ 4.6 แต่สามารถรับสัญญาณดาวเทียม จีพีเอส จนนำมาสู่ การคำนวณผลลัพธ์ ของค่าพิกัดแบบทันทีทันใจ โดยซอฟแวร์ของเครื่องรับที่สถานีจรในสนามได้



รูปที่ 4.6 ภาพถ่ายบริเวณสถานีจรทั้ง 4 หมุดในการทดลองที่ 4.2

จากการที่ กองGIS และ เนลินชันน์ (2549) ได้ดำเนินการรังวัดด้วยวิธี RTK และวิธี Inversed RTK โดยการนำข้อมูลดิบที่ได้จากการรับสัญญาณไปยังดาวเทียม GPS ที่สถานีจร มาทำการประมวลผลแบบสัมพัทธ์ ในภายหลังกับเครื่องรับที่สถานีฐานภายใต้เหตุผลที่ว่า วิธีการประมวลผลแบบสัมพัทธ์ ในภายหลังสามารถจัดค่าคลาดเคลื่อนอย่างมีระบบให้หักล้างกันหมดไปดังนี้ ในการสรุปผลการทดลอง ผู้วิจัยจึงได้นำข้อมูลดิบจากทั้งสองสถานีมาทำการประมวลผลแบบสัมพัทธ์ดังภาพที่ในภายหลังด้วย ซอฟแวร์ Topcon tool Version 4.5 พร้อมด้วย Topcon Tool USB และสรุปเป็นค่าทางสถิติและรูปกราฟดังแสดงด้านล่าง



รูปที่ 4.7 การประมวลผลแบบสัมพันธ์ด้วยซอฟแวร์ Topcon tool v.4.5

การทดลองที่ 2 ต้องการที่จะอธิบายผลการทดลองค่าต่างระดับทางดึงที่ตรวจจับได้โดยเครื่องรับที่จุดสถานีจริงว่า มีความสอดคล้อง หรือแตกต่างกันในแต่ละวัน กับค่าการเคลื่อนตัว ขึ้น-ลง ทางดึงจริง ที่เกินขึ้น โดยแบบจำลอง จึงได้แบ่งการทดลองออกเป็น 3 วัน วันละ 4 หมุด ละ 2 ช่วงเวลา รับสัญญาณ พร้อมกันนี้ได้นำผลลัพธ์ของค่าพิกัดทางดึง ของจุดสถานีจริง ที่ได้จากการประมวลผลแบบสัมพันธ์ ในภายหลัง นำมา เปรียบเทียบผลลัพธ์ กับ ความสูงที่เปลี่ยนแปลงจริงของแบบจำลองค้างคาวาที่ 4.2

ตารางที่ 4.2 (ก) ผลิตภัณฑ์เครื่องรับที่หมุน KS_01 ตรวจสอบได้ใน 3 วัน หากข้อมูล Real-time และ Post processing จะ用การ

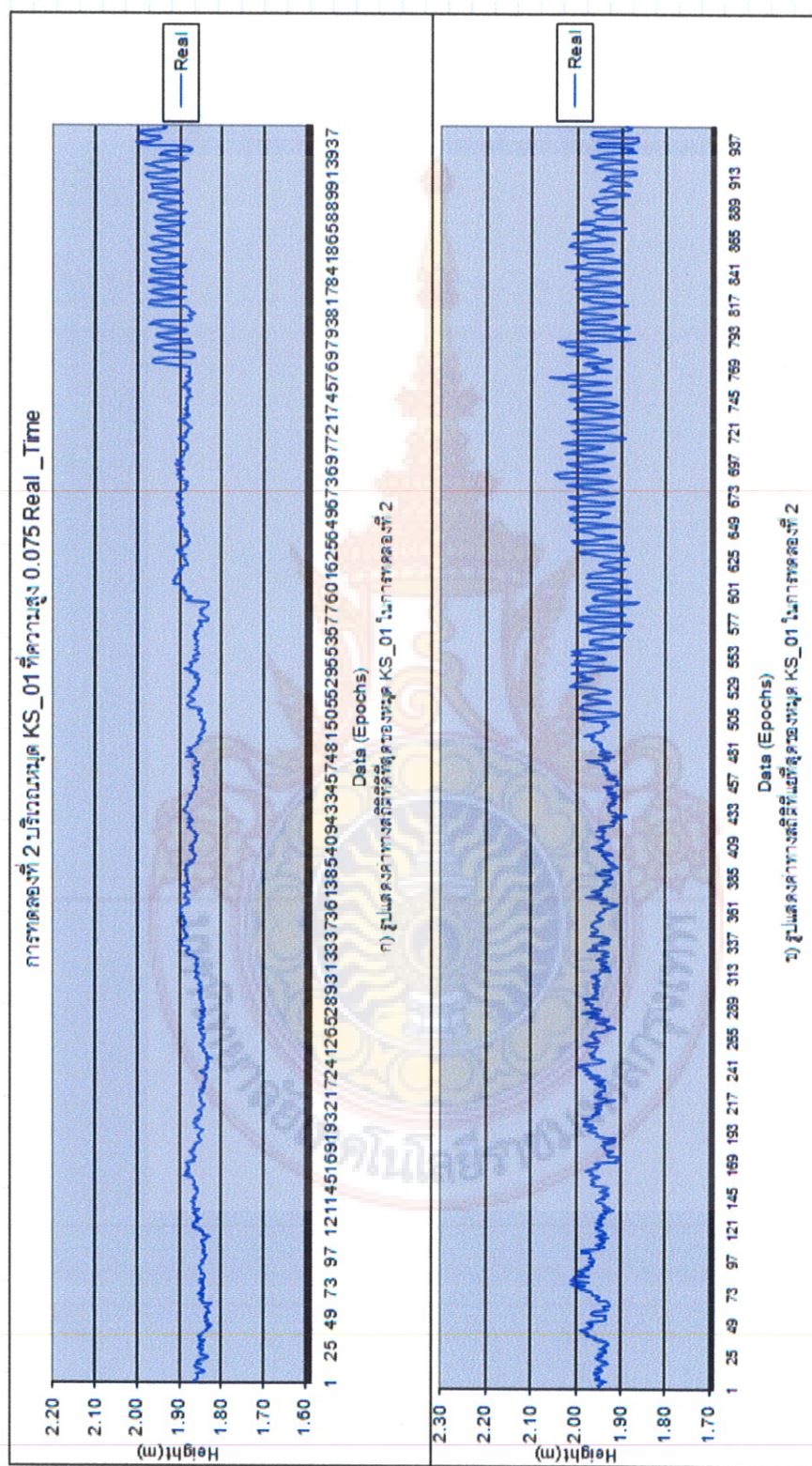
KS_01		ค่าทางสถิติของ ช่วงเวลาการรับรู้ภัยคุกคามจริง (real-time)				ค่าทางสถิติของ ช่วงเวลาการรับรู้ภัยคุกคามที่ผ่านไปจนถึงการประเมิน Post-processing กับคุณลักษณะฐาน (มหกรรม)				ผลลัพธ์	
ตัวแปร	ค่า	ค่าปัจจุบัน	ค่าเฉลี่ย	ค่าสูงสุด	ค่าต่ำสุด	ค่าปัจจุบัน	ค่าเฉลี่ย	ค่าสูงสุด	ค่าต่ำสุด	ค่าปัจจุบัน	ค่าเฉลี่ย
รุ่นพัฒนา	0.092	0.070	1.866	0.141	0.035	1.948	0.082	0.143	0.095	2.056	0.243
รุ่นพัฒนา	0.150	0.090	1.910	0.170	0.038	1.947	0.036	0.162	0.067	1.889	0.245
รุ่นพัฒนา	0.122	0.089	1.948	0.201	0.041	1.975	0.078	0.133	0.055	1.870	0.263

ตารางที่ 4.2 (ข) แสดงค่าทางสถิติของความถูกระยะที่ต้องรับพัฒนา KS_02 ตรวจได้ใน 3 วัน หากข้อมูล Real-time และ Post processing ของกราฟโดยทั่วไป

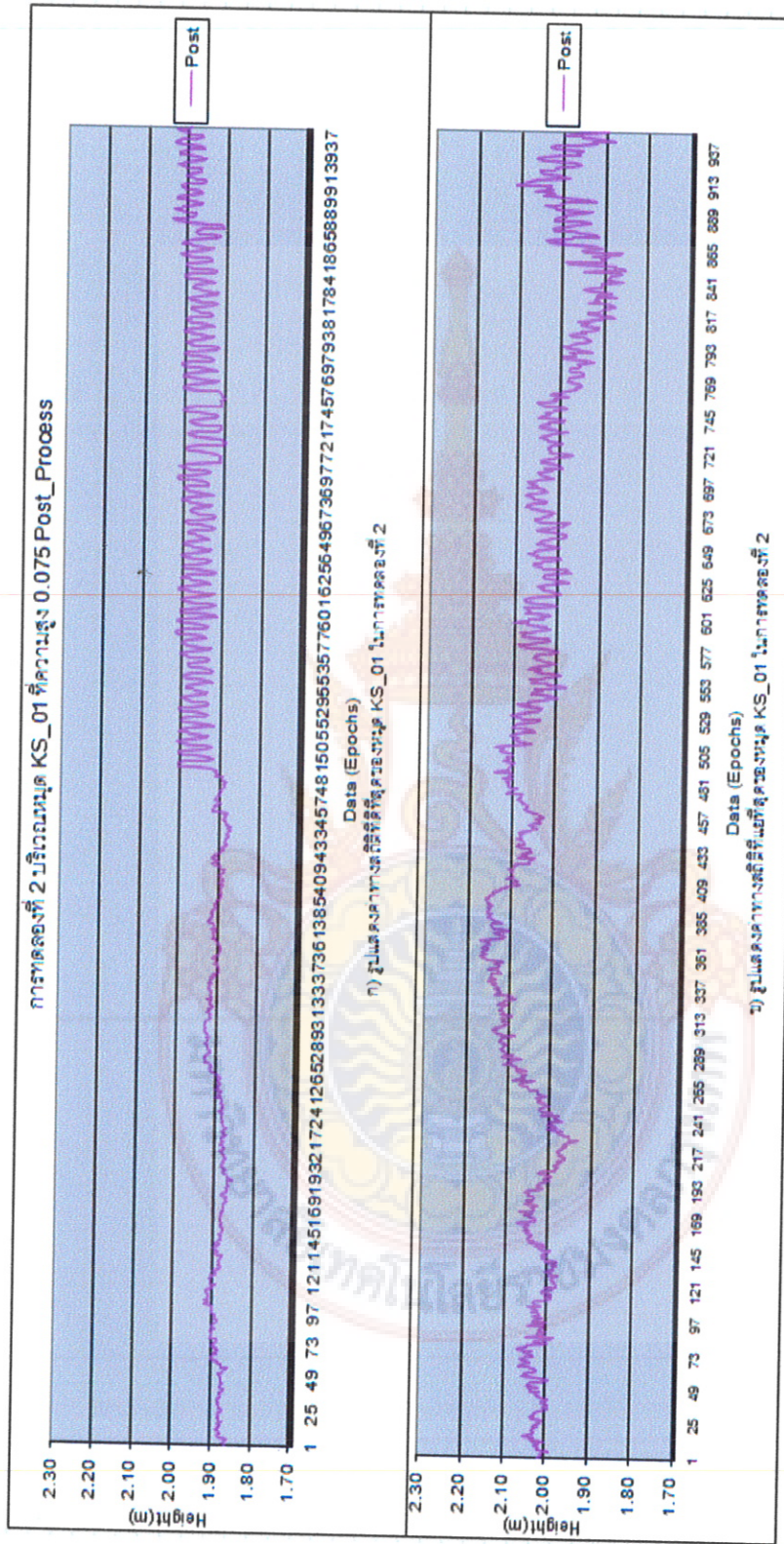
ตารางที่ 4.2 (๑) เสตดองค่าทางสถิติ/mol ของความถี่ที่ครองรัฐ KS_03 ระหว่าง ๓ ใน ๓ วัน จากชุดข้อมูล Real-time และ Post processing ของการทดลองที่ ๒

ลูกข่าย	เมื่อแบ่งจังหวัง				ค่าทางสถิติของ ช่วงเวลาการเข้าร่วมที่จุดสถานีน้ำท่า Post-processing กับจุดสถานีน้ำท่า
	อุบลฯ	0.075	เชียงราย	0.185	
KS_03 ค่าทางสถิติของ ช่วงเวลาการเข้าร่วมที่จุดสถานีน้ำท่า (ไม่รวม Real-time)					
0.040	0.064	1.656	0.124	0.031	1.687
0.039	0.064	1.674	0.113	0.028	1.923
0.056	0.093	1.661	0.135	0.029	1.909

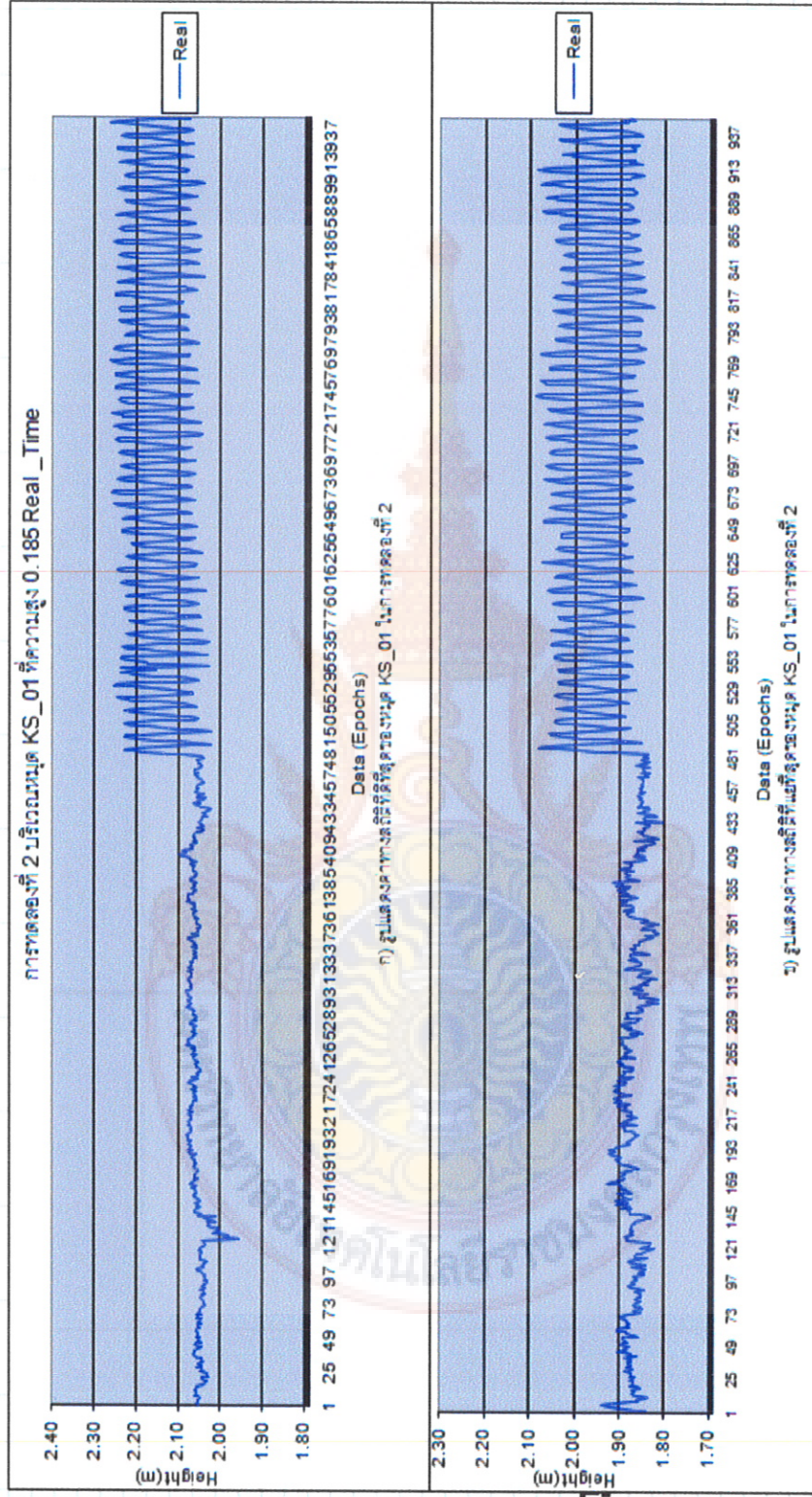
ตารางที่4.2 (๑) แสดงค่าทางสถิติของความถูกระยะที่เครื่องรับที่หนุน KS_04 ตรวจขึ้นไป ใน 3 วัน จากช่อง Real-time และ Post processing ของกราฟผลลัพธ์ที่ 2



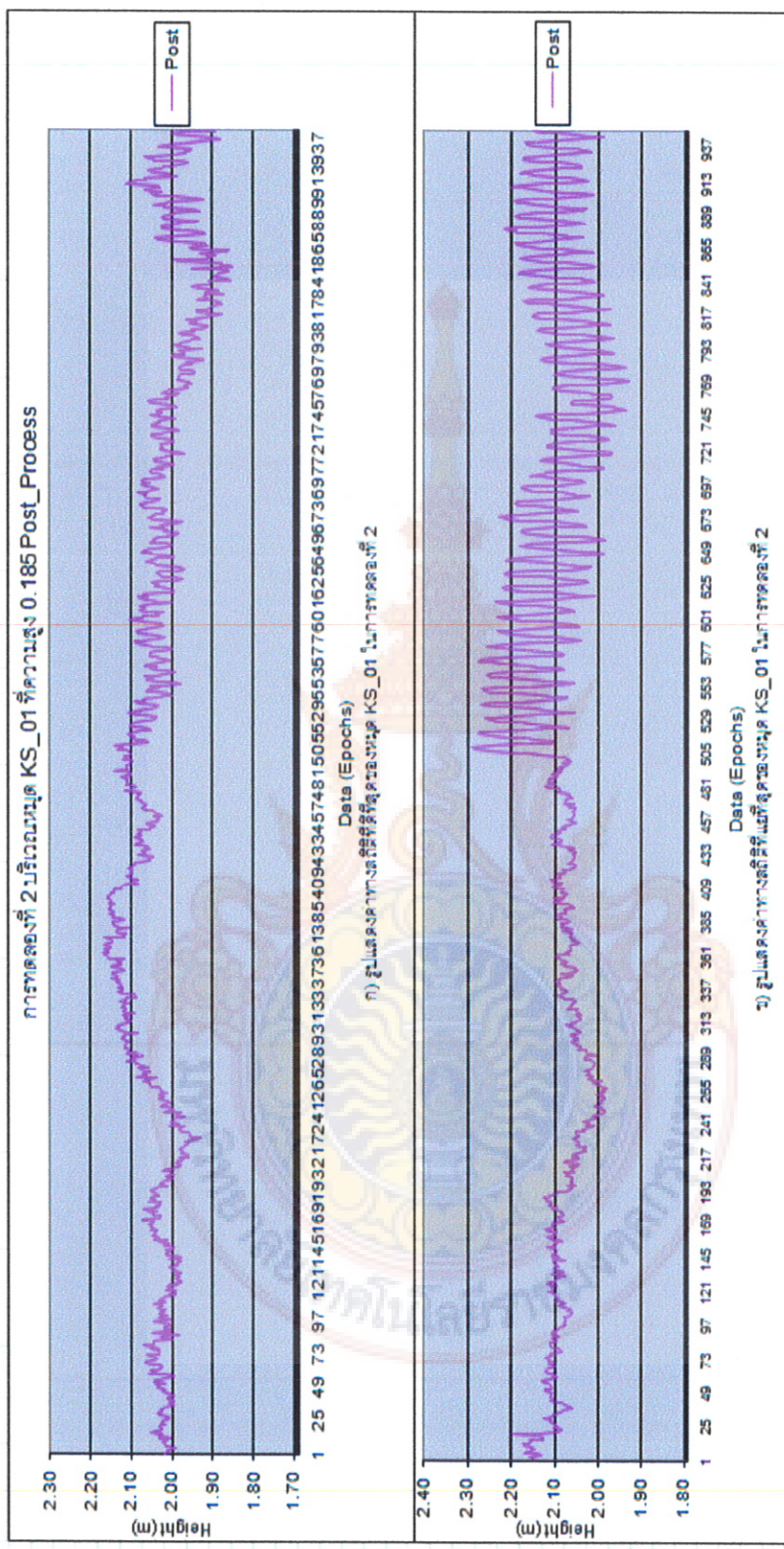
รูปที่ 4.8 แสดงค่าการเคลื่อนตัวของน้ำ KS_01 ที่มาทางตัวติดตั้งที่สุด (ก) และเบื้องตุ้ด (บ) ใน 3 วัน ของน้ำ KS_01 ที่ชุมชน Real-time ในการทดลองที่ 2 เมื่อแบบจำลองยุ่นงบก็ แตะน้ำการเคลื่อนที่ ญี่ปุ่น – ตง ทางด้าน 0.075 เมตร



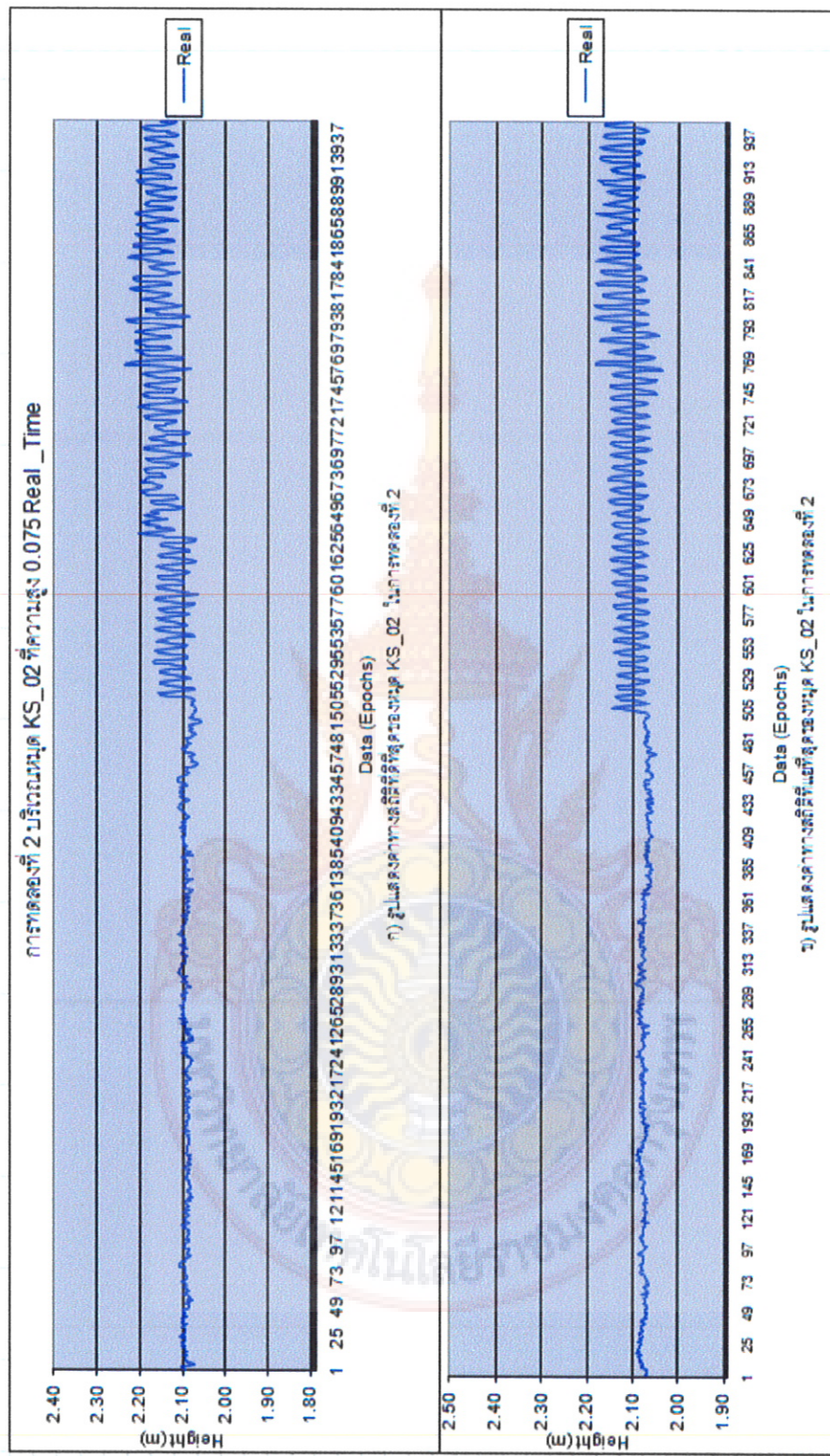
รูปที่ 4.9 แสดงค่าการเคลื่อนตัวของหุน KS_01 ที่มีค่าทางสถิติสำคัญที่สุด (ก) และเบื้องต้น (ก) ใน 3 วัน ช่วง หุน KS_01 ชื่อ mudflow post-processing ในการทดสอบที่ 2 เมื่อบนแบบฟ้าองค์ประกอบที่ 3 บน – ลง ทางด้าน 0.075 เมตร



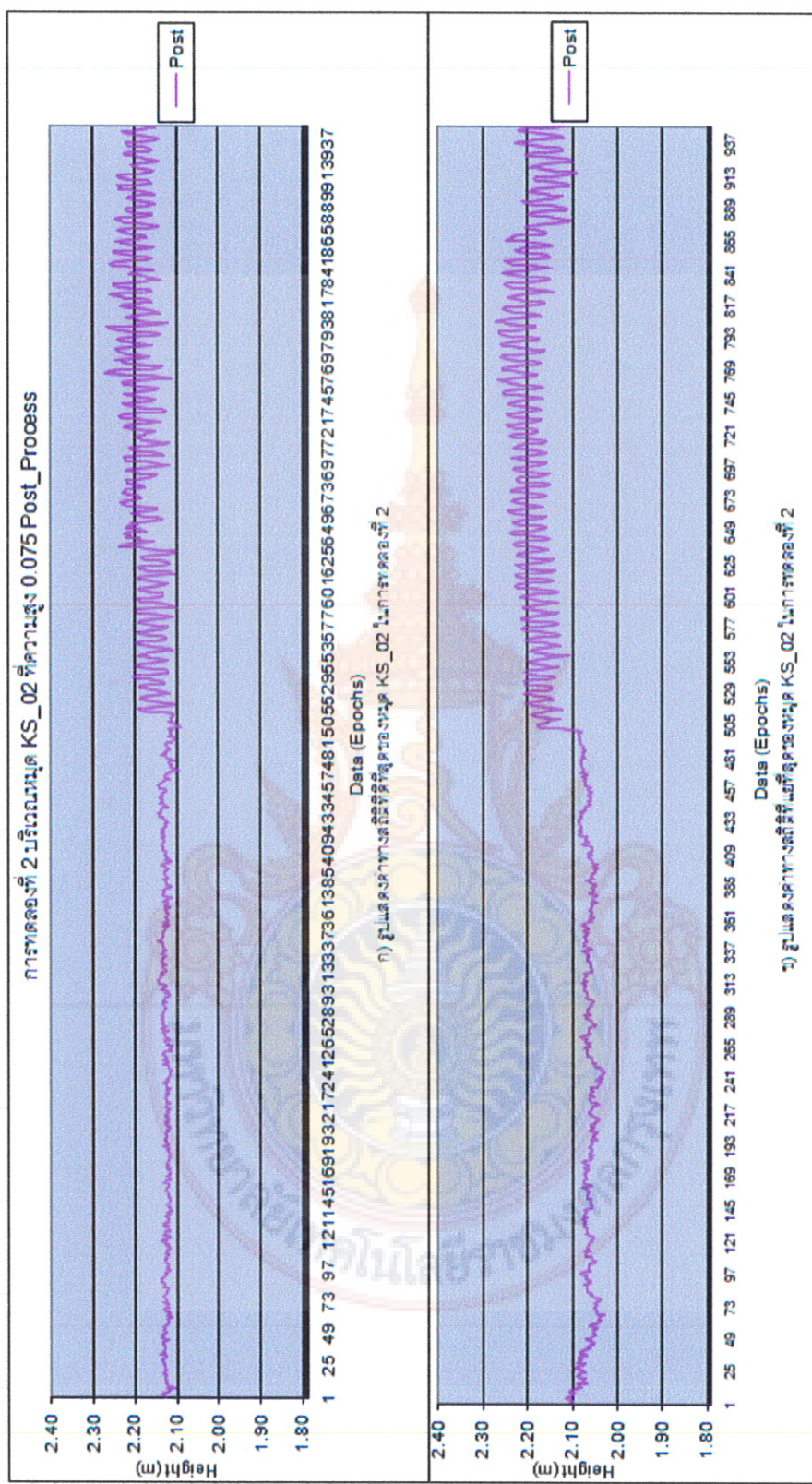
รูปที่ 4.10 แสดงผลค่าการโดยสารตัวอย่างบันทึก KS_01 ที่มีค่าทางสถิติพิเศษที่สุด (ก) และเบี่ยงเบ็ด (ก) ใน 3 วัน ของบันทึก KS_01 ของบันทึก KS_01 ที่ความถี่สูง 0.185 Real-time ในการทดลองที่ 2 เมื่อเวลา 7 โมงเช้าของวันนี้ แม้ว่ามีการโดยสารต่ำที่สุด แต่ก็ยังคงมีการโดยสารอยู่บ้างกับที่ แต่ก็มีการโดยสารต่ำที่สุด จึง – ลด ทางด้าน 0.185 เมตร



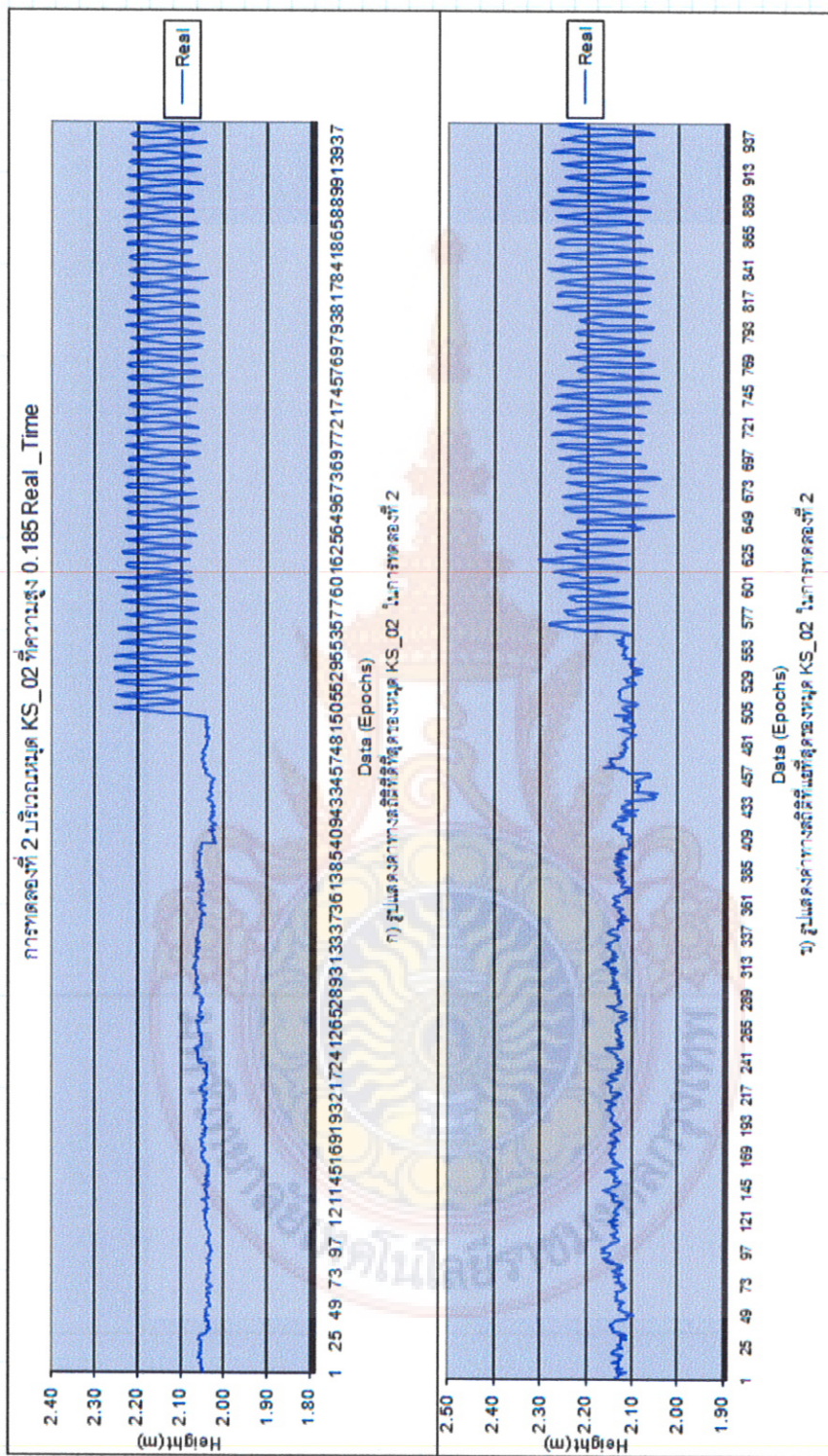
รูปที่ 4.11 แสดงค่าการคតถอยน้ำของบ้านตุ๊ก KS_01 ที่มีค่าทางสถิติที่ต่ำที่สุด (ก) และเบี่ยงเบ็ด (ข) ใน 3 วัน ของบ้านตุ๊ก KS_01 ข้อมูลแบบ post-processing ในการทดสอบที่ 2 เมื่อแบบจำลองอยู่ในเก้าบ้านที่ ๑๙๖ – ๑๙๗ ทางด้านที่ ๑๙๖ – ๑๙๗ ทางด้านที่ ๒



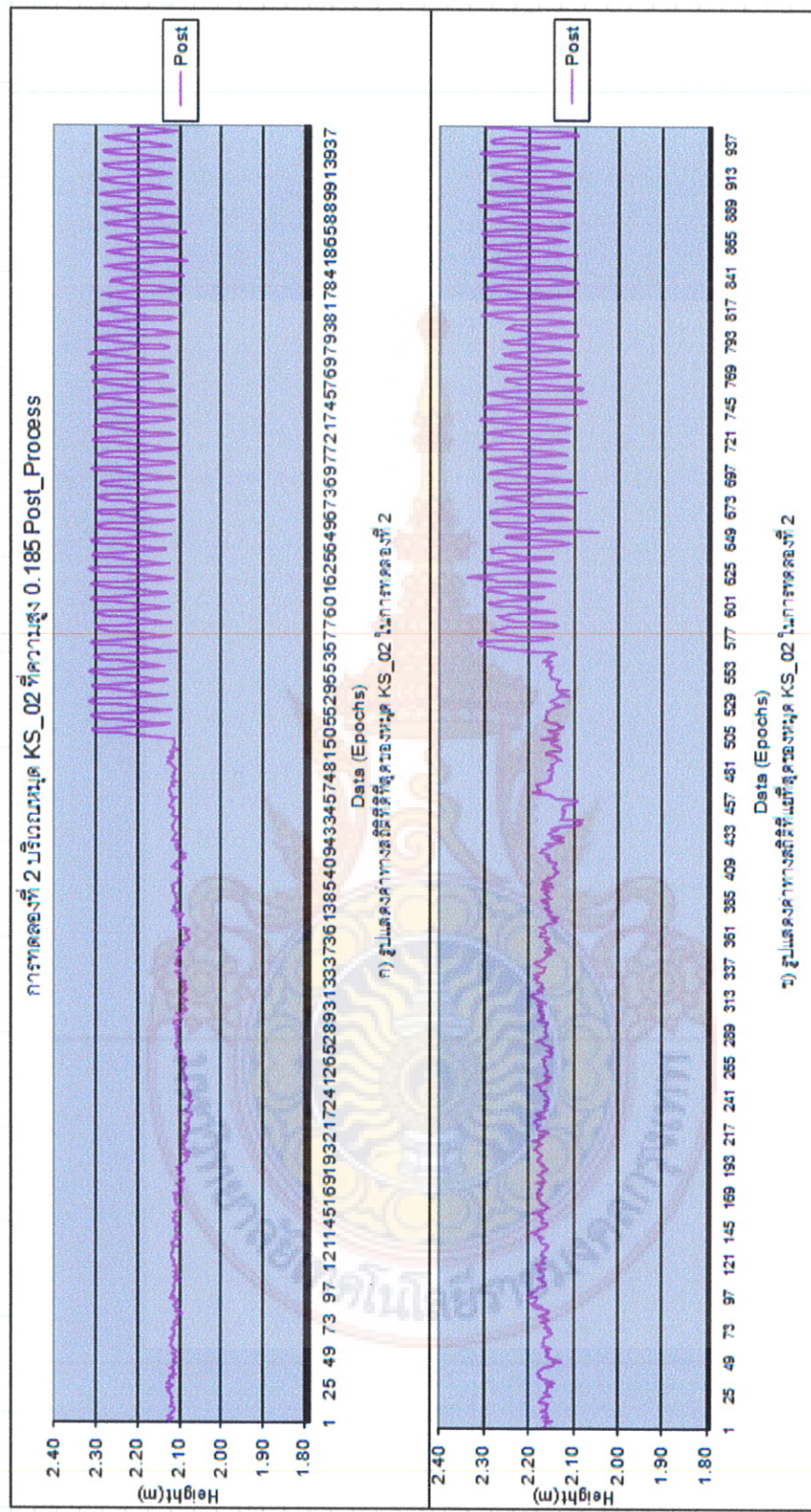
รูปที่ 4.12 แสดงค่าการทดสอบตัวของหนุก KS_02 ที่มีค่าทางสถิติที่สุด (ก) และเปลี่ยนไปตาม KS_02 ที่มีค่าทางสถิติที่สุด (ข) ใน 3 วัน ของหนุก KS_02 ที่บลูนุก Real-time ในการทดสอบที่ 2 แบบรีบานขึ้นลงกับที่ เครื่องมือการทดสอบที่ ชั้น – ถัง ทำทั้ง 0.075 เมตร



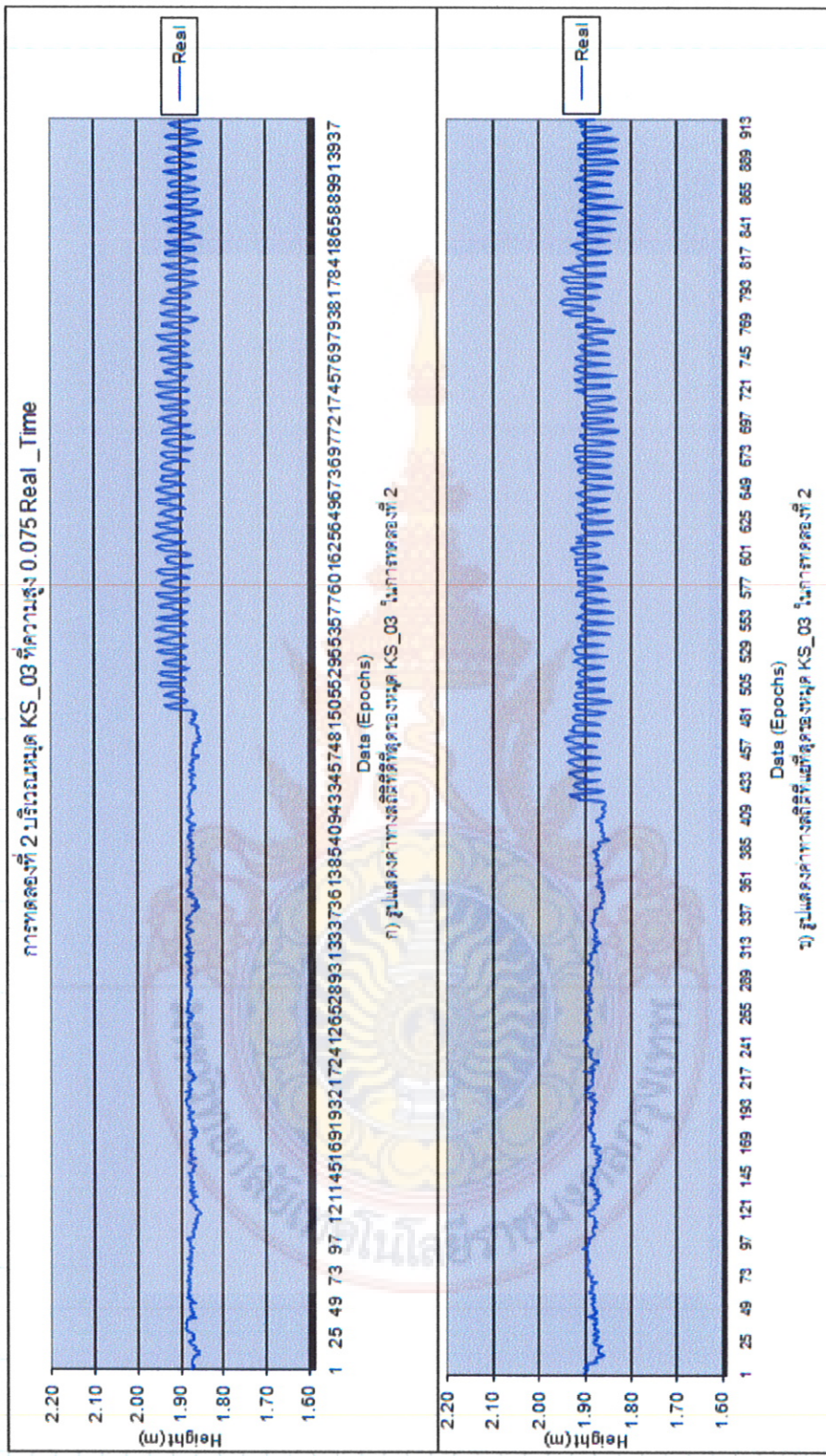
รูปที่ 4.13 แสดงถึงการตรวจสอบตัวข้อมูล KS_02 ที่มีค่าทางสถิติที่ต่ำ (ก) และเบี่ยงเบนกว้าง (จ) ใน 3 วัน ของบันได KS_02 ของแบบ post-processing ในกราฟด้อยที่ 2 เมื่อแบบจำลองผู้เดินก้าวที่ และมีการลดต่ำลงที่ ปัจจุบัน – ถัดหน้าที่ 0.075 เมตร



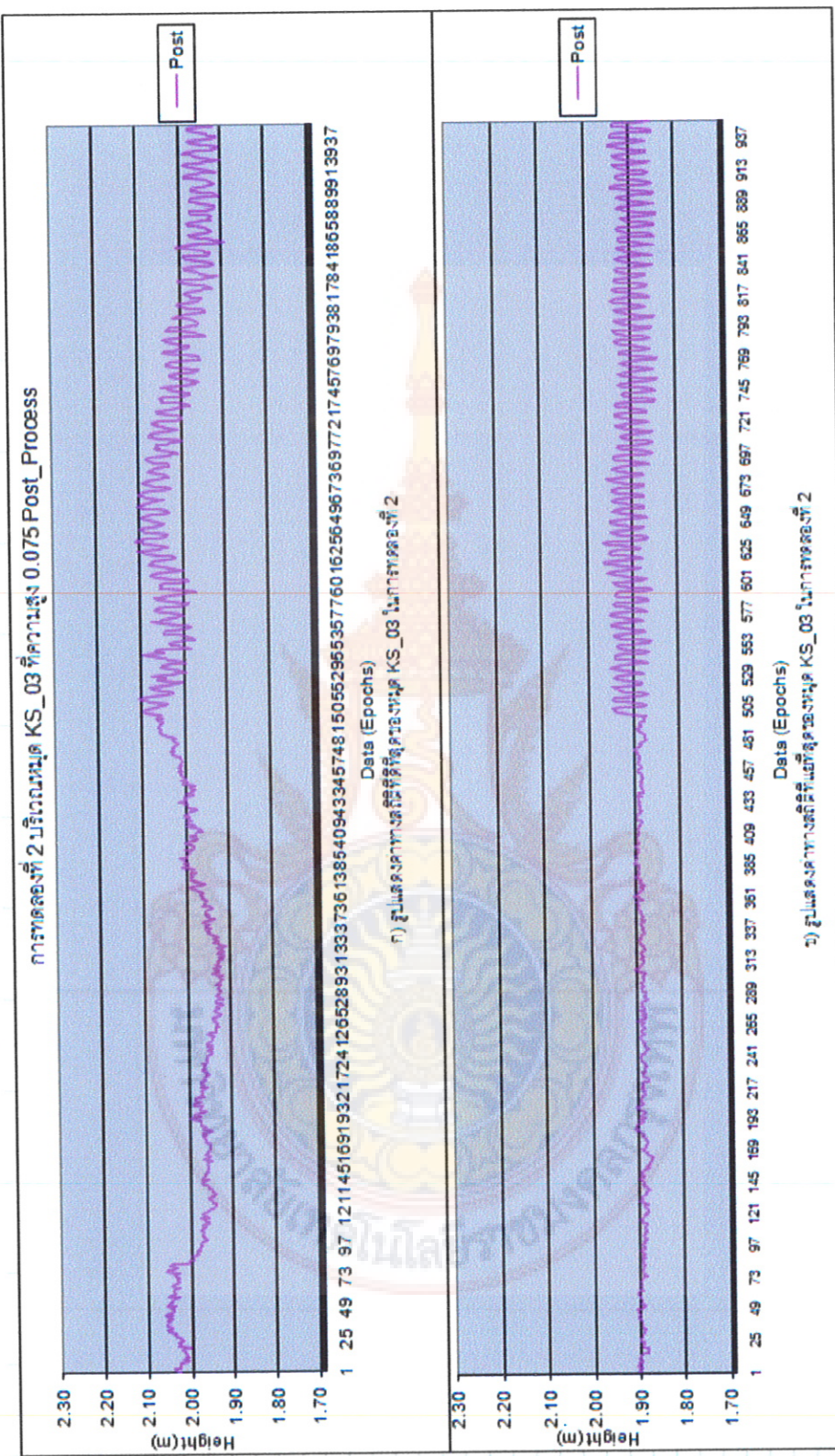
รูปที่ 4.14 แสดงถึงการทดสอบตัวอย่างหมุด KS_02 ที่มีค่าทางสถิติที่ดีที่สุด (ก) และแบบที่ต่ำ (ข) ใน 3 วัน ของหมุด KS_02 ชื่อหมุด Real-time ในการทดสอบที่ 2 เมื่อยังไม่สามารถยืนยันได้ และนี่เป็นการเคลื่อนที่ ญี่ปุ่น – สิงคโปร์ 0.185 เมตร



รูปที่ 4.15 แสดงค่าการเคลื่อนตัวของหมุด KS_02 ที่มีค่าทางสถิติที่ต่ำกว่า 0.185 Post_Process ในกราฟด้านล่างที่ 2 เมื่อแบบจำลองอยู่ในเก็บที่ และมีการเคลื่อนที่ขึ้น – ลง ทางดัง 0.185 เมตร

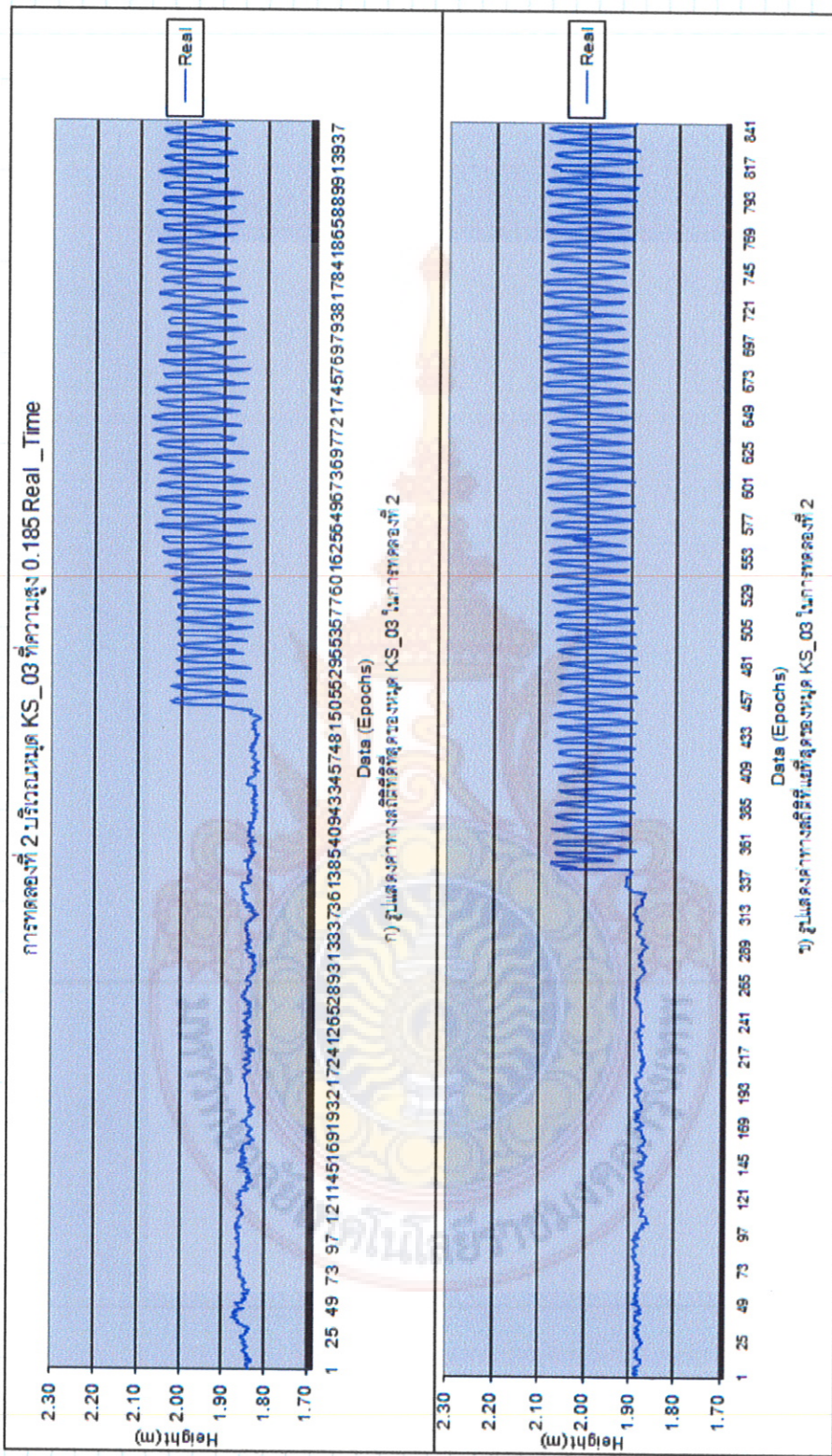


รูปที่ 4.16 แสดงถึงการทดลองตัวของหอด KS_03 ที่มีค่าทางสถิติที่ดี (ก) และเปลี่ยนไป (บ) ใน 3 วัน ของหอด KS_03 ที่อยู่ Real-time ในการทดลองที่ 2 แม้ว่าจะทำอย่างไรก็ตามที่ เทคนิคการทดลองนั้นๆ ยัง – ตั้ง ทางค่า 0.075 เมตร

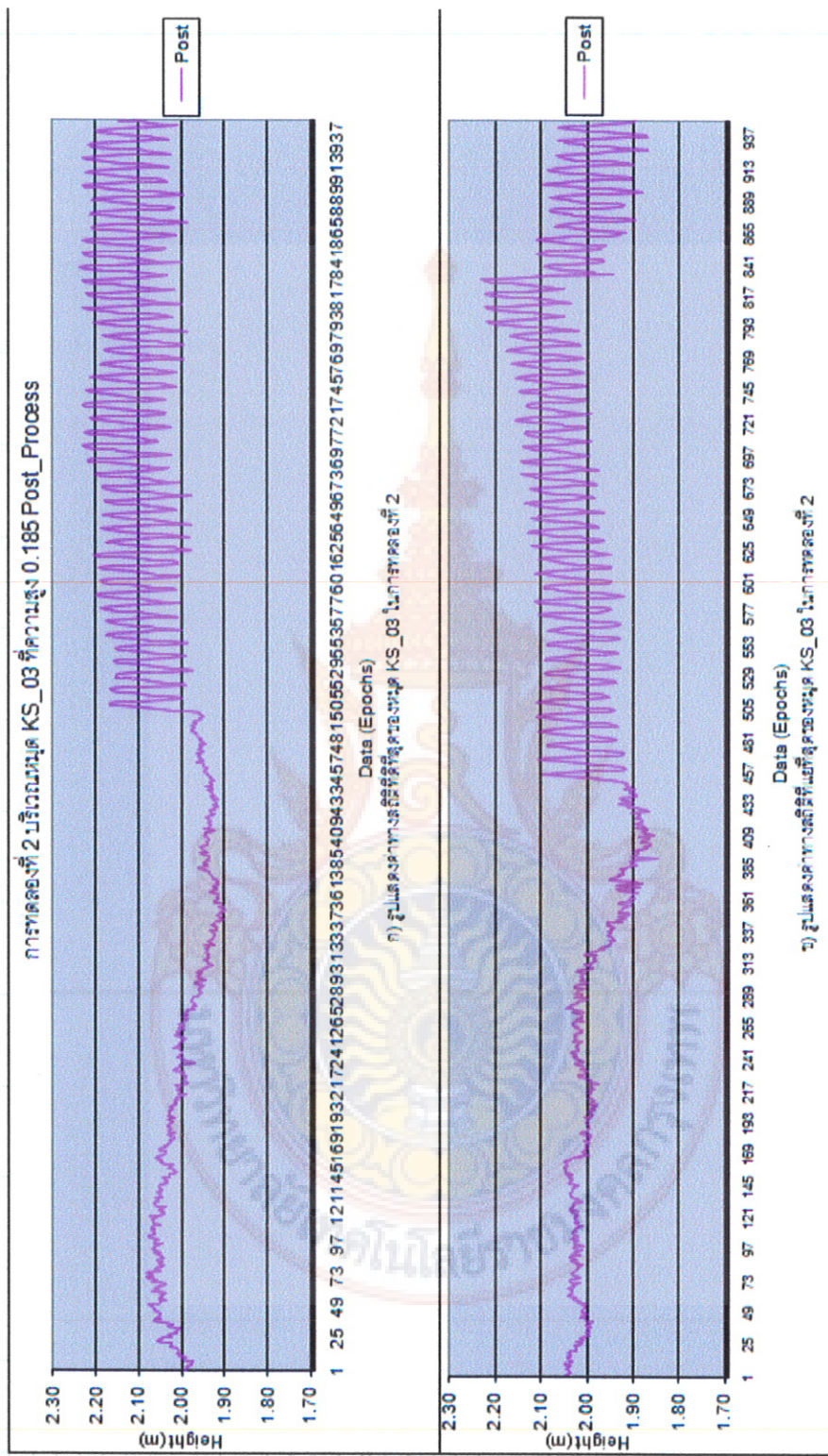


รูปที่ 4.17 แสดงค่าการเดลล์อ่อนตัวของหนวด KS_03 ที่มีค่าทางสถิติที่ต่ำที่สุด (ก) และเปลี่ยนไป (ข) ใน 3 วัน ของหนวด KS_03 ของน้ำแบบ post-processing ใน

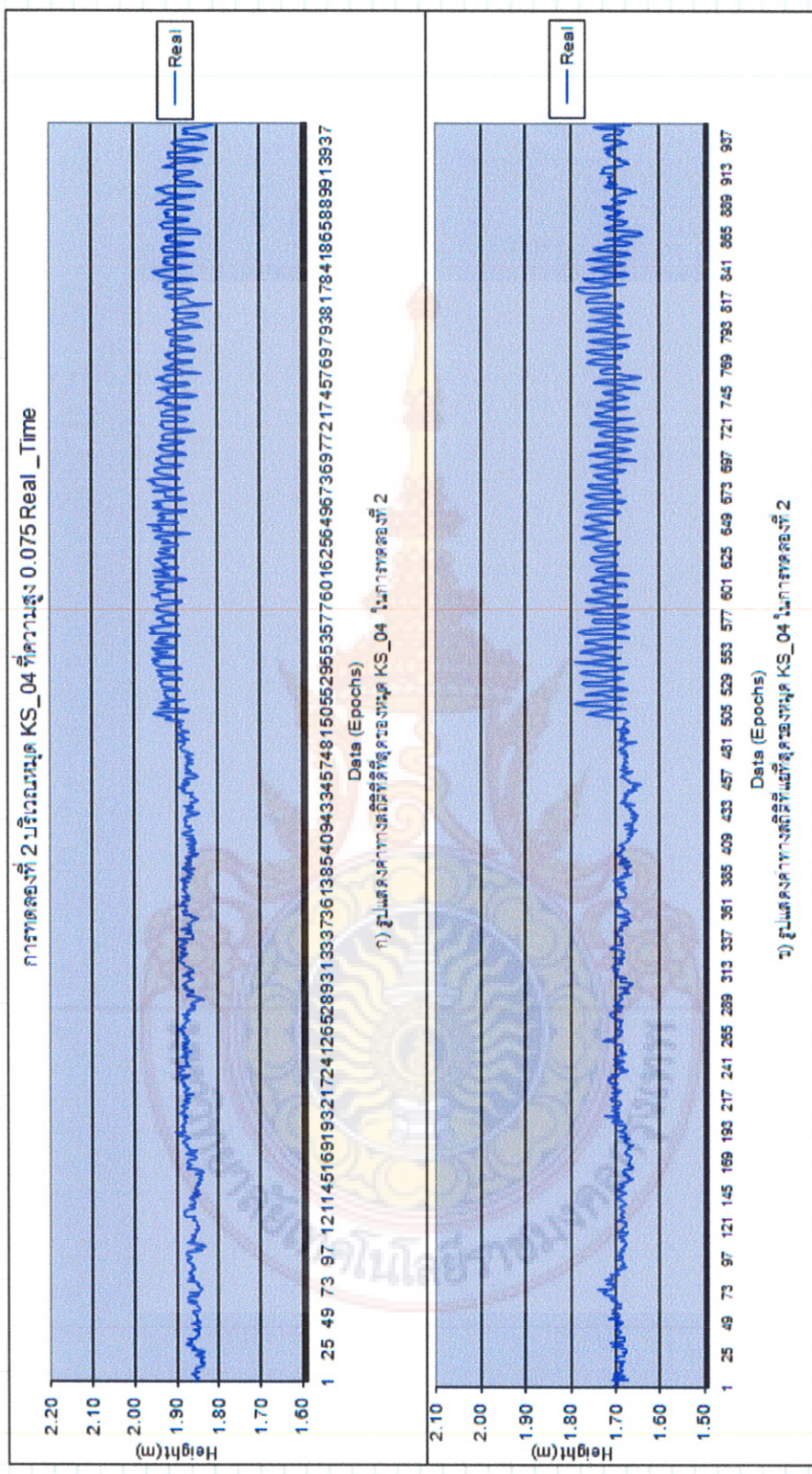
การทดลองที่ 2 เมื่อยังไม่ทำคลองอยู่แล้ว กับที่ แต่เมื่อการทดลองที่ 3 น้ำ – ดิน ทางค่า 0.075 เมตร



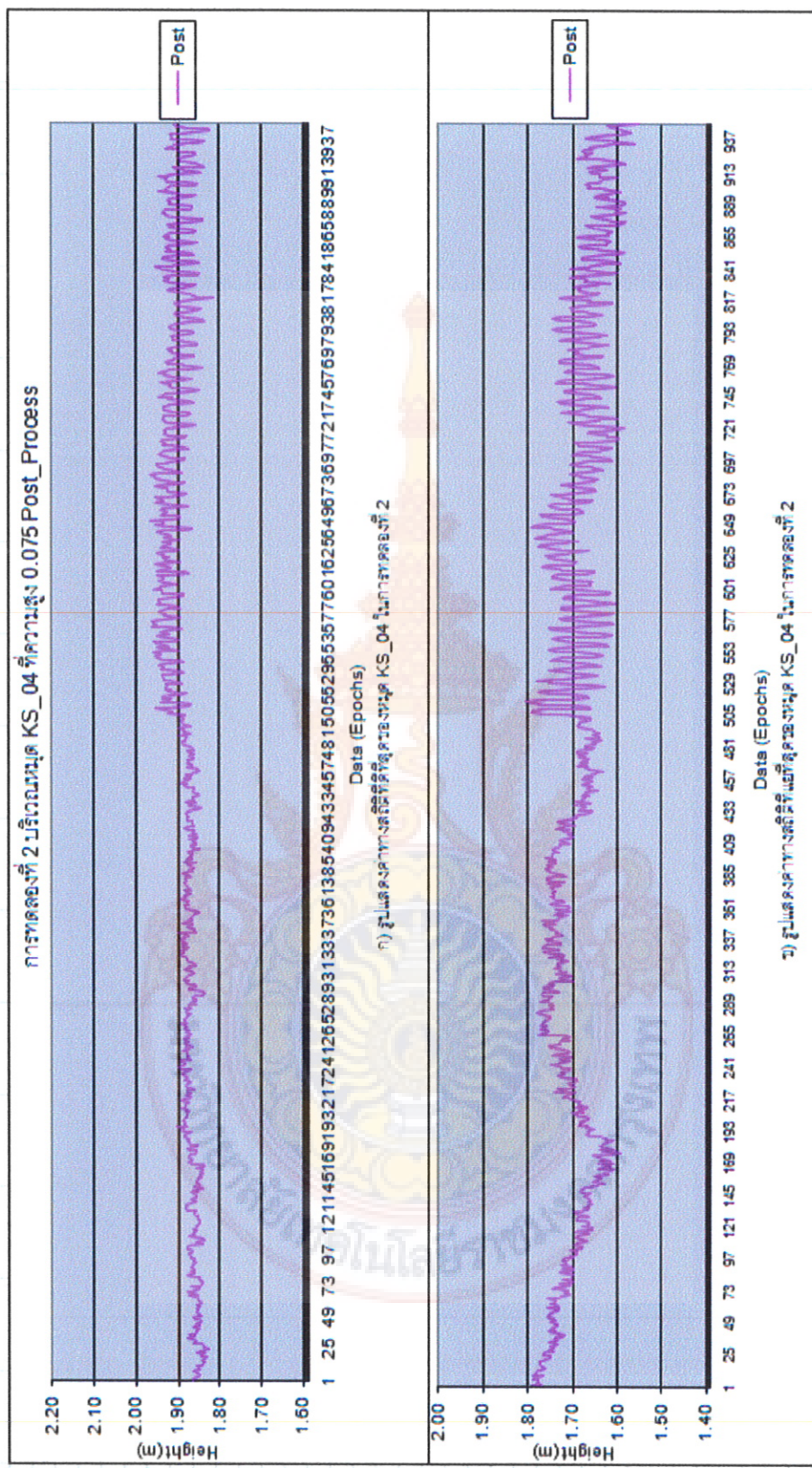
รูปที่ 4.18 และคงที่การเดลิ่อนตัวของชุด KS_03 ที่มีค่าทางสถิติที่ต่ำ (ก) และเบี่ยงเบ็ด (ก) ใน 3 วัน ของชุด KS_03 ที่อุปนุสต Real-time ในการทดสอบที่ 21 เมื่อเปรียบเทียบกับที่ ประเมินการทดสอบที่ ปัจจุบัน – ถึงทางที่ 0.185 เมตร



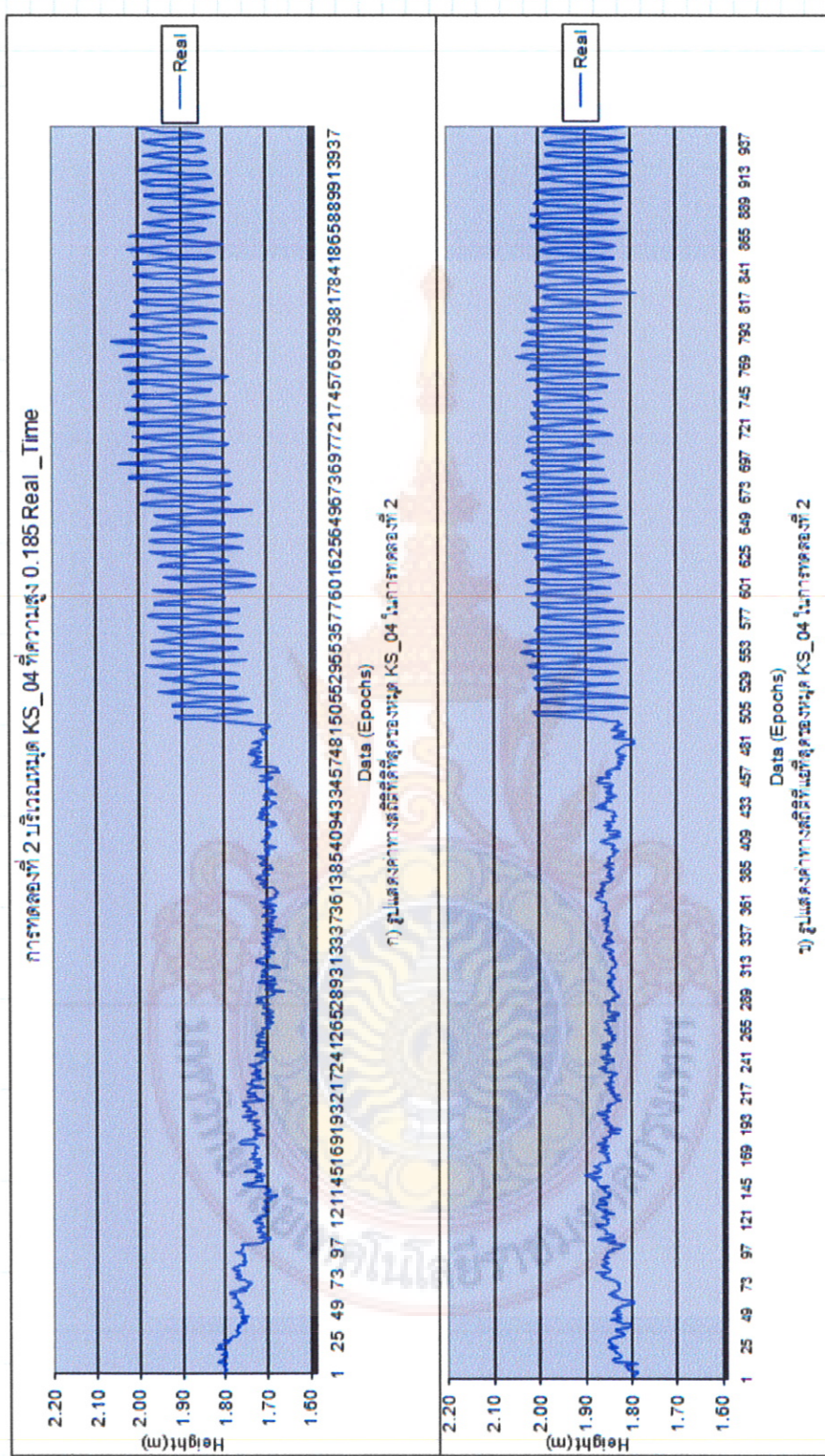
รูปที่ 4.19 แสดงค่าการเคลื่อนตัวของหมุด KS_03 ที่มีค่าทางสถิติที่ดีที่สุด (ก) และเบากว่า (ข) ใน 3 วัน ช่วงหน้า KS_03 ซึ่งมีผลแบบ post-processing ในการทดสอบที่ 2 เมื่อเปรียบเทียบกับผลลัพธ์ของการทดลองที่ 1 ทั้งคู่มีการลดลงอย่างเห็นได้ชัด แต่มีการลดลงน้อยกว่า 0.185 เมตร



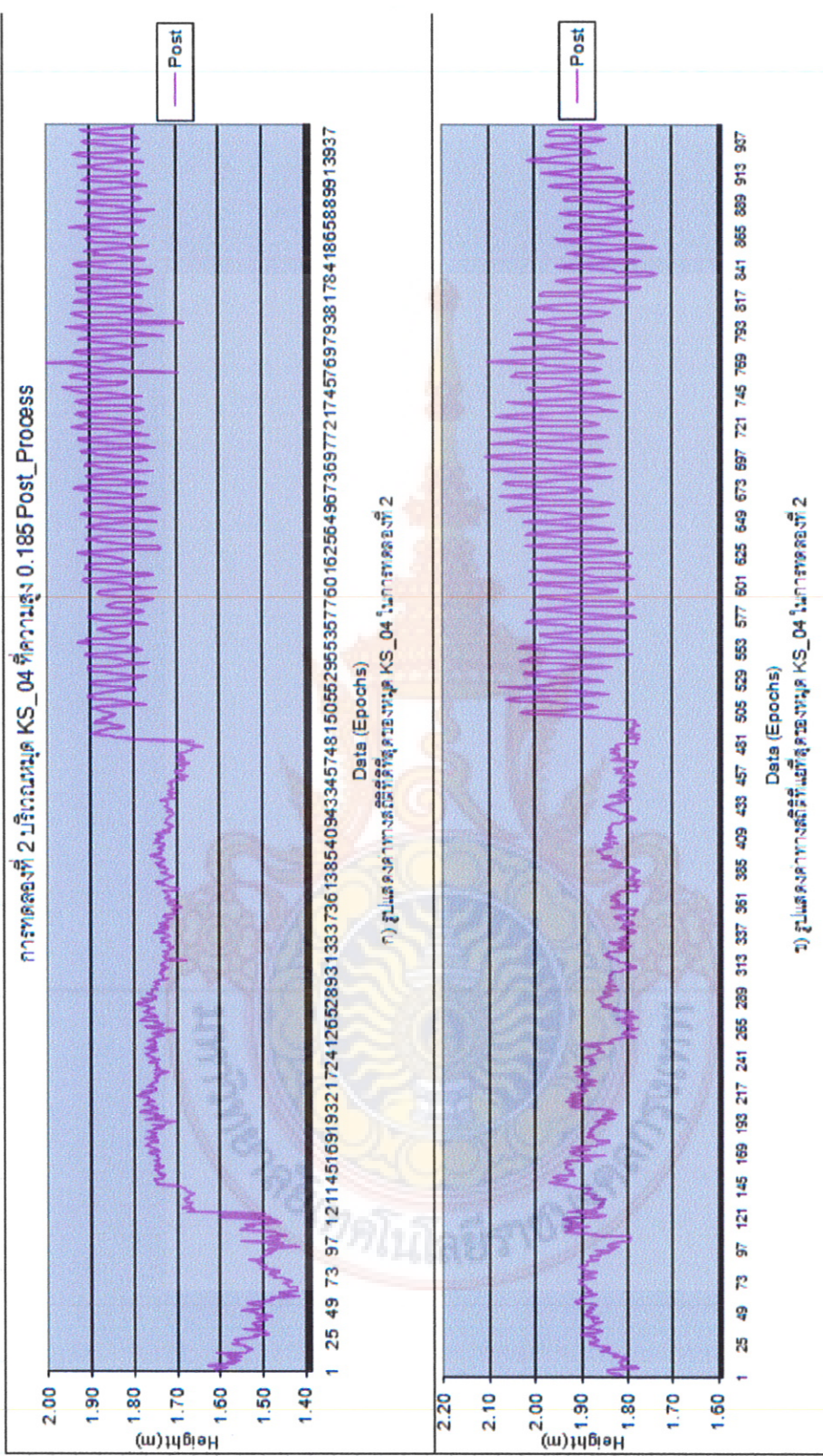
รูปที่ 4.20 แสดงค่าการเคลื่อนตัวของหมู่บ้าน KS_04 ที่มีค่าทางสถิติคงที่ แต่ (ก) และแบบที่ตัด (ข) ใน 3 วัน ของหมู่บ้าน KS_04 ข้อมูล Real-time ในการทดลองที่ 2 มีผลแบบจำลองอยู่ในกราฟ และขณะนี้การโดยเฉลี่ยนที่ ชั้น – ต่อ ทางเดิม 0.075 เมตร



รูปที่ 4.21 แสดงค่าการคลื่นตัวของหุบ KS_04 ที่มีทางสถิติคือที่สุด (ก) และเยี่ยมที่สุด (ข) ใน 3 วัน ของหุบ KS_04 ซึ่งอุดแบบ post-processing ในการทดสอบที่ 2 เมื่อยังไม่ถูกอุดอยู่ในง้นบ่อบน แต่จะมีการถอดลิบที่ชั้น – ถัง ทางด้าน 0.075 เมตร



รูปที่ 4.22 แสดงถึงการทดสอบตัวอย่างหมุด KS_04 ที่มีค่าทางสถิติที่ต่ำ (ก) และเบี่ยงเบ็ด (ข) ใน 3 วัน ของหมุด KS_04 ที่บันทึก Real-time ในการทดสอบที่ 2 เมื่อยังไม่ถูกอ้างอิงกับที่และมีการทดสอบที่ จัน – ลง ทางค้าง 0.185 เมตร



จากรูปที่ 4.8 ถึง รูปที่ 4.11 แสดงค่าการเคลื่อนตัวที่มีค่าทางสถิติที่ดีที่สุด (ก) และแย่ที่สุด (ข) ของหมุด KS_01 ในการทดสอบที่ 2 เมื่อพิจารณาค่าทางสถิติ ดังตารางที่ 4.2(ก) ในขณะที่แบบจำลองที่สถานีจร KS_01 มีการเคลื่อนตัวทางคิ่งของแบบจำลอง ขึ้น-ลงสูง 0.075 เมตร และ 0.185 เมตร เมื่อนำข้อมูล Real-time ของหมุด KS_01 ทั้ง 3 วันมาพิจารณาค่าพิสัยที่ใกล้เคียงกับค่าการเคลื่อนตัวจริงของแบบจำลองมากที่สุดจากตารางที่ 4.2(ก) โดยจากรูปที่ 4.8 ถึง รูปที่ 4.11 แสดงให้เห็นว่าผลลัพธ์การทำงานรังวัด จีพีเอส ด้วยวิธี RTK ในบริเวณหมุดที่อยู่ภายใต้อิทธิพลการปักลุมเรือนยอด ส่งผลกระทบต่อการคำนวณตำแหน่งอย่างชัดเจน โดยพิจารณาจากค่าพิสัยที่ดีที่สุดของความสูงต่างเฉลี่ยทั้ง 3 วัน

จากรูปที่ 4.12 ถึง รูปที่ 4.15 แสดงค่าการเคลื่อนตัวที่มีค่าทางสถิติที่ดีที่สุด (ก) และแย่ที่สุด (ข) ของหมุด KS_02 ในการทดสอบที่ 2 เมื่อพิจารณาค่าทางสถิติ ดังตารางที่ 4.2(ข) ในขณะที่แบบจำลองที่สถานีจร KS_02 มีการเคลื่อนตัวทางคิ่งของแบบจำลอง ขึ้น-ลงสูง 0.075 เมตร และ 0.185 เมตร เมื่อนำข้อมูล Real-time ของหมุด KS_02 ทั้ง 3 วันมาพิจารณาค่าพิสัยที่ใกล้เคียงกับค่าการเคลื่อนตัวจริงของแบบจำลองมากที่สุดจากตารางที่ 4.2(ข) โดยจากรูปที่ 4.12 ถึง รูปที่ 4.15 แสดงให้เห็นว่าผลลัพธ์การทำงานรังวัด จีพีเอส ด้วยวิธี RTK ในบริเวณหมุดที่อยู่ภายใต้อิทธิพลการปักลุมเรือนยอด ส่งผลกระทบต่อการคำนวณตำแหน่งอย่างชัดเจน โดยพิจารณาจากค่าพิสัยที่ดีที่สุดของความสูงต่างเฉลี่ยทั้ง 3 วัน

จากรูปที่ 4.16 ถึง รูปที่ 4.19 แสดงค่าการเคลื่อนตัวที่มีค่าทางสถิติที่ดีที่สุด (ก) และแย่ที่สุด (ข) ของหมุด KS_03 ในการทดสอบที่ 2 เมื่อพิจารณาค่าทางสถิติ ดังตารางที่ 4.2(ค) ในขณะที่แบบจำลองที่สถานีจร KS_03 มีการเคลื่อนตัวทางคิ่งของแบบจำลอง ขึ้น-ลงสูง 0.075 เมตร และ 0.185 เมตร เมื่อนำข้อมูล Real-time ของหมุด KS_03 ทั้ง 3 วันมาพิจารณาค่าพิสัยที่ใกล้เคียงกับค่าการเคลื่อนตัวจริงของแบบจำลองมากที่สุดจากตารางที่ 4.2(ค) โดยจากรูปที่ 4.16 ถึง รูปที่ 4.19 แสดงให้เห็นว่าผลลัพธ์การทำงานรังวัด จีพีเอส ด้วยวิธี RTK ในบริเวณหมุดที่อยู่ภายใต้อิทธิพลการปักลุมเรือนยอด ส่งผลกระทบต่อการคำนวณตำแหน่งอย่างชัดเจน โดยพิจารณาจากค่าพิสัยที่ดีที่สุดของความสูงต่างเฉลี่ยทั้ง 3 วัน

จากรูปที่ 4.20 ถึง รูปที่ 4.23 แสดงค่าการเคลื่อนตัวที่มีค่าทางสถิติที่ดีที่สุด (g) และแย่ที่สุด (h) ของหมุด KS_04 ในการทดสอบที่ 2 เมื่อพิจารณาค่าทางสถิติ ดังตารางที่ 4.2 (g) ในขณะที่แบบจำลองที่สถานีจร KS_04 มีการเคลื่อนตัวทางด้านของแบบจำลอง ขึ้น-ลง สูง 0.075 เมตรและ 0.185 เมตร เมื่อนำข้อมูล Real-time ของหมุด KS_04 ทั้ง 3 วันมาพิจารณาค่าพิสัยที่ใกล้เคียงกับค่าการเคลื่อนตัวจริงของแบบจำลองมากที่สุดจากตารางที่ 4.2(g) โดยจากรูปที่ 4.20 ถึง รูปที่ 4.23 แสดงให้เห็นว่าผลลัพธ์การทำงานรังวัด จีพีเอส ด้วยวิธี RTK ในบริเวณหมุดที่อยู่ภายใต้อิทธิพลการปักลุ่มเรือนยอด ส่งผลกระทบต่อการคำนวนตำแหน่งอย่างชัดเจน โดยพิจารณาจากค่าพิสัยที่ดีที่สุดของความสูงต่างเฉลี่ยทั้ง 3 วัน

4.3 กรณีที่ไม่มีอิทธิพลปักลุ่มเรือนยอด

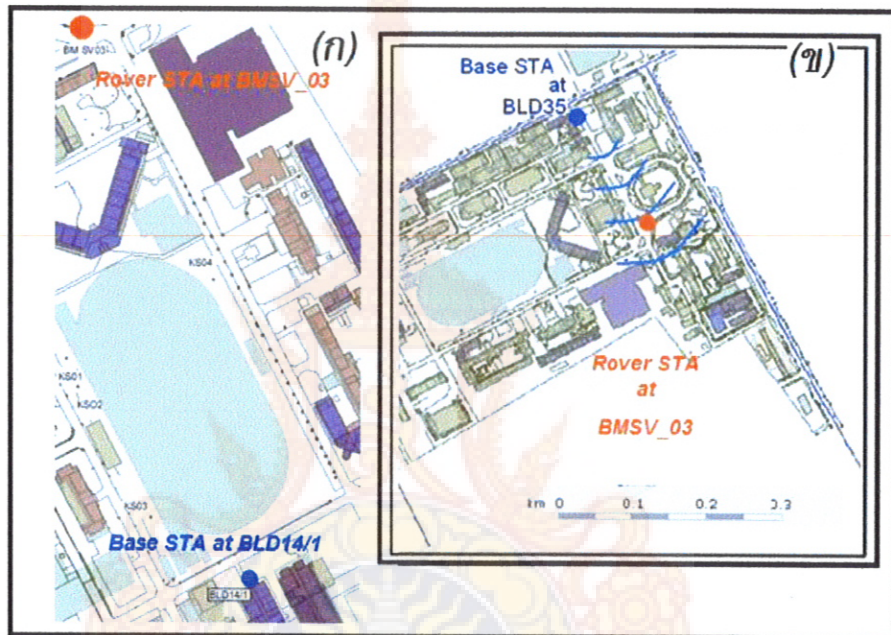
จากการทดสอบที่ 2 เกิดข้อสังเกตุที่ว่าค่าส่วนเบี่ยงเบนมาตรฐานของข้อมูลแบบ Real-time ในขณะที่แบบจำลองอยู่นิ่งกับที่ยังมีขนาด 0.070 เมตร ถึง 0.108 เมตร ภายหลังจากการนำข้อมูลดิบจากการรังวัดสัญญาณมาทำการประมวลผลแบบสัมพัทธ์ในภายหลัง post processing แต่ข้อมูลผลลัพธ์ที่ได้ไม่เป็นไปดังที่คาดหวังไว้เนื่องจาก Accuracy ในการประมวลผลเส้นฐานด้วยเครื่องรับแบบ 2 ความถี่ ได้บ่งบอกไว้ว่า คือ 10 มิลลิเมตร +1 ppm. ยกตัวอย่างการทดสอบที่ 2 เครื่องรับอยู่นิ่งกับที่ แต่ค่าส่วนเบี่ยงเบนมาตรฐานยังมีขนาดประมาณ 0.071 ถึง 0.128 เมตร และคงค่าการกระจายตัวของข้อมูลเมื่อการกระจายตัวอยู่ในช่วง 7 ถึง 13 เซนติเมตร แม้ในขณะที่เครื่องรับอยู่นิ่งกับที่ ซึ่งจากประสบการณ์ในการทำงานรังวัดด้วยดาวเทียมสั่นฐานว่าความคลาดเคลื่อนนี้น่าจะเกิดจากเรื่องของสัญญาณดาวเทียมที่เดินทางผ่านเรือนยอดไม่ที่ปักลุ่มอยู่บริเวณรอบสนามฟุตบอลซึ่งเป็นสาเหตุที่ทำให้เกิดคลื่นหุ้น (Cycle slip) ได้



รูปที่ 4.24 ตึกสำนักงานอธิการบดี และตึก 36 อาคารเรียนปริญญาตรี ซึ่งเป็นอาคารที่มีความสูง 3 ชั้น และ 6 ชั้น ตามลำดับอาจทำให้เกิดการบังสัญญาณวิทยุจากสถานีฐานที่จะส่งตรงมายังสถานีจร BMSV_03 ทำให้ การส่งข้อมูลเกิดการล่าช้าส่ง ผลต่อการคำนวณตำแหน่งที่จุดสถานีจร

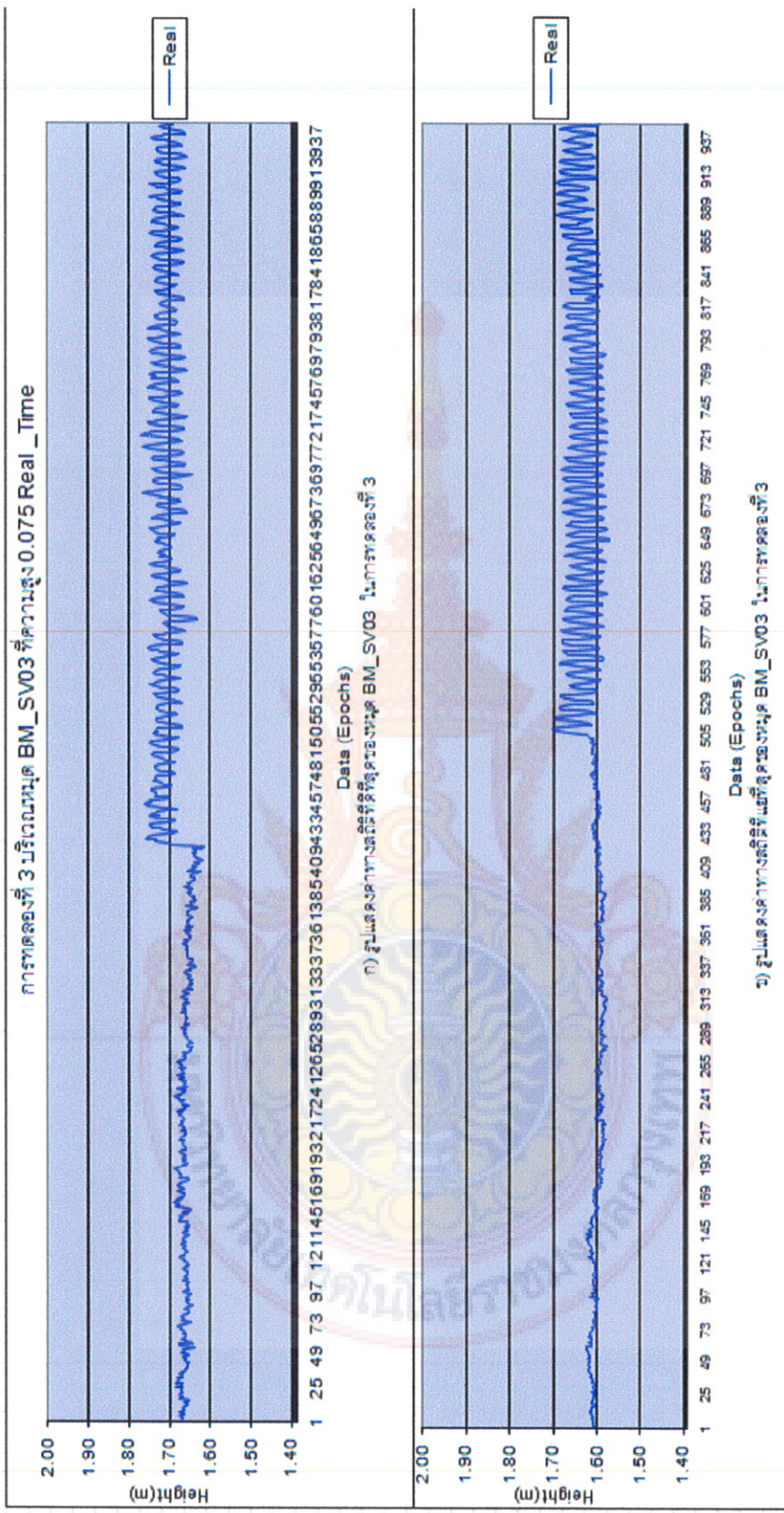
ดังนั้นในการทดลองนี้ ผู้วิจัยจึงแบ่ง การทดลองออกเป็น 2 ช่วงการทดสอบด้วยวิธี RTK โดยช่วงแรกได้ทำการทดสอบในวันที่ 6, 7 และ 14 สิงหาคม 2553 จะใช้หมุด BLD 14/1 เป็นจุดสถานีฐานและใช้หมุด BMSV_03 เป็นจุดสถานีจร จากนั้นทำการทดลองเหมือนกับการทดลองที่ 2 เนื่องจากผู้วิจัยต้องการที่จะเปรียบเทียบค่าเคลื่อนตัวทางด้านที่วิธี RTK สามารถตรวจจับได้จากจุดสถานีจร BMSV_03 นั้นว่าหากตกลอยู่ภายในไม่มีอิทธิพลการปักคุณเรื่องยอดเห็นหัวหมุดดังรูปที่ 4.24 แต่มีการบังสัญญาณวิทยุจากสถานีฐานที่จะส่งมายังสถานีจร BMSV 03 ก็คือ ตึกสำนักงานอธิการบดี และตึกอาคารเรียนปริญญาตรี ตึก 36 ซึ่งเป็นอาคารที่มีความสูง 3 ชั้น และ 6 ชั้น ตามลำดับ

และเพื่อเป็นการตอบข้อสงสัยในเรื่องของการบังสัญญาณเนื่องจากอาคารขนาดใหญ่ 妨礙 ทั่วอยู่ในภูมิประเทศว่าจะส่งผลต่อการทำงานค้างวิช RTK หรือไม่อย่างไร จึงได้ทำการทดสอบเพิ่มเติม ดังรูปที่ 4.25 คือ ตำแหน่งสถานีจริงเป็น BMSV 03 เมื่อนเดิน แต่จุดสถานีฐาน ผู้วิจัยใช้หมุด BLD 35 เนื่องจากมีความเหมาะสมในเรื่องของการมองเห็นกันโดยไม่มีอาคารขนาดใหญ่มาบังบัญญาณวิทยุที่เครื่องรับที่สถานีฐานจะจัดส่งข้อมูลรังวัดดาวเทียม จีพีเอส ที่จำเป็นต่อ การประมวลผลแบบสัมพัทธ์ ในทันทีทันใดจากในสถานีจริง

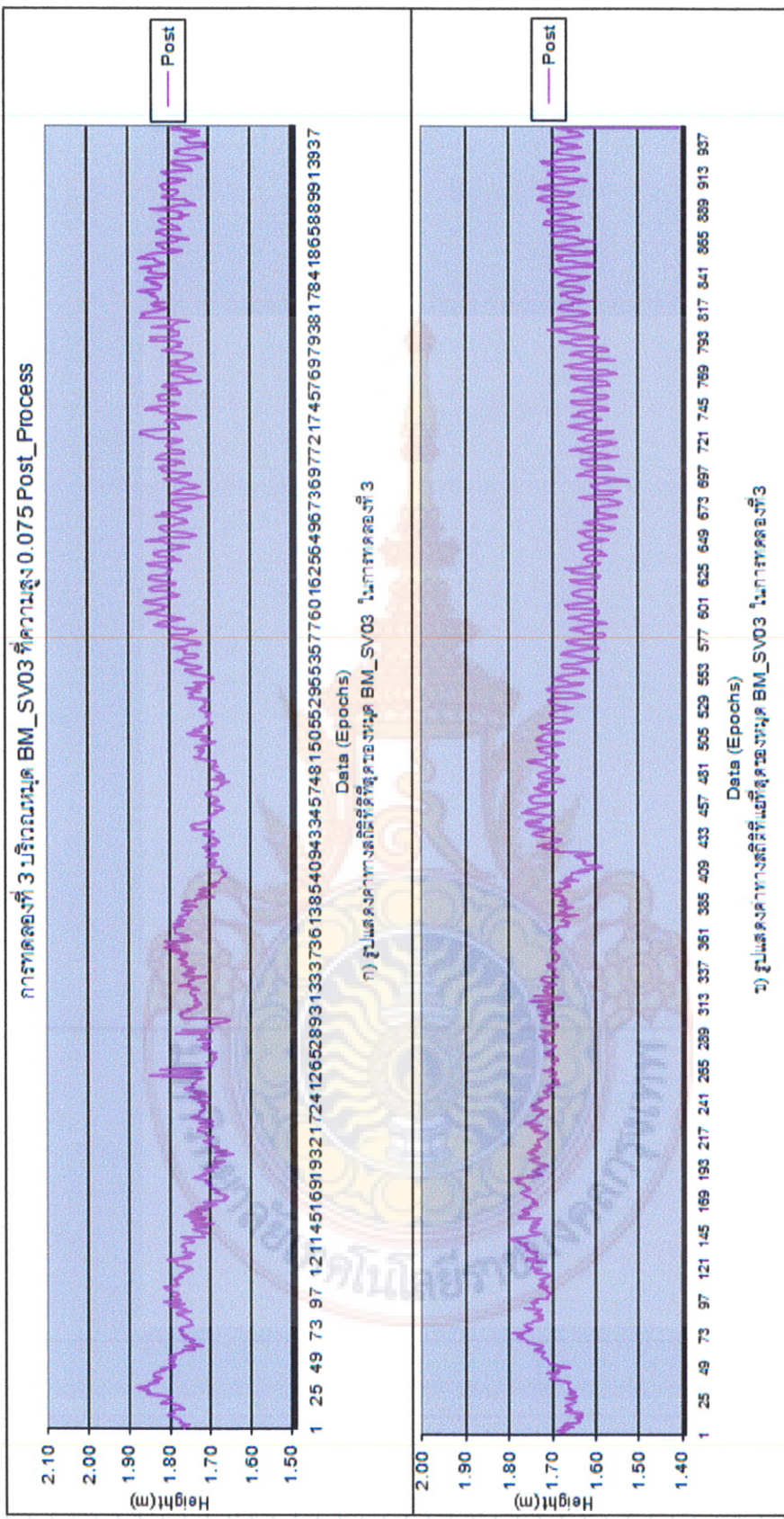


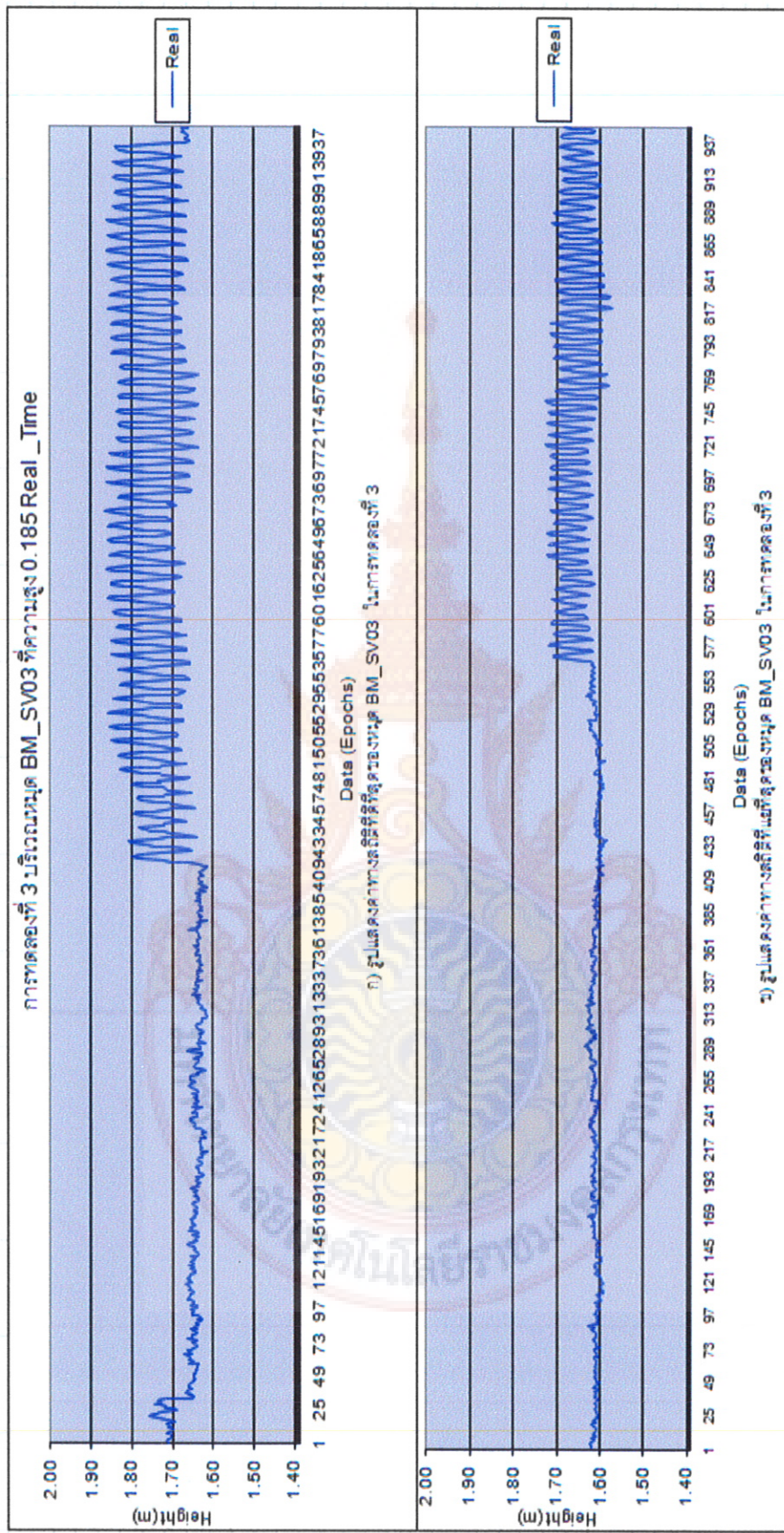
รูปที่ 4.25 การทดลองที่ 2 ในกรณี ตำแหน่งหมุดที่สถานีจริง BMSV 03 ไม่มีอิทธิพลการปักคลุมเรื่องยอดรูปค้างข่าย ก) เมื่อสถานีฐานคือ BLD14/1 และ ข) เมื่อสถานีฐานคือ หมุด BLD 35

ตารางที่ 4.3 ค่าทางสถิติของกราฟทดสอบที่ 3 ในกรณีที่ 1 บุตร สถาณีชร BMSV 03 อยู่ในตำแหน่งที่หนึ่งบนรากฐานของการรับสัญญาณ ดาวเทียม แต่ไม่สามารถนำไฟฟ้าไปแบ่งต่อสัญญาณจากสถาณีฐาน BLDI41 ไปยังสถาณีชร

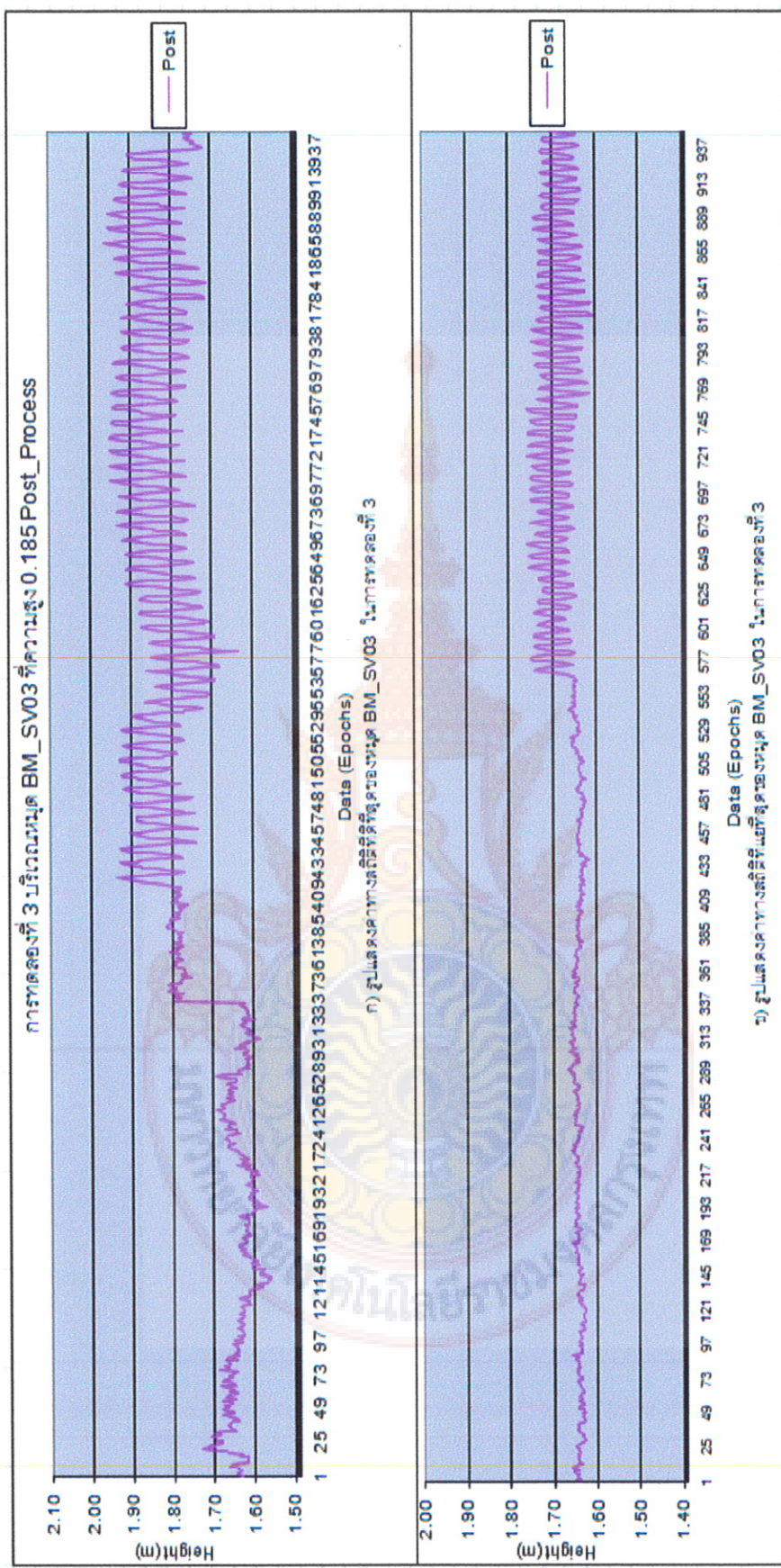


รูปที่ 4.26 กราฟแสดงความสูงที่ตรวจสอบได้ จาก RTK ที่รับค่าทางส่งผิดหลักที่สุด (ก) และแบบที่สุด (ข) ใน 3 วันของการทดสอบที่ 3 ของชุด BM_SV 03 ที่ความสูง 0.075 เมตร ซึ่งมีต้นแบบ Real – Time เมื่อต่อไปนี้ฐานคือหุบ BLD 14/1





รูปที่ 4.28 กราฟแสดงความผุ่งตัวรวมกับ RTK ที่มีค่าทางสถิติร์ส์ที่ดุด (ก) และเบี้ยตุด (ห) ใน 3 วันของภาระทดลองที่ 3 ของหมุด BMSV 03 ที่ความถี่ 0.185 เมตร ซึ่งบันทึกแบบ Real – Time เมื่อสถาบันศึกษาภูมิศาสตร์และภูมิเมือง BM_SV03 นำเข้าทดสอบที่ 3



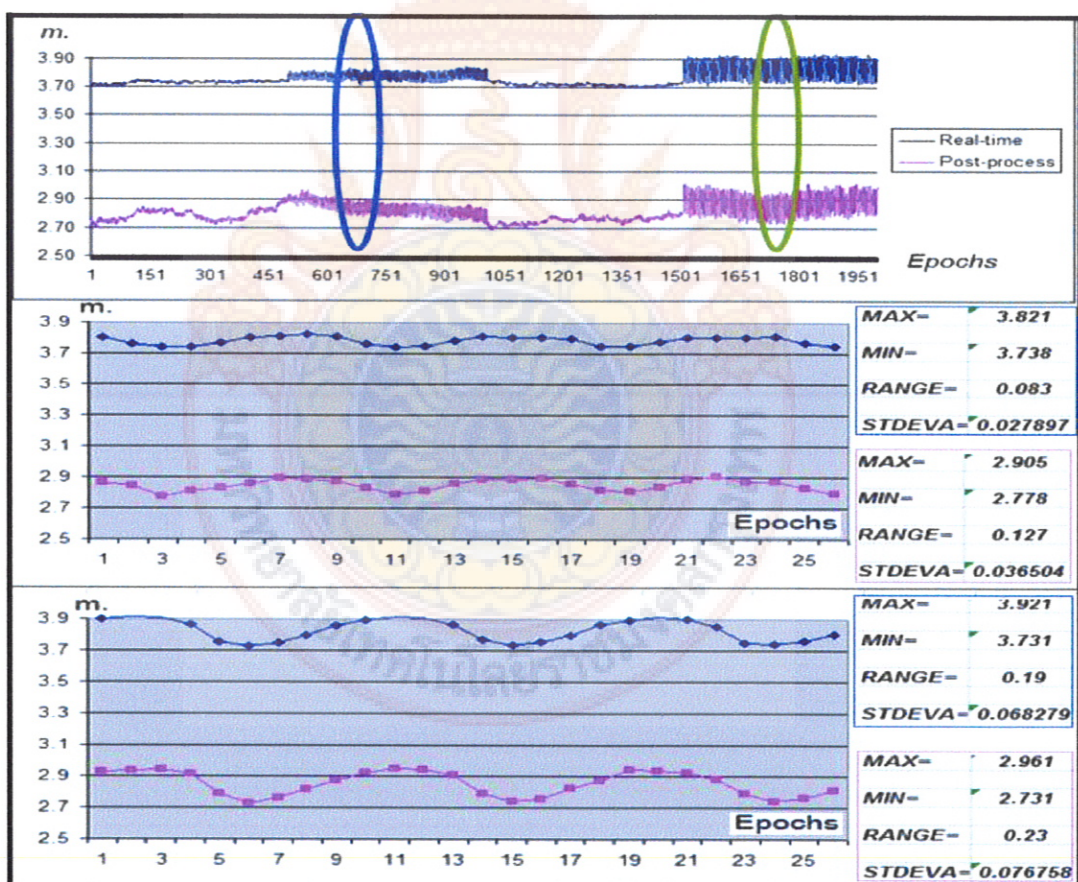
รูปที่ 4.29 กราฟแสดงความสูงที่ตรวจสอบได้ จาก RTK ที่มีค่าทางตั้งติดพื้นที่ (ก) และเบย์ลูด (บ) ใน 3 วันของการทดสอบที่ 3 ของหุ่น BMSV 03 ที่ความสูง 0.185 เมตร ซึ่งแบบ post processing เมื่อต่อเนื่องกับ BM_SV03 โครงการทดสอบที่ 3

จากรูปที่ 4.26 ถึง รูปที่ 4.29 แสดงค่าทางสถิติของตัวที่มีค่าสถิติที่ดีที่สุด (g) และ แย่ที่สุด (h) ของหมุด BMSV_03 ในการทดสอบที่ 3 เมื่อพิจารณาค่าทางสถิติ ค่าตารางที่ 4.3 ในขณะที่แบบจำลองที่สถานีจริง BMSV_03 มีการเคลื่อนตัวทางดึงของแบบจำลอง ขึ้น-ลง สูง 0.075 และ 0.185 เมตร เมื่อนำข้อมูลแลด Real-time ของหมุด BMSV_03 ทั้ง 3 วัน มาพิจารณาค่าพิสัยถึง 4.29 แสดงให้เห็นว่า ผลลัพธ์ การทำงานแบบจำลองด้วย จีพีเอส ด้วยวิธี RTK นั้นจะมีค่าคลาดเคลื่อนอยู่ ว่ามีระบบแฟรงอยู่ แม่นว่า ตำแหน่งหมุดสถานีจริง ที่ทำการรับสัญญาณนั้นจะอยู่ในบริเวณที่โล่ง หมายความว่า การรับสัญญาณ จีพีเอสก็ตาม

ตารางที่ 4.4 แสดงค่าทางสถิติของการทดสอบที่ 3 ในกรณี BMSV 03 เป็นหมุดสถานีจริงอยู่ในบริเวณท้องฟ้าเปิด เหนาะแก่การรับสัญญาณ และ ไม่มีการบดบังสัญญาณวิทยุที่ส่งข้อมูล รังวัดจากสถานีฐานหมุด BLD 35 ให้สถานีจริง

วิธีการ	ข้อมูล	เมื่อแบบจำลอง	ค่าทางสถิติ (เมตร)			
			ค่าสูงสุด	ค่าต่ำสุด	พิสัย	ส่วนเบี่ยงเบนมาตรฐาน
RTK 1st (Real-Time Kinematic)	Real-Time	อยู่นิ่ง ครั้งที่ 1	3.752	3.699	0.053	0.167
		เคลื่อนที่ 0.075	3.849	3.718	0.131	0.028
		อยู่นิ่ง ครั้งที่ 2	3.763	3.697	0.066	0.011
		เคลื่อนที่ 0.185	3.934	3.718	0.216	0.067
	Post-Processing	อยู่นิ่ง ครั้งที่ 1	2.941	2.701	0.240	0.130
		เคลื่อนที่ 0.075	2.971	2.733	0.238	0.047
		อยู่นิ่ง ครั้งที่ 2	2.826	2.687	0.139	0.026
		เคลื่อนที่ 0.185	3.020	2.731	0.289	0.077
RTK 2nd (Real-Time Kinematic)	Real-Time	อยู่นิ่ง ครั้งที่ 1	1.087	1.038	0.049	0.049
		เคลื่อนที่ 0.075	1.160	1.038	0.122	0.031
		อยู่นิ่ง ครั้งที่ 2	1.089	1.030	0.059	0.007
		เคลื่อนที่ 0.185	1.270	1.047	0.223	0.069
	Post-Processing	อยู่นิ่ง ครั้งที่ 1	1.909	1.792	0.117	0.086
		เคลื่อนที่ 0.075	1.950	1.794	0.156	0.034
		อยู่นิ่ง ครั้งที่ 2	1.919	1.758	0.161	0.022
		เคลื่อนที่ 0.185	2.048	1.774	0.274	0.072

เป็นที่ทราบกันดีว่าวิธีการที่ดีที่สุดสำหรับการให้ได้มาซึ่งความถูกต้องของค่าพิกัดทางดึงในระดับเดซิเมตรหรือดีกว่านั้นในระดับ เทนติเมตร ด้วยข้อมูลรังวัดดาวเทียม จีพีเอส ด้วยวิธี RTK ผู้วิจัยฯ เป็นที่จะ ต้องใช้วิธีประมาณผลแบบสัมพัทธ์ในภายหลังเพื่อทำการคำนวณค่าพิกัดจากนั้นจึงทำการพิจารณาเบรี่ยนเทียบค่าความสูงต่างที่เปลี่ยนแปลงไปเรื่อยๆ ในขณะทำการรับสัญญาณ โดยในงานวิจัยนี้จะใช้แบบจำลอง ข้อมูลสภาพที่มีชื่อว่า EGM96 ใน การแปลงค่าความสูงเหนือระดับทรงรีร่วมกับโปรแกรม Topcon tool version 7.5 เพื่อทำให้เป็นความสูงที่ได้จากเครื่องรับเป็นความสูงเหนือเมฆ หรือความสูงเหนือระดับน้ำทะเลเป็นกลาง ซึ่งการนำ EGM 96 มาใช้ในการหาค่าความสูง ออร์โทเมต릭 หรือความสูงเหนือระดับน้ำทะเลเป็นกลาง นั้น และเฉลี่ยชนวน (2548) ได้แสดงให้เห็นจากการศึกษาพบว่า การทำการดึงด้วย จีพีเอส นั้น จะให้ค่าความถูกต้องของค่าความสูง ออร์โทเมต릭 ในระดับเดซิเมตรหากใช้วิธีรังวัดแบบสถิติในการทำงานสนานและประมาณผลเด่นชัดแบบสัมพัทธ์ที่ละเอียดในภายหลัง (Post processing)

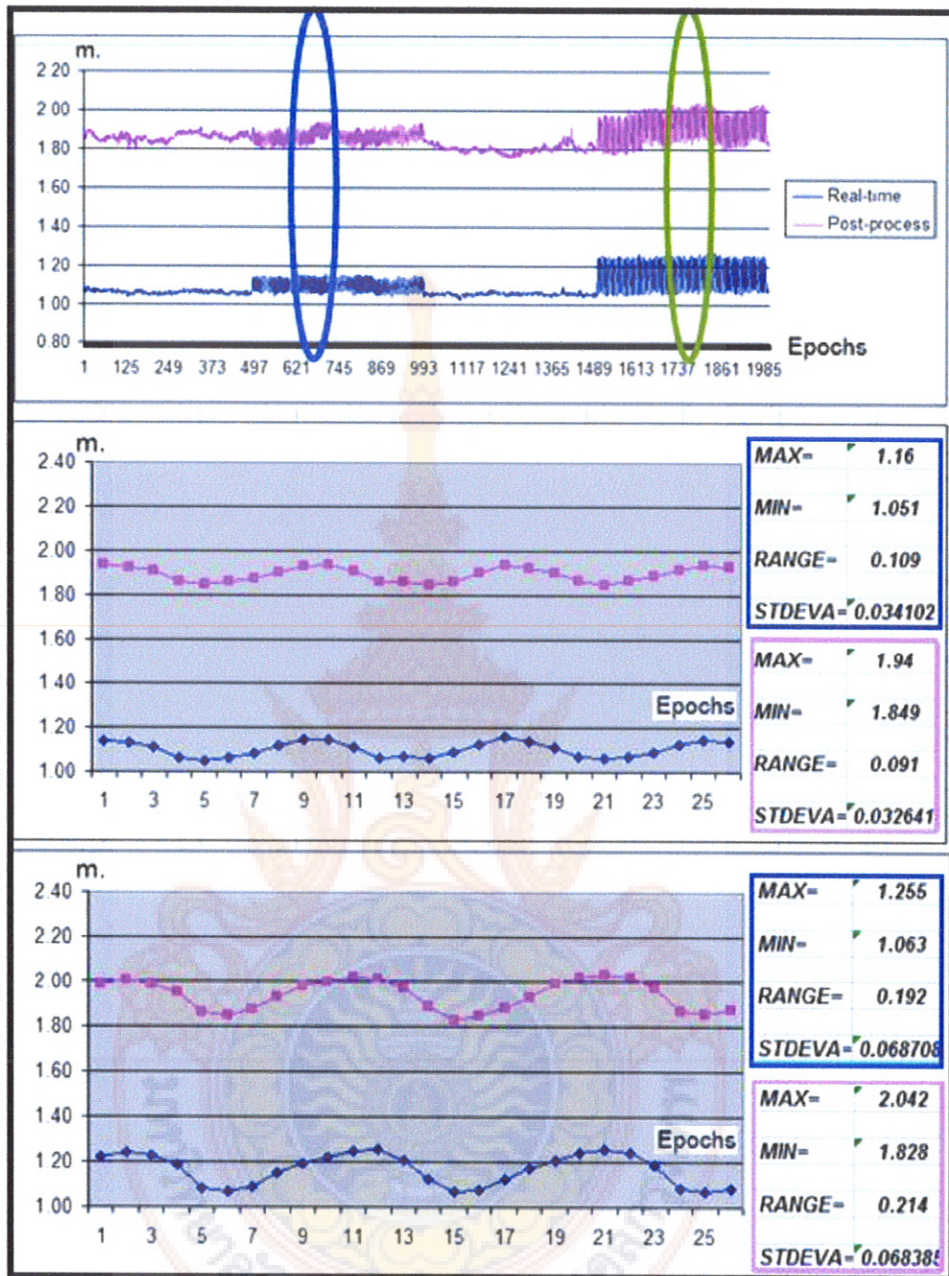


รูปที่ 4.30 แสดงค่าการเคลื่อนตัวทางดึงที่ตรวจขึ้นได้ด้วยวิธี RTK ในขณะที่แบบที่แบบจำลองอยู่นั่งกับที่และเคลื่อนที่ตัว ขึ้น-ลง ทางดึงสูง 0.075 เมตรและ 0.185 ข้อมูลแบบ Real-time (เส้นสีน้ำเงิน) และข้อมูลแบบ post-processing ในการทดลองที่ 3 กรณีที่ 2 ชุดข้อมูลที่ 1

จากรูปที่ 4.30 เมื่อพิจารณาค่าทางสถิติคงต่างที่ 4.4 ประกอบ พบว่า ในขณะที่แบบจำลองเคลื่อนตัวทางดิ่ง 0.075 เมตร และ 0.185 สำหรับค่าการเคลื่อนตัวทางดิ่งที่ตรวจจับได้ของวิชี RTK เมื่อนำข้อมูลคิบมาประมวลแบบสัมพัทธ์ในภายหลัง Post processing ค่าพิสัยมีขนาด 0.238 เมตร และ 0.289 เมตร มีส่วนเบี่ยงเบนมาตรฐานเท่ากับ 0.047 เมตร และ 0.077 เมตร ตามลำดับ ซึ่งแสดงให้เห็นในการรับสัญญาณด้วยวิชี RTK นั้นจะมีค่าคลาดเคลื่อนที่มีพิสัยขนาด 0.053 ถึง 0.066 เมตร แฟงตัวอยู่ด้วยใจน眷ลักษณะเหมือนเป็นค่าคงที่คลาดเคลื่อน แต่ด้วยการประมวลผลแบบสัมพัทธ์ ในภายหลัง Post processing ค่าพิสัยดังกล่าวมีขนาดลดลงเหลือน้อยกว่า มีพิสัยขนาด 0.240 ถึง 0.139 เมื่อพิจารณาในขณะแบบจำลองอยู่นั่งกับที่

พร้อมกันนี้ผู้วิจัยได้ทำการสุ่มเลือกข้อมูลความสูงที่ตรวจจับได้จากเครื่องรับทั้งแบบ Real-time และแบบ Post processing นา 2 ช่วง โดยจากรูปที่ 4.30 แสดงค่าความสูงที่ตรวจจับได้ในขณะที่แบบจำลองเคลื่อนตัวทางดิ่งจริง 0.075 เมตร และ 0.185 เมตร สำหรับค่าพิสัยในช่วงขณะเคลื่อนที่สำหรับข้อมูลแบบ Real-time มีขนาดเท่ากับ 0.083 เมตร และ 0.190 เมตร ตามลำดับ สำหรับค่าพิสัยในช่วงสำหรับข้อมูลแบบ Post processing ขณะเคลื่อนตัวทางดิ่งจริง 0.075 และ 0.185 เมตร มีขนาดเท่ากับ 0.127 เมตร และ 0.230 เมตร ตามลำดับ





รูปที่ 4.31 แสดงค่าการเคลื่อนตัวทางดิ่งที่ตรวจจับได้ด้วยวิธี RTK ในขณะที่แบบจำลองอยู่ในกับที่และเคลื่อนที่ตัว ขึ้น-ลง ทางดิ่งสูง 0.075 เมตรและ 0.185 เมตร ข้อมูลแบบ Real-time (เส้นสีน้ำเงิน) และข้อมูลแบบ post-processing ในการทดลองที่ 3 กรณีที่ 2 ชุดข้อมูลที่ 2

จากรูปที่ 4.31 เมื่อพิจารณาค่าทางสถิติดังตารางที่ 4.4 ประกอบพบว่า ในขณะที่แบบจำลองเคลื่อนตัวทางดิ่ง 0.075 เมตร และ 0.185 เมตร สำหรับค่าการเคลื่อนตัวทางดิ่งที่ตรวจจับ

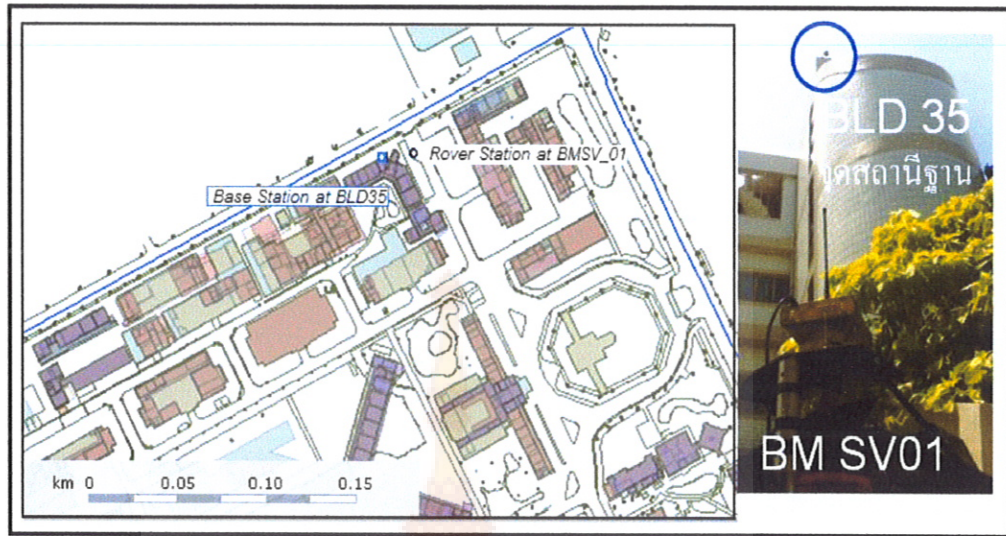
ได้ของวิธี RTK เมื่อนำข้อมูลดิบมาประมวลแบบสัมพัทธ์ในภายหลัง Post processing ค่าพิสัย มีขนาด 0.156 เมตร และ 0.274 เมตร มีส่วนเบี่ยงเบนมาตรฐานเท่ากับ 0.034 เมตร และ 0.072 เมตร

ซึ่งแสดงให้เห็นในการรับสัญญาณด้วยวิธี RTK นั้นจะมีค่าคลาดเคลื่อนที่มีพิสัย ขนาด 0.049 เมตร ถึง 0.059 เมตร แฟรงค์ตัวอยู่ด้วยจนคุ้ลักษณะเหมือนเป็นค่าคงที่คลาดเคลื่อน แต่ด้วยการ ประมวลผลแบบสัมพัทธ์ ในภายหลัง Post processing ค่าพิสัยดังกล่าวมีขนาดลดลงเหลือน้อยคือ มีพิสัยขนาด 0.117 ถึง 0.161 เมตร เมื่อพิจารณาในขณะแบบจำลองอยู่นี่กับที่

พร้อมกันนี้ผู้วิจัยได้ทำการสุ่มเลือกข้อมูลความสูงที่ตรวจจับได้จากเครื่องรับทั้งแบบ Real-time และแบบ Post processing มา 2 ช่วง โดยจากรูปที่ 4.31 แสดงค่าความสูงที่ตรวจจับได้ในขณะที่ แบบจำลองเคลื่อนตัวทางด้านซ้าย 0.075 และ 0.185 เมตร สำหรับค่าพิสัยในช่วงขณะเคลื่อนที่สำหรับ ข้อมูลแบบ Real-time มีขนาดเท่ากับ 0.109 เมตร และ 0.192 เมตร ตามลำดับ สำหรับค่าพิสัย ในช่วงสำหรับข้อมูลแบบ Post processing ขณะเคลื่อนตัวทางด้านซ้าย 0.075 เมตร และ 0.185 เมตร มีขนาดเท่ากับ 0.091 เมตร และ 0.214 เมตร ตามลำดับ

4.4 การทดสอบในกรณี ที่มีการบดบังสัญญาณดาวเทียมเนื่องจากสิ่งปัจุกสร้าง

การทดลองที่ 4 นี้ผู้วิจัยได้ทำการทดสอบที่ มหาวิทยาลัยเทคโนโลยีราชมงคลกรุงเทพ เมื่อ วันที่ 9 กันยายน 2552 และวันที่ 14 กันยายน 2552 บริเวณด้านหน้าอาคาร 35 ตึกสาขาวิศวกรรม สำรวจโดย ทำการตั้งเครื่องรับบนหนุด BLD 35 ที่อยู่บนยอดตึกชั้น 4 กำหนดให้เป็นจุดสถานีฐาน และกำหนดให้จุดสถานีจารคือหนุด BMSV01 ดังรูปที่ 4.32



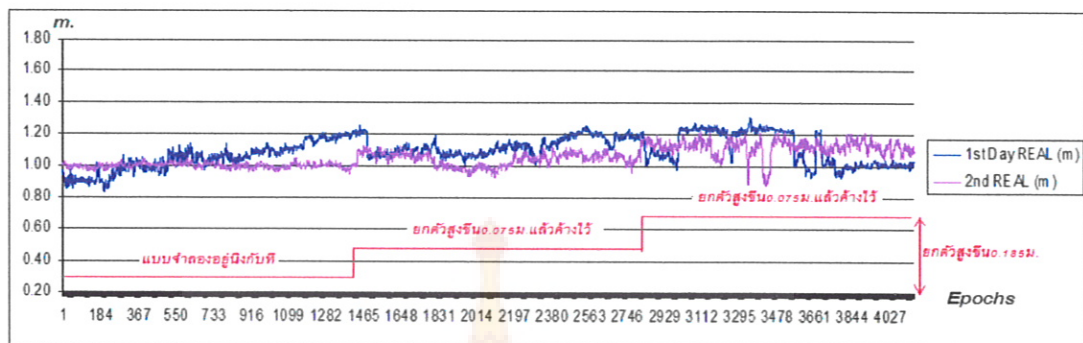
รูปที่ 4.32 การทดสอบในกรณีที่ มีการบดบังสัญญาณดาวเทียมเนื่องจากสิ่งปลูกสร้าง

โดยในการทดสอบผู้วิจัยได้แบ่ง การทดสอบในวันที่ 9 กันยายน 2552 และ 14 กันยายน 2552 ให้มีลักษณะการทดสอบคล้าย ๆ กัน โดย การทดสอบในวันที่ 9 กันยายน 2552 ผู้วิจัยได้ทำการแบ่งการทดสอบออกเป็น 3 ช่วง โดยแบ่งออกเป็น แบบจำลองอยู่นึงกับที่ที่ความสูงของแบบจำลอง 0.185 เมตร และทำการรับสัญญาณไป จากนั้น กดปุ่มควบคุมให้แบบจำลองลดค่าความสูงลง แบบลับพลัน 0.110 เมตร และอยู่นึงกับที่ พร้อมกับทำการรับสัญญาณดาวเทียมไปเรื่อย ๆ และวิ่งกดปุ่มควบคุม ให้แบบจำลอง ลดค่าความสูงลงอีก 0.075 เมตร (รวมแล้วความสูงที่เปลี่ยนไปจากตอนเริ่มต้น คือ 0.185 เมตร โดยมีจำนวนข้อมูลรังวัด กว่า 4,000 ค่ารังวัด (Epochs) พร้อมกันนี้ผู้วิจัยได้นำข้อมูลของสถานีฐานและสถานีจริงมาทำการประมวลผล แบบสัมพัทธ์ในภายหลังด้วยซอฟแวร์ Topcon Tool + USB โดยได้แสดงค่าทางสถิติไว้ในตารางที่ 4.5

สำหรับการทดสอบครั้งที่สอง ในวันที่ 14 กันยายน 2552 ใน การทดสอบได้แบ่งการทดสอบออกเป็น 3 ช่วง โดยแบ่งออกเป็น 14 กันยายน 2552 เมื่อแบบจำลองอยู่นึงกับที่แล้วก็ทำการรับสัญญาณไปจากนั้นกดปุ่มควบคุมให้แบบจำลองยกตัวขึ้นสูงลับพลัน 0.075 เมตร และค้างไว้ พร้อมกับทำการรับสัญญาณดาวเทียม จีพีเอสไปเรื่อย ๆ และวิ่งกดปุ่มควบคุมให้แบบจำลองยกตัวสูงขึ้นลับพลันอีก 0.110 เมตร (รวมแล้วความสูงที่เปลี่ยนไปจากตอนเริ่มต้นคือ 0.185 เมตร) โดยมีจำนวนข้อมูลรังวัดกว่า 4,000 ค่ารังวัด (Epochs) พร้อมกันนี้ผู้วิจัยได้นำข้อมูลของสถานีฐานและสถานีจริงมาประมวลผลแบบสัมพัทธ์ในภายหลังด้วยซอฟแวร์ Topcon Tool + USB โดยได้แสดงค่าทางสถิติ ไว้ในตารางที่ 4.5 และรูปภาพแสดงค่าต่างทางดึงที่ตรวจสอบได้จากข้อมูลแบบ Real-time ในรูปที่ 4.33

ตารางที่ 4.5 แสดงค่าทาง สติติ ของการทดลองที่ 4 ในกรณี มี Obstruction บริเวณตำแหน่ง
หมุดที่รับสัญญาณด้วยวิธี RTK

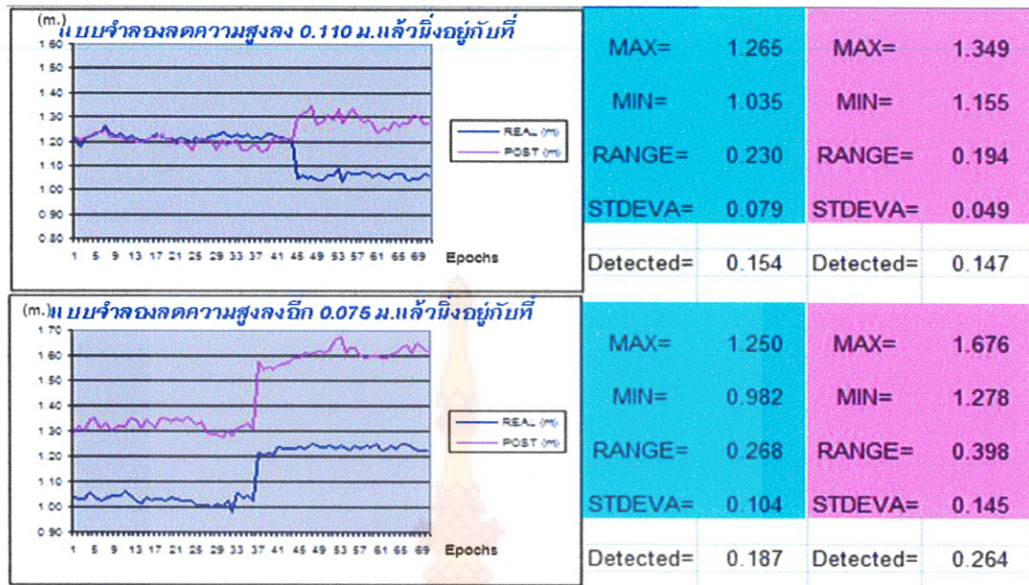
วิธีการ RTK	ข้อมูล	เมื่อแบบจำลอง (เมตร)	ค่าทางสติติ (เมตร)				
			ค่าสูงสุด	ค่าต่ำสุด	พิสัย	ค่าส่วน เบี่ยงเบน มาตรฐาน	ค่าความสูง เฉลี่ย
ทดสอบ วันแรก	Real-time	อยู่นิ่งที่จุดความสูง 0.185	1.224	0.835	0.389	0.096	1.045
		อยู่นิ่งที่จุดความสูง 0.075	1.265	1.003	0.262	0.056	1.127
		อยู่นิ่งที่จุดความสูง 0	1.310	0.923	0.387	0.109	1.116
	post - processing	อยู่นิ่งที่จุดความสูง 0.185	1.603	0.198	1.405	0.333	0.845
		อยู่นิ่งที่จุดความสูง 0.075	1.616	1.015	0.601	0.119	1.302
		อยู่นิ่งที่จุดความสูง 0	1.751	0.831	0.920	0.185	1.480
ทดสอบ วันที่สอง	Real-time	อยู่นิ่งที่จุดความสูง 0	1.054	0.943	0.111	0.031	0.998
		อยู่นิ่งที่จุดความสูง 0.075	1.135	0.931	0.204	0.042	1.042
		อยู่นิ่งที่จุดความสูง 0.185	1.232	0.877	0.355	0.054	1.123
	post - processing	อยู่นิ่งที่จุดความสูง 0	0.796	0.273	0.523	0.060	0.408
		อยู่นิ่งที่จุดความสูง 0.075	0.863	0.365	0.498	0.113	0.624
		อยู่นิ่งที่จุดความสูง 0.185	0.955	0.422	0.533	0.093	0.735



รูปที่ 4.33 แสดงค่าการเคลื่อนตัวทางดิ่งที่ตรวจจับได้ด้วยวิธี RTK แสดงค่าทาง สถิติของการทดลองที่ 4 ในกรณี มี Obstruction บริเวณตำแหน่งหมุดที่รับสัญญาณ ข้อมูลแบบ Real-time ในการทดลองวันแรก และวันที่สอง

จากรูปที่ 4.33 เมื่อพิจารณาค่าทางสถิติดังตารางที่ 4.5 ประกอบ พ布ว่า ในขณะที่แบบจำลองเคลื่อนตัวทางดิ่งอยู่นี่ 0.185, 0.075 และ 0 เมตร สำหรับค่าการเคลื่อนตัวทางดิ่งที่ตรวจจับได้ของวิธี RTK เมื่อนำข้อมูลดิบมาประมวลผลแบบสัมพัทธ์ในภายหลัง Post processing ค่าพิสัยมีขนาด 1.405, 0.601 และ 0.920 เมตร มีส่วนเบี่ยงเบนมาตรฐานเท่ากับ 0.333, 0.119 และ 0.185 เมตร ตามลำดับ

ซึ่งแสดงให้เห็นว่าในการรับสัญญาณด้วยวิธี RTK นั้นจะมีค่าคลาดเคลื่อนที่มีพิสัยขนาด 0.389, 0.262 และ 0.387 เมตร ตามลำดับ แฟงตัวอยู่ด้วยจนคุ้ลักษณะเหมือนเป็นค่าคงที่คลาดเคลื่อนแต่ด้วยการประมวลผลแบบสัมพัทธ์ ในภายหลัง Post processing ค่าพิสัยดังกล่าวมีขนาดลดลงเล็กน้อย



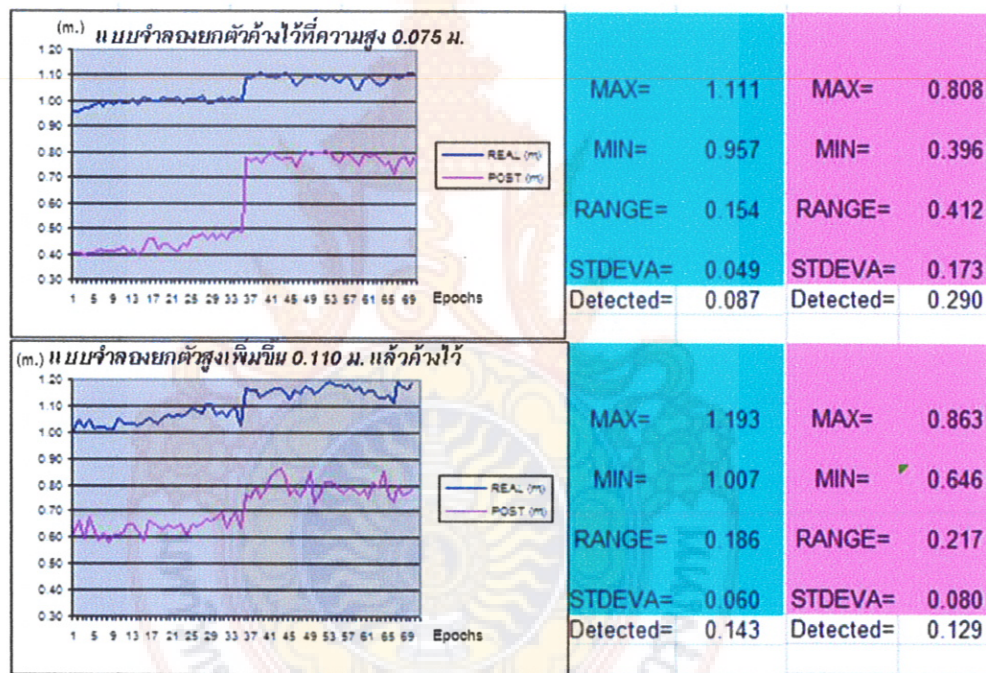
รูปที่ 4.34 แสดงค่าการเคลื่อนตัวทางดิ่งที่ตรวจจับได้ด้วยวิธี RTK ของการทดลองที่ 4 ในกรณี มี Obstruction บริเวณตำแหน่งหนุ่มที่รับสัญญาณ ข้อมูลแบบ Real-time ในการทดลองวันแรก

พร้อมกันนี้ผู้วิจัยได้ทำการสุ่มเลือกข้อมูลความสูงที่ตรวจจับได้จากเครื่องรับทั้งแบบ Real-time และแบบ Post processing มา 2 ช่วง โดยจากรูปที่ 4.34 แสดงค่าความสูงที่ตรวจจับได้ในขณะที่แบบจำลอง ผู้วิจัยได้ทำการแบ่งการทดสอบออกเป็น 3 ช่วง โดยแบ่งออกเป็น แบบจำลองอยู่นึงกับที่ที่ความสูงของแบบจำลอง 0.185 เมตร และทำการรับสัญญาณไป จากนั้น กดปุ่มควบคุมให้แบบจำลองลดค่าความสูงลง แบบฉบับพื้น 0.110 เมตร และอยู่นึงกับที่ พร้อมกับทำการรับสัญญาณดาวเทียมไปเรื่อยๆ และจึงกดปุ่มควบคุม ให้แบบจำลอง ลดค่าความสูงลงอีก 0.075 เมตร

สำหรับค่าพิสัยในช่วงขณะเคลื่อนที่ฉบับพื้น 0.110 เมตร สำหรับข้อมูลแบบ Real-time มีขนาดเท่ากับ 0.154 เมตร และ 0.147 เมตร สำหรับค่าพิสัยในช่วงสำหรับข้อมูลแบบ Post processing และค่าพิสัยในช่วงขณะเคลื่อนที่ลดลงฉบับพื้น 0.075 เมตร สำหรับข้อมูลแบบ Real-time มีขนาดเท่ากับ 0.187 เมตร และ 0.264 เมตร สำหรับค่าพิสัยในช่วงสำหรับข้อมูลแบบ Post processing

จากรูปที่ 4.33 เมื่อพิจารณาค่าทางสถิติดังตารางที่ 4.5 ประกอบ พบว่า ในขณะที่แบบจำลองเคลื่อนตัวทางดึงอยู่นี่ 0 , 0.075 และ 0.185 เมตร สำหรับค่าการเคลื่อนตัวทางดึงที่ตรวจจับได้ของวิธี RTK เมื่อนำข้อมูลคืนมาประมวลแบบสัมพัทธ์ในภายหลัง Post processing ค่าพิสัยมีขนาด 0.523 , 0.498 และ 0.533 เมตร มีส่วนเบี่ยงเบนมาตรฐานเท่ากับ 0.060, 0.113 และ 0.093 เมตร ตามลำดับ

ซึ่งแสดงให้เห็นในการรับสัญญาณด้วยวิธี RTK นั้นจะมีค่าคลาดเคลื่อนที่มีพิสัยขนาด 0.111, 0.204 และ 0.355 เมตร ตามลำดับ แห่งตัวอย่างด้วยจนคุณลักษณะเหมือนเป็นค่าคงที่คลาดเคลื่อน แต่ด้วยการประมวลผลแบบสัมพัทธ์ ในภายหลัง Post processing ค่าพิสัยดังกล่าวมีขนาดลดลงเหลือน้อย



รูปที่ 4.35 แสดงค่าการเคลื่อนตัวทางดึงที่ตรวจจับได้ด้วยวิธี RTK ของการทดลองที่ 4 ในกรณีมี Obstruction บริเวณตำแหน่งหมุดที่รับสัญญาณ ข้อมูลแบบ Real-time ในการทดลองวันที่ 2

พร้อมกันนี้ผู้วิจัยได้ทำการสุ่มเลือกข้อมูลความสูงที่ตรวจจับได้จากเครื่องรับทั้งแบบ Real-time และแบบ Post processing มา 2 ช่วง โดยจากรูปที่ 4.34 แสดงค่าความสูงที่ตรวจจับได้ในขณะที่แบบจำลอง ผู้วิจัยได้ทำการแบ่งการทดสอบออกเป็น 3 ช่วง โดยแบ่งออกเป็น แบบจำลองอยู่นึงกับที่ที่ความสูงของแบบจำลอง 0 เมตร และทำการรับสัญญาณไป จากนั้น กดปุ่มควบคุมให้แบบจำลองยกตัวความสูงขึ้น แบบขั้บพลัน 0.075 เมตร และอยู่นึงกับที่ พร้อมกับทำการรับสัญญาณดาวเทียมไปเรื่อยๆ และจังกดปุ่มควบคุม ให้แบบจำลอง ยกตัวสูงขึ้นอีก 0.110 เมตร และค้างไว้

สำหรับค่าพิสัยในช่วงขณะเคลื่อนที่เพิ่มขึ้นขั้บพลัน 0.075 เมตร สำหรับข้อมูลแบบ Real-time มีขนาดเท่ากับ 0.087 เมตร และ 0.290 เมตร สำหรับค่าพิสัยในช่วงสำหรับข้อมูลแบบ Post processing และค่าพิสัยในช่วงขณะเคลื่อนที่เพิ่มขึ้นขั้บพลัน 0.110 เมตร สำหรับข้อมูลแบบ Real-time มีขนาดเท่ากับ 0.143 เมตร และ 0.129 เมตร สำหรับค่าพิสัยในช่วงสำหรับข้อมูลแบบ Post processing

บทที่ 5

สรุปผล การวิจัย และข้อเสนอแนะ

ในการพิจารณาเกี่ยวกับค่าการเคลื่อนตัวทางดึงของแบบจำลองถือเป็นกุญแจในการได้ถึงความสามารถของวิธีการ ตลอดข้อจำกัดที่จำเป็นต้องทราบเกี่ยวกับการใช้งาน รังวัสด้วยดาวเทียม จีพีเอส ด้วยวิธีรังวัสดแบบจนน์ ในทันที (Real-time Kinematic) เพราะหลักการทำงานพื้นฐานของ การได้มามาชีงค่าพิกัดที่จุดสถานีจร นั้นใช้หลักการประมวลผลแบบสัมพัทธ์ ซึ่งสามารถทำให้ความ ถูกต้องทางพิกัดทางราบอยู่ในระดับเซนติเมตร ถึง เดซิเมตร เมื่อใช้เครื่องรับสัญญาณ จีพีเอส แบบ รังวัด (Geodetic Receiver) ชนิดแบบ 2 ความถี่ (Dual Frequency) และจากหลักการประมวลผลแบบ สัมพัทธ์ในภายหลัง โดยใช้ข้อมูลรังวัดดาวเทียม กลุ่มเดียวกัน ที่เครื่องรับที่จุดสถานีฐานและจุด สถานีจรบันทึกค่าไว้ได้ นำมาประมวลผลโดยใช้ซอฟแวร์ ประมวลผลเส้นฐาน โดยเฉพาะตลอดจน ความจ่ายของวิธีการรังวัดดาวเทียม จีพีเอส แบบจนน์ในทันที (RTK) ทั้งในเรื่องความสามารถของ ตัวเครื่องรับเอง จำนวนความถี่ในการบันทึก และจำนวนตำแหน่ง วิธีแสดงผลแบบทันทีทันใดใน สนามด้านนี้ แนวคิดพื้นฐานในการที่ผู้วิจัยต้องการที่จะนำวิธี RTK นี้มาใช้ให้เกิดประโยชน์สูงสุด ในการใช้แนวทางด้านวิศวกรรมสำรวจโดยที่ผ่านมา กองโภ (2549) ได้ทำการทดสอบ ความสามารถของวิธี RTK โดยประยุกต์ใช้ในเรื่องของลักษณะย้อนกลับของวิธีรังวัสดแบบจนน์ ในทันที เรียกว่า “วิธีรังวัดด้วยดาวเทียม จีพีเอส ในลักษณะย้อนกลับ แบบจนน์ในทันที” (Inversed RTK) โดยพยายามหาข้อดีในการตรวจจับค่าการเคลื่อนตัวทางดึงของสะพานพระราม 8 โดยในการ วิจัยครั้งนี้ได้ใช้เครื่องรับสัญญาณ จีพีเอส แบบรังวัดยี่ห้อ Leica รุ่น System 500 และใช้อัตรา ความถี่ในการบันทึกข้อมูล รังวัดถึง 10 Hz ซึ่งจากการศึกษาพบว่าค่าคาดเคลื่อนอย่างมีระบบที่ แฟงอยู่ในผลลัพธ์ที่คำนวณได้มีค่าที่สูงกว่าการ เคลื่อนตัวจริง ในทางดึงของสะพานพระราม 8 ดังนั้น แนวความคิดที่จะประยุกต์ใช้ RTK สำหรับงานระดับ (Leveling) นั้นก็คือเรื่องของการหาค่า ต่างของหมุดระดับตัวหนึ่งเทียบกับตัวหนึ่ง หรือจากตัวที่ทราบค่าพิกัดอยู่แล้วเทียบกับจุดที่เรา ต้องการรู้ค่าต่างทางตำแหน่งในภูมิประเทศ ซึ่งหลักการได้มามาชีงค่าพิกัดด้วยวิธีแบบสัมพัทธ์ก็คือ การพยากรณ์หาค่าต่างของหมุดที่รู้ค่าเทียบกับจุดที่ไม่รู้ค่าโดยสามารถพิจารณาในรูปของค่าต่าง ๆ ตามแนวแกนราบและแกนดึง นั้นก็คือ ใช้หลักการของงานให้ได้มามาชีงค่าต่างของจุด 2 จุด เทียบกัน นั้นเอง

ดังนั้นจากการทดลองที่ออกแบบมาเพื่อทดสอบความสามารถของวิธี RTK ในการระดับโดยประยุกต์ใช้ข้อมูลดินที่ได้จากการรังวัดงานสำรวจตามการทดสอบที่ได้ออกแบบไว้มาทำการสรุปเกี่ยวกับเรื่องราวที่ได้จากการทำงานทดลองจริงในสนาม แล้วนำผลลัพธ์ที่ได้มาพิจารณาร่วมกับข้อเสนอแนะต่อไป

5.1 สรุปการทดลองในงานวิจัย

5.1.1 การทดสอบเบื้องต้น

การทดลองที่ 1 เป็นการทดสอบความสามารถของวิธีการ RTK ในการตรวจจับการเคลื่อนตัวทางดึงของแบบจำลองที่ได้ออกแบบ ความสูง ความถี่ในการยกตัวที่เหมาะสม ไว้เบื้องต้นจากการพิจารณาค่าผลลัพธ์ทางตำแหน่งทางดึงของสถานีจรที่ใช้คือ BMSV_03 ซึ่งเป็นหมุดที่เหมาะสมในการรับสัญญาณโดยมีค่าทางสถิติ และจากค่าส่วนเบี่ยงเบนมาตรฐานที่พบว่า วิธีการ RTK สามารถตรวจจับการเคลื่อนตัวทางดึงของแบบจำลองได้แต่ค่าคลาดเคลื่อนแฟง (noise) ของวิธีการ RTK ในขณะนี้ที่เครื่องรับอยู่นี่กับที่มี noise เกิดขึ้นได้ในระดับเซนติเมตร ถึง เดซิเมตร ซึ่งจากการ การสังเกต ค่าของกราฟความสูงที่วิธี RTK ตรวจจับได้ ในขณะที่แบบจำลองยกตัวขึ้นแบบทันทีทันใด ช่วงของความสูงที่เปลี่ยนไปนี้ ให้ค่าที่น่าสนใจไม่น้อย ในเรื่องของการตรวจจับ การเคลื่อนตัวทางดึงแบบทันทีทันใดในกรณีที่ความสูงอยู่ในช่วง (0.075 ถึง 0.185 เมตร)

5.1.2 การทดลองกรณีอิทธิพลปกคลุมเรือนยอด ของตำแหน่งที่ตั้งหมุดรับสัญญาณ

การทดลองที่ 2 เป็นการทดสอบความสามารถในการรังวัดด้วย RTK ในสนามจริง โดยจากการทดลองพบว่า ค่าพิกัดทางดึง ตลอดจนค่าคลาดเคลื่อนตัวที่เครื่องรับตรวจจับได้กับการเคลื่อนตัวจริงของแบบจำลองไม่สอดคล้องกันและค่าความสูงที่ตรวจจับได้นั้นก็มีค่า แกว่งที่มีขนาดของพิสัย ขนาดไม่เกินเซนติเมตรถึงระดับเดซิเมตร แต่ข้อสังเกตของการทดลองนี้ ก็คือ วิธีการทำงานของ RTK โดยเครื่องรับยี่ห้อ Topcon รุ่น Hyper Ga ผู้วิจัยได้ทำการกำหนดค่าพารามิเตอร์ ตามมาตรฐานของเครื่องมือรุ่นนี้ สามารถคำนวณตำแหน่งของจุดสถานีจรภายใต้เงื่อนไขอิทธิพลปกคลุมเรือนยอดได้ แต่สุดท้าย ผลลัพธ์ หรือค่าตำแหน่งทางดึงในขณะที่เครื่องรับอยู่นี่กับที่ก็ให้ค่าที่มีค่าคลาดเคลื่อนที่มีพิสัยขนาดใหญ่หลายเดซิเมตรแฟงอยู่และที่สำคัญ วิธีการนำข้อมูลดินจากเครื่องรับที่สถานีจรและสถานีฐานมาประมวลผลกันแบบสัมพัทธ์ไม่สามารถช่วยทำให้ค่าพิกัดทางดึงที่ตรวจจับได้นั้นให้ความถูกต้อง เพิ่มขึ้นได้ สาเหตุ คงเกิดจากอิทธิพลปกคลุมเรือนยอดส่งผลต่อความสามารถในการรับสัญญาณจากดาวเทียม จีพีเอส ของเครื่องรับ

5.1.3 กรณีที่ไม่มีอิทธิพลปักคุณเรื่องยอดของตำแหน่งหมุดที่ตั้งรับสัญญาณ

จากการทดลอง ค่าการเคลื่อนตัวทางด้านแบบจำลองที่ตรวจจับได้จากจุด BMSV_03 นี้ในการทดสอบของเราถือว่า หมุด BMSV_03 นี้เป็นหมุดที่มีความเหมาะสมในช่องทางรับสัญญาณ เพราะในระหว่าง 15 องศา ไม่มีการบดบัง สัญญาณเนื่องจากสภาพภูมิประเทศ (Obstruction) ดังนั้นจึงทำการกำหนดให้ BLD 14/1 เป็นจุดสถานีฐานซึ่งเมื่อพิจารณา จากการทดลองใน 3 วันพบว่า ในช่วงของความถูกต้อง เมื่อเทียบกับการทดลองที่ 2 ผู้วิจัยเรื่องอิทธิพลปักคุณ เรื่องยอด ส่งผลกระทบโดยตรงกับการคำนวนพิกัดค่าของ BMSV_03 นั้น ไม่มี แต่สำหรับค่าส่วนเบี่ยงเบนมาตรฐานในขณะที่เครื่องรับอยู่ นั่งกับที่ ก็แสดงให้เห็นแล้วว่า วิธีการ RTK นั้น จะมีช่องว่างของค่าพิกัด ในเรื่องของความละเอียดที่รังวัดได้กีดื้อ ทางรับ 10 mm+1 ppm และ ทางด้าน 15 mm+1 ppm ตลอดจนสัญญาณที่รังวัดไปยังดาวเทียมมีความถูกต้องเพียงได้อีกด้วย

พร้อมกันนี้ผู้วิจัยก็ได้ตั้งข้อสังเกตในเรื่องของการบดบังสัญญาณพร้อมกันนี้ผู้วิจัยก็ได้ตั้งสังเกตในเรื่องของการบดบังสัญญาณ วิทยุที่สถานีฐานในที่นี้คือ BLD 14/1 ส่งมาให้ยังสถานนีจร BMSV_03 เพราะการรับส่งของเครื่องรับมีความเข้มเพียง 410-470 MHz อาจจะเกิดการซ้ำหรือ การขาดช่วงเนื่องจากมีตึกอาคารขนาดใหญ่ 2 หลัง บังแนวเส้นตรงของจุดสถานีทั้ง 2 อยู่จึงได้ทำการตั้งเครื่องรับบนตึก 35 ที่หมุด BLD 35 และกำหนดให้เป็นจุดสถานีฐานซึ่งจากการลัพธ์ทางตำแหน่งทางด้านที่ได้เมื่อนำมาแยกวิเคราะห์ พบว่า 1 เครื่องรับสามารถคำนวน ตรวจสอบค่าการเคลื่อนตัวที่เกิดขึ้นจริงของแบบจำลองพิดไป 10-20% ในบางจุดก็ตาม แต่นั้นก็แสดงให้เห็นว่าจากการทดลอง 1 อิทธิพลปักคุณเรื่องยอดส่งผลกระทบโดยตรงต่อการคำนวนตำแหน่งเครื่องรับในสนาม และอาคารขนาดใหญ่ที่บังแนวเส้นตรงจากจุดสถานีจร ไปยังเครื่องรับที่สถานีฐาน ส่งผลกระทบต่อการคำนวนตำแหน่งของจุดสถานีจร คล้ายวิธีลังวัดแบบจลน์ในทันที (RTK) แม้จะเป็นตำแหน่งที่ตั้งอยู่ที่บริเวณ โล่งและเหมาะสมกับการรับสัญญาณจากดาวเทียม จีพีเอส ก็ตาม

5.1.4 การทดสอบในกรณีที่แบบจำลองเกิดการเคลื่อนตัวฉบับพลัน และมีการบดบังสัญญาณดาวเทียมเนื่องจากสิ่งปลูกสร้าง

จากการทดสอบเบื้องต้น ผู้วิจัยได้ตั้งข้อสังเกตุในเรื่องของจุดเด่นในการตรวจจับค่าการเคลื่อนตัวทางดิ่ง แบบทันทีทันใดของแบบจำลอง ดังนั้นในการทดสอบความสามารถของ RTK ในด้านสามารถผู้วิจัยจึงถือว่าความถูกต้องทางดิ่งที่กำหนดได้ จากจุดสถานีจริง มีความจำเป็นต่อการพิจารณาค่าต่างทางดิ่งที่ตรวจจับได้โดยวิธี RTK ณ ตำแหน่งสถานีจริง นั้นเอง สังเกตุจากรูปภาพในการทดลองที่ 4 จะเห็นแนวเปลี่ยนความสูงดังที่ผู้วิจัยได้วางไว้เพื่อทำจุดสังเกต ในขณะที่แบบจำลองเปลี่ยนแปลงความสูงแบบฉบับพลัน ซึ่งแสดงว่าส่วนตัวของวิธี RTK นั้นถ้าตัวสถานีจริงมันเองมีการเคลื่อนตัว แบบทันทีทันใดได้ระดับ 0.075 ถึง 0.185 เมตร (ดังการทดลอง) เครื่องรับสามารถสังเกตได้ เม้นท์หมุดที่รับสัญญาณจะเป็นหมุดที่มี Obstruction ในเรื่องของการรับสัญญาณไปยังดาวเทียม จีพีเอส อุยก์ตาม

5.2 ปัญหาและข้อเสนอแนะ

ปัญหาที่พบจากการทำการทดสอบความสามารถของวิธี Real-time kinematic ในการตรวจจับการเคลื่อนตัวทางดิ่งของแบบจำลอง

1) การใช้วิธีการ RTK ในเรื่องของการหาค่าต่างระดับของหมุดควบคุมทางดิ่งจากในสถานีผลลัพธ์ที่ได้ นั้นจะมีความถูกต้องมาก หรือน้อย เพียงใดขึ้นอยู่กับผู้ทำงานรังวัดในสถานี เป็นสำคัญ ดังนั้น นอกจากต้องพิจารณาในเรื่องของเลขานุทธิของกลุ่มดาวเทียมที่ต้องใช้ดาวเทียมชุดเดียวกันแล้วตำแหน่งจุดที่เป็นสถานีจริง ก็ต้องมีความสามารถในการรับสัญญาณที่ดีด้วย เช่นกัน

2) วิธีการประมาณผลแบบสัมพัทธ์แบบทันทีทันใดที่ RTK นำมาใช้ในการคำนวณหาพิกัดสถานีจริงของตัวเอง ถือเป็นเรื่องสำคัญที่ผู้ใช้จะต้องพึงระวังให้เสมอ ว่าอิทธิพลปัจจัยเรื่องยอดของต้นไม้ใหญ่ในสถานีจะส่งผลโดยตรงต่อความถูกต้องที่คำนวณได้

3) การนำข้อมูลดิบของวิธีการ RTK ของจุดสถานีฐานและหมุดสถานีจริงมาประมาณผลแบบสัมพัทธ์ในภายหลังเหมือนวิธีรังวัดแบบสถิติไม่ได้ช่วยทำให้ผลลัพธ์ของค่าพิกัดของจุดสถานีจริงขึ้นถ้าหากจุดที่ตั้งเครื่องรับเป็นจุดที่รับสัญญาณได้ไม่ดีพอ เพราะค่าคลาดเคลื่อนอย่างเป็นระบบที่เกิดจากการรับสัญญาณที่แฝงไปด้วยค่าคลาดเคลื่อนเมื่อนำมาคำนวณตำแหน่งแบบสัมพัทธ์ในภายหลังจะทำให้ค่าความผิดปกติเกิดขึ้นที่มีขนาดที่ใหญ่ขึ้นตามไปด้วย

4) การประยุกต์ใช้งานรังวัดด้วยวิชี จีพีเอส สำหรับงานระดับที่ต้องการความถูกต้องสูง ผู้วิจัยขอแนะนำให้ใช้วิธีรังวัดแบบสถิติปั๊บ (Static Surveying) เพราะ ให้ค่าความถูกต้องทางตำแหน่ง ใน 3 มิติที่น่าเชื่อถือกว่า วิชี RTK นั้นคืออยู่ในระดับเซนติเมตร หรือดีกว่านั้น แต่ต้องไม่ลืมว่าการ บดบังสัญญาณของอิทธิพลปากคลุนเรือนยอด จะส่งผลกระทบโดยตรงกับ ข้อมูลดิบที่ใช้คำนวณ ตำแหน่งของเครื่องรับเอง



บรรณาธิการ

ภาษาไทย

เฉลี่ยนชันม์ สถิติระพจน์ และ ก้องไกล สารโภชิน. 2550. การทดสอบความสามารถของวิธีรังวัดด้วย
ดาวเทียมจีพีเอสโดยวิธีแบบจลน์ในทันทีและวิธีขอนกลับแบบจลน์ในทันที. วิศวกรรม
สารสนับวิจัยและพัฒนา

เฉลี่ยนชันม์ สถิติระพจน์ สุทธิพงศ์ วิญญาประคัญช์ บรรจิด พลกระ พิชัย เยียงวีรชน และ อิทธิ ตรี
ศิริสัตยวงศ์. พ.ศ. 2547, การหาค่าระดับเนินน้ำทางเลปานกลางของสถานีวัดน้ำ
ในอ่าวไทยด้วยจีพีเอส, การประชุมวิชาการวิศวกรรมโยธาแห่งชาติ ครั้งที่ 9, โรงแรม
รีเจ็นท์ชะอำ เพชรบูรี, 19-21 พฤษภาคม.

เฉลี่ยนชันม์ สถิติระพจน์ พ.ศ. 2546, การสำรวจรังวัดด้วยดาวเทียมจีพีเอส เปื้องต้น (แปลและ
เรียบเรียง), พิมพ์ครั้งที่ 1, โรงแรมแห่งจุฬาลงกรณ์มหาวิทยาลัย, กรุงเทพฯ, 156 หน้า.

ชูเกียรติ วิเชียรเจริญ. พ.ศ. 2538, เอกสารประกอบการฝึกอบรม การสำรวจรังวัดด้วยดาวเทียม
ระบบ GPS, (มปท.), (อัสดำเนา)

ชนัช สุขวิมลเตรี และเฉลี่ยนชันม์ สถิติระพจน์ พ.ศ. 2548, การประเมินความถูกต้องของค่า
ความสูงออร์โทเมตريكจากการรังวัดดาวเทียมระบบ GPS, วิศวกรรมสารสนับวิจัยและ
พัฒนา, ปีที่ 16 ฉบับที่ 4, 18-21

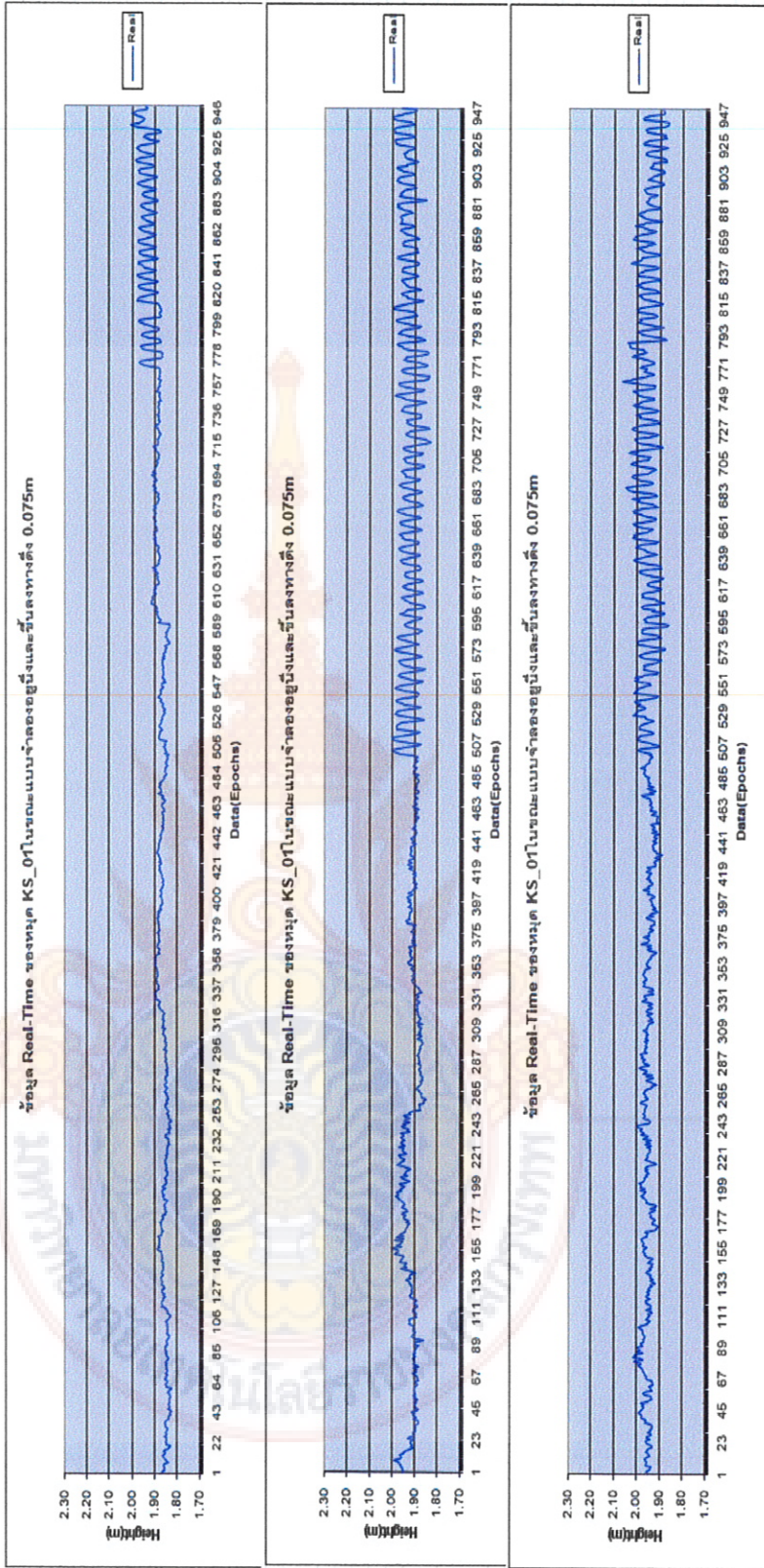
ชนัช สุขวิมลเตรี พ.ศ. 2547, ความสูงออร์โทเมต릭จากการรังวัดด้วยดาวเทียมระบบ GPS
ร่วมกับแบบจำลองความสูงยื่อยอย, การประชุมวิชาการวิศวกรรมโยธาแห่งชาติ ครั้งที่ 9,
โรงแรม รีเจ็นท์ชะอำ เพชรบูรี, 19-21 พฤษภาคม.

ການວັດທະນາ

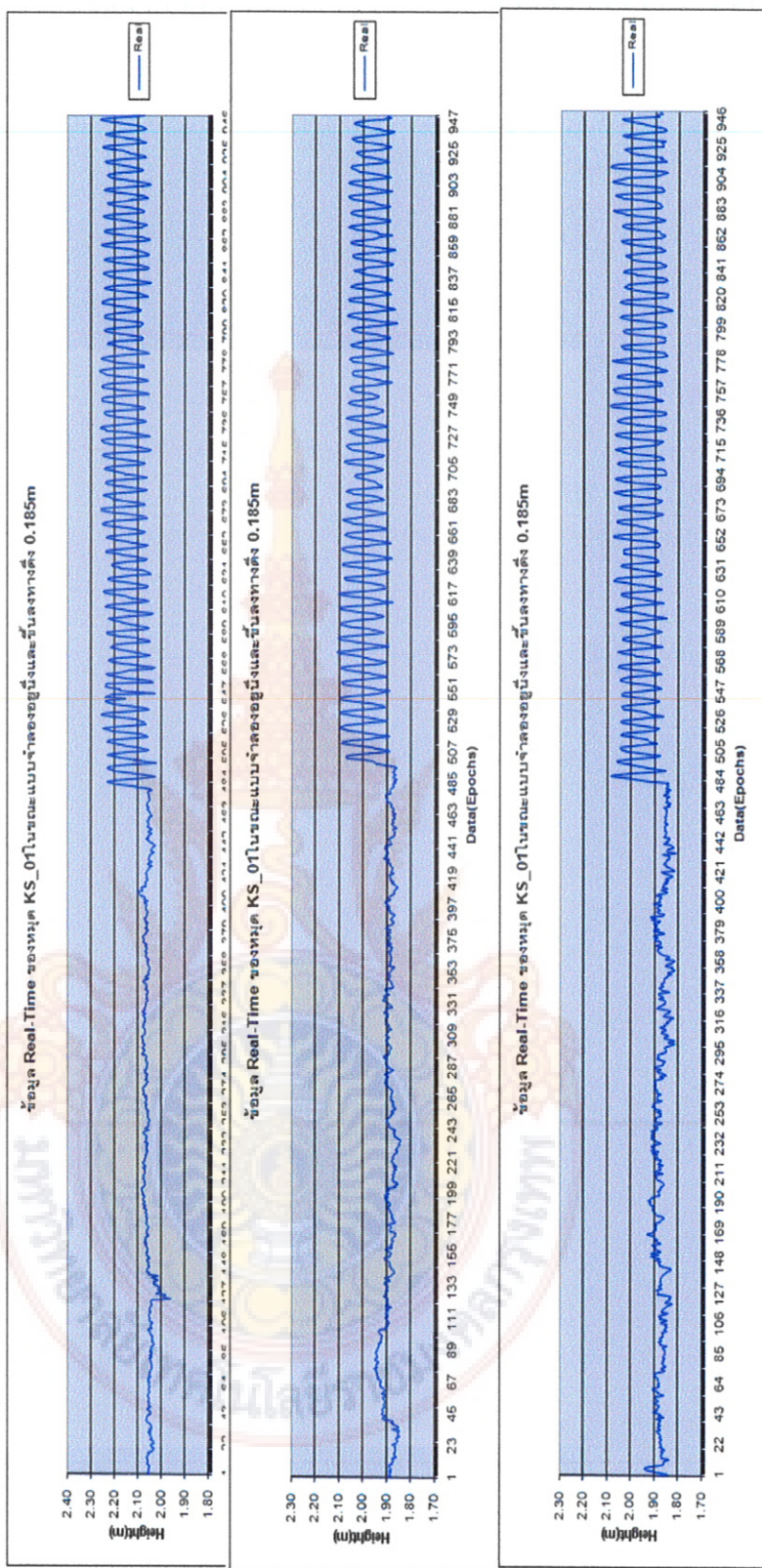
- Fotopoulos,G., Kotsakis, C., and Sideris, M.G. (2003) How Accurately Can We Determine Orthometric Height Differences from GPS and Geoid Data? Journal of Surveying Engineering(ASCE) ,129(1), 1-10.
- In-Su Lee and Lin lin Ge,(2006).The performance of RTK-GPS for surveying under challenging environmental conditions, Earth Planets Space, 58, 515–522
- Martensson, S.,(2002). Height Determination by GPS – Accuracy with Respect to Different Geoid Models in Sweden , Paper presented at the FIG XXII International Congress, Washington,D.C.,U.S.A,19-26 April.
- NASA (2005) EGM' s official web site, Avertable from:
http://cddis.gsfc.nasa.gov/926/egm96/egm96.vitmllaccess Jan 10th,
- Rizos, C.(1997) Principles and practice of GPS surveying. Monograph 17, School of surveying and Spatial information system, The University of New South Wales, 555pp.
- Timothy, R. L. and George, P. G. (1999).The Influence of the Number of Satellites on the Accuracy of RTK GPS Positions, THE AUSTRALIAN SURVEYOR, Vol. No. 1, 64–70
- Wichiencharoen, c.(1998) Orthometric heights from GPS: Experience of Thailand, Paper presented at 3rd. International Symposium on GPS Technology, Tainan, Taiwan, 10-11 November.

ภาคผนวก ก

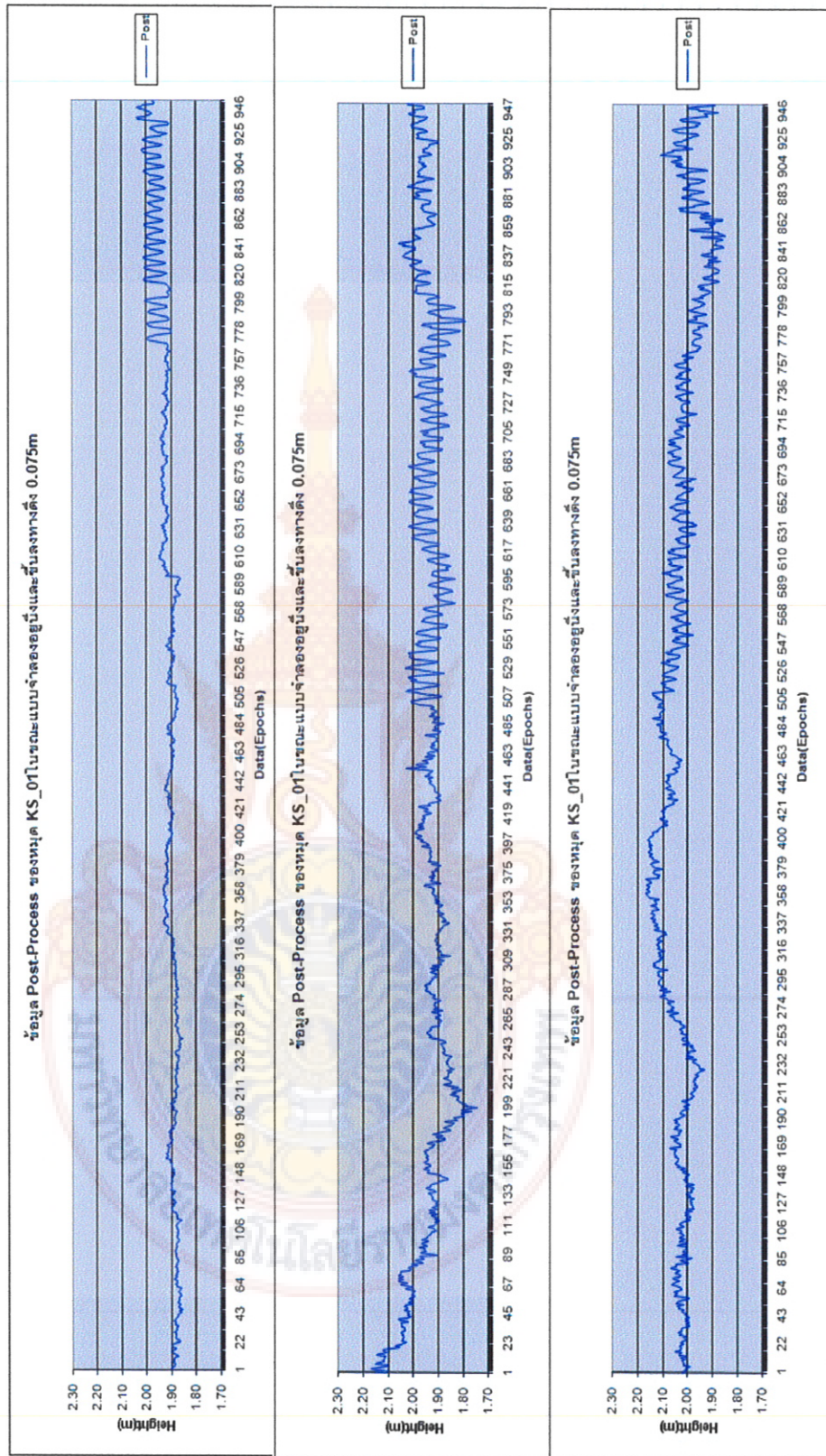
การทดลองที่ 2 ค่าการเคลื่อนตัวทางด้านทิศทางที่ได้ที่หมุด KS_01 ชื่อปุ่มแบบ Real-time เมื่อเวลา 07:00 น. ลงทางด้านทิศเหนือลงทางด้านทิศใต้ 0.075 m.
ในการทดสอบเมื่อวันที่ 6,7,14 ก.ค. 52 ตามลำดับ



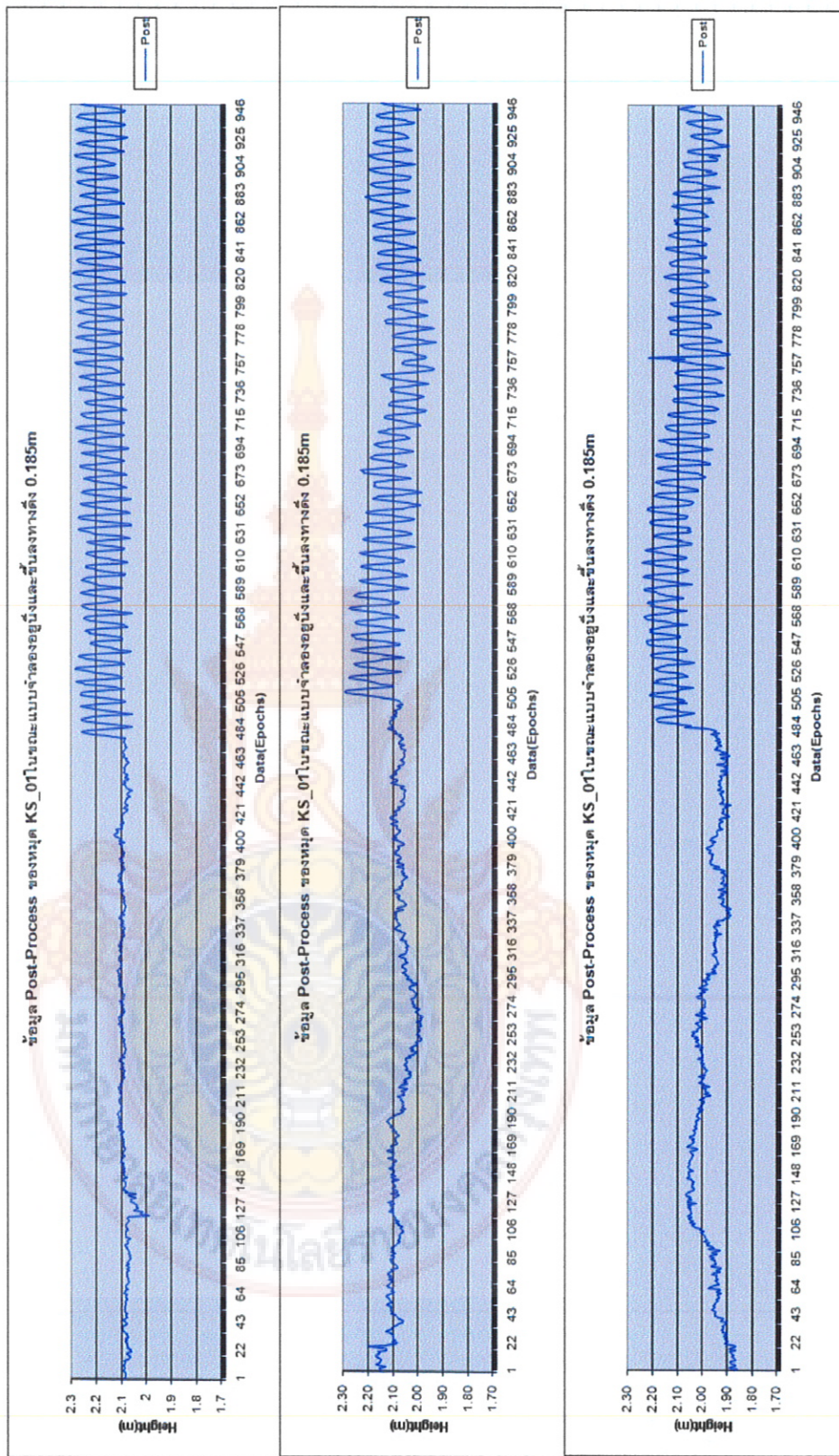
การทดสอบที่ 2 ค่าการเคลื่อนตัวทางด้านทิศทางที่ตัวเรือนที่ 2 ให้ที่หุ่น KS_01 ที่อยู่ในแบบ Real-time เมื่อแบบจำลองเคลื่อนที่บนลังกาดังที่ระบุ 0.185 ม. ในการทดสอบเมื่อวันที่ 6,7,14 เดือน พฤษภาคม 2561



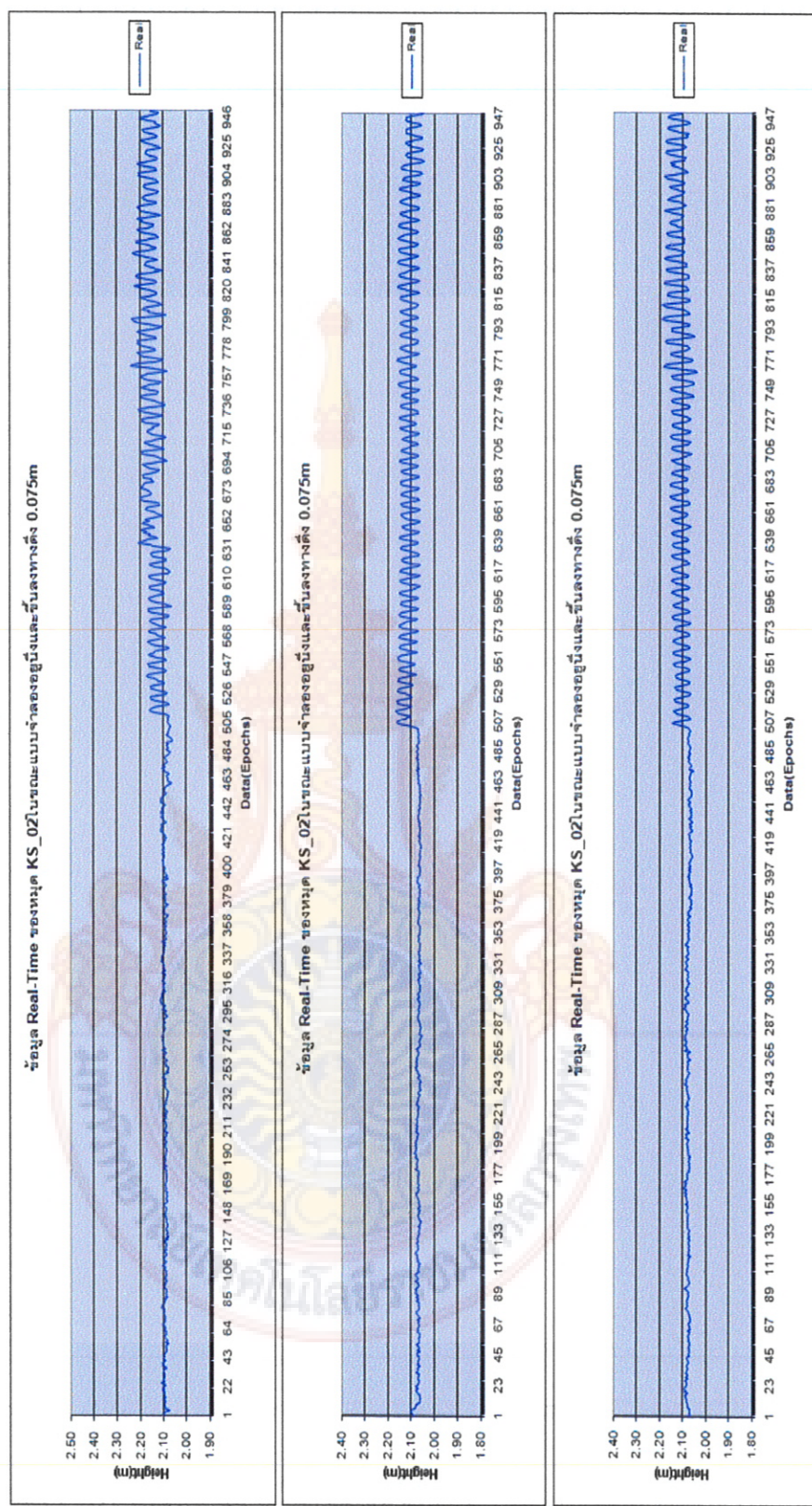
การทดสอบที่ 2 ค่าการเคลื่อนตัวทางด้านซ้ายขวาของชุด KS_01 ที่หุ่น KS_01 ที่อยู่ในแบบ Post-Process เมื่อแบบจำลองเคลื่อนที่ขันดองทางด้านซ้าย 0.075 m.
ในการทดสอบเมื่อวันที่ 6,7,14 พ.ค. 52 ตามลำดับ



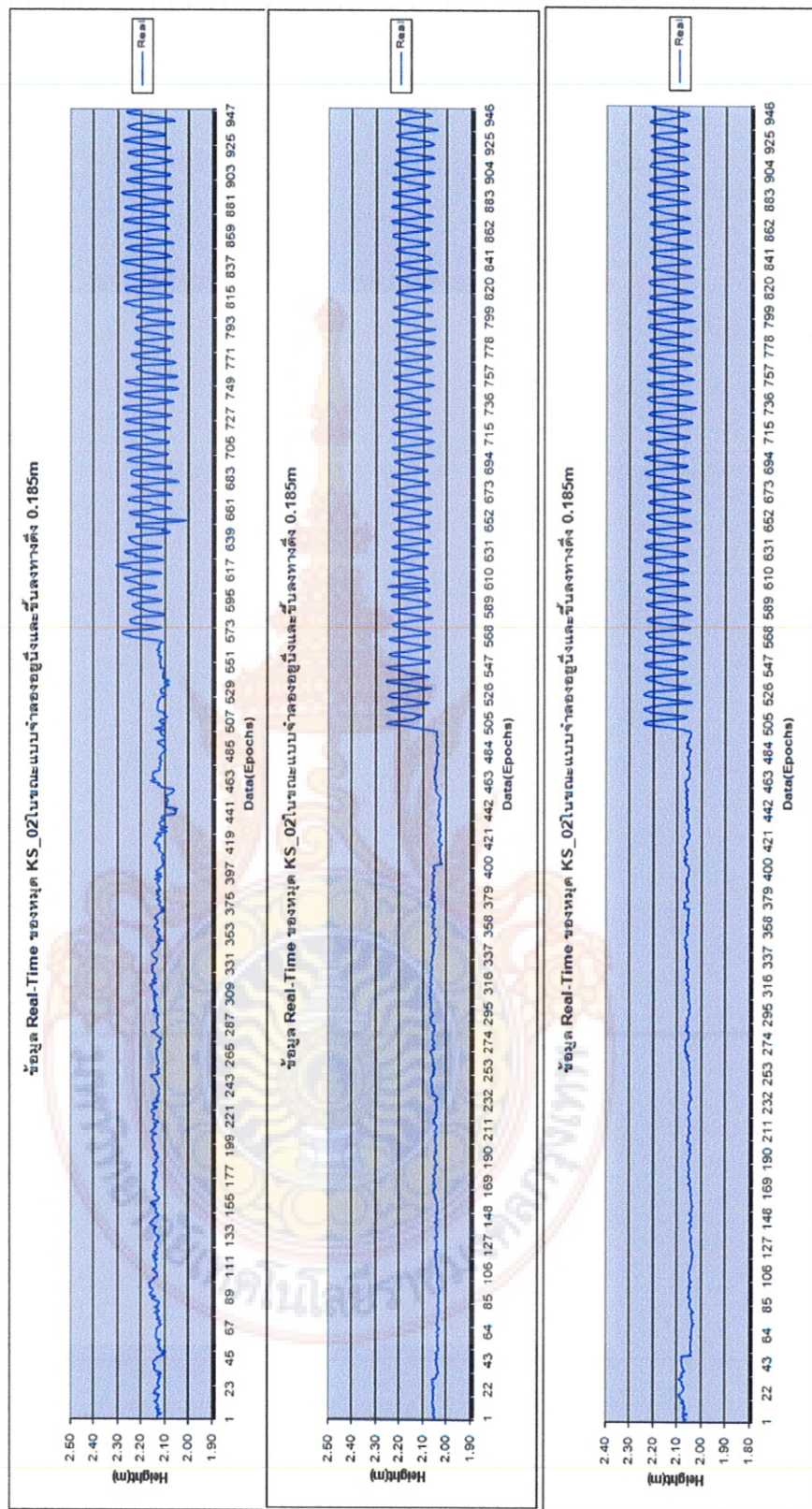
การทดสอบที่ 2 ค่าการเคลื่อนตัวทางด้านทิศทางขึ้นๆ ลงๆ ที่หุ่น KS_01 ที่อุปกรณ์ Post-Process เมื่อแบบจำลองเคลื่อนที่ขนดทางด้านซ้าย 0.185 ม. ในวาระทดสอบวันที่ 6,7,14 ต.ค. 52 ตามลำดับ



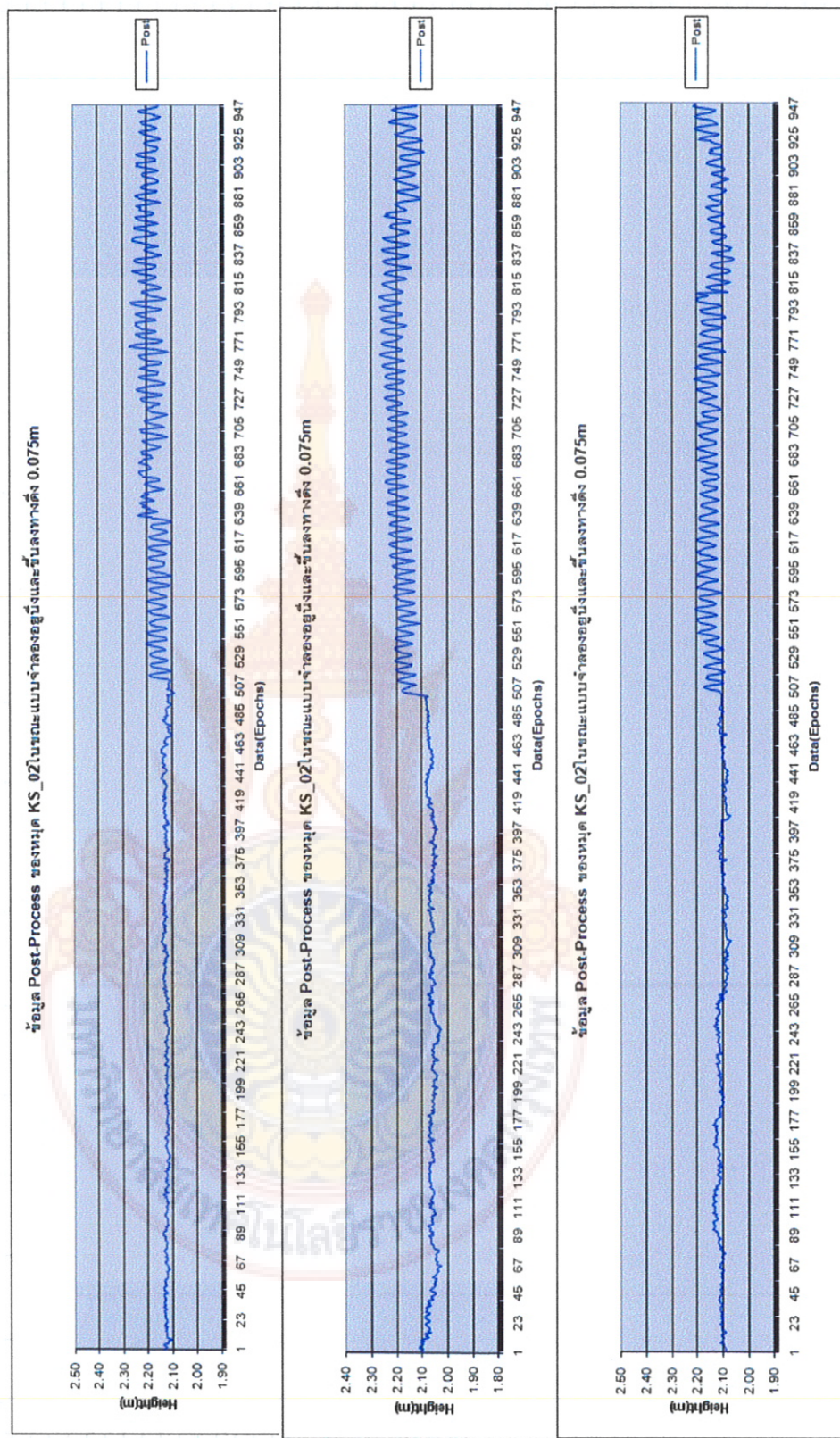
การทดสอบที่ 2 ค่าการเคลื่อนตัวทางด้านซีทรูจับได้ที่หุ่นยนต์ KS_02 ซึ่งมุ่งแบบ Real-time เมื่อเปรียบเทียบกับที่ทุ่นลงทางดังต่อไปนี้ 0.075 ม.
ในการทดสอบเมื่อวันที่ 6,7,14 ต.ค. 52 ตามลำดับ



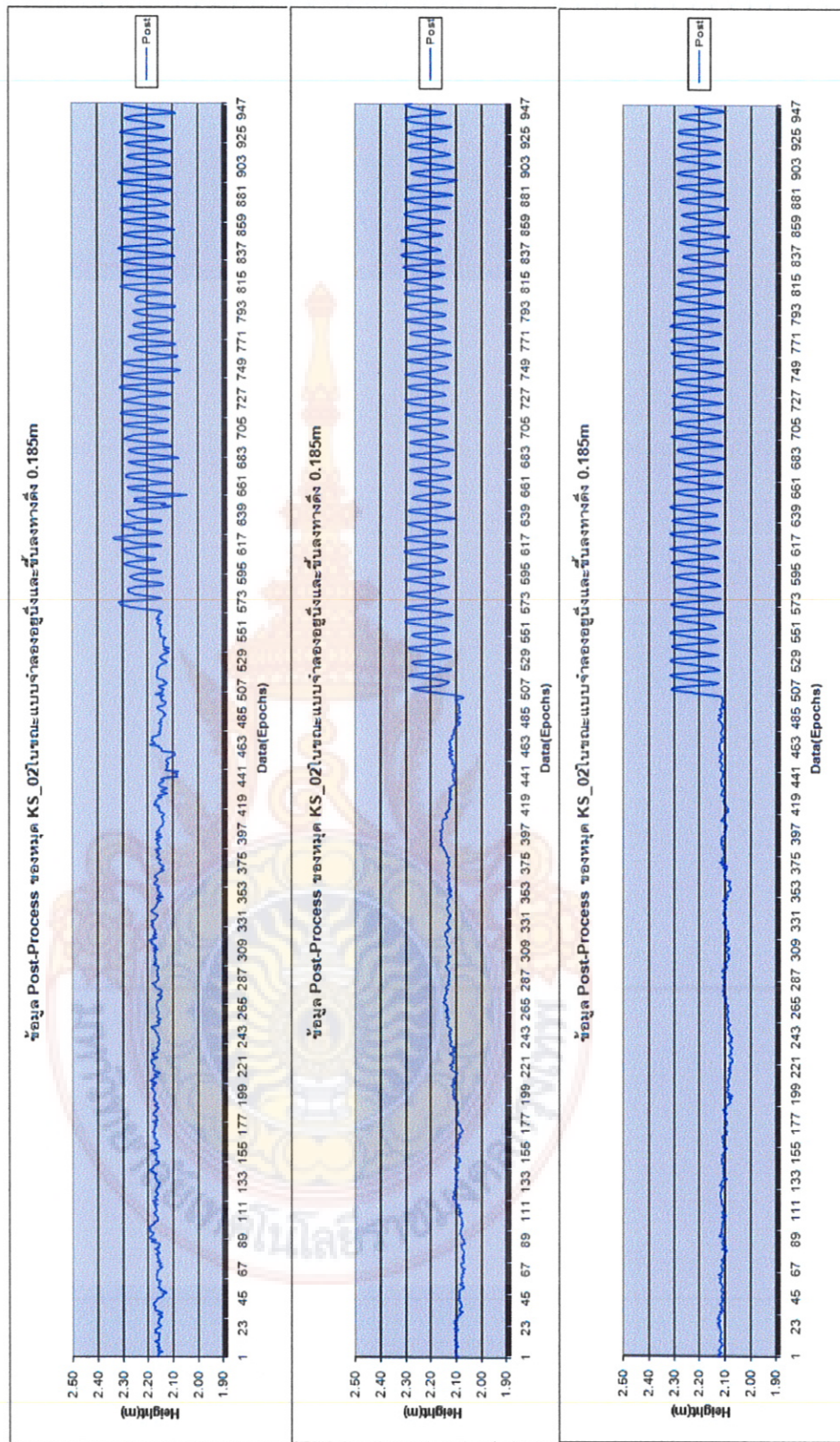
การทดสอบที่ 2 ค่าการเคลื่อนตัวทางด้านทิศทางขึ้นไป ได้ที่หุ่นยนต์ KS_02 ที่อยู่ในแต่ละช่วงเวลาและช่วงเวลาที่ 0.185 m.
ในการทดสอบในวันที่ 6,7,14 ต.ค. 52 ตามลำดับ



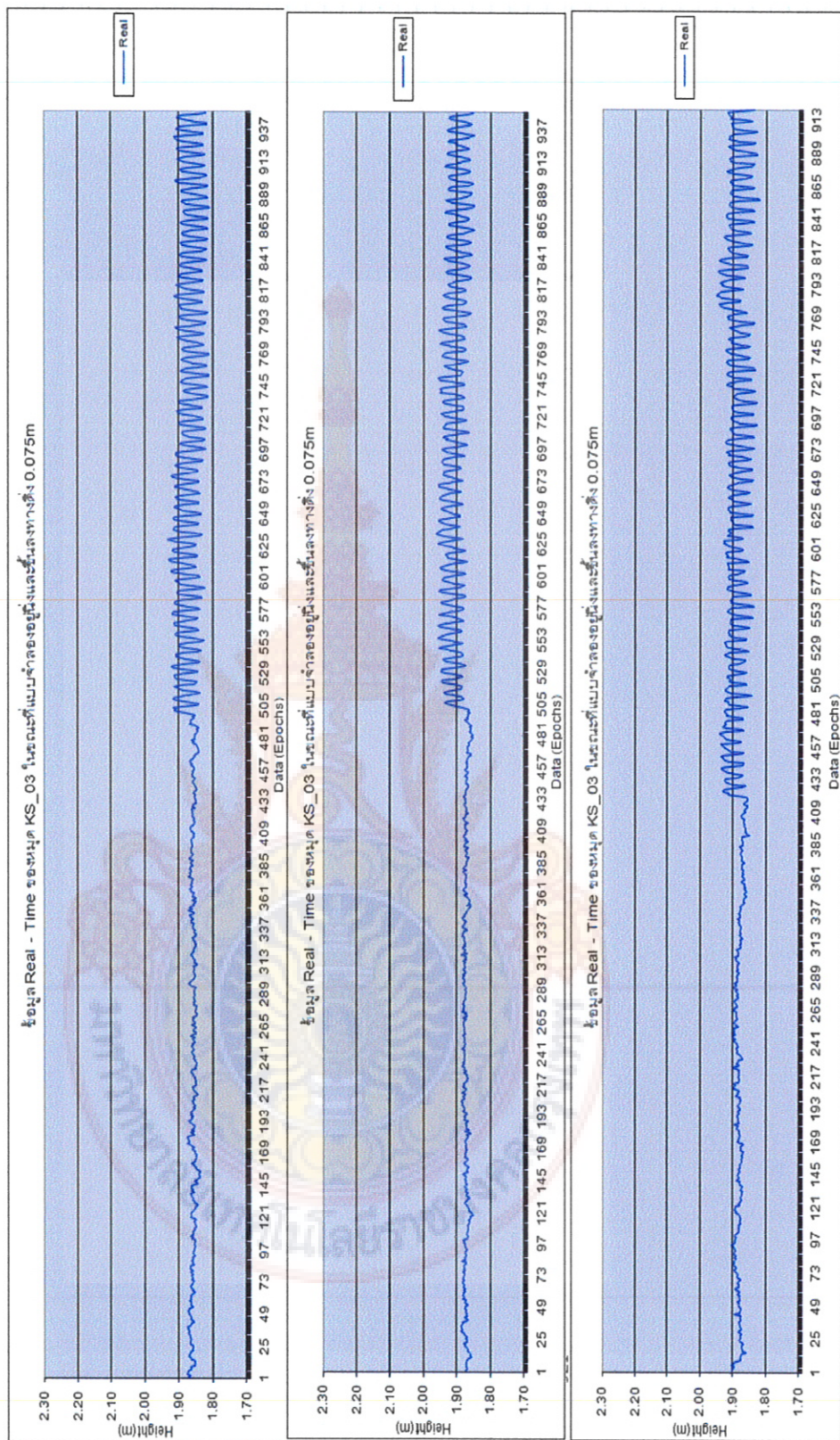
การทดสอบที่ 2 ค่าการเตือนตัวทางด้านความจัดที่ตรวจขึ้นได้ที่ห้อง KS_02 ชื่อห้องแบบ Post-Process เมื่อแบบจำลองเคลื่อนที่ขนถังทางดังสูง 0.075 m.
ในการทดสอบเมื่อวันที่ 6,7,14 สค. 52 ตามลำดับ



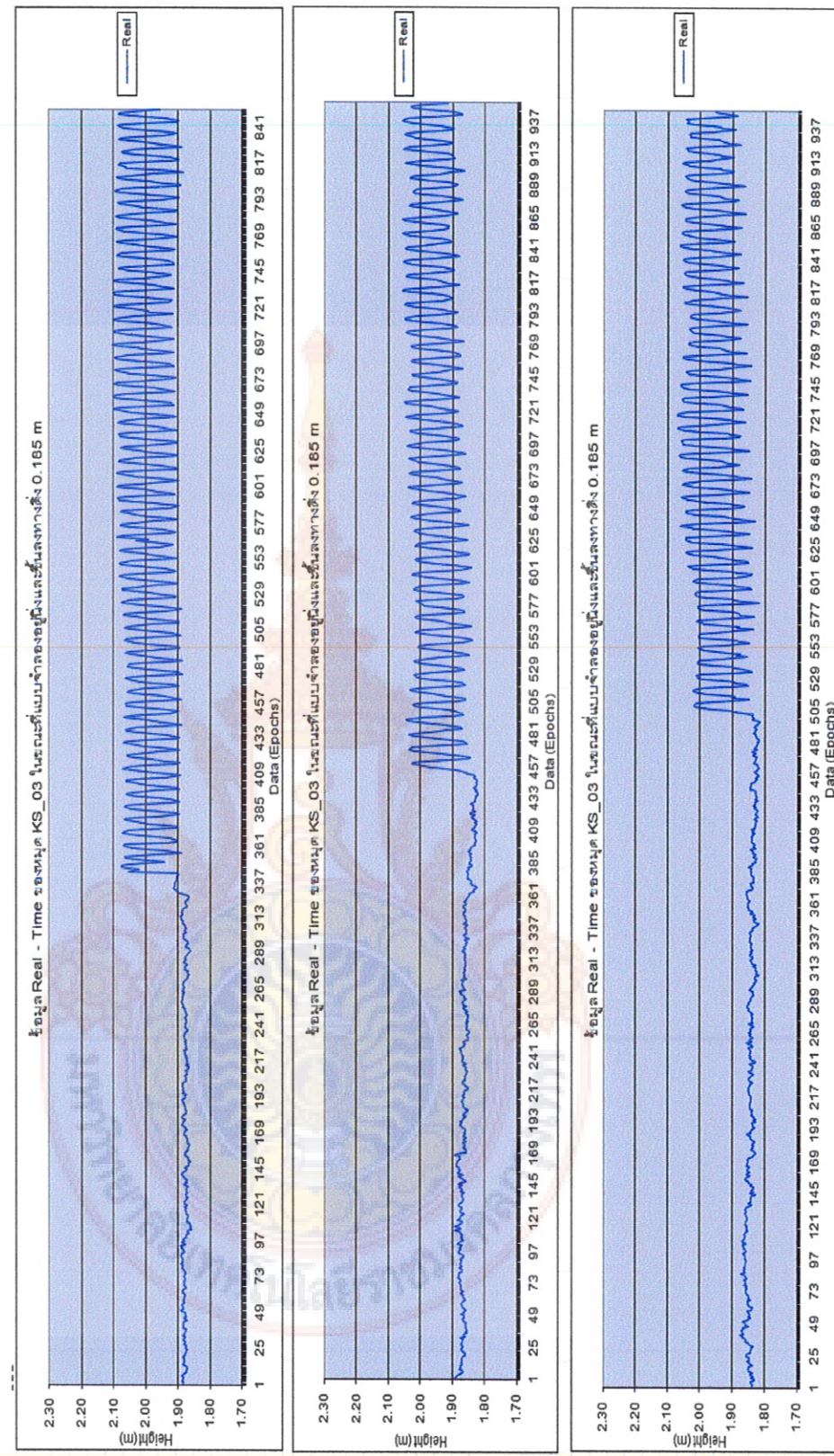
การทดสอบที่ 2 ค่าการเคลื่อนตัวทางด้านซ้ายขวา ได้ที่หุ่นยนต์ KS_02 ที่อยู่ในแบบ Post-Process เมื่อแบบจำลองเคลื่อนที่ขันลงทางด้านซ้าย 0.185 m.
ในการทดสอบเมื่อวันที่ 6,7,14 เดือน พฤษภาคม 2561



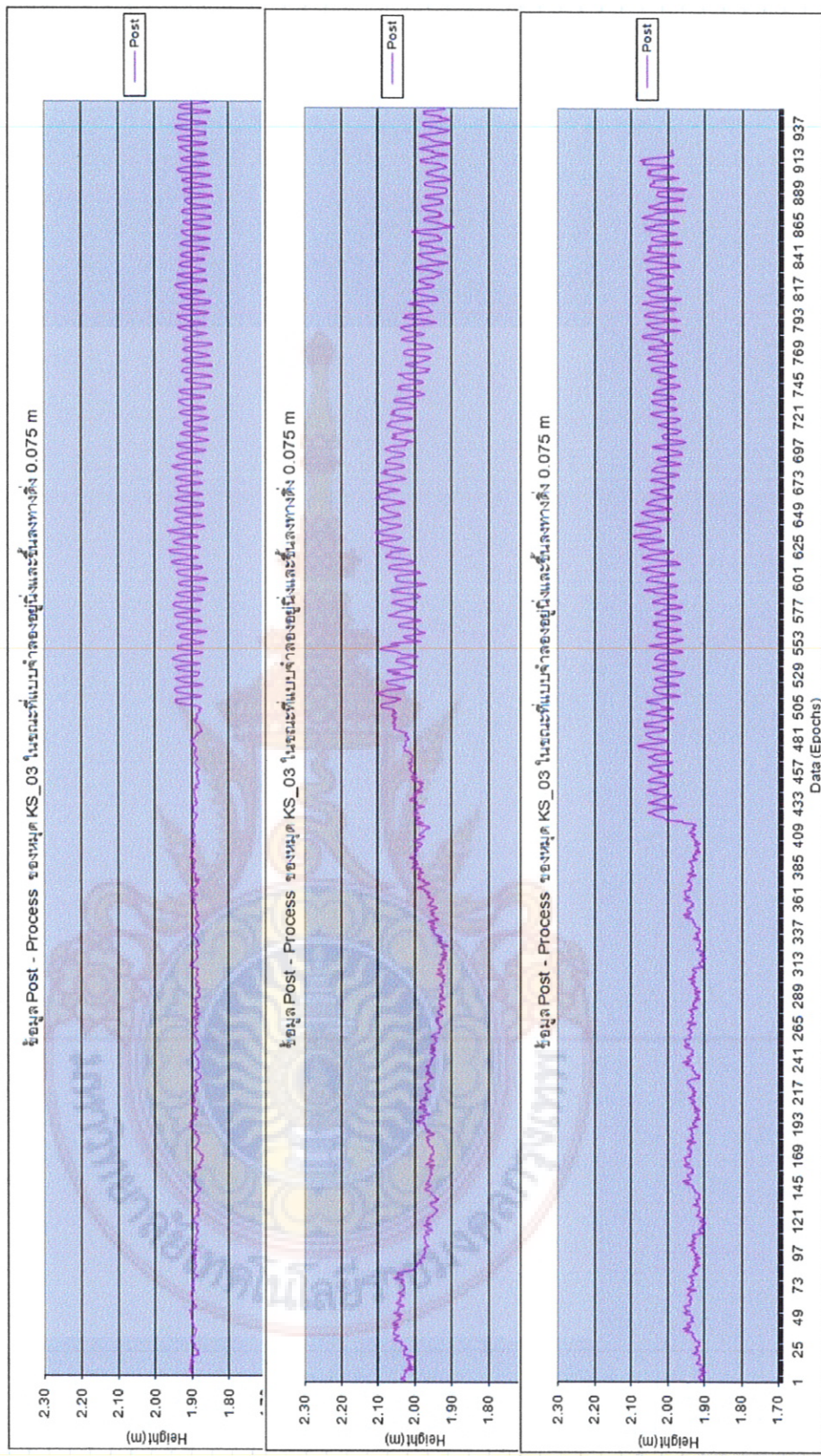
การทดสอบที่ 2 ค่าการเคลื่อนตัวทางด้านที่ตราชัยขึ้นไปได้ที่หมุด KS_03 ซึ่งมุ่งแบบ Real_Time เมื่อเวลาของเครื่องเรือนพื้นดินทางด้านที่ตราชัย 0.075 ม.
ในการทดสอบเมื่อวันที่ 6,7,14 ต.ค. 52 ตามลำดับ



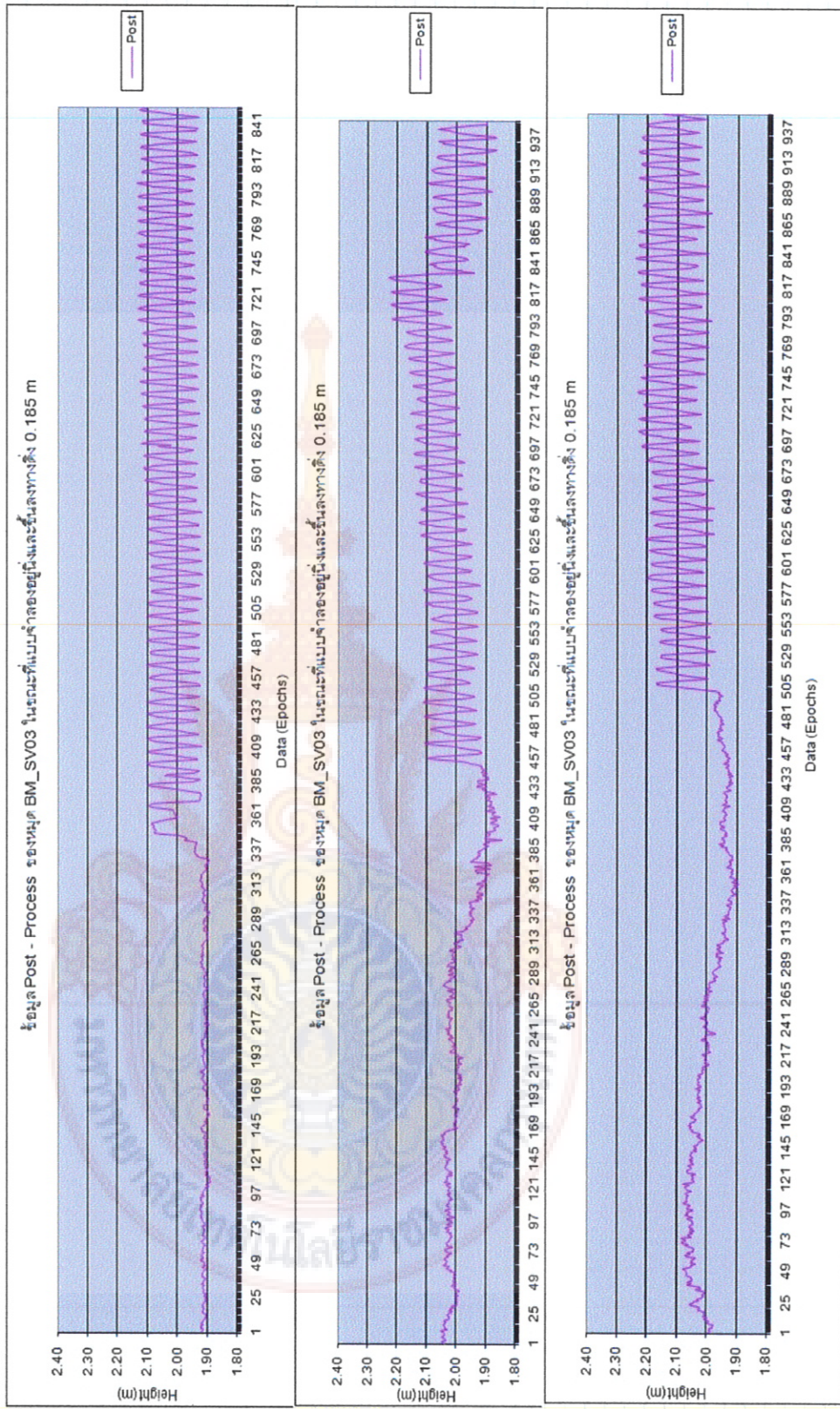
การทดสอบที่ 2 ค่าการเคลื่อนตัวทางคันทรูบจําได้ที่หนด KS_03 ชื่อชุมตแต่ Real-time เมื่อแบบจำลองเกิดขึ้นทันท่วงทุก 0.185 ม.
ในการทดสอบแบบมือวันที่ 6,7,14 ตค. 52 ตามลำดับ



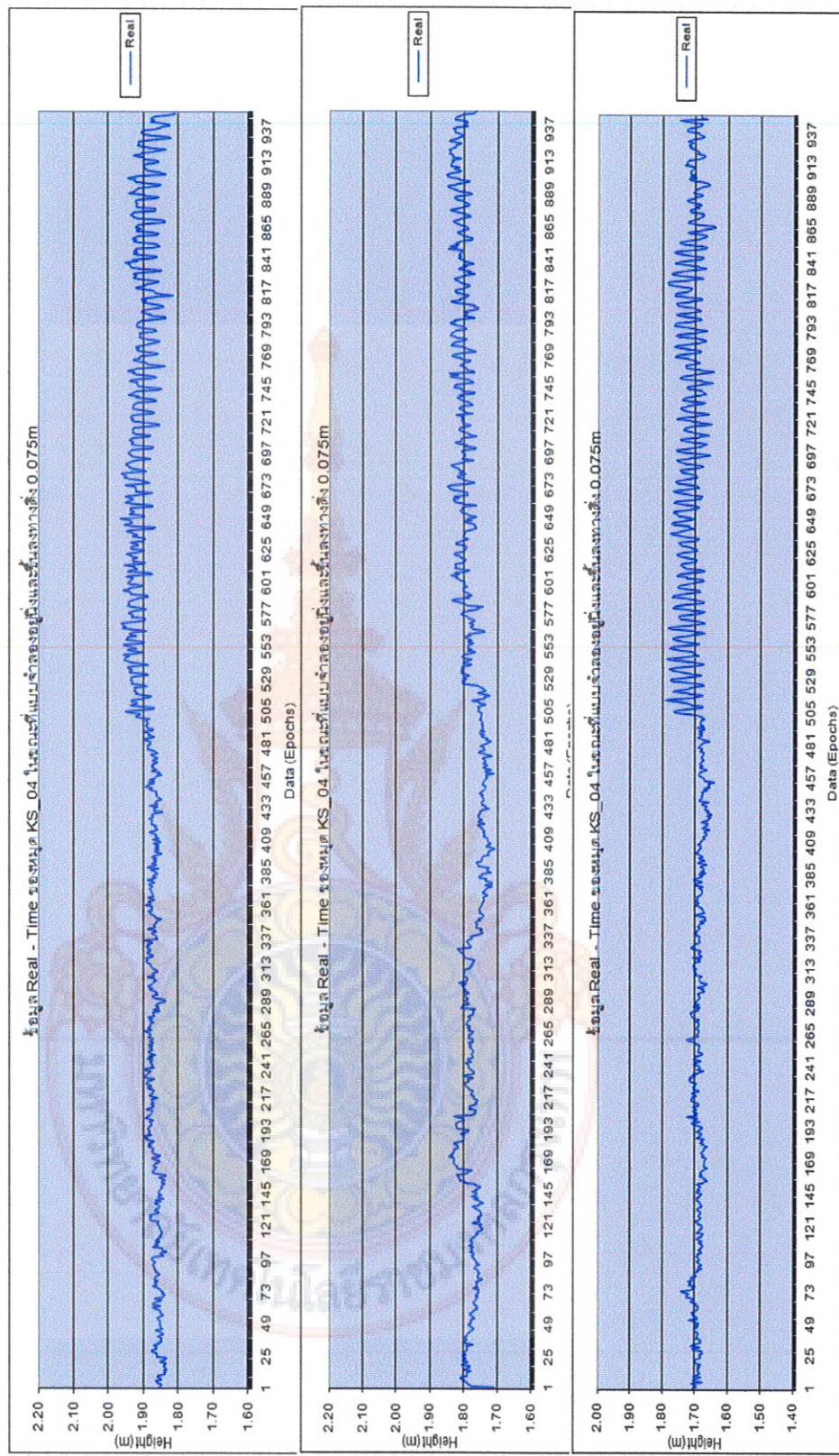
การทดสอบที่ 2 ค่าการเคลื่อนตัวทางด้านซ้ายขวา ๒๔๓ ที่หุบ KS_03 ช่องน้ำแบบ Post-Process เมื่อยกแบบจำลองเคลื่อนที่ขันดองทางด้านซ้าย 0.075 ม.
ในการทดสอบบนแนววันที่ 6,7,14 ต.ค. ๕๒ ตามลำดับ



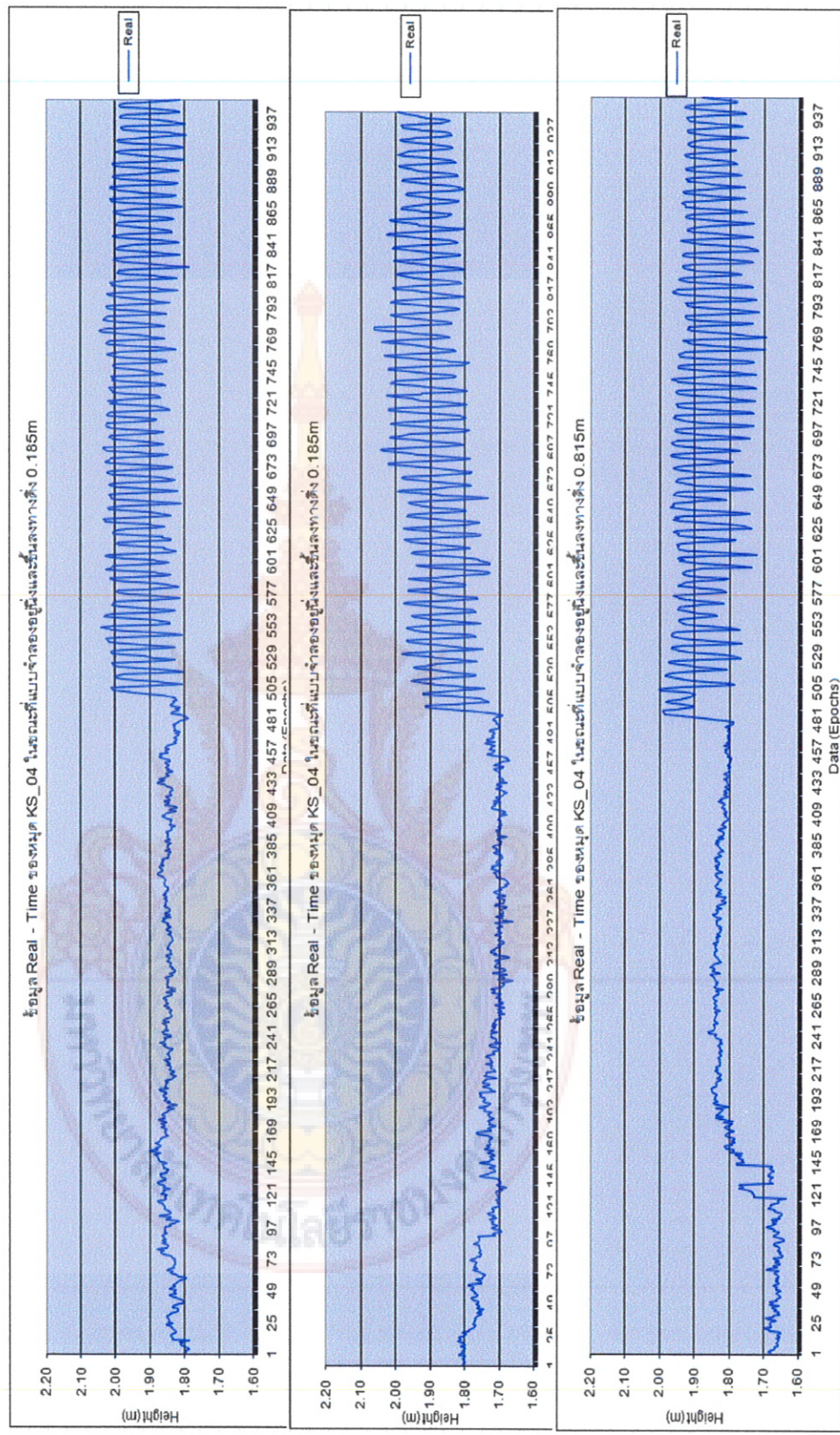
การทดสอบที่ 2 ค่าการเคลื่อนตัวทางดังที่ทราบ ขึ้นได้ ที่หุบ KS_03 ชื่อชุมชนแบบ Post-Process เมื่อแบบจำลองเคลื่อนที่บนลงทางดังที่ระบุ 0.185 m.
ในการทดสอบเมื่อวันที่ 6,7,14 ตค. 52 ตามลำดับ



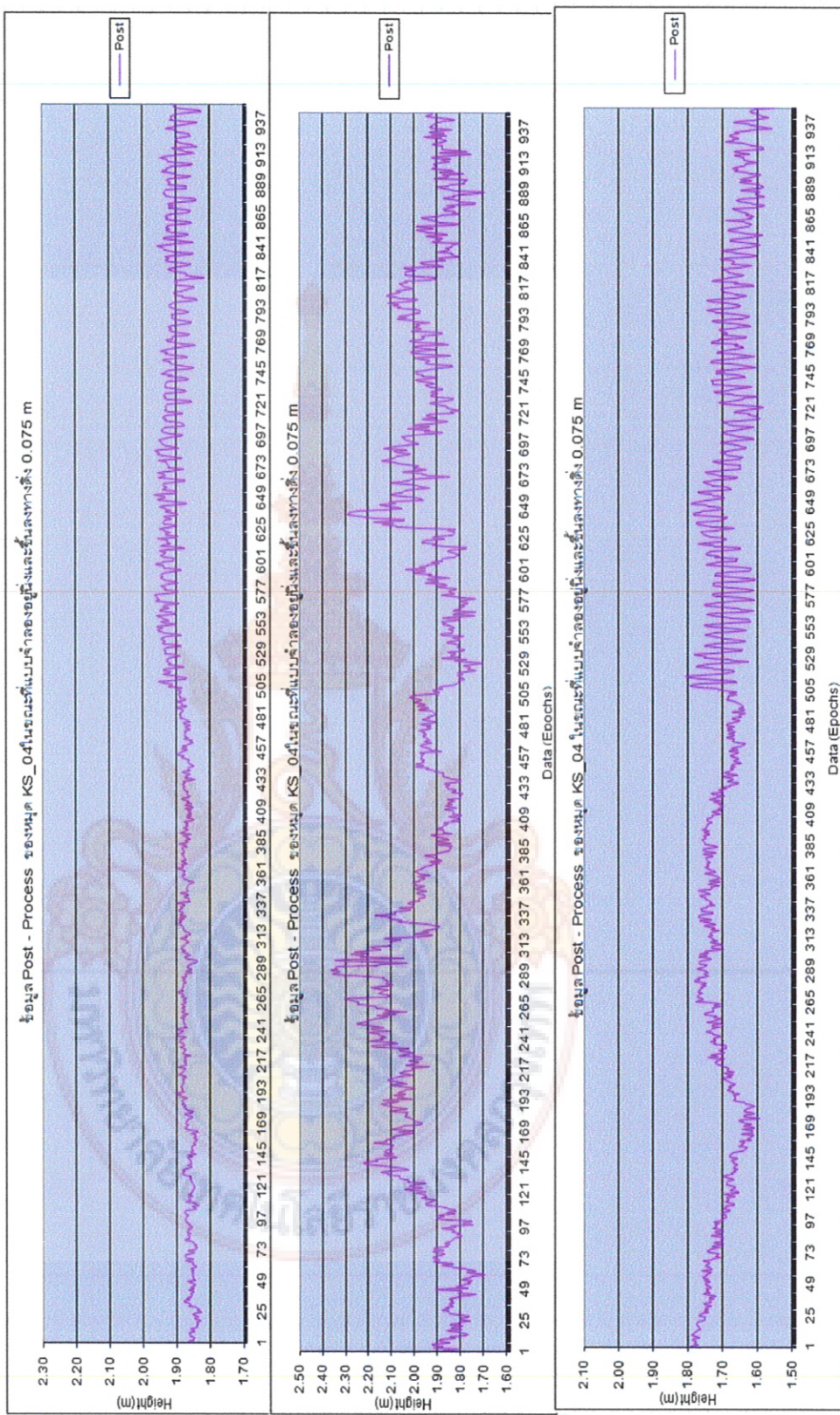
การทดสอบที่ 2 ค่าการเคลื่อนตัวทางด้านซ้ายขวา ได้ ที่ห้อง KS_04 ชื่อปุ่มแบบ Real-time เมื่อแบบจำลองเครื่องที่เขียนนั้นลงทางด้านซ้าย 0.075 ม.
ในการทดสอบเมื่อวันที่ 6,7,14 ตค. 52 ตามลำดับ



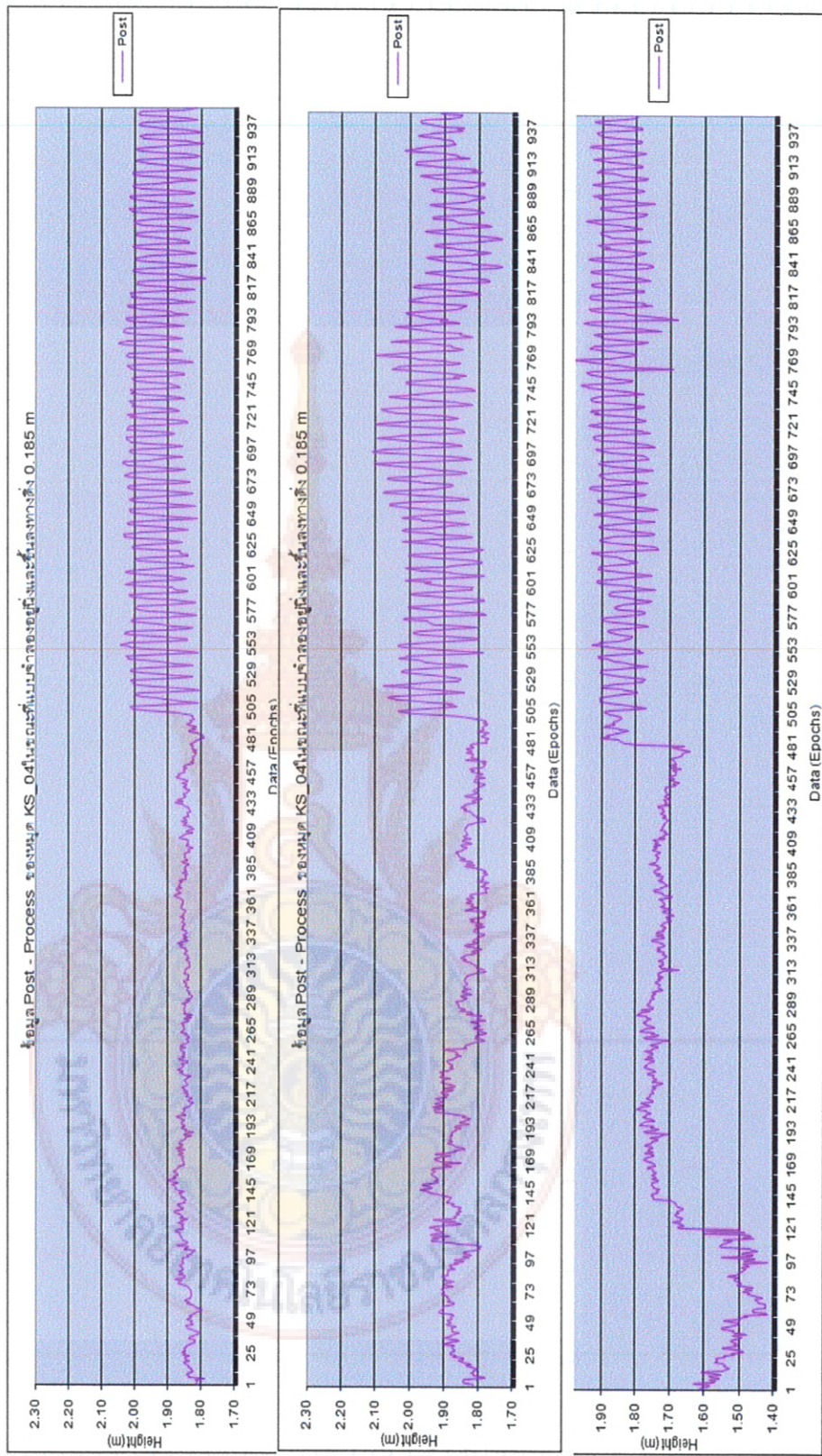
การทดสอบที่ 2 ทำการเคลื่อนตัวทางด้านซ้ายขวา ได้ ที่หุ่น KS_04 ข้อมูลแบบ Real-time เมื่อเวลา 04:00 นาฬิกา ณ ที่นี่ บนเดสก์ท็อป 0.185 m.
ในการทดสอบเมื่อวันที่ 6,7,14 กค. 52 ตามลำดับ



การทดสอบที่ 2 ค่าการเคลื่อนตัวทางด้านทิศทางขึ้นไป ได้ที่หุ่น KS_04 ชุดบูตแบบ Post-Process เมื่อแบ่งจำลองเคลื่อนที่บนลงทางด้านซ้าย 0.075 m.
ในการทดสอบมีวันที่ 6,7,14 ต.ค. 52 ตามลำดับ

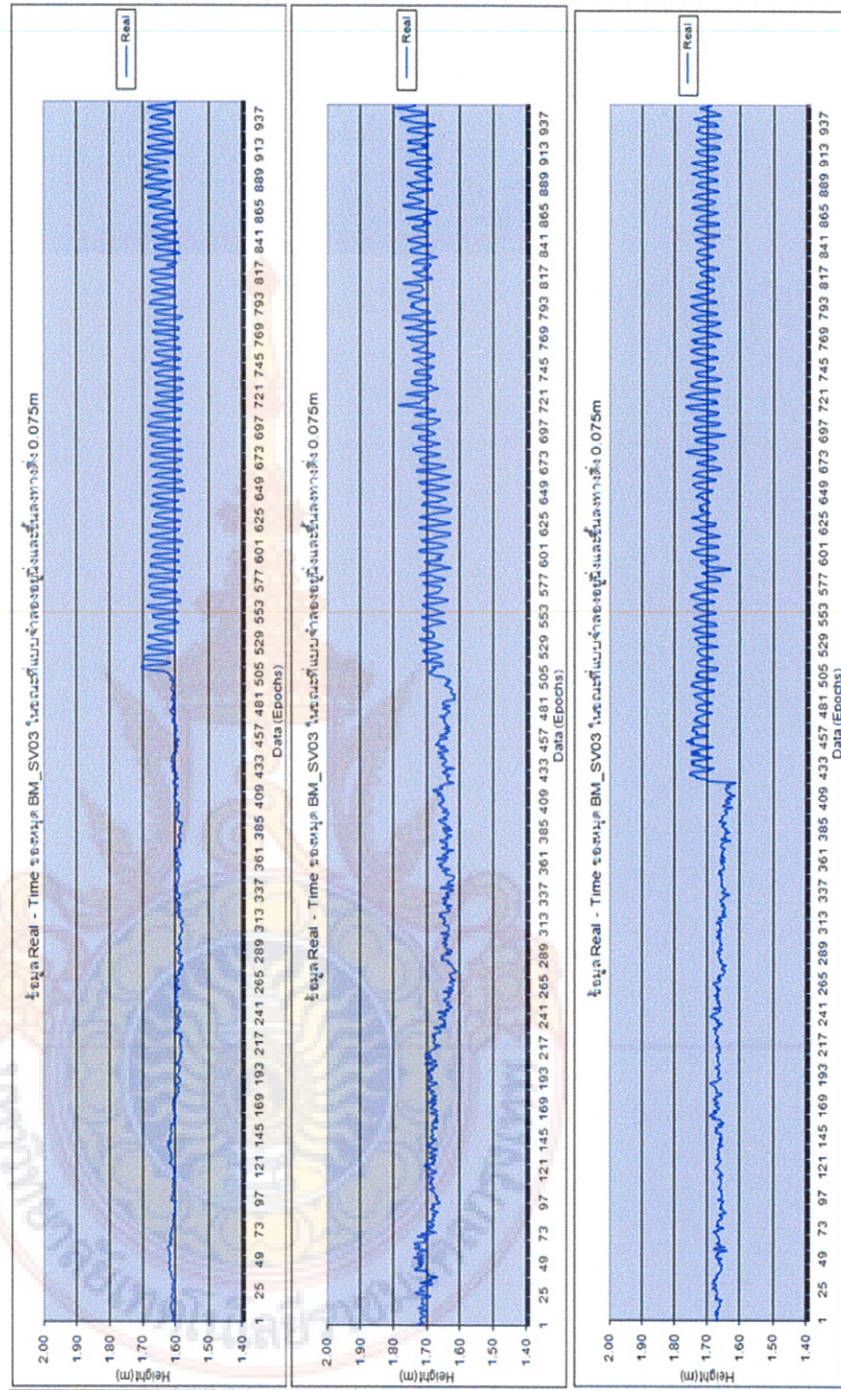


การทดสอบที่ 2 ทำการเคลื่อนตัวทางด้านซ้ายขวา ได้ที่หุ่น KS_04 ข้อมูลแบบ Post-Process เมื่อเปรียบเทียบกับขนาดจริง 0.185 m.
ในการทดสอบมีวันที่ 6,7,14 ตค. 52 ตามลำดับ

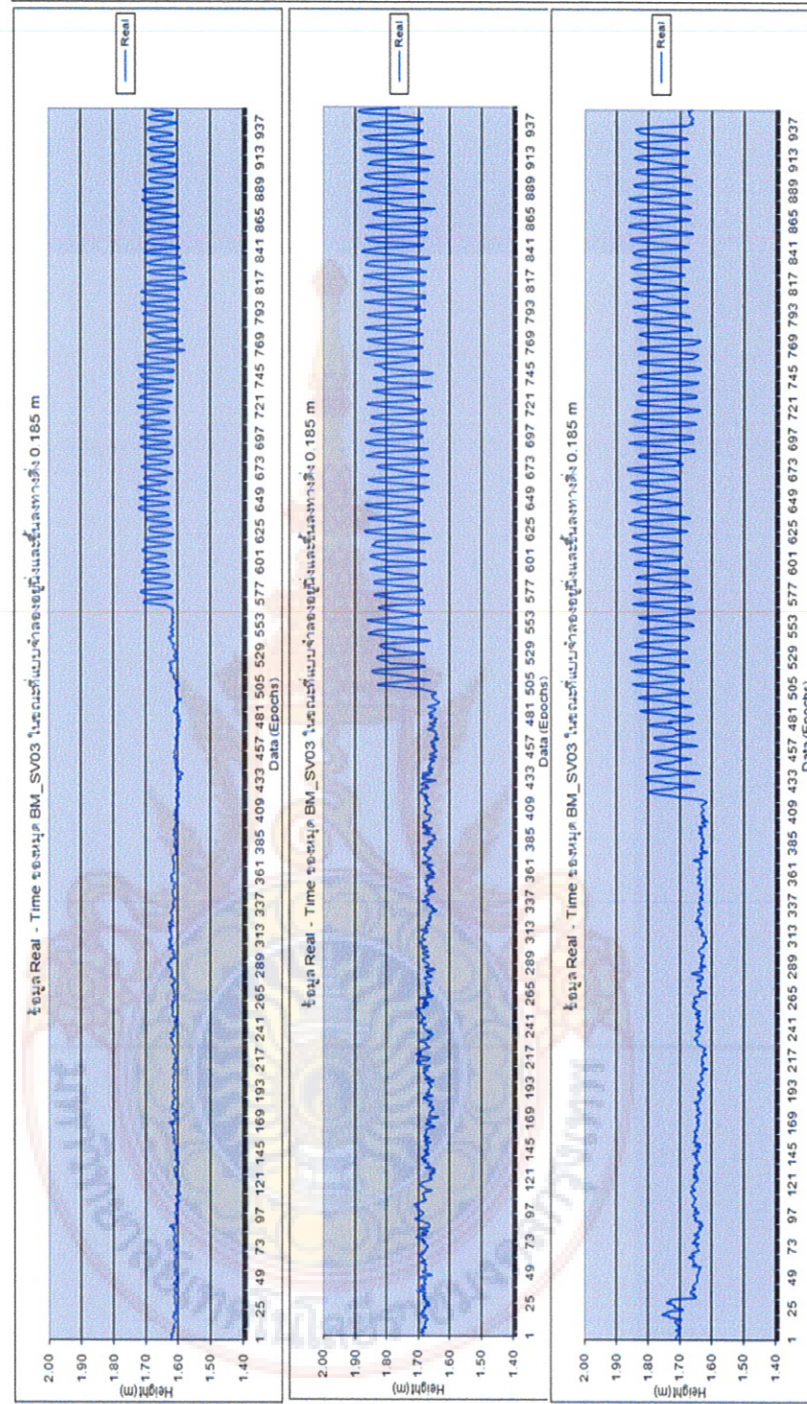


ภาคผนวก 旭

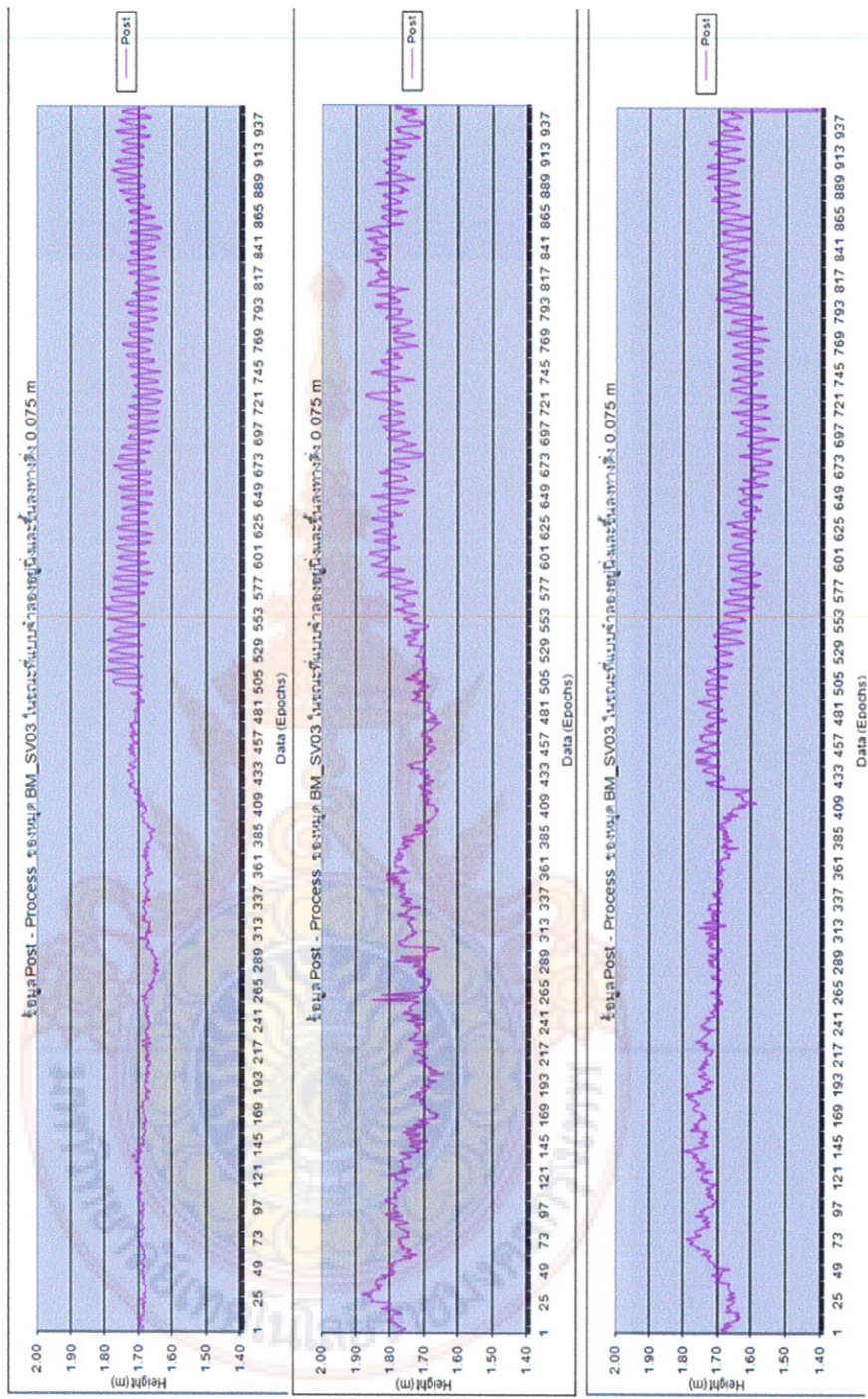
การทดสอบที่ 3.1 ค่าการเคลื่อนตัวทางด้านทิศตะวันตกไป ได้ที่หุบ BM_SV03 ชื่อญี่ปุ่นแบบ Real-time เมื่อเปรียบเทียบกับที่ญี่ปุ่นทางด้านทิศตะวันตก 0.075 ม.
ในการทดสอบมีวันที่ 6,7,14 ต.ค. 52 ตามลำดับ



การทดสอบที่ 3.1 ค่าการเคลื่อนตัวทางด้านตัวราชดำเนินที่ “ดี” ที่ห้วย BM_SV03 ซึ่งมีระยะทางตั้งแต่ 0.185 ม. ในการทดสอบปัจจุบันที่ 6,7,14 เดือน 52 ตามลำดับ

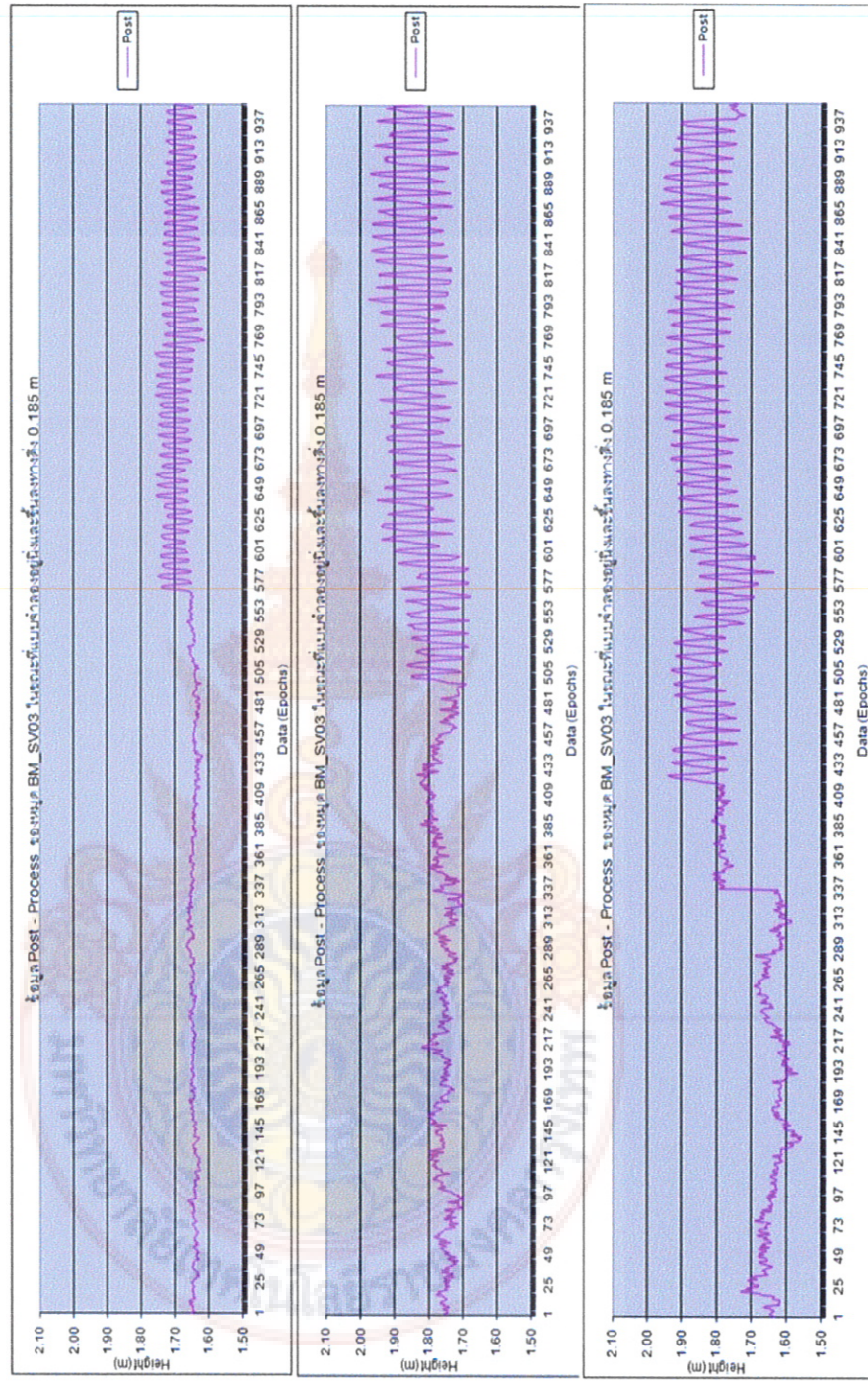


การทดสอบที่ 3.1 ค่าการเคลื่อนตัวทางศัตรูที่ต่ำที่สุด BM_SV03 ที่อยู่บนแบบ Post-Process เมื่อแบบจำลองเคลื่อนที่ขึ้นลงทางศักราช 0.075 ม.
ในการทดสอบเมื่อวันที่ 6,7,14 พค. 52 ตามลำดับ

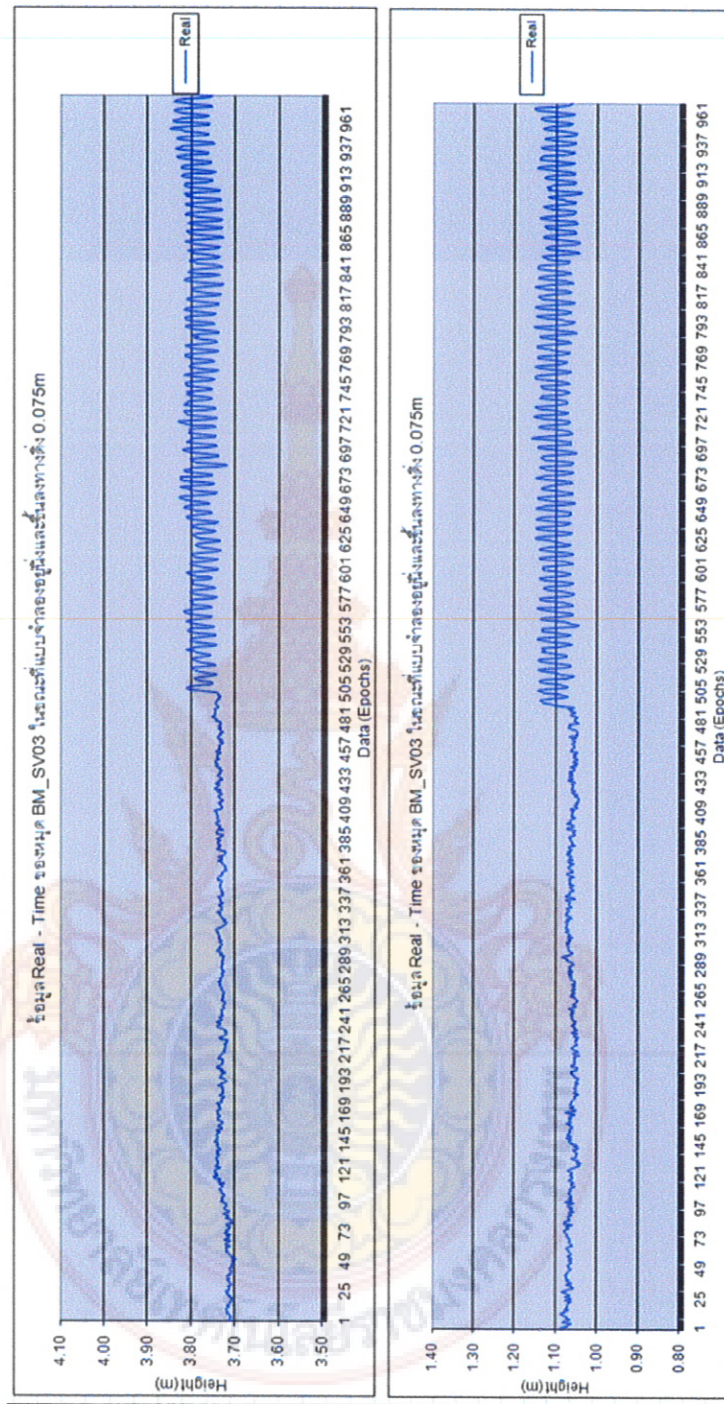


การทดสอบที่ 3.1 ค่าการเคลื่อนตัวทางด้านซี่ต่อราก ได้ที่หุ้มด BM_SV03 ของเมบะ จำลองโดย Post-Process เมื่อเมบะถูกนิรหนทางทั้ง 0.185 ม.

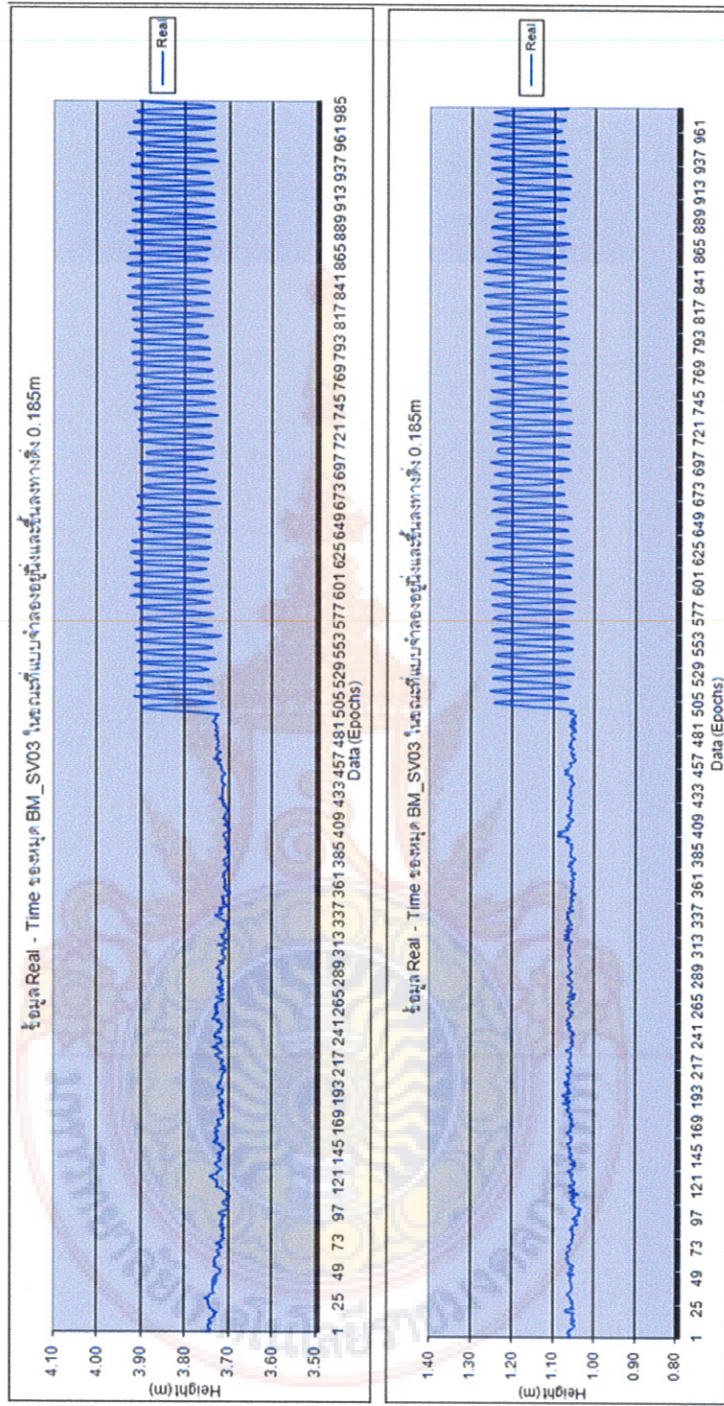
ในการทดสอบเมื่อวันที่ 6,7,14 เดือน พฤษภาคม



การทดสอบที่ 3.2 ค่าการทดสอบนั้นตัวเราต้องตั้งค่าตัวแปรให้เท่ากับ BM_SV03 ครึ่งที่ 1 และ 2 ซึ่งมุ่งหมาย Real_Time แม่นยำที่ถูกต้องโดยตั้งค่าที่ 0.075 m. ในการทดสอบแบ่งวันที่ 21 สค. 52 ตามลำดับ

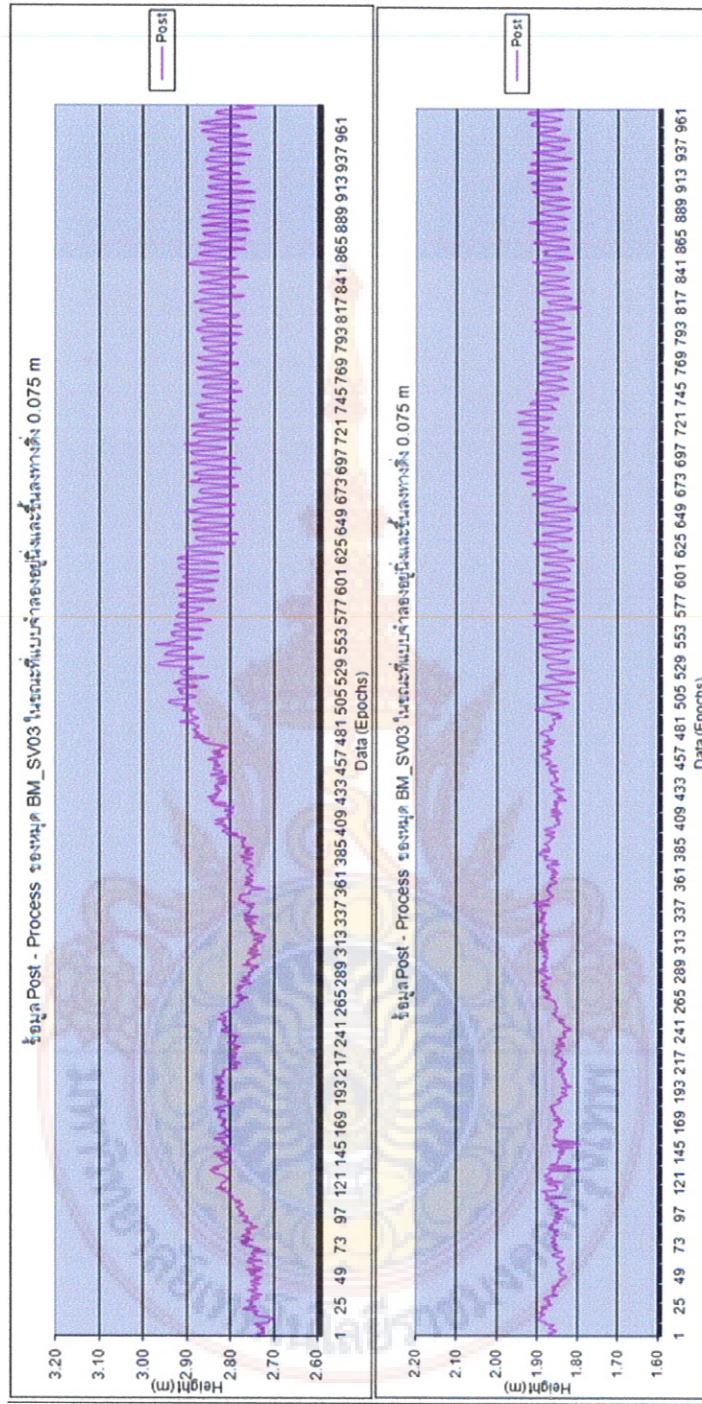


การทดสอบที่ 3.2 ค่าการเก็บข้อมูลตัวทางด้านซ้ายขวาโดยได้ท่านผู้ช่วย BM_SV03 ครั้งที่ 1 และ 2 ที่อยู่ด้วย Real_Time ไม่ยอมทำก้าวเดินที่ขึ้นลงทางด้านซ้ายขวา 0.185 ม. ในการทดสอบอย่างอ่อนน้อมที่ 21 สค. 52 ตามลำดับ



การทดสอบที่ 3.1 ค่าการเคลื่อนตัวทางครั้งที่ ๒ ที่หมุด BM_SV03 ครั้งที่ ๑ และ ๒ วัดโดยแบบ Post-Process แม่ข่ายมาจากองค์กรที่บันทึก

ตั้งสูง 0.075 ม. ในการทดสอบเมื่อวันที่ ๖, ๗, ๑๔ ส.ค. ๕๒ ตามลำดับ



การทดสอบที่ 3.1 ค่าการเคลื่อนตัวทางด้านซ้ายขวา ได้ที่หมุด BM_SV03 ครั้งที่ 1 และ 2 วัดมุมแบบ Post-Process มีผลแบบจำลองคงคลุมที่บันดาลทางด้วย 0.185 ม. ในการทดสอบเมื่อวันที่ 6,7,14 ต.ค. 52 ตามลำดับ

